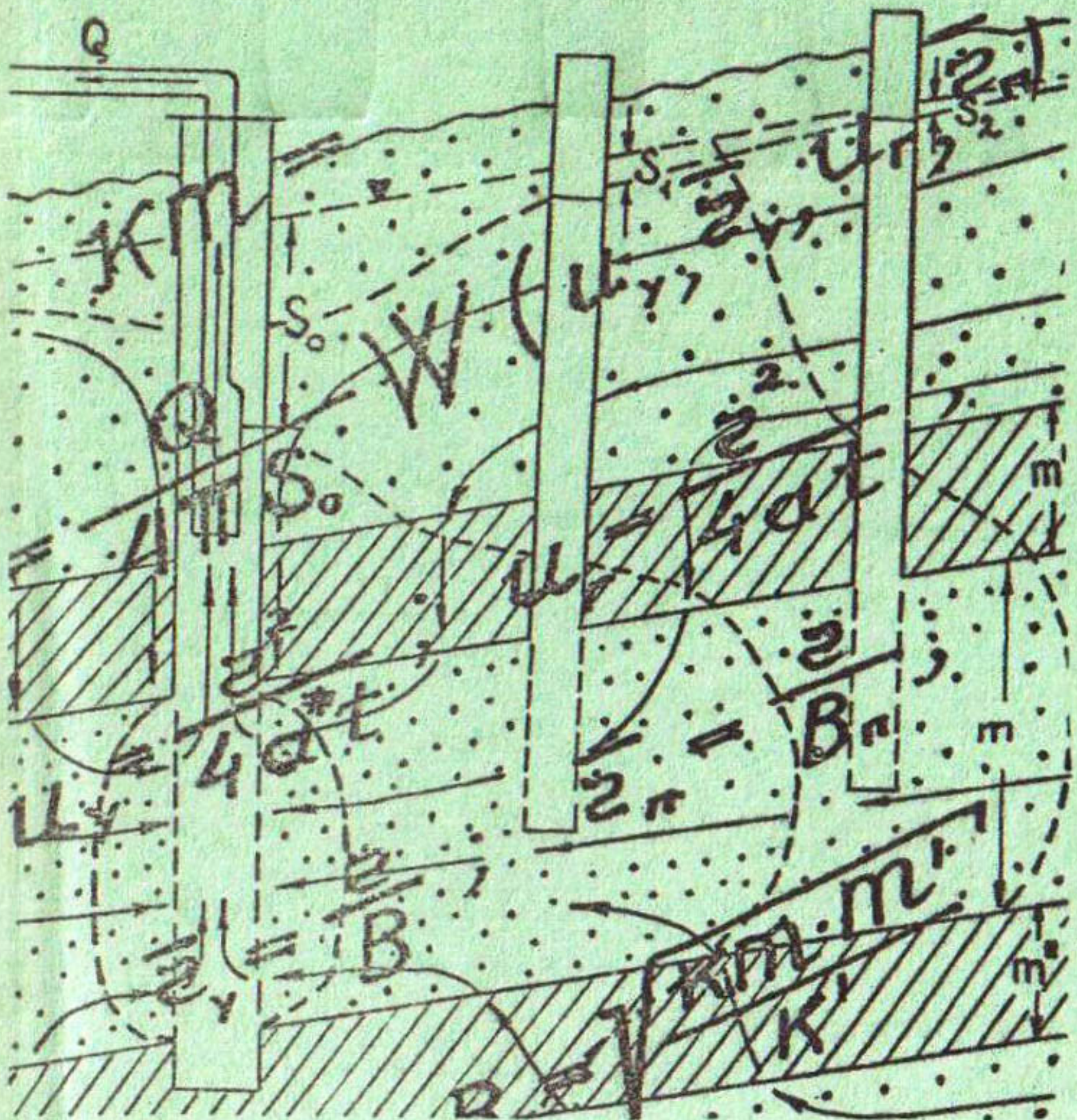


П.П.НАГЕВИЧ

ФОРМИРОВАНИЕ И ОЦЕНКА
ФИЛЬТРАЦИОННЫХ СВОЙСТВ
ВОДОНОСНЫХ ТОЛЩ



Государственный комитет Республики Узбекистан
по геологии и минеральным ресурсам

Государственное гидрогеологическое предприятие
"Узбекгидрогеология"

Институт гидрогеологии и инженерной геологии
им. С. К. Ланге (ГИДРОИНГЕО)

П. П. Нагевич

**ФОРМИРОВАНИЕ И ОЦЕНКА ФИЛЬТРАЦИОННЫХ
СВОЙСТВ ВОДОНОСНЫХ ТОЛЩ**

Ташкент - 1998

УДК 556.36

Нагевич И.П. Формирование и оценка фильтрационных свойств
водоносных толщ. Ташкент, 1998 г.

В монографии рассмотрены особенности формирования фильтрационных свойств физиальных водоносных толщ и оценки их гидрогеологических параметров по данным опытно-фильтрационных работ. Дано объяснение причин отступления фактических пониженный уровня при откачках от теоретических решений, получены новые гидродинамические решения, описывающие процессы снижения уровня при опробовании горизонтов различного типа и имеющие универсальный характер. Обоснован алгоритм рационального комплекса методов оценки параметров, приведены примеры расчета.

Для специалистов - гидрогеологов, занимающихся вопросами оценки эксплуатационных запасов подземных вод для водоснабжения, и студентов ВУЗов по специальности "Гидрогеология и инженерная геология".

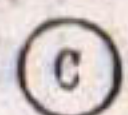
Ил. - 45, табл. - 22, библиогр. - 119 назв.

Ответственный редактор доктор
геолого-минералогических наук

А.С.Хасанов

Рецензенты:
кандидаты геолого-минералоги-
ческих наук

И.А.Сорокина
В.П.Волков



Институт ГИДРОИНГЕО
Ташкент, 1998 г.

В В Е Д Е Н И Е

Проблема рационального использования пресных подземных вод особенно актуальна в условиях острого водного дефицита, характерного как для Республики Узбекистан, так и для Центрально-азиатского региона в целом. Пресные подземные воды, являясь основным источником питьевого водоснабжения населения, практически определяют темпы развития народного хозяйства и социального прогресса республики на ближайшую и далекую перспективу. Эффективность эксплуатации водозаборных сооружений и достоверность прогноза эксплуатационных запасов подземных вод, обоснованных по результатам их разведки, зависят от надежности расчета запасов, геофильтрационных схем и разреза месторождения подземных вод (МПВ). Поэтому достоверность рассчитанных по результатам опытно-фильтрационных работ (ОФР) гидрогеологических параметров пласта, закономерности формирования фильтрационных свойств водоемещающих толщ, пространственное распределение параметров в плане и разрезе являются доминирующими и определяющими при оценке гарантированно обеспеченных эксплуатационных запасов подземных вод. Опыт разведки и эксплуатации МПВ показывает, что низкая оправдываемость прогноза связана именно с неучетом этих вопросов, изученность которых в настоящее время недостаточна.

Так, чрезвычайно мало внимания уделяется формированию фильтрационных свойств водоносных толщ, освещение которого ограничено общими ссображеннымими относительно условий образования водосодержащих отложений.

По-прежнему актуальной, несмотря на солидный теоретический базис, созданный трудами Ч. Тейса, Ч. Джейкоба, М. Хантуша, Н. Бултона, Б. В. Боревского, В. А. Мироненко, В. М. Шестакова, Л. С. Язвина и др., остается достоверность оценки геофильтрационных параметров. В последние десятилетия неоправданная самоуверенность гидрогеологов в правильности оценки параметров имеющимися методиками расчетов, основанными преимущественно на фундаментальных уравнениях для напорного пласта, и ложная самоуспокоенность в особой точности параметров, полученных с применением ЭВМ, привели к некоторому застою как в области раскрытия гидродинамических процессов притока воды к скважинам в пластах различного

типа, так и углубления теории с учетом особенностей этих процессов.

В результате создалась тупиковая ситуация, когда многочисленные методики расчета, отражающие конкретные условия питания откачки, не в состоянии отобразить многообразие особенностей формирования притока воды к скважине, обусловленных проявлением влияния различных неучтенных природных факторов, что вызывает отступление процесса снижения уровня при откачках от классических решений "теории скважин" и приводит при интерпретации данных откачек к существенному отличию рассчитанных параметров от реальных.

Таким образом, основной целью монографии явились выявление особенностей формирования фильтрационных свойств флювиальных водоносных толщ и оценка их реальных гидрогеологических параметров как основы эффективного использования месторождений питьевых подземных вод Республики Узбекистан.

Автором исследовались месторождения подземных вод во флювиальных отложениях (речных долин, конусов выноса, межгорных впадин, по С.Ш.Мирзаеву), которые содержат более 90% всех утвержденных эксплуатационных запасов подземных вод, обеспечивающих питьевое водоснабжение республики. Рассматривались следующие основные задачи:

1. Выявление условий формирования фильтрационных свойств водоносных толщ МПВ во флювиальных отложениях.

2. Установление особенностей снижения уровней подземных вод при ОФР и факторов, определяющих отклонение эмпирических опытных данных от имеющихся теоретических решений.

3. Обоснование теоретических решений и методических приемов оценки гидрогеологических параметров по данным ОФР с учетом особенностей проявления выявленных факторов.

4. Разработка методики оценки параметров водоносных горизонтов по данным их эксплуатации.

5. Установление пространственных закономерностей распределения гидрогеологических параметров и гидрогеофильтрационной структуры продуктивных водоносных горизонтов МПВ различных типов.

6. Обоснование учета гидрогеофильтрационной структуры про-

дуктивного горизонта (макронеоднородности в разрезе) при оценке эксплуатационных запасов подземных вод.

Методика решения заключалась в анализе большого объема натурных исследований – кустовых опробований водоносных горизонтов МПВ различного типа; имеющихся теоретических основ оценки геофильтрационных параметров; теоретической разработке и тестовой проверке моделированием действия системы "скважина – водоносный горизонт" с учетом факторов, вызывающих отклонения от классических решений; массовой переинтерпретации с новых позиций результатов ОФР из водоносных горизонтов ряда МПВ; анализе пространственного распределения основных геофильтрационных параметров и их представлении в виде специальных карт.

В работе использованы результаты разведки подземных вод для водоснабжения ряда объектов, тематических и научно-исследовательских работ, выполненных автором в период с 1960 по 1996 г. и посвященных, в основном, научно-методическим разработкам особенностей оценки гидрогеологических параметров и эксплуатационных запасов подземных вод Республики Узбекистан.

Монография – результат огромной работы, выполненной за последние 30–40 лет гидрогеологами-разведчиками, обеспечившими водоснабжение населения республики качественной питьевой водой. Она отражает и анализирует часть накопленного опыта этого поколения гидрогеологов – его успехи и ошибки, сомнения и убеждения, радость познания и горечь неоправдавшихся надежд.

Автор признателен ведущим ученым Узбекистана и России Б. В. Боревскому, С. Ш. Мирзаеву, В. А. Мироненко, Н. И. Плотникову, В. Г. Самойленко, А. С. Хасанову, В. М. Шестакову, Л. С. Извину за доброжелательную критику и обсуждение отдельных положений работы на различных этапах исследований, позволивших улучшить ее структуру.

Автор выражает благодарность всем гидрогеологам, общению с которыми в течение длительного периода исследований, споры и обсуждение отдельных вопросов способствовали разработке содержащихся в работе идей и усовершенствование некоторых практических приемов – А. Г. Амелину, В. П. Волкову, Е. Д. Карабаеву, Ю. С. Коваленку, И. А. Сорокиной, Н. Т. Тахирову, Н. Н. Романову, Ю. Д. Чарко-ву и др. Неоценима помощь Е. В. Сергеевой в обработке материалов, подготовке и оформлении.

Работа является данью памяти наставникам автора, стоявшим у истоков решения проблемы, - Р.В.Бородину, М.И.Крылову, И.Н.Ходжибаеву, коллегам-гидрогеологам, принявшим на себя основную тяжесть полевых исследований по разведке запасов подземных вод и творческое осмысление их результатов, - Б.Г.Куприенко, Г.Л.Круковскому, В.Н.Пономареву, И.И.Цхаю, Г.Х.Хашимову.

Автор надеется, что эта, не лишенная недостатков, монография привлечет внимание специалистов-гидрогеологов к поднятым в ней вопросам, а дискуссия по ним будет способствовать дальнейшему развитию теории и практики гидрогеологических расчетов скважин для оценки реальных геофильтрационных характеристик опробуемых водоносных горизонтов. Замечания и предложения по работе будут с благодарностью рассмотрены автором.

ГЛАВА I. УСЛОИЯ ФОРМИРОВАНИЯ ФИЛЬТРАЦИОННЫХ СВОЙСТВ ВСДОНОСНЫХ ТОЛЩ МЕСТОРОЖДЕНИЙ ПОДЗЕМНЫХ ВОД ВО ФЛЮВИАЛЬНЫХ ОТЛОЖЕНИЯХ

Рассматриваемый вопрос в советской и зарубежной литературе освещен чрезвычайно слабо и ограничивается, в основном, общими исследованиями условий формирования водосодержащих отложений. Объектом изучения автора являются флювиальные плиоцен-четвертичные образования аллювиального и пролювиального генезиса, к которым приурочены основные месторождения пресных подземных вод (МП) Республики Узбекистан, в частности, речных долин, конусов выноса (субаэральные дельты), межгорных и межадырных впадин, пролювиальных шлейфов.

Рассматривая процесс осадконакопления, автор опирается на публикации, посвященные вопросам формирования горного аллювия и дралювия (Н.П.Васильковский, В.И.Елисеев, И.П.Карташов, А.В.Кожевников, Н.П.Костенко, Д.З.Наливкин, В.И.Полов, И.С.Рожков, Ю.А.Скворцов, А.А.Чистяков, Е.В.Шанцер и др.), приняв за основу концепцию Л.В.Ломакина, развитую в дальнейшем И.П.Карташовым (1972), о динамических фазах аллювия, соответствующих различным стадиям развития рек, и проработку А.А.Чистякова (1978) и А.В.Кожевникова (1985), детально рассмотревших аллювиальные и пролювиальные фаации и выделивших ряд субфааций.

Процессы литогенеза обусловлены, в первую очередь, глобальной (планетарной) тектоникой, создавшей крупные геотектонические структуры (поднятие горных массивов, впадины), которые регламентируют климатическую дифференциацию регионов, динамику атмосферных потоков и переноса благи, а также ее распределение на поверхности в виде выпадающих атмосферных осадков, формирующих поверхностный сток, энергия и работа которого определяют литологический состав формируемых отложений (перенос, осаждение твердого стока, переработка осадков).

Существенную роль в процессе литогенеза играет и локальная тектоника, которая определяет блоковое строение отдельных регионов, обусловленное действием пересекающихся тектонических нарушений-разломов субширотного и субмеридионального направлений. Активная тектоническая деятельность приводит к неразве-

значной интенсивности подъема или опускания отдельных блоков относительно друг друга. Неотектоническая активность разломов, заложенных в каледонский и герцинский этапы складчатости, проявлялась и в период формирования неоген-четвертичных отложений, определяя поднятую область основного накопления атмосферной влаги в виде твердых осадков в холодные периоды года и опущенную область последующего расходования ее запасов на поверхственный сток в теплые периоды, пути движения которого в пределах этой области были обусловлены высотным положением блоков.

Рассматривая литогенез (Вассоевич, 1963 г.), как последовательную смену стадий гипергенеза, седиментогенеза, диагенеза, катагенеза, метагенеза (прогрессивная направленность литогенеза) до новой стадии гипергенеза (ретрессивный литогенез), представляющих собой замкнутый цикл осадкообразования, продолжительность которого исчисляется десятками и сотнями миллионов лет, отметим, что такой процесс, несомненно, имел место в истории развития протерозоя и палеозоя. Однако даже древнейшие осадочные образования мезозоя-кайнозоя находятся в стадии диагенеза или раннего катагенеза-протокатагенеза. Относительно молодых плиоцен-четвертичных отложений можно с полным основанием утверждать, что они не вышли из стадии диагенеза, находясь непосредственно в подстадии анаэробного диагенеза.

Поэтому, затрагивающий вопрос формирования отложений продуктивных водоносных горизонтов (ПВГ), как основу, определяющую их фильтрационные характеристики, ограничимся рассмотрением их образования в стадии седиментогенеза и диагенеза.

Процесс формирования фильтрационных свойств плиоцен-четвертичных отложений рассматривается на примере внутригорных (межгорных) впадин и межгорных долин. За основу взята схема стадийного периодического развития осадков, предложенная В.И.Половым (1963), согласно которой в пределах впадин выделяются два основных фациальных пояса - подгорно-веерный и равнинно-долинный, разбитые на зоны, отражающие деятельность поверхностного потока и состав осадков.

Развитие флювиальных отложений, к которым приурочены про-

дуктивные водоносные горизонты МПВ, можно разделить на три этапа:

I этап - седиментогенез, в течение которого происходят длительная переработка и отложение выносимых водным потоком осадков;

II этап - аэробный диагенез, когда осадки переходят в зону переменного насыщения отложений подземными водами;

III этап - анаэробный диагенез, в процессе которого отложения уже полностью насыщены водой и представляют собой водоносный горизонт.

В пределах III этапа можно условно выделить подзону пост-аэробного диагенеза, ограниченную глубиной воздействия на водоносный горизонт современного поверхностного стока или глубиной активного водообмена. В последующем анаэробный диагенез происходит в условиях погружения пласта под перекрывающие его отложения и характеризует его жизнедеятельность в напорных условиях без взаимодействия с атмосферой. На стадии седиментогенеза, являющейся главной в процессе формирования фильтрационных свойств отложений, основными определяющими факторами являются следующие (Нагевич, 1995):

первоначальный, исходный состав осадков, приносимых потоком; продолжительность нахождения этих осадков в зоне активного действия поверхностного стока;

интенсивность и характер воздействия потока на процесс осадкообразования.

Активная тектоническая деятельность в период формирования отложений МПВ приводит к неравномерной интенсивности подъема или опускания блоков относительно друг друга, что на стадии седиментогенеза определяет особенности процесса отложения осадков и их переработки водным потоком. Неотектоника регламентирует динамические фазы развития долины (впадины) в целом или отдельных ее частей. В стадии равновесия в пределах блоков с низкой скоростью опускания преобладает активный седиментогенез, что способствует образованию руслового аллювия перстративного типа вследствие постоянной длительной переработки и дифференциации осадков водным потоком. На стадии аккумуляции, характерной для площади быстроопускающихся блоков, про-

являются процессы пассивного седиментогенеза, когда приносимые осадки не подвергаются переработке водным потоком и являются отложениями констративного типа. Площади этих блоков служат преимущественно местом отложения пойменных осадков, что вследствие наличия в паводковом стокезвешенных частиц приводит к сохранению в составе заполнителя большого количества глинистого материала, вызывающего относительно слабую проницаемость отложений, условную дифференциацию которых можно произвести по характеру мощности паводковых потоков с выделением зон развития отложений низких, средних и высоких паводков. Однако и здесь могут быть прослежены высокопроницаемые отложения, представляющие собой руслевый аллювий констративного типа, достаточно высокие фильтрационные свойства которого обусловлены исходным материалом переработанного на вышележащих участках перстративного аллювия. В значительной мере степень переработки пойменных образований, а, следовательно, и их проницаемость, зависят от ограниченности зоны действия водного потока. В широких долинах (впадинах) возможности миграции потока в пределах ее площади большие и определяются гипсометрией поверхности различных блоков. В узких долинах, где движение водотока ограничено шириной, даже пойменные отложения подвергаются интенсивной переработке и переотложению, что определяет их более высокую проницаемость.

При переходе осадков, сформированных на стадии седиментогенеза, в зону аэробного диагенеза (зона периодического насыщения), в которой происходят колебания УПВ от максимально высокого до предельно низкого, глинистые частицы в составе отложений находятся еще в несвязанном состоянии. Это способствует их переходу возвешенное состояние при подъеме УПВ и последующее перемещение вниз по разрезу и потоку при понижении зеркала. Постоянные сезонные колебания уровня в течение длительного геологического времени способствуют уменьшению глинистой составляющей заполнителя в отложениях и приводят к улучшению фильтрационных свойств пласта.

Наблюдаемый повсеместно в МПВ речных долин верхний высокопроницаемый маломощный (до 5–6 м) слой аллювия (перстративный, по З.И.Пономареву, 1989) отражает постазробный этап

его развития, не подверженный еще дополнительной геостатической нагрузке. Ограничение распространения перстративного руслового аллювия только верхней зоной представляется не совсем правомерным, так как и нижняя часть разреза водносного горизонта в определенные периоды геологического развития прошла этот этап, что привело к образованию также высокопроницаемых отложений.

Несколько пониженные по сравнению с верхним слоем фильтрационные свойства этой части разреза обусловлены последующим процессом частичного перемещения глинистых частиц из зоны аэробного диагенеза и уменьшением пористости вследствие уплотнения пород под весом вышележащих пород. Последний играет превалирующую роль на стадии анаэробного диагенеза, когда отложения горизонта перекрываются слабопроницаемыми осадками и погружаются на большие глубины. Последовательность прохождения пластом стадий седиментогенеза, аэробного, постаэробного и анаэробного диагенеза приводит к формированию кусочно-однородных в фильтрационном отношении отложений, площадь развития которых в плане контролируется тектоническими блоками, а в разрезе способствует формированию в пределах пласта аллювия перстративного типа, сравнительно однородного в горизонтальном и вертикальном направлениях.

Пойменные отложения ассоциируются, как правило, с понятием констративного аллювия, накопление которого осуществляется в интенсивно опускающихся блоках. Однако здесь в связи с большим содержанием в паводковом стоке влекомых и взвешенных наносов, количество которых многократно увеличивается в многоводные годы, и неравномерностью повторения паводков различной мощности, характер проницаемости формируемых отложений значительно зависит от этих факторов. Если принять наследственность наблюдаемой в настоящее время цикличности в распределении поверхности стока, когда на 12-14-летний цикл падает 3-4 многоводных года, 5-6 средних по водности и 3-4 маловодных, то достаточно обоснованным представляется выделение, как минимум, трех, отличных по проницаемости, зон. Первая, соответствующая площади воздействия умеренно активного седиментогенеза с ежегодной переработкой и переотложением донных

осадков, характеризуется наличием в песчаном заполнителе аллювиальных галечников глинистых частиц, существенно уменьшающих проницаемость отложений по сравнению с русловыми. Вторая, отвечающая площади действия относительно пассивного седиментогенеза с периодической переработкой и переотложением пойменных осадков, что приводит к сохранению в составе заполнителя большого количества глинистого материала, характеризуется относительно слабой проницаемостью отложений.

Однако максимальное развитие имеют осадки третьей зоны — пойменные отложения высоких паводков, особенно, катастрофически многоводных лет, периодичность повторяемости которых составляет 24–25 лет при больших заливаемых площадях, мощности потоков и огромном количестве влекомых и взвешенных наносов, общий годовой объем которых, возможно, перекрывает объем привнесенного паводковыми расходами материала за 25-летний период. Мощность сформированного только за один такой год пойменного аллювия может достигать 0,5–1,0 м (наблюдения в долине р. Ахангаран в катастрофически многоводном 1969 г.). Отложения представлены валунно-галечниками на глинистом цементе, что определяет их практическую непроницаемость. Огромная энергия таких паводков способствует первоочередному заполнению осадками участков, приуроченных к блокам погружения, выравниванию рельефа долины и ограничению проникновения потоков в пределы этих участков в менее водные годы. Большого различия в проницаемости пойменных отложений этой зоны в пределах блоков с различной интенсивностью одускания не наблюдается, так как даже в условиях равновесия длительный перерыв между паводками такой интенсивности приводит к укреплению поверхности отложений растительностью, что препятствует их размыву и переотложению, а по составу приближает к пойменным отложениям, формирующимся в фазу аккумуляции на площади быстро опускающихся блоков.

В пределах подгорно-веерного пояса переработка грязепоточных и мелкоземистых осадков, хотя и приводит к определенной дифференциации, но существенно не изменяет глинистый или злеврито-пелтовый состав основной массы осадков, которые

могут включать и определенное количество грубообломочного материала, представляющего собой образования коллювия и делювия, выносимые селевыми потоками из горной зоны в предгорья. Проницаемость этих пород, связанных преимущественно с деятельностью мелких саев небольшой водосборной площади (десятки квадратных километров) снежно-дождевого питания, очень низкая. Их переход, а также пойменных отложений этапа пассивного седиментогенеза в зону аэробного диагенеза не приводит к улучшению фильтрационных показателей.

Дальнейшее погружение отложений в стадии диагенеза способствует уплотнению осадков под влиянием геостатической нагрузки, наиболее компактной упаковке зерен породы, уменьшению пористости и, соответственно, ухудшению проницаемости.

Основные этапы формирования фильтрационных свойств флювиальных отложений приводятся в табл. I. Они поясняются изображенными на рис. I условными схемами последовательности формирования аллювиальных водоносных горизонтов, а также формирования перстративного и констративного аллювия в поперечном разрезе речной долины.

На основании анализа изложенного процесса формирования фильтрационных свойств аллювиально-пролювиальных отложений можно сделать следующие выводы:

большая мощность аллювия еще не является признаком наличия высокопроницаемых ПВГ;

наиболее проницаемые пласти приурочены, как правило, к блокам, находящимся большую часть геологического времени в условиях равновесия и занимающих среднее гипсометрическое положение относительно максимальных глубин залегания аллювия, представленного одним ритмостратиграфическим комплексом отложений;

гипсометрическое положение приподнятых блоков в засыпающей части структуры, к которой приурочено МВ, контролирует максимальную возможную глубину развития наиболее проницаемых ПВГ;

высокая интенсивность перемещения и вымыва глинистых частиц из перстративных отложений на стадии аэробного диагенеза

Таблица I
Схема эпидемиологических факторов и факторов, влияющих на оценку флюоридных отложений

Параметры, показатели, признаки	Л. ЭПЕЛ - основное формирование	Л. ЭПЕЛ - кисти ч. предш.-я шел.-относ. пр.
Активность, стома, склонность к заболеваниям	Седиментации	диффузии
Активность, стома, склонность к заболеваниям	активны. первонач. эпидемия. редкий.	-
Активность, стома, склонность к заболеваниям	активны. первонач. не прообр- ляется	-
Одн. -ник. пре- сбр-е соединоб ков боямый победах. стакан	бесст. диффуз. рент-з. соединоб ков боямый гали. частич частич	слабы. диф- фер-з. нечт- щест. бычий блест. эмн. блест. чеслич
До жв, потребляемые богемы	-	-
Гемодиализ. гемодиализ- гемодиализ- гемодиализ- гемодиализ	русло посл. и будто как так. постокой	средняя популяц
Дин. фазы в рез- тил. фазах	расновесия передстапит	расши. эмн. передстапит
Фазы	рус. и поб. ч. нижних пазоок	популяц средних пазоок
Гидрокарбонат- гидроокись	Вымыв легкорасторимых солей	быть в пред- расствор. солей
Ноинческое смущение, н- смущение, н-	Активность < 2	20-25 надышенит 2-10
Гидроокись	-	-
Гидрокарбонат- гидроокись, сбр- предн. н/с.т.	хорошо предн. -е	относит. предн. -е
Коэф-п. физ- водоударки	100 и более	5-10 < 1 0.01-0.05 < 0.01 0.05-0.1
	НПО	НПО НПО

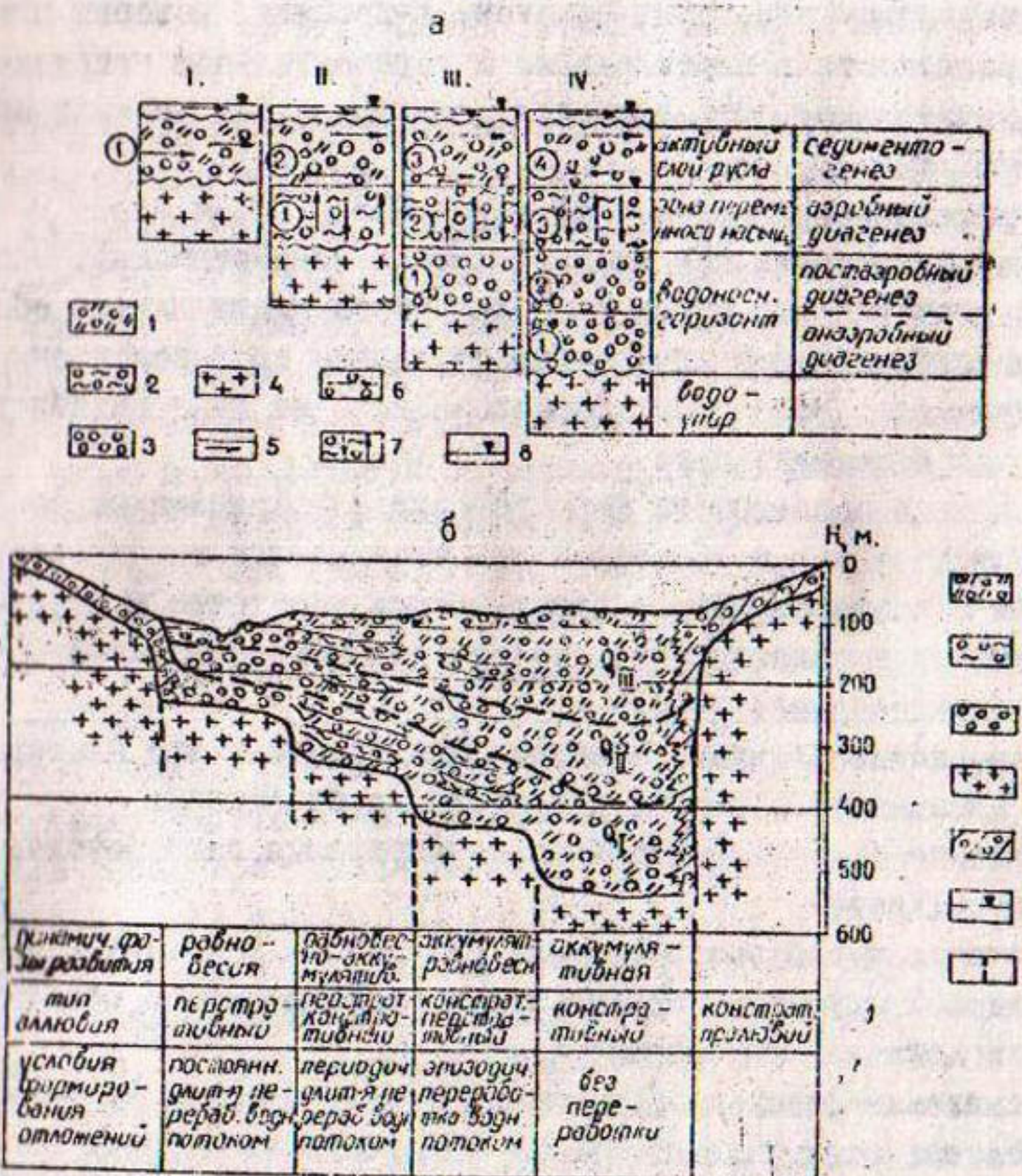


Рис. I. Схемы формирования аллювия долин и впадин. Условная схема последовательности формирования аллювиальных водоносных горизонтов и их фильтрационных свойств (а). Этапы геологического развития и соответствующие им слои аллювия:

- исходный материал осадков, приносимых водным потоком;
- 1 - валунно-галечник с глинистым материалом в заполнителе;
- 2 - валунно-галечник с песчаным заполнителем; 4 - водоупорное основание; 5 - водный поток; 6 - перемещение осадков в пределах активного слоя русла; 7 - изменение уровня грунтовых вод и направленности процесса взвешивания глинистых частиц и их перемещения; 8 - положение уровня поверхности и подземных вод, изменяющееся во времени.

Условная схема формирования перстративного и констративного аллювия в поперечном разрезе речной долины или межгорной впадины (б): аллювий констративного типа: 1 - валунно-галечник на слабом суглинистом цементе; аллювий перстративного типа: 2 - валунно-галечник с глинистым материалом в заполнителе, 3 - валунно-галечник с песчаным заполнителем; 4 - водоупорное основание; 5 - продольный боковых саев; 6 - уровень подземных вод; 7 - линии тектонических нарушений фундамента.

приводит к образованию относительно однородных (изотропных) в фильтрационном отношении пластов, в пределах которых различие проницаемости в вертикальном и горизонтальном направлениях незначительное, что наиболее характерно для высокопроницаемых ПВГ МВ;

при рассмотрении водоносной толщи МВ в целом можно говорить о ее фильтрационной неоднородности (анизотропии), так как она представляет собой даже при чисто аллювиальном облике отложений переслаивание слоев от слабо- до высокопроницаемых, отражающих условия их формирования – от констративного аллювия до перстративного,

Изложенные особенности формирования фильтрационных свойств отложений необходимо учитывать при составлении геофильтрационных схем и разрезов МВ, обосновывающих положение и развитие продуктивных водоносных горизонтов, для чего исследования должны быть направлены на:

установление блочного строения фундамента и его неотектонической активности в период формирования отложений;

выявление основных бассейнов формирования палеопотоков поверхностных вод;

выявление путей распределения палеостока в пределах долины (впадины) с учетом подвижности и направленности неотектонических движений по блокам;

составление литолого-фациальной схемы, отражающей результаты деятельности палеопотоков в интересующие периоды геологического времени с выделением осадков, отражающих различные этапы их формирования.

При обосновании схемы должны использоваться результаты геофизических исследований (ГИС, ВЭЗ, КВЭЗ) с анализом электрических характеристик отложений (сопротивление, коэффициент анизотропии). Результаты исследований, в частности, показывают, что пойменные отложения высоких паводков отмечаются повышенными сопротивлениями, что вполне связывается с изложенной структурой формирования осадков, которая также отражается и в распределении минерализации подземных вод.

ГЛАВА 2. СТРУКТУРА ФОРМИРОВАНИЯ РАСХОДОВ ОТКАЧКИ ИЗ ВОДОНОСНЫХ ГОРИЗОНТОВ РАЗЛИЧНОГО ТИПА

Месторождения подземных вод являются сложными системами, которые характеризуются тесной связью входящих в нее простых систем, подсистем и элементов. МПВ представляют собой ассоциации части таких крупных систем, как литосфера, гидросфера, атмосфера, биосфера, находящихся в определенной причинной структурной связи, но на более низком уровне иерархии. Уровень иерархии при выделении систем обусловлен целью исследований, когда в зависимости от решения задач регионального, локального или частного характера объект рассматривается в виде макро-, мезо- или микросистем. В частности, для структурной организации геологической системы в терригенном разрезе применительно к решению задач нефтепромысловой геологии Л.Ф.Дементьевым (1988 г.) предложено шесть уровней иерархии - от ультрамикроуровня (уровень минерального зерна) до мегауровня (уровень многопластовых месторождений).

При рассмотрении МПВ как системы можно представить ее состоящей из ряда подсистем, которые, в свою очередь, разделяются на ряд элементов. Каждая подсистема характеризует определенные качественные и количественные показатели слагающих ее элементов, создающих образ подсистемы, взаимосвязь которых дает целостное представление о системе. Следует отметить условность выделения отдельных элементов и подсистем МПВ (псевдолитов) на фоне реально существующих (реалитов).

Система месторождения подземных вод в этом случае может быть представлена в виде взаимосвязанных подсистем.

1. Литологоструктурная подсистема отражает строение МПВ с выделением таких элементов, как водоносный горизонт, разделяющий слой, водоупор, зона аэрации, в качестве атрибутов которых (основных определяющих) представляются мощность гласта, литологический состав, пористость.

2. Подсистема ресурсов отражает условия питания подземных вод месторождения и предусматривает выделение элементов, характеризующих составляющие ресурсы подземных вод таких,

как метеорологические, гидрологические, ирригационные, поступление которых осуществляется через зону аэрации, в качестве атрибутов которых могут служить мощность зоны аэрации, интенсивность инфильтрации атмосферных осадков, ирригационных вод и др.

3. Подсистема запасов - отражает условия насыщения водой литологических разностей подсистемы и предусматривает выделение таких условных элементов, как емкость водоносного пласта, естественный поток подземных вод, их частичное выклинивание на поверхность земли и дренирование искусственными и естественными водотоками, испарение с поверхности зеркала подземных вод, в качестве атрибутов которых могут служить величина упругой или гравитационной водоотдачи, водопроводимость, расход естественного потока, объем гравитационных и упругих запасов, расход выклинивания, интенсивность испарения.

Изложенный принцип системности должен быть положен в основу образа МПВ как естественной емкости, возможности насыщения которой водой обусловлены питанием (ресурсами) подземных вод, а распределение подземных вод внутри системы отражено в ее запасах.

Для понятия источников формирования расхода откачки необходимо затронуть вопрос количественных категорий подземных вод для того, чтобы, рассматривая составляющие питания откачек в пределах различных месторождений, оперировать определенными терминами.

Не приводя подробного анализа многочисленных классификаций запасов подземных вод, отметим, что принцип, заложенный в определение количественных категорий подземных вод еще в 30-е годы академиком Ф.П.Саваренским, предложившим различать "запасы" подземных вод и их "ресурсы", является стержнем всех последующих классификаций. В понятии Ф.П.Саваренского ресурсы - это "обеспечение в водном балансе района поступления подземных вод, а запасы - количество воды, которое находится в данном бассейне или слое независимо от поступления воды и расхода, а в зависимости от его емкости". Последующие классификации отражали, в основном, объем воды в водоносном

горизонте (запасы) и питание подземных вод (ресурсы), которые, однако, назывались по-разному (пассивные, вековые, статические, геологические, емкостные, естественные - применительно к объему воды в пласте и естественные динамические, динамические естественные ресурсы - применительно к питанию подземных вод или расходу потока). В дальнейшем широкое применение в практике исследований получила классификация Н.Н.Биндемана (1963 г.), в которой выделяются естественные запасы и ресурсы, искусственные запасы и ресурсы, а также привлекаемые ресурсы. Эта классификация, в которой приведено понятие и об эксплуатационных запасах подземных вод, вследствие своей простоты оказалась наиболее жизнеспособной и была положена в основу действующих нормативных и методических документов ГКЗ СССР и Мингео СССР, а впоследствии и ГКЗ РУз.

Последняя классификация, предложенная Б.В.Боревским, Н.И.Дробноходом, Л.С.Язвицким при участии А.Б.Островского (1989), предлагает рассматривать термины "запасы" и "ресурсы" как термины-синонимы свободного пользования, а также вполне справедливо учитывать в структуре запасов (ресурсов) антропогенные факторы их формирования (Шестопалов, 1983 г.). Несмотря на компактность предлагаемой и действующей классификаций и широкое использование последней в практике геологоразведочных работ, применение терминов "запасы" и "ресурсы" как синонимов существенно затрудняет осмысление природной ситуации, приводит к несоответствию между содержанием и образом конкретного термина.

Так, гидрогеолог-разведчик зачастую имеет дело с горизонтами, формирование запасов подземных вод которых за счет ресурсов осуществляется на значительном удалении от участка разведки, т.е. в пределах участка отсутствуют местные ресурсы подземных вод, однако, имеются существенные сложившиеся их запасы как в виде емкостных (упругих, гравитационных), так и в виде естественного потока подземных вод, отражающего динамику запасов, резко отличающуюся от динамики ресурсов. Родниковое выклинивание подземных вод или испарение с их поверхности не могут представлять ресурсы подземных вод. Ее-

зусовно, на отдельных участках, где цепочка "ресурсы-сложившиеся запасы-реализация эксплуатационных запасов" ограничена коротким промежутком времени, что характерно особенно для участков искусственного формирования подземных вод в условиях действующей эксплуатации, можно говорить о прямой обеспеченности эксплуатационных запасов за счет ресурсов и правомерности синонимов "ресурсы" и "запасы". Поэтому понятия о ресурсах, как факторах, отражающих питание водоносного горизонта, и о запасах, как характеристиках, отражающих их количественное распределение в водоносных горизонтах, должны быть сохранены. На наш взгляд, целесообразно предложенную классификацию Б.В.Боревского, наиболее полно отражающую современный процесс формирования подземных вод, дополнить фрагментами классификации Р.В.Бородина (1963), отличающейся детальностью и глубиной проработки и рассматриваящей "ресурсы" и "запасы" как разные понятийные термины. Удачным представляется и термин Е.А.Листенгардена "сложившиеся запасы", отнесенный к характеристике количества подземных вод, сформированных в условиях действия естественно-антропогенных ресурсов.

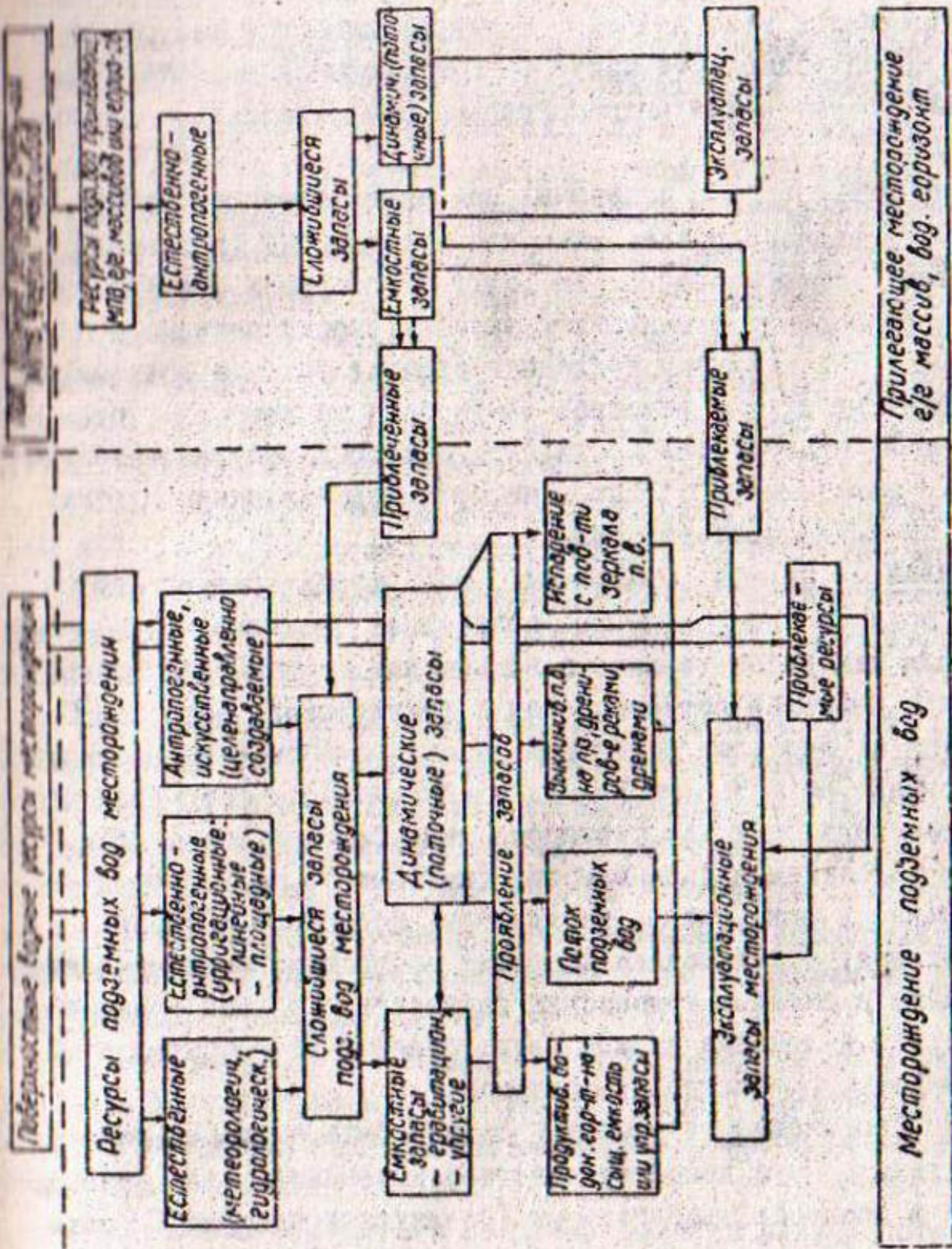
Структура классификации количественных категорий подземных вод, отражающая вышеизложенные принципы, приводится на схеме (рис.2). Она характеризует не только структуру взаимодействия ресурсов, сложившихся и эксплуатационных запасов рассматриваемого месторождения (или водоносного горизонта), но и его взаимодействие с прилегающими (смежными) месторождениями, горизонтами или гидрогеологическими (горными) массивами.

Классификация требует некоторых пояснений, особенно, вновь вводимых термина, которые приводятся ниже.

Естественно-антропогенные ресурсы - величина питания подземных вод конкретного МВ или водоносного горизонта за счет внутренних собственных источников питания в пределах площади развития продуктивного водоносного горизонта. Характеризуются высокой динамичностью в течение года и многолетнем разрезе. Являются приходными статьями баланса подземных вод месторождения, отражающими его современное питание.

В числе главных составляющих можно выделить (по Р.В.Бородину, 1963):

Рис. 2. Схема контингентных месторождений золота в Красноярском крае.



метеорологические (метеогенные, по Ю.С.Ковалеву) ресурсы - инфильтрация атмосферных осадков,

гидрологические ресурсы - фильтрация из реки (потери речного стока),

ирригационные ресурсы - фильтрация из каналов, орошаемых территорий.

В современных условиях лишь метеорологические ресурсы с большой долей условности могут быть отнесены к естественным. Остальные являются или антропогенными или естественно-антропогенными.

Привлеченные запасы подземных вод - как правило, часть сложившихся запасов прилегающих или смежных МПВ (водоносных горизонтов), сформированных за счет их ресурсов, но участвующих в формировании сложившихся запасов рассматриваемого месторождения. Они являются приходной статьей баланса подземных вод. Выделение их из ресурсной части баланса позволяет оценить степень самостоятельности (или суверенности) месторождения и его зависимость от интенсивности использования подземных вод смежного месторождения.

Сложившиеся запасы подземных вод характеризуют количество воды в продуктивном водоносном горизонте месторождения или распределение в водоносном горизонте поступивших в него ресурсов подземных вод и привлеченных запасов. Они отличаются от ресурсов более низкой динамичностью вследствие регулирования емкостью горизонта и отражаются в расходной части баланса подземных вод месторождения. Сложившиеся запасы включают емкостные и динамические (поточные), расходуются на выклинивание в реки, дрены, коллекторы, испарение с уровня грунтовых вод, отток подземным путем за пределы месторождения, перетекание в смежные водоносные горизонты. Принцип разделения ресурсов и запасов должен быть соблюден и относительно так называемых привлекаемых ресурсов.

Термин "привлекаемые ресурсы" должен быть оставлен для характеристики только дополнительного привлечения поверхностных ресурсов в процессе эксплуатации (увеличение притока из реки и других источников питания подземных вод). Параллельно сле-

дует ввести термин "привлекаемые запасы", который характеризует количество подземных вод, привлекаемых при эксплуатации из других водоносных горизонтов и месторождений (перетекание через разделяющие слои) сверх привлеченных в естественных условиях запасов.

Термин "эксплуатационные запасы" в последней редакции В.В.Боревского, полностью отражая современные требования, желательно дополнить характеристикой их связи с ресурсами или запасами. Эксплуатационные запасы - средний за расчетный период расход воды, не превышающий величину сложившихся и привлекаемых запасов и ресурсов, который может быть получен на месторождении (участке) с помощью геолого-экономических обоснованных водозаборных сооружений при заданном режиме, условиях эксплуатации и качестве воды, удовлетворяющих требования целевого использования подземных вод в народном хозяйстве с учетом природоохранных ограничений.

Структура формирования расходов откачки для различных типов МВ и опробуемых водоносных горизонтов (ОВГ) полностью основана на предлагаемой классификации ресурсов и запасов подземных вод (табл. 2). Она предусматривает возможность участия в питании откачки:

сложившихся запасов подземных вод горизонта (МВ), формирующихся за счет региональных ресурсов за пределами области питания откачки и проявляющихся непосредственно на участке опробования в виде насыщенной водой емкости горизонта, естественного потока подземных вод, их частичного выклинивания на поверхность, дренирования естественными и искусственными водотоками, испарения с поверхности зеркала подземных вод, перетекания в смежные пласти;

местных ресурсов подземных вод в пределах области влияния откачки, непосредственно участвующих в питании откачки, в виде инфильтрации атмосферных осадков, потерь ирригационных вод с полей орошения и т.д.;

привлекаемых ресурсов в пределах области влияния откачки за счет увеличения питания из естественных (реки) и искусственных (каналы, дрень) водотоков;

Таблица 2

Структура сокращения расходов откаток для газовых МПВ и ОВТ

Месторождение подземных вод	Тип горы-занта	Месторождение подземных вод		Смежн. ВТ
		опубликованные водности горизонт	ресурсы	
Б.Ч.К.С.ЛН	запасы	динамические (поточные) запасы		
1. Ярцевит.	глубокий	баканин. богданки. богданы. бог. бор.	использован. с побором. заряжка	переопределение из-за переопределения из-за переопределения из-за переопределения из-за
2. Чулым.				
Речной р. Енисей	безнапорн.	⊕(1)	+	+
- участки	распределения	⊕(1)	-	-
- участки	суммирования	⊕(1)	-	-
Конусы бы- хособ менедж- рии Владими- рович. часть				
период. юна- рмий. части		⊕(1)	+	+
Периодичн. час- ть		⊕(1)	+	+
Артесианс. бассейны	меторный	⊕(2)	-	-
				-

Примечание. Круглым отмечены составляющие запасов и геологических, учетные в созданных методиках расчеты параметров в гидрологических зонах местах.

привлекаемых запасов в пределах области влияния откачки за счет перетекания сложившихся запасов смежных водоносных горизонтов.

Перечисленные составляющие формирования расхода откачки указывают на сложность процесса, происходящего при опробовании пласта, особенности которого зачастую не учитываются в имеющихся классических решениях теории скважин, но которые оказывают определяющую роль на форму и размеры воронки депрессии, а соответственно, и на результаты определения геофильтрационных параметров по данным опытно-фильтрационных работ.

ГЛАВА 3. ОБЗОР МЕТОДОВ ОЦЕНКИ ПАРАМЕТРОВ, ОСНОВНЫЕ РАСЧЕТНЫЕ СХЕМЫ И СОВРЕМЕННЫЕ РЕКОМЕНДАЦИИ ПО ОБРАБОТКЕ ДАННЫХ ОПЫТНО-ФИЛЬТРАЦИОННЫХ РАБОТ (ОФР)

Состояние изученности вопроса

Теория движения подземных вод к скважине при проведении опытных откачек достаточно детально разработана в 40-90-е годы зарубежными и советскими гидрогеологами. Исследованиями, основанными на аналитических и численных решениях и экспериментальных данных обработки ОФР, сделав существенный шаг в интерпретации результатов опытных откачек от использования теоретических решений для двух типов пластов - напорного и безнапорного - в условиях установившегося движения (зависимости Дюпюи-Тима, Форкгеймера, Маскета, Гиринского, Бабушкина и др.) к применению методов, основанных на решении задач неустановившегося движения с расширением типов водоносных горизонтов, включая напорные пласти с перетеканием через разделяющие слои, двухслойные водоносные пласти (зависимости Ч. Тейса, Джейкоба, М. Хантуша, Н. Боултона, В. М. Шестакова, В. А. Мироненко и др.).

Наиболее полный обзор имеющихся на конец 60-х годов методик расчета параметров изложен в работе G.F. Кузекан и

N.A.Ridder (1970), рассматриваемой автором как руководство по обработке данных опытных откачек для оценки параметров. Здесь приведены основные теоретические зависимости для четырех водоносных горизонтов (напорный, полунапорный, полубезнапорный, безнапорный), описывающие установившийся и неустановившийся характер процесса снижения УПВ при откачках из совершенных и несовершенных скважин. Методы, основанные на решениях зарубежных исследователей (Дюпон, Тим, Тейс, Джейкоб, Хантуш, Боултон и др.), изложены с приведением примеров расчета параметров в определенной последовательности и с учетом ограничений на их применение. В работе учтена предшествующая ей фундаментальная монография M.S.Hantush (1964), посвященная гидравлике скважин с его решениями для условий перетекания.

Первой отечественной работой такого типа является книга, подготовленная коллективом авторов под редакцией В.М.Шестакова и Д.И.Башкатова (1974), в которой рассмотрены основные расчетные схемы и методики оценки параметров различных типов водоносных горизонтов как зарубежных, так и отечественных авторов. Но в нее не вошли все имеющиеся к тому времени схемы и методики. В монографии В.А.Мироненко, В.М.Шестакова (1978) на основе обзора и анализа теоретических положений ОФР, мирового и отечественного опыта детально рассмотрен более широкий ряд расчетных схем и методик обработки откачек как из совершенных, так и несовершенных скважин. Большое внимание уделено вопросам пространственной геофильтрационной изменчивости.

Существенный вклад в практическое внедрение отдельных методик расчета оценки гидрогеологических параметров при интерпретации ОФР внесла работа Б.В.Боревского, Б.Г.Самсонова, Л.С.Язвина (1973, 1979), выдержавшая два издания и ставшая настольной книгой гидрогеологов-производственников. В ней, в основном, рассматриваются возможности наиболее простых, так называемых методов Джейкоба-Тейса, выведенных для условий изолированного напорного пласта, на все типы водоносных горизонтов (напорные с перетеканием, безнапорные и др.). Установлены критерии их применения для водоносных горизонтов, отличных от напорных.

Помимо этих основополагающих работ, частные случаи оценки параметров рассматриваются И.В.Зелениным (1976 г.), П.Н.Костюковичем (1979), А.В.Надарейшвили (1978 г.).

В последнее десятилетие уточнения решений и доработки методик для различных типов пластов имеются в исследованиях К.Р.Раштона и В.К.Чена (1977), С.Эйлига и И.С.Хелепаски (1976), С.М.Кейса и Н.С.Аддиего (1977), Брюса Ханта (1977), Л.Джонсона и У.Б.Братсерта (1979), У.С.Уолтона (1978), Г.И.Нванквара, М.А.Черри и Р.В.Гиллхема (1984), А.И.Эл-Кади и У.Б.Братсерта (1986), З.Сена (1966), В.М.Шестакова (1983), В.М.Шестакова и Т.В.Азаровой (1966), И.К.Невечери (1988), Г.Д.Раткович (1988 г.), Е.А.Ломакина, В.А.Мироненко, В.М.Шестакова (1988 г.) и др.

Вопросы учета инерционности скважин при проведении ОФР рассмотрены Ж.Х.Блеком и К.Л.Киппой (1977 г.), П.Р.Фински (1977 г.), В.М.Шестаковым (1981), И.Мухой и В.Павликовой (1988 г.).

Анализ всех перечисленных работ приводится ниже при рассмотрении различных типов водоносных горизонтов применительно только к поровым коллекторам подземных вод, приуроченных к флювиальным отложениям.

Краткий обзор методик оценки параметров для различных схем и рекомендаций по их использованию

Рассмотрим рекомендуемые методики интерпретации ОФР в рамках основных расчетных схем, изложенных в перечисленных работах.

Для всех схем приняты следующие условия:
скважины совершенные;
расход откачки постоянный;
водоносный горизонт изотропный;
пласт неограниченный по простирации (за исключением схемы Ш).

При описании схем придерживаемся типов водоносных горизонтов, выделенных в работе (Кгизешал, Ridder, 1970):

напорный водоносный пласт, изолированный в кровле и подошве непроницаемыми породами ($K_p \approx 0$);

напорный пласт с перетеканием через слабопроницаемые разделяющие слои ($K_p \ll K_{pl}$);

безнапорный пласт.

Схема I - напорный изолированный пласт

Питание откачки осуществляется только за счет упругих запасов опробуемого пласта в условиях бассейна при отсутствии движения подземных вод в виде естественного потока.

Основной зависимостью, описывающей неустановившийся процесс снижения уровня при откачке, является уравнение Тейса:

$$S = \frac{Q}{4\pi k t} W(u), \quad (1)$$

где S - понижение уровня, м; Q - расход откачки, $\text{м}^3/\text{сут}$; $k t$ - коэффициент водопроводимости, $\text{м}^2/\text{сут}$; $W(u)$ - функция скважин: $u = \frac{\tau^2}{4at}$ - безразмерный аргумент функции; τ - радиус скважины, или расстояние наблюдательной скважины от опытной, м; a - коэффициент пьезопроводности, $\text{м}^2/\text{сут}$; t - время от начала откачки или восстановления после ее окончания, сут.

При значениях аргумента $U < 0,1$ функция скважины переходит в логарифмическую, и уравнение описывает процесс снижения при квазистационарном режиме:

$$S = \frac{Q}{4\pi k t} \ln \frac{2.25at}{\tau^2}. \quad (2)$$

На этих зависимостях основаны широко известные методы расчета параметров.

Методы Джейкоба (Боревский, Самсонов, Язин, 1979).

I.1.- метод временного прослеживания основан на уравнении (2) и предусматривает построение графика прослеживания в координатах $S - \ln t$.

I.2 - метод площадного прослеживания предусматривает построение графиков в координатах $S - \ln g$.

I.3 - метод комбинированного прослеживания основан на анализе графика $S - \ln g / t^2$.

1.4 - метод эталонной кривой Тейса основан на уравнении (I) и заключается в сравнении фактических графиков проследивания во времени в координатах $\frac{P_g S}{\rho g t}$ с графиком эталонных кривых Тейса, построенным в том же масштабе в координатах $\frac{P_g \Psi(u)}{\rho g t u}$.

1.5. - метод обработки периода восстановления аналогичен методу временного проследования, в котором график проследования отрисуется в координатах $S - \frac{P_g t_b}{T + t_b}$, где t_b - время восстановления, T - время продолжительности откачки.

Эти методы в зависимости от количества наблюдательных откачек рекомендуются для оценки параметров напорных пластов при условии приведения их к одним значениям.

Дополнительные методы, основанные на уравнении Тейса, предусматривают или анализ наклона прямой в любой точке графика в координатах $S-t$ (Дитрич, 1977), или соответствие наклонов участков эталонных и опытных кривых - метод S_m (Зен, 1988), но, в целом, приводят к тем же результатам.

Схема II - напорный водоносный пласт с перетеканием через разделяющие слои

Перетекание из водоносного пласта с постоянным напором. Питание откачки осуществляется в начальный ее период за счет упругих запасов опробуемого пласта с постепенным увеличением доли питания за счет перетекания через разделяющий слой привлекаемых запасов смежного пласта. При их значительном количестве, существенно превышающем стбор, через определенный промежуток времени питание откачки полностью осуществляется за счет склонившихся запасов смежных пластов.

Основной зависимостью, описывающей процесс снижения уровня при откачке в условиях высокой по сравнению с опробуемым пластом проницаемостью подстилающего пласта и жестким режимом в разделяющем слое, является уравнение Хантуша-Джейкоба (Мироненко, Шестаков, 1978; Hantush, 1964; Kraseman, Ridder, 1970)

$$S = \frac{Q}{\chi \eta k m} \Psi (\zeta, \bar{t}), \quad (3)$$

где $W(u, \bar{t})$ - функция перетекания, табулированная и приведенная в работах /Де Уист, 1969; Кгузешан, Ridder, 1970/;

$\bar{t} = \frac{\tau}{B}$; u - параметр перетекания, м; $B = \sqrt{\frac{K_p \cdot K_r}{K_p + K_r}}$ - при одном разделяющем слое; $u = \sqrt{\frac{K_p \cdot m' \cdot m''}{(m' + m'') \cdot K_p}}$ - при двух разделяющих слоях; m, m', m'' - мощности разделяющих слоев, м; K_p, K'_p, K''_p - коэффициенты фильтрации разделяющих слоев, м/сут.

При большой длительности откачки $t > \frac{5B}{a}$ наблюдалась стабилизация понижений напора в скважинах, которая описывается уравнением:

$$S_m = \frac{Q}{2\pi k m} K_0(\tau/B), \quad /4/$$

где $K_0(\tau/B)$ - функция Бесселя нулевого порядка второго рода от минимого аргумента, которая протабулирована и приводится в работах Мироненко и др. /1978/; Шестаков и др. /1971/; Кгузешан, Ridder /1970/, т.е. функция $W(u, \tau/B) \rightarrow 2K_0(\tau/B)$,

При $\tau/B < 0,3$ уравнение /4/ принимает вид

$$S_m = \frac{Q}{2\pi k m} e^{-\frac{1.138}{\tau}}. \quad /5/$$

На основе этих зависимостей предложен ряд методик расчета, изложенных в работах Мироненко, Шестакова (1978); Шестакова, Башкатова /1974/, Кгузешан, Ridder /1970/, основные из которых приведены ниже.

Метод эталонных кривых Хентуша-Джейкоба /1964/ основан на уравнении 3 и заключается в сравнении фактических графиков прослеживания понижения в наблюдательных скважинах во времени в координатах $PgS - Pg t$ с одной из эталонных кривых, построенных в том же масштабе в координатах $PgW(u, \bar{t}) - Pg^1/u$.

Метод Хентуша I /точки перегиба/ основан на анализе графика прослеживания понижения во времени, построенного в координатах $S - Pg t$, на котором выделяется точка перегиба, время нестуления которой характеризует равенство расходов, поступающих в скважину непосредственно из опробуемого горизонта и за счет перетока через разделяющие слои из соседних горизонтов.

Метод Хентуша II основан на анализе угловых коэффициентов прямых Ct , определенных по графикам прослеживания понижения

во времени (в координатах $S - Pg t$), которые построены для нескольких наблюдательных скважин.

Метод Хантуша Ш⁰- метод эталонной кривой $W(\tau)$, основан на сравнении фактического графика прослеживания разности установленвшегося (S_m) и текущих понижений (S_t) на различные моменты времени - график в координатах $Pg(S_m - S_t) - Pg t$ - с графиком эталонной кривой, построенной в том же масштабе в координатах $Pg(W(\tau)) - Pg \tau$, где $\tau = \frac{at}{B^2}$.

Перечисленные методы позволяют использовать весь период наблюдений, включая установившееся и неустановившееся движение. Ввиду того, что в основе методов лежат решения Хантуша-Джейкоба, рассчитанные по ним параметры должны быть близки (разхождения не превышать 5-20%).

Для установленвшегося движения, описываемого зависимостями (4 и 5), разработаны следующие методы.

Метод эталонной кривой $K_0(X)-X$ основан на совмещении графика площадного прослеживания в координатах $Pg S - Pg t$, построенного по данным понижений не менее чем в трех скважинах, с графиком эталонной кривой $Pg K_0(X) - Pg X$, построенном в том же масштабе.

Метод площадного прослеживания, основанный на зависимости (3), аналогичен методу того же названия, базирующемуся на решении Тейса-Джейкоба для условий квазистационарного и установленвшегося режимов движения.

Метод интегральных соотношений, предложенный Т.И.Баренблаттом и разработанный для условий перетекания В.Л.Мироненко и Л.И.Сердюковым (1968), имеет в основе приближенное решение, которое позволяет уточнить параметр k_m , рассчитанный по формуле Дюпюи, и определить a и B .

Метод интегральных преобразований основан на замене функции - оригинала S для нестационарной краевой задачи, функцией - изображением для более простой ("стационарной") задачи путем преобразования Лапласа-Карсона или Лапласа (Дульките, 1986; Мироненко, Шестаков, 1978).

Методы (способы) Джейкоба или методы линейной анаморфозы, основанные на зависимости Тейса-Джейкоба, применительно к на-

порному пласту рекомендуются для оценки параметров при наличии простых прямолинейных полулогарифмических графиков временного, площадного и комбинированного прослеживания (Боравский, Самсонов, Йэвин, 1979), а при сложных закономерностях – совместно с методом интегральных соотношений.

Перетекание из водонесных пластов с изменяющимися напором

Такая схема наблюдается при соизмеримой проводимости двух водонесных горизонтов – опробуемого и питущего.

Решение для случая с равными коэффициентами пьезопроводности обоих пластов получено Ф.М.Бочевером, Н.Н.Ладшиним (1969). Определение параметров основано на анализе графиков временного прослеживания в координатах $S - \bar{P}gt$, на которых должны выделяться два этапа:

первый характеризуется приуроченностью точек зависимости к прямой линии, угловой коэффициент которой C_1 отражает процесс снижения уровня в опробуемом горизонте и его проницаемость, что позволяет определить по известным зависимостям k_{tp} , a :

второй этап характеризуется приуроченностью точек зависимости к прямой линии, угловой коэффициент которой отражает процесс снижения и суммарную водопроводимость обоих пластов, что позволяет определить $k_{tp} = k_{tp1} + k_{tp2}$ и отдельно k_{tp2} .

При наличии пьезометров в каждом слое и их одинаковом положении относительно центральных скважин и при последовательном опробовании каждого пласта В.И.Шестаковым (1983) предложено несколько способов.

Способ анализа понижений \bar{S} , приведенных к проводимости нижнего пласта, которые в этом случае должны иметь одинаковые выражения:

$$\bar{S}' = \bar{S}'' = \frac{1}{4\pi k_{tp}} = \bar{S}_1' \theta_1 + \bar{S}_2' ; \text{ при } \theta_1 = \frac{k_{tp1}}{k_{tp2}}. \quad (6)$$

Обработка данных откачки этим способом основана на подборе величины θ_1 для того, чтобы на графике комбинированного прослеживания в координатах $\bar{S} - \bar{P}gt/\tau^2$ точки \bar{S}' и \bar{S}'' накладывались на одну линию.

Способ анализа разности понижений в двух пластах, зафиксированных в процессе откачки из одного пласта в пьезометрах, расположенных на одинаковом расстоянии от центральной. При откачке из нижнего пласта разность понижений $\Delta S''$ в каждом пласте в одном сечении описывается фундаментальным уравнением Хантуша-Джейкоба для условий перетекания, что позволяет применить метод эталонных кривых Хантуша-Джейкоба на фоне ее сопоставления с фактическим графиком прослеживания в координатах $\Delta S'' - \bar{P}_{gt}$ и дает возможность определить K_{T_2}, a, B .

Способ интегральных преобразований по Лашласу-Карсону расчеты на обработку данных понижений в пьезометрах, расположенных вблизи центральной, для которых значения аргументов $T/B < 0,2-0,3$, что позволяет использовать зависимость (5) для установившегося движения. Обработка ведется с использованием графика площадного прослеживания в координатах $\bar{S}_p - \bar{P}_{gt}$ или $S_p/Q_p - \bar{P}_{gt}$ при различных значениях параметра преобразования, для каждого из которых точки зависимости ложатся на прямую линию, отсекающую на оси \bar{P}_{gt} величину $\bar{P}_{gt}K_p$. На построенным затем графике в координатах $\xi - P$, где $\xi = -(1,12/P_p)^{1/4}/P$, опытные точки должны лежать на прямую линию, отсекающую на осях

$$\xi = (\mu_1 + \mu_2)^x / T_1 T_2 \text{ и } P_0 = -(\mu_1 + \mu_2)^x / \mu_1 \cdot \mu_2,$$

где μ_1, μ_2 - коэффициенты водоотдачи пластов; $x = K_p/T_p$ - коэффициенты перетока.

Имеется решение и для случая, когда верхний пласт является безнапорным.

Рекомендации по интерпретации откачек, изложенные Мироненко, Шестаковым (1978) и расширенные в работе Шестакова (1983), относятся к случаю двух взаимодействующих через разделяющий слой проницаемый слой пластов, один из которых опробуется опытной откачкой. Понижения в обоих пластах под влиянием откачки фиксируются в наблюдательных скважинах, расположенных в одних сечениях локально на каждый пласт на различном расстоянии от опытной.

Рекомендуется вести расчеты следующими методами:

площадное прослеживание по ближайшим скважинам, оборудованным фильтрами на опробуемый водоносный горизонт;

временное прослеживание, в основе которого лежит возможность определения параметров опробуемого пласта по первому этапу снижения и суммарной характеристике параметров системы в целом - по конечному этапу снижения. Уклоны прямых в этом случае на конечном участке должны быть одинаковы при постоянном значении разности понижений в наблюдательных скважинах, оборудованных фильтрами на каждый водоносный пласт;

способ эталонной кривой $W(u, \tau) - I/u$ для анализа разности понижений в двух пластах при опробовании одного из пластов в случае снижения уровня в питющем слое или непосредственно понижений в опробуемом пласте согласно зависимости (I) в случае сохранения неизмененного напора в питющем слое;

способ интегральных преобразований, который вследствие сглаживания возможных ошибок замеров при замене оригиналов понижения их изображениями, по мнению В.И.Шестакова, является менее субъективным.

Аналогичные рекомендации по обработке результатов опытно-фильтрационных опробований многослойных толщ изложены в работе Боревского, Самсонова, Язвина (1979). Основной упор делается на применение способов Джейкоба (временное, площадное, комбинированное прослеживание) с дополнительным определением параметра перетекания методом эталонных кривых Хантуша-Джейкоба. Среди методов Джейкоба преимущество отдается способу комбинированного прослеживания.

Уточнения и дополнения к основным решениям и методикам содержатся в отдельных статьях, рассматривающих данный тип водоносного горизонта.

Так, в статье Bruse Hunt (1977) представлен бесконечные ряды функции перетекания Хантуша-Джейкоба для малых значений аргумента τ , а у Саве С.М. и Addiego J.C. (1977) - численные значения этой функции для величин аргумента $\tau = 0,01-0,1$, которые практически не отличаются от широкого диапазона этих значений (De Wijs 1969; Kruiseman, Ridder, 1970). Выполненные аналитические решения для понижения уровня при от-

начне из несовершенной скважины, пробующей один из слоев двухслойного пласта (Хавандел, Уантерспун, 1983 г.), позволившее авторам рекомендовать замену двухслойной системы эквивалентным однородным водонессым горизонтом с обобщенными параметрами $T_{ed} = T_1 + T_2$ и $S_{ed} = \frac{S_{s1} \cdot h_1 + S_{s2} \cdot h_2}{h}$. В.М.Шестаковой, Т.В.Азаровой (1986) для обработки данных ОФР, проводимых в пластах с перетеканием из соседних пластов, предложены дифференциальные способы, основанные на анализе логарифмических производных кривой временного прослеживания понижения уровня. Они представляют интерес для обработки снижения уровня в центральной скважине, для которой:

$$S = \frac{Q}{4\pi} \exp\left(-\frac{at}{B^2}\right), \quad \text{где } B = \frac{\partial S}{\partial \ln t}. \quad (7)$$

Предлагается использовать график $R_p B' \ln t$ ($R_p B' = R_p \frac{\partial S}{\partial \ln t}$).

на котором по точке B_c , отсекаемой прямой по оси $R_p B(t=0)$, можно получить $T = Q / 4\pi B_o$, а по уклону прямой - a / B^2 .

Следующий предлагаемый прием численного дифференцирования основан на предварительной аппроксимации кривой временного прослеживания полиномом вида:

$$S = a_0 + a_1 R_p t + a_2 R_p^2 t^2 + \dots + a_n R_p^n t^n. \quad (8)$$

Параметры трехпластового потока, разделенного двумя слабопроницаемыми слоями, по данным ОФР, определены в работе И.К.Невечеря и И.В.Авилиной (1988). Применен способ идентификации геофильтрационных параметров на основе минимизации функции многих переменных. В качестве расчетных взяты схемы неограниченного пласта, двухпластового потока с постоянным (стационарный и нестационарный режимы) и изменяющимся уровнем в соседнем пласте (нестационарный режим), трехпластовый поток (нестационарный режим), описываемый численно-аналитическим решением В.М.Шестакова и Г.Д.Григориной. Результаты по всем схемам хорошо согласуются между собой, но лишь последний позволяет оценить все параметры трехпластового потока при пробовании одного пласта и наличия замеров понижений во всех трех пластах. Интерес представляют решения О.В.Чеботаревой (1993) для

двух типов двухслойного пласта, первое из которых, по сравнению с решением М.Хантуша, обосновано в более широком временном интервале и является более точным приближением к истинным значениям понижений (параметров), а второе дает аналогичные результаты по сравнению с решением Н.Н.Лапшина (1979).

Расчетам параметров многослойных толщ численными методами посвящены работы Г.Д.Раткович, В.М.Шестакова (1987), В.Л.Веселовой, Г.Д.Раткович (1987). Составленные ими программы отражают радиальный поток, формируемый в процессе откачки из одного из пластов многопластовой системы с учетом взаимодействия с другими слоями через разделяющие слои (программы "FILT8", "ANIS" МГУ, соответственно для ЭВМ типа ЕС и ПЭВМ). Наиболее полный набор возможных гидродинамических схем опробуемых водоносных пластов для различных граничных условий предусмотрен разработанной О.А.Дульките (1982) программой "Гидлар", которая основана на выборе наиболее приемлемой схемы с установлением минимума функционала расчетных и фактических понижений в процессе многократной итерации на ЭВМ типа ЕС.

Схема Ш - беззапорный водоносный горизонт

При откачке из беззапорных пластов, питание которой осуществляется за счет емкостных запасов, наблюдается замедление проявления гравитационной водоотдачи, что объясняется В.М.Шестаковым (1974, 1978) влиянием капиллярной каймы или покровного слоя для двухслойного пласта. Этот процесс отражается на графиках временного прослеживания с выделением трех этапов, которые описываются зависимостями:

- | | |
|-----------------------------------|---|
| I этап (упругий режим) | - уравнение Хантуша-Джейкоба
зависимость (3) |
| II этап (ложностационарный режим) | - зависимости (4 и 5) |
| III этап (гравитационный режим) | - уравнение Боултона
$S = \frac{Q}{4\pi k_p} W_b(\zeta_b, \gamma_b)$, (9) |

где $W_b(\zeta, \gamma_b)$ - специальная функция Боултона для условий

гравитационного режима; $B = \sqrt{\frac{Km}{\mu}}$; μ - коэффициент залаздывания проявления гравитационной водоотдачи.

В пределах этого этапа при наступлении квазистационарного режима функция Боултона переходит в логарифмическую функцию:

$$W_B(\tau_B, \tau/v) \rightarrow R_p \frac{2.25at}{\tau^2}.$$

Процесс снижения уровня здесь должен подчиняться зависимости Тейса для условий гравитационной водоотдачи:

$$S = \frac{Q}{4\pi K m} W \left(\frac{\tau^2}{4at} \right) \text{ или } S = \frac{Q}{4\pi K m} R_p \frac{2.25at}{\tau^2}. \quad (10)$$

На основе этих зависимостей для обработки ОФР предложены методы (Мироненко, Шестаков, 1978; Шестаков, Башкатов, 1974; Кильевал, Ridder 1970), которые частично дублируют методы, обоснованные для условий перетекания. Ниже приводится перечень методов расчета для данной схемы.

I этап - упругий и ложностационарный режимы. Применяются методы эталонных кривых Хантуша-Джейкоба, три метода Хантуша

II этап - ложностационарный режим. Возможно использование метода эталонной кривой Ко (x) - x , площадного прослеживания.

III этап - гравитационный режим.

Метод эталонных кривых Боултона основан на сравнении фактических кривых прослеживания понижения во времени, построенных в координатах $RgS - Rgt$, с эталонными кривыми Боултона, построенными в том же масштабе в координатах $RgW_B(\tau_B, \tau) - Rg^4/v_B$ и позволяет рассчитать Km и a . Применяется совместно с методом эталонных кривых Хантуша-Джейкоба.

Способы эталонных кривых $W(\tau, \bar{\tau}) - \frac{1}{v}$ и $W(\tau, \bar{\tau}, M^*/M)$ аналогичны предыдущему методу. Функции $W(\tau, \bar{\tau})$ и $W(\tau, \bar{\tau}, M^*/M)$ близки функции Боултона и уточняют ее значения при различных значениях $\frac{M^*}{M}$ = 6,5; 30; 34; 100. Способы позволяют рассчитать Km , v_B .

При выходе на конечных участках графиков точек зависимости в координатах $S - Rgt$ по нескольким наблюдательным скважинам на параллельные прямые, что свидетельствует о подчинении про-

цесса снижения зависимости (2), возможно использование способов Джейкоба (временное, площадное, комбинированное прослеживание).

Рекомендации в работе (Мироненко, Шестаков, 1978) предлагаются применять при обработке понижений в совершенных и несовершенных пьезометрах. При использовании понижений в совершенных пьезометрах рекомендуются:

способы площадного прослеживания и эталонной кривой $K_0(X)-X$. Для анализа используются понижения в точке перегиба, фиксирующей переход от должностационарного к гравитационному режиму. Этими способами при наличии не менее трех наблюдательных скважин определяется водопроводимость пласта;

зависимость Дюпюи используется при наличии двух наблюдательных скважин для предварительного определения водопроводимости;

метод интегральных соотношений по конечным понижениям помогает уточнить полученное значение K_{tp} ;

способы эталонных кривых Хантуша-Джейкоба рекомендуются для получения K_{tp} и a^* при обработке I этапа упругого режима графиков прослеживания; эталонных кривых Боултона - для определения K_{tp} , V_{Ma} в пределах III этапа гравитационного режима.

Рекомендации Боревского и др. (1979) основаны на том, что при откачке из безнапорных пластов графики прослеживания имеют участки, описываемые уравнениями Тейса-Джейкоба. Применение здесь методов Джейкоба связано с необходимостью поиска представительного расчетного участка, для которого возможно использование критериев и приемов (способы временного, площадного и комбинированного прослеживания при квазистационарном режиме), применяемых для условий напорного водоносного горизонта.

Решение Боултона, положенное в основу перечисленных методов впоследствии неоднократно подвергалось ревизии. В частности, Нешман (1972, 1975) показал, что аналогичный характер графиков прослеживания получается при принятии условий вертикальной анизотропии пласта ($K_z \neq K_x$), что дало основание автору усомниться в реальности фактора изменчивости

водоотдачи. В обзоре методов обработки данных откачек в безнапорных условиях Walton (1978) исходит из теоретических и экспериментальных результатов, подтверждающих постоянство водоотдачи, незначительную роль капиллярной зоны и определяющий фактор анизотропии. Это позволило рекомендовать в качестве основной зависимости решение Ньюмана (Newman, 1975) для совершенной скважины без учета ее емкости, в котором учтена анизотропия пласта в горизонтальном и вертикальном направлениях. Функция $W(\frac{Q_d}{C_d}, \frac{Q_v}{C_v}, \beta)$ отражает разнообразие семейства кривых, названное неоднородностью пласта ($\frac{K_h}{K_z} = 0,1-10,0$) в пределах конкретных кривых, отражающих замедление проявления гравитационной водоотдачи с выявлением этапов, соответствующих эталонным кривым типа А Хантуша-Джейкоба и типа В Боултона (Boulton, 1963).

Численный анализ опытной откачки в неограниченных безнапорных пластах и сопоставление его результатов с аналитическими решениями Боултона приведены в работе Rushton, Chan (1977), доказавшей несущественное различие результатов и оцененной возможности численной дискретной модели для интерпретации результатов откачки с целью установления геофильтрационных параметров пласта.

Сравнительное исследование различных методов определения гравитационной водоотдачи неглубоких песчаных и водоносных горизонтов приведено в работе Nwankwo и Shengyu (1984), где сравниваются коэффициенты гравитационной водоотдачи, полученные лабораторным способом, а также рассчитанные по данным кратковременной и продолжительной откачек объемно-балансовым методом и методами Ньюмана и Боултона. Утверждается, что реальной является водоотдача, полученная лабораторным способом (0,3), которая может быть подтверждена объемно-балансовым методом при длительных откачках (при фактической продолжительности откачки 65 ч получено повышение водоотдачи от 0,07 до 0,25). Величина гравитационной водоотдачи, определенная методами эталонных кривых Боултона и Ньюмана, считается переальной и заниженной (0,07-0,08), что по мнению авторов, показывает неадекватность положенных в их основу моделей

поведения водоносного горизонта. Делается вывод о необходимости создания модели, которая учитывала бы как влияние вертикальных гидравлических градиентов в насыщенной зоне, так и запаздывание водоотдачи над уровнем воды.

Впоследствии исследование, выполненные Kadí и Brutsaert (1986), доказали на примере сравнения решений Боултона с численными решениями уравнений Ричардса и Буссинеска большую точность решения Боултона для длительных периодов времени и совпадение решений - для коротких. Достоверность решения Боултона доказана и для двухслойных пластов (пласт, перекрытый слабопроницаемыми отложениями), в котором нижний, опробуемый, слой рассматривается как напорный, а при откачке уровень опускается ниже его кровли.

Так, Moench, Prickett (1972), рассматривая откачуку из такого пласта, в основу решения положили ступенчатую функцию изменения водоотдачи μ упругой до гравитационной. Полученные в результате решения кривые зависимости понижения от времени занимают промежуточное положение между эталонными кривыми Тейса соответственно для упругого и гравитационного режима и близки к понижениям, описываемым с учетом замедления проявления гравитационной водоотдачи μ_g решением Боултона. К аналогичным результатам пришли Eh1id и Halepaska (1976), подтвердившие аналитические решения численными. Для постоянных

μ и T модель сходится с решением Тейса, а при задании μ ступенчатой функции при постоянном T она дает результаты, аналогичные аналитическому решению Moench и Prickett (1972) и позволяет получить решение с учетом эффекта замедленной водоотдачи в случае строго безнапорного потока (Boulton, 1963).

Степанищев С.Л. (1991 г.) на основе численного моделирования опытных откачек из безнапорных водоносных горизонтов речных долин Центрального Казахстана пришел к следующим выводам:

изменение уровня в основном пласте наиболее чувствительно к изменению параметров K_2/K_1 и μ_2/μ_1 ;

процессы влагопереноса в осушаемой зоне слабо влияют на ход формирования воронки депрессии в основном пласте и, следовательно, на определение водопроводимости, которую можно

изменять общепринятыми способами;

в связи с неустановившимися процессами перераспределения влаги в зоне неполного насыщения при перемещении уровня свободной поверхности водоотдача не сразу достигает предельных значений, и время стабилизации μ определяется в зависимости от гидравлических характеристик и схем строения.

На основании этого он предлагает для условий безнапорных водоносных ($K_d/K_t \approx 0,5-0,1$) водоносных горизонтов с коэффициентами фильтрации 10-100 м/сут при определении μ ориентироваться на автоматизированный способ на основе схемы двухпластового пласта и объемно-балансовый метод (ОБМ), преимуществом которого, по мнению автора, является отсутствие требований к априорному использования какой-либо расчетной геофильтрационной модели откачки.

Схема IV - полуограниченный безнапорный водоносный горизонт с границей постоянного напора

Для этой схемы питание откачки через некоторый промежуток времени полностью осуществляется за счет привлекаемых ресурсов - речного стока. По данным откачек, из скважин, расположенных у реки, обычно определяются водод проводимость k_m и сопротивление дюка водоема a_L .

При откачке на графиках прослеживания понижения во времени выделяются четыре этапа, из которых первые три аналогичны этапам для безнапорного пласта (упругого, ложностационарного и гравитационного режимов, а четвертый (стационарный) обусловлен стабилизацией уровней под влиянием реки.

Основной зависимостью, описывающей процесс снижения под влиянием откачки применительно к напорному пласту, является:

$$\zeta = \frac{Q}{4\pi k_m} \left[W\left(\frac{\tau^2}{4at}\right) - W\left(\frac{\rho^2}{4at}\right) \right] = \frac{Q}{4\pi k_m} W(\beta^2 u), \quad (II)$$

переходящая при квазистационарном режиме в формулу Форхгеймера:

$$S = \frac{Q}{2\pi k_m} \ln \frac{\rho}{\tau}, \quad (I2)$$

где ρ - расстояние до зеркально отраженной скважины, м;
 ζ - расстояние до опытной скважины, м;

$$\rho = \sqrt{(2L-x)^2 + y^2}, \quad \beta = \frac{\rho}{\zeta};$$

x, y - координаты точки пласта, в которой определяется понижение, относительно опытной скважины; L - расстояние опытной скважины до реки, м.

При несовершенной связи реки с подземными водами ($\Delta L \neq 0$) в расчет ρ вводится величина ΔL

$$\rho = \sqrt{[2(L+\Delta L)-x]^2 + y^2} \quad (13)$$

Методы расчета параметров ($K_T, \Delta L$) по этой схеме основаны на анализе конечных понижений в пьезометрах, зафиксированных на IV этапе откачки.

Способ площадного прослеживания основан на анализе графика в координатах $S - \log \rho / \zeta$. При $\Delta L = 0$ точки зависимости ложатся на прямую линию, выходящую на начало координат. Координаты любой точки позволяют определить K_T , при использовании зависимости (12). При $\Delta L \neq 0$ водопроводимость определяется по понижениям в скважинах, расположенных по лучу, параллельному реке, а величина ΔL - подбором по соотношению понижений в двух наблюдательных скважинах. Для упрощения подбора имеются решения и зависимости В.И.Шестакова, Ю.О.Зеегофера (1968), В.И.Шестакова (1981), которые позволяют определить ΔL с учетом ширины реки. Обработку данных откачек у реки при однослоистом строении горизонта рекомендуется (Мироненко, Шестаков, 1978) проводить, используя установившееся понижение уровня, зафиксированное в конце откачки при убеждении в истинности стабилизации.

В качестве основного рекомендован метод площадного прослеживания (Боревский и др., 1979, 1985) в координатах $S - \log \rho / \zeta$, который позволяет определить водопроводимость пласта, и путем подбора - величину ΔL .

При использовании метода аналогичного названия в координатах $S - \log \tau$ рекомендуется (Боревский и др., 1979) использо-

вать только те скважины, которые отвечают площадному ограничению: $\frac{\tau}{L + \Delta L} \leq 0,4-0,5$. В частности, этим объясняются предложения по расчету КМ по параллельному реке створу наблюдательных скважин, которые отвечают этому критерию, в методах оценки ΔL , разработанных В.М.Шестаковым (1983).

В.М.Шестаковым, И.К.Невечерей (1991) приведены обоснование и сравнительная оценка различных способов интерпретации опытных откачек у реки с помощью ЭВМ. Рекомендуется при четырехэтапном графике прослеживания понижения во времени для определения параметров водопроводимости и сопротивления русла ΔL использовать понижения стационарного, четвертого этапа, применения в качестве расчетных зависимости В.М.Шестакова, Ф.М.Бочевера для узких и широких рек в виде графического способа. При автоматизированном способе обработки на ЭВМ отмечается необходимость стремления к упрощению решения прямой задачи путем уменьшения числа одновременно определяемых параметров. Так, в ложностационарном режиме предлагается ограничиться определением водопроводимости и коэффициента перетока χ_0 , а на стационарном этапе - χ_0 и ΔL .

Сопоставительный анализ результатов расчета различными способами (графоаналитический, автоматизированные неявный и явно-неявный, способ последовательных расчетов) показал хорошую сходимость параметра водопроводимости, оцененного всеми способами и зависимость χ_0 от способа определения при сохранении порядка цифр этого параметра. Это послужило основой следующих рекомендаций по рациональной схеме размещения наблюдательных скважин, которая ограничивается двумя скважинами (вблизи реки и центральной), расположенными по перпендикулярному к реке лучу.

Степанищев С.Л. (1991 г.) отмечает, что в результате сложного взаимодействия таких факторов, как динамика гравитационной водоотдачи, вертикальных сопротивлений потока, профильной неоднородности водоносного пласта, этапы режима оказываются огражденными, а уверенное выделение стационара осложнено влиянием колебаний уровня воды в реке. Он делает вывод об отклонении хода фильтрационного процесса от схемы изолированного

напорного пласта и вследствие этого о неприменимости способов Джейкоба и эталонной кривой Тейса для оценки проводимости пласта. Для этой цели им рекомендуется ориентироваться на обработку стационарного режима автоматизированными способами (В.М.Шестаков, И.К.Невечеря, 1991 г.). Оценка параметра ΔL вследствие его низких значений становится второстепенной задачей.

А.Л.Язвин (1993), рассматривая вопросы интерпретации приречных скважин, опробующих аллювиальную водоносную толщу большой мощности, в качестве основного метода рекомендует использовать численно-аналитическое моделирование (В.М.Шестаков, 1988 г.), в котором решение нестационарных задач осуществляется с помощью метода интегральных преобразований, а численные методы применяются при решении нестационарных и стационарных задач для нахождения собственных значений исходной матрицы с использованием решений для бесконечного числа слоев в матричной форме для неограниченного в плане радиального потока и схемы с рекой, полученных В.Л.Зеселовой. Им обоснованы требования к дробности разбивки модели по оси z . Обработку предлагается проводить способом последовательного расчета параметров. По начальному этапу, в течение которого отсутствует влияние реки на получаемые величины понижений, определяются параметры водоносного горизонта путем решения обратных задач по радиальной схеме потока, а расчет коэффициента перетока подрусловых отложений проводится по данным конечного стационарного этапа. Рекомендуемая схема опробования сводится к проведению опытных откачек из трех интервалов – эксплуатируемого, верхнего и нижнего с последовательным определением их характеристик и связи с рекой через коэффициент перетока.

Выводы по анализу обзора методов оценки параметров

На основе вышеизложенного обзора представляется необходимым отметить следующее:

1. В основе всех методик лежат фундаментальные решения, которыми учтены или сработка емкости водоносного горизонта за счет упругих (напорный пласт) и гравитационных (безнапор-

ний пласт) запасов подземных вод, или перетекание сложившихся запасов смежных водоносных пластов (напорный пласт с перетеканием), или привлечение поверхностных водных ресурсов из реки (приречные участки развития безнапорных водоносных горизонтов), т.е. применяется ограниченное число расчетных схем, не отражающих многообразия природных условий.

И. Многочисленные попытки получить новые решения чисто автоматическими приемами, а не на основе раскрытия и уточнения сущности гидродинамических процессов, возникающих при отвалах из горизонтов различных типов, не дали и не могли дать положительных результатов. Они не способствовали повышению достоверности оценки параметров, так как не выходили за рамки известных теоретических зависимостей.

II. Основанные на этих решениях методики и способы расчета можно огрупировать следующим образом:

аналитические расчеты по конечным зависимостям (Дюпон, Форхгеймер, Тейс, Хантуш и др.),

графоаналитические - аналитические расчеты на основе анализа графиков прослеживания понижений во времени и в пространстве с использованием методов линейной анаморфозы (способы Джейкобса) или эталонных кривых (Тейса, Хантуша-Джейкоба, Бouldона),

численно-аналитические - аналитические расчеты совместно с решением обратных задач по оценке параметров на численных моделях, отражающих различные типы водоносных горизонтов (безнапорный, напорный, слоистая толща),

численные - решение обратных задач на численных моделях для различных типов водоносных горизонтов и характера граничных условий.

4. Рассчитанные этими методами параметры близки к реальным только при соответствии выбранной расчетной схемы конкретному типу опробуемого водоносного горизонта. При невыдержанности этого критерия наблюдается существенное отступление расчетных значений параметров от достоверных. Результаты, полученные численными методами, в отдельных случаях приводят к некоторому сглаживанию рассчитанных параметров, однако, не выходят за рамки возможностей точных теоретических решений, выведенных

для конкретного типа водоносного горизонта. Вследствие этого численные решения не всегда имеют преимущества перед аналитическими и графоаналитическими, хотя и расширяют возможности анализа опытных данных.

5. При оценке параметров емкости предпочтение в отдельных случаях (Nwankwe, Cherry, Gillham; 1934) отдается результатам лабораторных определений водосодержащих пород и объемно-балансовому методу (ОБМ). Следует подчеркнуть два положения, не позволяющих безоговорочно согласиться с этими выводами:

при лабораторных исследованиях невозможно сохранить природную структуру породы, вследствие чего полученные по ним результаты, как правило, существенно завышены;

рост водоотдачи по результатам расчета объемно-балансовым методом вполне оправдан, но может отражать не истинное замедление ее проявления, а начало стабилизации понижений в конечной части граjkи под влиянием каких-либо факторов питания откачки. При более продолжительной откачке и наступлении полной стабилизации уровня применение объемно-балансового метода приведет к величинам, значительно превышающим водоотдачу, определенную лабораторным способом. При наступлении стабилизации водоотдача может достигнуть фантастических величин (до бесконечности).

Кроме того, при оценке объемно-балансовым методом рассчитанные объемы извлеченной воды в пределах осущенной части депрессионной воронки имеют существенный процент ошибки вследствие, как правило, недостаточной информации о развитии воронки депрессии и ее асимметричности. Необоснованность применения ОБМ подтверждает простой аналитический расчет изменения водоотдачи по результатам откачки, питание которой через некоторый промежуток времени полностью формируется за счет естественного потока подземных вод при стабильной воронке депрессии, не увеличивающей своего объема при любой продолжительности откачки. При реальной водоотдаче $\mu = 0,1$, расходе откачки $864 \text{ м}^3/\text{сут}$ за четверо суток сформирована воронка депрессии объемом 34560 м^3 . Увеличение объема отбираемой во-

и при отношении его к тому же объему воронки депрессии приводит (без учета этого фактора) к увеличению рассчитанных значений водоотдачи через 10 сут - до 0,25, через 20 сут - до 0,9, а через некоторое время (40 сут и более) - она превышает 1.

О, делающий в настоящее время (Neuman, 1972, 1975; Neuman, 1978) для безнапорных горизонтов упор на анизотропию пласта (различие коэффициентов фильтрации в горизонтальном и вертикальном направлениях), которая рассматривается в качестве одной из причин разнообразия понижений при откачках из твердого пласта, хотя, безусловно, может объяснить факт различия в нападениях, но не является основной причиной отступления наблюдаемых процессов снижения уровней от теоретических.

Приоритетность учета фактора анизотропии при откачках основывается следующими доводами:

при понижениях, достигаемых в процессе опытных откачек, выполнено из совершенных скважин, роль анизотропии пласта в горизонтальном и вертикальном направлениях несущественна и практически не проявляется. Главенствующая роль принадлежит горизонтальной составляющей коэффициента фильтрации;

в условиях изложенного выше процесса формирования флювиальных плиоцен-четвертичных отложений максимальная анизотропия может проявляться преимущественно в отложениях, не подверженных длительной механической переработке их водным потоком, т.е. в отложениях пролювиального или дельменного генезиса, приуроченных к опущенным тектоническим блокам и являющихся малоопроницаемыми. Для русловых отложений, которые представлены основные продуктивные водоносные горизонты, характерна вполне степень отсортированности отложений водным потоком и относительная изотропность без существенного преимущества одной из составляющих коэффициента фильтрации.

7. Приведенная в табл. 2 возможная структура формирования расходов откачки из водоносных горизонтов различного типа показывает, что именно неучет этих составляющих является основной причиной получения по результатам расчета нереальных параметров k , если для напорных и напорных с перетеканием плас-

тов эти помехи, вызванные игнорированием отдельных составляющих, несущественны, то для безнапорных водоносных горизонтов именно они определяют характер хода снижения уровней при откачке, что и приводит, в целом, к значительному, иногда непредсказуемому, искажению рассчитанных параметров.

ГЛАВА 4. ОЦЕНКА СТЕПЕНИ ОТРАЖЕНИЯ В РАСЧЕТНЫХ ЗАВИСИМОСТЯХ И МЕТОДИКАХ ОСНОВНЫХ ФАКТОРОВ, ОПРЕДЕЛЯЮЩИХ ХОД СНИЖЕНИЯ УРОВНЯ ПРИ ОТКАЧКАХ, И СПОСОБЫ ИХ УЧЕТА

Составляющие понижения уровня воды при ОФР

При откачке на понижение уровня воды внутри скважины влияет ряд факторов, определяющих абсолютную величину понижения. Общее суммарное понижение в этом случае может быть приближенно записано в виде:

$$S_c = S_c + \sum_{l=1}^n \Delta S_l + \Delta S_{nd} + \sum_{k=1}^m \Delta S_k, \quad (14)$$

где S_c - понижение в совершенной скважине при ее работе в неограниченном напорном или безнапорном пласте; $\sum_{l=1}^n \Delta S$ - сумма дополнительных срезок или повышений уровня, отражающих условия питания откачки - влияние непроницаемой границы ΔS_{gr} , питающей границы реки Δh_{gr} , перетекания через разделяющий слой Δh_{per} , естественного потока Δh_{en} , изменения условий питания на границах в процессе откачки ΔS_p , т.е.

$$\sum_{l=1}^n \Delta S_l = \Delta S_{gr} - \Delta h_{gr} - \Delta h_{per} - \Delta h_{en} \pm \Delta S_p, \quad (15)$$

ΔS_{nd} - дополнительные срезки уровня, вызванные неоднородностью пласта в разрезе; $\sum_{k=1}^m \Delta S_k$ - сумма дополнительных понижений, отражающих конструктивные особенности скважины, фильтра и прифильтровой зоны и определяющих несовершенство скважины по степени вскрытия ΔS_{cb} и характеру ΔS_{xb} , т.е.

$$\sum_{k=1}^m \Delta S_k = \Delta S_{cb} + \Delta S_{xb}. \quad (16)$$

Рассмотрим влияние каждого фактора и возможность реализации его учета при расчете геофильтрационных параметров опробованного пласта исходя из современной изученности процессов формирования воронок депрессии при откачках из скважин и состояния второй интерпретации ОФР.

Положение в скважине (совершенной по степени и характеру вскрытия) в неограниченном пласте S_c отражает процесс отбора при откачке емкостных запасов пласта (упругих - при опробовании напорного пласта и гравитационных - безнапорного). Для этих типов водоносного горизонта распределение понижений вычисляют фундаментальными решениями Тейса (1 напорный пласт) и Бултона (9 безнапорный пласт) для условий неуставновившегося движения, а форма кривой депрессии и распределение понижений по площади на различные моменты времени - зависимость Дюпюи для стационарного режима. Решения Тейса и Бултона отражают два крайних состояния напряженности пласта - напорный, расположенный на больших глубинах, находится в предельно упругом состоянии под влиянием геостатического давления от всех вышележащих отложений, безнапорный не испытывает влияния этого давления и характеризуется минимальной напряженностью, что при проведении откачек обуславливает различный вид графиков временного прослеживания (одноэтапный - для напорного пласта и трехэтапный - для безнапорного, гл. 3).

Влияние геостатического давления как одного из основных факторов, определяющего состояние упругости пласта, обуславливает степень напряженности пласта на различных глубинах, характер изменения уровней при их опробовании и не ограничивается закономерностями, отмеченными для рассмотренных выше типов.

Сумма дополнительных срезок или повышений уровня, отражающих условия питания откачки и граничные условия пласта $\sum \Delta S_n$. Здесь необходимо выделить две группы.

Группа факторов, выраженных в имеющихся решениях (ΔS_{np} , Δh_{np} , Δh_{cp}), по учету границ пласта в плане и разрезе, таких, как уравнения Форхгеймера для скважины, расположенной у непроницаемой границы II рода ($Q = 0$); для скважины, расположенной у реки (граница I рода); дополнения В.М.Шестакова

(1963, 1968) для реки (границы Ш рода). Принцип, положенный в основу вывода этих решений (зеркальное отображение и сложение течений), может применяться для учета любого количества границ (подуограниченные и ограниченные пласти) при использовании зависимостей, отражающих тип водоносного горизонта. К этой же группе можно отнести и уравнение Хантуша-Джейкоба (3), которое учитывает плоское питание откачки путем перетекания через разделяющий слой из смежных водоносных пластов и реализует влияние границ Ш рода в кровле и подошве опробуемого пласта.

Группа факторов, не нацеленных отражения, а имеющихся решений, обусловлена сложностью структуры формирования расхода откачки (табл. 2) - Δh_{ep} , aSp :

естественный поток подземных вод, влияние которого реализовано частично решением Хантуша только для безнапорного горизонта, хотя движение подземных вод и, соответственно, наличие потока характерно для водоносных горизонтов и других типов;

привлечение к питанию откачки из безнапорного пласта части выклинивающихся на поверхность подземных вод в виде родникового, плоского, речного дренирования; подземных вод, идущих в естественных условиях на испарение с их зеркала и транспирацию растительностью на участках близкого залегания уровня; местного инфильтрационного питания подземных вод за счет атмосферных осадков, ирригационных вод;

изменение условий питания в процессе проведения откачки (подъем-снижение уровня) под влиянием аналогичного процесса на питающих границах в пределах сформированной откачкой воронки депрессии, а также изменение региональных ресурсов, определяющих динамичность формируемых ими за пределами области питания откачки сложившихся запасов опробуемого пласта.

Дополнительное гонжение, обусловленное макро-неоднородностью фильтрационных свойств отложений в разрезе aSp , представленном переслаиванием маломощных (2-3 м) слоев, отличных по проницаемости. Предварительное заключение о возможности проявления этого фактора в безнапорных пластиах может быть

выделено на основании анализа литологического разреза скважины, что достигается в процессе внимательного документирования выемки ударно-механическим способом или анализом стандартного электрокаротажа скважин (при вращательном бурении).

В процессе откаек выделение этапов снижения уровня, вызванного наличием выдержаных слоев различной проницаемости, может прослеживаться довольно четко. Каждый период снижения уровня в пробуемой скважине в пределах отдельно взятого слоя характеризуется своим темпом снижения, изменяющим интенсивность при переходе уровня из одного слоя в другой. Выделенные по интенсивности снижения уровня этапы отражают уменьшение в процессе откачки среднего коэффициента фильтрации и мощности радиального горизонта в центре радиального потока, формируемого откачкой.

Сумма дополнительных понижений, отражающих конструктивные недостатки скважины, фильтра и прифильтровой зоны $\Sigma \Delta S_k$ определена гидравлическим сопротивлением, называемым степенью вскрытия пласта и расположением фильтра относительно его кровли ξ_1 , и гидравлическим сопротивлением, зависящим от характера его вскрытия ξ_2 , определяемого параметрами фильтра, состоянием проницаемости прифильтровой зоны и ее изменения при профилировании.

Вопросы оценки этих гидравлических сопротивлений рассмотрены в работах Ф.М.Бочевера (1968 г.); В.М.Гаврилко, В.С.Алексеева (1976 г.); Н.Н.Веригина (1977 г.); Э.А.Грикевича (1978, 1986 гг.); Ю.О.Зеегофера, В.И.Шестакова (1972 г.); Н.Н.Лапшина (1976 г.), А.И.Чарного (1963 г.) и др. Решения представлены в виде аналитических зависимостей, таблиц и графиков применительно к несовершенным скважинам для различных типов фильтров.

Срезка уровня, вызванная несовершенством скважины по степени вскрытия, учитывается введением в основные расчетные формулы, описывающие понижение уровня под влиянием откачки из совершенной скважины, поправок на этот вид несовершенства, предложенных Н.Н.Веригиным. Решения рассчитаны на различные варианты положения фильтра относительно кровли и подошвы

пласта, отношения длины фильтров φ к мощности пласта m , мощности пласта к радиусу скважины r_s - для опытной скважины или расстояния до пьезометров τ_m - для наблюдательных.

Решения Э.А.Грикевича (1986), основанные на уточнении коэффициента зоны существенной деформации потока ϵ для двухпластового горизонта различной проницаемости каждого пласта, и их сравнение с решениями Н.Н.Лапшина (1976 г.) для аналогичного горизонта и Н.Н.Беригина - для однородного пласта показали приемлемую сходимость и правомерность использования для расчета скважин, работающих в условиях двухпластовой системы, хотя решения Э.А.Грикевича наиболее полно отражают фактор неоднородности горизонта.

Срезка уровня, вызванная несовершенством скважины по характеру вскрытия, трудно поддается количественной оценке. Природа формирования определяющего ее гидравлического сопротивления ζ_2 обусловлена фильтром скважины и ее конструкцией; протяженностью пути движения воды по стволу скважины от места ее поступления до положения всаса насоса (ощущимо проявляется лишь в скважинах большой глубины); состоянием пород прифильтровой зоны, в значительной степени зависящей от способа бурения скважины; изменением проницаемости пород этой зоны в процессе проведения ОФР; отклонением от линейного закона фильтрации, что является производным от технического состояния скважины и ее прифильтровой зоны, которые, определяя большую величину сопротивления по характеру вскрытия, вызывают соответственно ламинарный (при малых сопротивлениях) или турбулентный (при больших) характер движения по стволу скважины. Э.А.Грикевич отмечает также зависимость сопротивления по характеру вскрытия от степени вскрытия пласта и считает недостаточно целесообразным их деление по этому принципу.

Учет сопротивлений ζ_1 может быть выполнен с использованием зависимостей Э.А.Грикевича (1986), включающих показатели характеристик коэффициентов фильтрации самого пласта K_p , прифильтровой зоны K_{pp} , ее радиуса r_p , диаметров фильтра D , перфораций d и их числа на 1 м фильтра. Неопределенность части этих характеристик K_p , r_p приводит к чрезвычайной ус-

оценкой расчетных величин сопротивления ξ_2 .

Другой прием, учитывающий несовершенство скважины через оценку начальной сработки в процессе откачки емкости скважины (Ж.Блок, К.Килл, 1977, 1978 гг.; Т.Фински, 1977 г.; И.Муха, Н.Н.Павликова, 1985 г.; И.С.Пашковский, 1967 г. и др.) предусматривает введение в расчетные зависимости поправок на часть расхода, формируемого за счет емкости опытной и дополнительной скважин (Mucha, Panlikova, 1986) или представление этих зависимостей с учетом фактора реакции скважин, отражающей ее инерционность.

Использование этих зависимостей правомерно лишь для скважин большого диаметра (более 1 м) и для реальных диаметров разведочных опытных скважин согласно критериям, обоснованным В.М. Шевченко (1981), не является обязательным, особенно при больших расходах откачек из высокопроницаемых пластов.

Следует отметить, что все изменения в понижениях, вызванных несовершенством скважины по характеру вскрытия, наиболее ярко проявляются в начальный период откачки (первые минуты), что при анализе ее хода с помощью временных графиков прослеживание понижений позволяет использовать для расчетов части графика, отражающие процесс снижения на сутки и более от начала откачки, в пределах которого инерционность скважины, проявляющаяся в отставании снижения уровня на десятки минут, доведена до минимума масштабом графика (1000 мин. и более).

Таким образом, природа сопротивления по характеру вскрытия, хотя и достаточно ясна, но не подчиняется удовлетворительно математическому описанию вследствие индивидуальности каждой опытной скважины. Дополнительная срезка от влияния этого вида несовершенства может быть оценена только по результатам опробования кустов скважин, включающих определенное количество наблюдательных, как разность фактического понижения в скважине и суммы реального понижения, создаваемого работой совершенной скважины в пласте конкретного типа и проницаемости, а также расчетного понижения на несовершенство по степени вскрытия.

Принимая во внимание, что объектом наших исследований, в

основном, являются данные кустовых откачек, проводимых на стадии детальной разведки МВ, несовершенство опытных скважин по характеру вскрытия в работе не рассматривается, хотя при интерпретации ОФР эти особенности его проявления по пьезометрам учитывались на качественном уровне.

Оценивая степень сжакения в расчетных зависимостях и методиках основных факторов, определяющих ход снижения уровня при откачках, можно сделать вывод о необходимости доработки теоретических решений, учитывающих:

влияние геостатического давления на состояние водонесшного пласта и степень его упругости;

динамичность подземных вод в пласте или наличие естественного потока подземных вод;

сложную структуру формирования расходов откачки для различных типов водоносных горизонтов, особенно для безнапорных.

Влияние геостатического давления на состояние водоносного пласта и степень его упругости

Влияние геостатического давления обусловлено глубиной залегания водоносного горизонта и отражается в величине напора воды над его кровлей, которая является косвенным показателем степени упругого состояния пласта. При рассмотрении условной горизонта у поверхности земли и постепенно погруженного на большую глубину (500 м и более) степень упругости пласта, а следовательно, и его водоотдача, существенно меняются при увеличении глубины залегания. При этом, если этот горизонт изолирован водоупорами в кровле и подошве, т.е. является в принятом представлении напорным, диапазон изменения водоотдачи должен быть очень значительным (от максимальных значений, близких к величине гравитационной водоотдачи вблизи выхода горизонта на поверхность, до минимальных, соответствующих предельным величинам упругой водоотдачи) на больших глубинах залегания пласта, что можно объяснить процессом консолидации пород под действием геостатического давления.

Согласно В.А.Мироненко, В.И.Шестакову (1974), полное нап-

жения /природное давление вышележащих пород / σ_n уравновешено -
всякой эффективной напряжением σ_e , отражающим силы взаимодействия /сцепления/ скелета пород пласта и нейтральным напряжением
 σ_h , характеризующим гидростатическое обжатие частиц породы:

$$\sigma_n = \sigma_e + \sigma_h;$$

$$\sigma_n = \sum_{i=1}^n \gamma_{pi} h_{pi}; \quad \sigma_h = \gamma_w \cdot h_k, \quad /17/$$

где γ_{pi} , γ_w - удельный вес соответственно породы и воды;

h_{pi} - мощность каждого i -слоя над кровлей пласта; h_k - напор над кровлей водоносного горизонта;

$$h_k = \sum_{i=1}^n \gamma_{pi} / \gamma_w \cdot h_i - \sigma_e / \gamma_w \text{ или} \quad /18/$$

Из зависимости /18/ видно, что напор над кровлей водоносного горизонта отражает давление от веса вышележащих пород, сила сцепления /прочности/ пород пласта и характеризует проявленные изменения пористости и, как следствие, коэффициента водоотдачи в глубине. Представляет интерес рассмотрение характера изменения коэффициента водоотдачи с погружением пласта на освещенном анализе структуры водоотдачи, выраженной через соответствующие коэффициенты упругоемкости пласта /Мироненко, Шестаков, 1974, 1976/:

$$M = \frac{\gamma_w m}{1+\epsilon} \left(\alpha_c + \frac{\epsilon}{E_w} \right) = \gamma_w m \left(\frac{1}{E_p} + \frac{\Pi}{E_w} \right) = \gamma_w m (\beta_p + \Pi \beta_w) = /19/$$

$$= M_p + M_w,$$

где m - мощность водоносного горизонта, м; ϵ - коэффициент пористости; Π - пористость; α_c - коэффициент ожимаемости; E_w , E_p - модуль общей деформации /упругости/ воды и породы соответственно; M_w , M_p - составляющие коэффициента водоотдачи, отражающие упругость воды и породы соответственно.

Величина E_w - постоянная / $\approx 2 \cdot 10^8$ кг/м²/ . Величина E_p изменяется в зависимости от геостатического давления, определяемого весом вышележащих отложений. Она зависит от глубины погру-

жения пласта, в частности, для гравийно-песчаных пород, залегающих близко от поверхности земли, E_p составляет $1,4-6 \cdot 10^6$ кг/м² (Спр. по инж.геол. под ред. Чурикова, 1968), примерно на два порядка меньше E_v . Поэтому в двухслойной структуре коэффициента водоотдачи (19) она определяет на конечном этапе откачки проявление гравитационной водоотдачи пласта (III этап гравитационного режима при опробовании безнапорных пластов), контролирующей весь ход снижения уровня, за исключением начального периода откачки, когда ход снижения отражает упругость воды в пористом пространстве пласта. С углублением горизонта E_p увеличивается и на больших глубинах по своим количественным показателям приближается к E_v , характеризуя предельную упругость пласта через коэффициент упругой водоотдачи.

Изменение E_p , согласно закону Гука, подчиняется зависимости

$$E_p = \frac{6}{\lambda} \quad (20)$$

где $\lambda = \frac{\Delta t}{t}$ - относительная деформация породы представляет собой отношение величины абсолютного уменьшения мощности пласта Δt к его полной мощности до погружения t и связана с коэффициентом пористости пласта ϵ соотношением:

$$\lambda = \frac{\Delta t}{t} = \frac{\epsilon_0 - \epsilon}{1 + \epsilon_0}, \quad (21)$$

где ϵ_0 , ϵ - начальный и сложившийся коэффициент пористости. Изложенное позволяет записать зависимость (19) в виде:

$$M = \gamma_v t \left(\frac{\lambda}{\epsilon_0} + \frac{t}{E_v} \right). \quad (22)$$

Пренебрегая правым членом зависимости ввиду его незначительности (10^{-4} - 10^{-5}) и принимая близость цифр $h_n \approx h_k$, получим выражение, определяющее связь водоотдачи с глубиной погружения пласта

$$M \approx \frac{K_v \cdot t \cdot \lambda}{\epsilon_0} = \frac{K_v \cdot t \cdot \lambda}{\gamma_p \cdot h_n - \gamma_v \cdot h_k} = \frac{\gamma_v \cdot t \cdot \lambda}{h_n (\gamma_p - \gamma_v)} = \quad (23)$$

$$\frac{t \cdot \lambda}{h_n \left(\frac{\gamma_p}{\gamma_v} - 1 \right)} = \frac{\Delta t}{h_n \left(\frac{\gamma_p}{\gamma_v} - 1 \right)}.$$

Результаты расчета по данной зависимости являются предельно упрощенными ввиду неопределенности величины $\Delta\pi$, λ и γ_t , подверженных также существенному изменению с глубиной, хотя они в свою очередь распределения водоотдачи в разрезе.

Позволит отметить чрезвычайно низкую изученность этого вопроса, который долгое время оставался вне внимания гидрогеологии. Имевшиеся проработки связаны, в основном, с работами учеными нефтегазового направления, рассматривающими изменение открытой пористости на больших глубинах (Магара, 1982; Пономарев, 1987 г. и др.).

Согласно А.А.Граусману и М.Т.Чистякову, изменение пористости верхних коллекторов с глубиной подчиняется следующей зависимости:

$$\pi_1 = \pi_0 - \frac{H \cdot \gamma_t - P_{pl}}{2 \cdot 10^2} \text{ м Па} \quad (24)$$

где π_0 - значение открытой пористости на начало уплотнения; H - для палеоглубины H ; γ_t - усредненный удельный вес твердой фазы; P_{pl} - пластовое давление.

Уплотнение глинистых пород, выраженное через изменение активной пористости π_0 с глубиной погружения, описывается зависимостью (Магара, 1982; Шестаков, 1991)

$$\pi = \pi_0 \cdot e^{-cH} \quad (25)$$

где c - константа; H - глубина погружения, м; π_0 - пористость на глубине 400 м, с которой начинает действовать закон "равнительного уплотнения".

Однако эти зависимости не представляют интерес для верхней части разреза, в пределах которого развиты МПВ, так как отражают закономерности изменения пористости на глубине более 400-1000 м.

В последнее время появились интересные публикации, рассматривающие изменение пористости, упругости и водоотдачи в зависимости от глубины залегания пласта для верхней части разреза.

В.М.Шестаков (1991) на основе уравнения К.Тэрзаги, отражаю-

щего связь пористости с эффективным напряжением пласта, и выражения упругоемкости породы (без учета сжимаемости воды) установил зависимость параметра упругости от глубины залегания через коэффициент сжимаемости пласта, вводя безразмерный параметр A , численно близкий к сложившемуся на данной глубине коэффициенту водоотдачи M . Условность принятия в расчет характеристик ϵ , γ_p , допущение равенства γ_b и γ_p также приводят к существенной неопределенности полученных результатов. Интерес представляют данные о параметрах этих зависимостей, полученные в результате обобщения лабораторных и натурных материалов.

В частности, для глинистых пород, используя зависимость Хедберга (Чепман, 1983) в виде $\pi = 0,656^{-0,105}$, (26) получена для диапазона глубин $z_p = 50-200$ м величина $A = 0,07-0,09$, которая, по-видимому, требует корректировки ввиду неправомерности принятия в расчет $\gamma_p = 1,0 \text{ т/м}^2$ при природных характеристиках $\gamma_p = 2-2,5 \text{ т/м}^2$.

Для неосементированных песков Х.Д. Войтом и Х.Ф. Бамбергом (1981 г.) на основе лабораторных опытов получена зависимость, позволяющая оценить изменение пористости с колебанием эффективного напряжения от 1,03 до 24,1 мПа

$$\delta\pi = \pi_1 - \pi_2 = 0,12\pi_A. \quad (27)$$

При этом значения A составили 0,013-0,019. Ниже приведены результаты определения γ , A и M по ряду опытных откачек (табл. 3).

Таблица 3

Отложения, их местоположение	$z_p, \text{ м}$ или интервал	γ	$A = \gamma \cdot z_p$		M^*	
			2	3		
			2	3	4	5
Аллювиальные песчано-гравийные, р. Яксу, Таджикистан	20	10^{-4}	$2 \cdot 10^{-3}$	-	-	
	80	$2,5 \cdot 10^{-5}$	$2 \cdot 10^{-3}$	-	-	
	100	10^{-5}	$1 \cdot 10^{-3}$	-	-	
	70-90	$(1-2) \cdot 10^{-5}$	$(1-2) \cdot 10^{-3}$	-	-	
Аллювиальные песчаные, р. Бодга	25-55	$1,6 \cdot 10^{-6}$	$5 \cdot 10^{-4}$	$5 \cdot 10^{-4}$		

Продолжение табл. 3

	1	2	3	4	5
глинистые,					
глинистые, глинистые, песчаные;	10-26	$2 \cdot 10^{-5}$	$3,6 \cdot 10^{-4}$	$3,2 \cdot 10^{-4}$	
глинистые, песчаные;	20-40	$3,5 \cdot 10^{-5}$	$1 \cdot 10^{-3}$	$7 \cdot 10^{-4}$	
глинистые, песчаные;	15-40	$4 \cdot 10^{-5}$	10^{-3}	10^{-3}	
глинистые, песчаные;	30-55	$8 \cdot 10^{-5}$	$3 \cdot 10^{-3}$	$2 \cdot 10^{-3}$	

Таким образом, сделан вывод о наличии закономерного изменения упругости пород в зависимости от глубины залегания, выражающего зависимостью:

$$h^* = \frac{A}{z_n} . \quad (28)$$

Коэффициент A оценивается для глинистых пород $\approx 0,1$; песчаных $- 10^{-3}$ (по лабораторным опытам), $- 10^{-3}$ (по данным опытных отечественных).

Влияние давления перекрывающих пород на удельную емкость (водоотдачу) и гидравлическую проводимость артезианских водонапорных горизонтов рассмотрено в работе N. Sepulveda и A. Iova (1951). На основе лабораторных опытов водонасыщенного образца грунта, подвергавшегося постоянно увеличивающейся нагрузке, подтверждена зависимость Тейлора между коэффициентами фильтрации K и пустотности (пористости) n . Последний изменяется с увеличением нагрузки на пласт по линейному закону (Терцаги, Рек, 1967 г.) и характеризуется постоянным индексом компрессии C_c .

$$C_c = \frac{\Delta e}{\Delta \rho g b} . \quad (29)$$

Используя эти зависимости, получено численное решение дифференциального уравнения Гибсона, описывающего пространственные и временные изменения коэффициентов пористости и фильтрации.

По результатам опытов и решений сделаны выводы:

в неглубоко залегающих напорных пластах, где отношение глубины залегания горизонтов h_n к его мощности меньше 10, сжимаемость скелета отложений a_p больше сжимаемости воды a_w , а для глубокозалегающих $\frac{h_n}{m} > 10$ сжимаемость скелета

та имеет тот же порядок, что и сжимаемость воды $\alpha_p \approx \alpha_v$;

для высокосжимаемых водоносных горизонтов (неглубокозалегающих) кривые зависимости понижений во времени при откачке отличаются от теоретической кривой Тейса, а для глубокозалегающих (более 500 м) – полностью ей соответствуют;

фактические кривые прослеживания $S(t)$ для откачек, опробующих пласты в интервале их залегания от 0 до 500 м, располагаются между двумя крайними положениями кривых Тейса, отражающих ход снижения уровня при залегании пласта соответственно вблизи поверхности земли и на глубине более 500 м.

Для определения сложившегося коэффициента водоотдачи на конкретной глубине погружения пласта рекомендован способ (Кагавич, 1995), основанный на использовании величины напора над кровлей водоносного горизонта, который является косвенным признаком состояния напряженности пласта под действием геостатической нагрузки. Он может быть рассмотрен на следующем примере, в котором безнапорный водоносный горизонт, погружаясь на глубину, приобретает напорность, которая проявляется в виде избыточного напора над кровлей водоносного горизонта (рис. 3). Правомерно утверждать, что единичный объем емкостных запасов в безнапорной зоне, равный $\pi_0 \cdot M_0$, тождествен единичному объему упругих запасов $(h_k + \pi_z) M_z$.

$$\pi_0 \cdot M_0 = (h_k + \pi_z) \cdot M_z. \quad (30)$$

Отсюда можно определить M_z

$$M_z = \frac{\pi_0 \cdot M_0}{h_k + \pi_z} = \mu_0 \frac{\pi_0}{h_k + \pi_z} = \mu_0 \frac{h_k + \pi_z}{\pi_0} \approx \mu_0 \left(\frac{h_k}{\pi_0} + 1 \right). \quad (31)$$

При $h_k = 0$ и равенстве $\pi_0 \geq \pi_z$ приходим к выводу, что $M_z < M_0$, т.е. пласт в этом случае будет близок к безнапорному, и отличие будет вызвано изменением структуры породы под давлением вышележащих пород. Несмотря на внешнюю простоту, зависимость достаточно убедительно характеризует возможное изменение M с глубиной. Достоверность распределения коэффициента M в пределах горизонта по мере его углубления зависит от исходной величины водоотдачи в безнапорной зоне горизонта и принятия

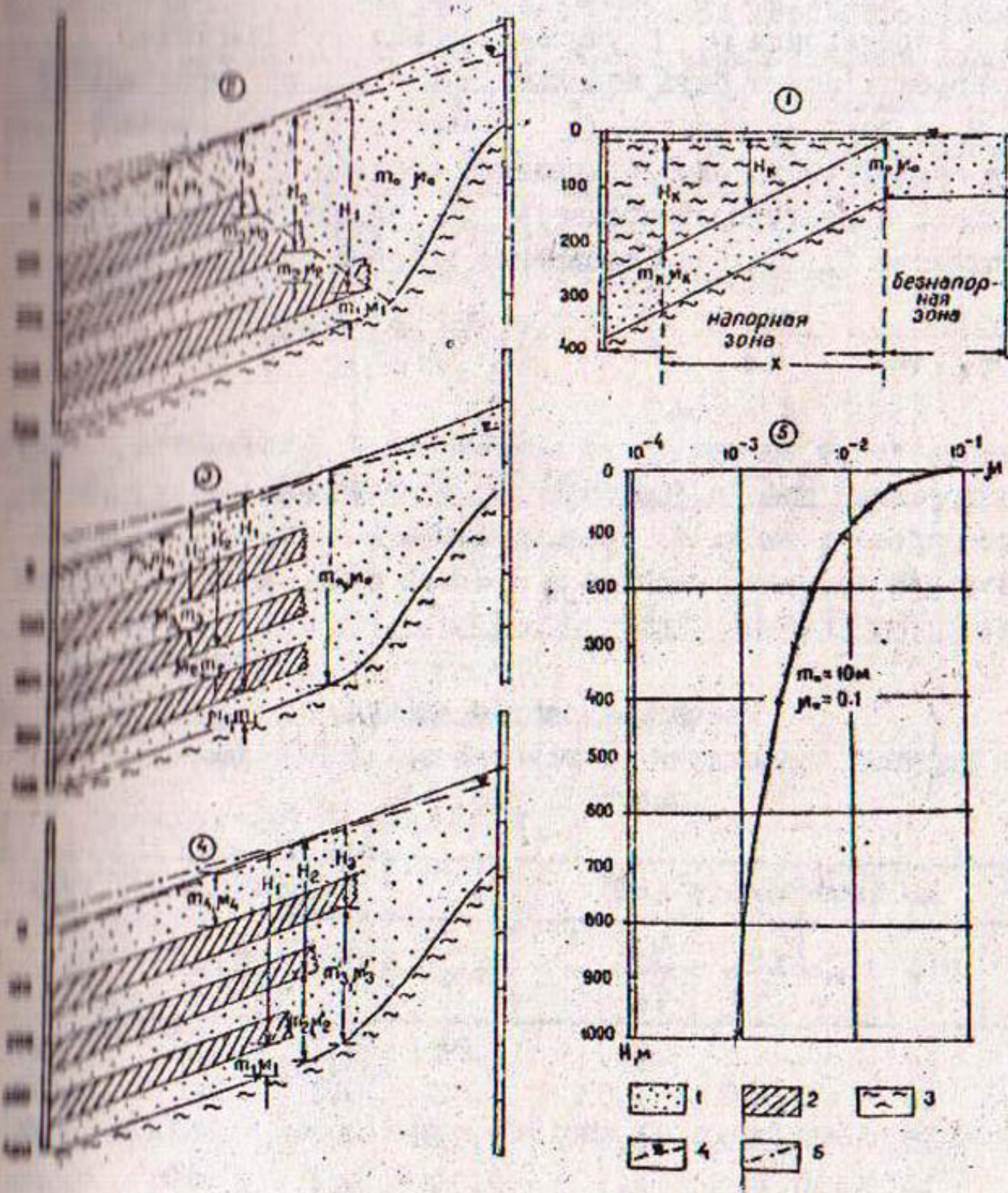


Рис.3. Условные схемы к предварительному расчету коэффициента водоотдачи (1-4) и график его изменения с глубиной (5): 1 - водоносный горизонт; 2 - слабопроницаемые слои; 3 - непроницаемые водоупорные слои; положение уровней вод: 4 - грунтовых, 5 - напорных.

условия ее выдержанности перед погружением на всем протяжении пласта в пределах рассмотрения. В этих допущениях возможна ошибка в определении μ с учетом глубины ее залегания.

Зависимость может быть использована и для предварительной оценки μ , взяв за основу μ_0 безнапорного водоносного горизонта аналогичного литологического состава.

По своей структуре зависимость ЗI близка к зависимости В.М.Шестакова (1991), сопоставление которых дает:

$$\frac{t_0}{n_k + t_0} \approx \frac{t_3}{z_n} \text{ при } \frac{n_k + t_0}{z_n} \leq 1,1-1,2. \quad (32)$$

$$A \approx \mu_0.$$

Распределение коэффициента водостдачи в зависимости от глубины погружения пласта, рассчитанного по зависимостям 23 и ЗI, приведено в табл. 4. Графики возможного изменения μ с глубиной для исходных величин $\mu = 0,1$ и $t_0 = 10$ м отражены на рис. 5.

Таблица 4

Расчетное распределение
упругой водоотдачи по глубине залегания пласта
(схема I, рис. 3)

По зависимости (23)				По зависимости (ЗI)			
z_n	t_0	$\lambda = \frac{\Delta t}{t_0}$	$\frac{x_n}{y_n} - 1$	μ_x	μ_0	$n_k + t_0$	μ_z
25	10	0,1	1,0	0,04	0,1	35	0,028
50	10	0,105	1,05	0,02	0,1	60	0,016
75	10	0,107	1,07	0,013	0,1	75	0,012
100	10	0,11	1,1	0,01	0,1	110	0,009
200	10	0,12	1,2	0,005	0,1	210	0,0047
300	10	0,13	1,3	0,003	0,1	310	0,0032
400	10	0,14	1,4	0,0025	0,1	410	0,0024
500	10	0,15	1,5	0,002	0,1	510	0,0019
1000	10	0,17	1,7	0,001	0,1	1010	0,0014

Такой же подход может быть применен при замещении хорошо-проницаемых отложений разделяющими слоями слабопроницаемых от-

ложений, что характерно для условий конусов выноса. Характер взаимодействия единой толщи галечников головной части конуса выноса с переслаивающейся пачкой (толщай) хорошо проницаемых и слабопроницаемых слоев в периферийной его части, или положение границы раздела, может быть приведен к трем основным схемам (рис. 3). Применимельно к этим схемам для четырехпластового горизонта с тремя разделяющими слоями можно выполнить предварительный расчет распределения μ .

Граница раздела наклонена в сторону периферии (схема 2):

$$\mu_1 = \frac{m_0 \cdot M_0 - (H_1 - m'_p) M_0}{H_1 + m_1},$$

$$\mu_2 = \frac{m_0 \cdot M_0 - (H_1 + m_1) \mu_1 - (H_2 - m''_p) M_0}{H_2 + m_2}, \quad (33)$$

$$\mu_3 = \frac{m_0 \cdot M_0 - (H_1 + m_1) \mu_1 - (H_2 + m_2) \mu_2 - (H_3 - m'''_p) M_0}{H_3 + m_3}.$$

Граница раздела вертикальная (схема 3):

$$\mu_1 = \frac{m_1}{H_1 + m_1} M_0,$$

$$\mu_2 = \frac{m_2}{H_2 + m_2} M_0, \quad (34)$$

$$\mu_3 = \frac{m_3}{H_3 + m_3} M_0.$$

Граница раздела наклонена в сторону головной части (схема 4):

$$\mu'_3 = \frac{(m_0 - m_4) M_0}{(m_1 + m_2 + m_3 + m''_p + m'_p + H_3)},$$

$$\mu'_2 = \frac{(m_0 - m_4) M_0 - (H_3 + m_3) \mu'_3}{(H_2 + m_2 + m' + m_1)}, \quad (35)$$

$$\mu'_1 = \frac{(m_0 - m_4) M_0 - (H_3 + m_3) \mu'_3 - (H_2 + m_2) \mu'_2}{H_1 + m_1}.$$

При последующих расчетах распределения M в пределах каждого пласта следует в качестве исходных принимать рассчитанные значения M и напора вблизи границы раздела (сечение I), а также величины напора в сечении II:

$$M_1^{\text{II}} = \frac{(H_1 + m_1)_I}{(H_1 + m_4)_{\text{II}}} M_1^{\text{I}} \quad (36)$$

В табл. 5 приведено распределение M на границе раздела для выделенных схем и условий:

$$m_0 = 200 \text{ м}$$

$$m_1^{\text{I}} = m_2^{\text{II}} = m_p^{\text{III}} = 20 \text{ м}$$

$$M = 0,1$$

$$H_1 = 170 \text{ м}$$

$$m_1 = m_2 = m_3 = 70 \text{ м}$$

$$H_2 = 120 \text{ м}$$

$$m_4 = 50 \text{ м}$$

$$H_3 = 170 \text{ м}$$

Таблица 5

Расчетное распределение
водоотдачи по глубине залегания пласта
(схемы 2-4, рис. 3)

	Глубина залегания кровли, м	M_1	Глубина залегания кровли, м	M_2	Глубина залегания кровли, м	M_3	Глубина залегания кровли, м	M_0
Схема 2	170	0,025	120	0,033	70	0,05	0	0,1
Схема 3	170	0,015	120	0,02	70	0,03	0	0,1
Схема 4	170	0,01	120	0,0315	70	0,075	0	0,1

Таким образом, достаточно убедительно объясняется проявляющаяся в процессе опробования неглубокозалегающих горизонтов гетерогенность пласта по упругости. Она в отличие от принятого утверждения, на котором основана вся теория притока воды к скважинам для различных типов водоносного горизонта, и согласно которому она должна быть характерна только для безнапорного водоносного горизонта, является общим признаком для всех водоносных пластов, за исключением чисто напорных. Последние развиты на больших глубинах, являются гомогенными по степени упругости и при опробовании отражают предельную напряженность системы пласта в целом.

Гетерогенность неглубокозалегающих пластов по упругости проявляется при опробовании в начале откачки в упругих свойствах воды в пористом пространстве пласта (этап упругого режима), а затем с некоторым отставанием во времени - в истинной упругоемкости пласта, зависящей от его пространственно-временного положения (глубина залегания и возраст отложений) и отличающейся от предельно возможной упругоемкости собственно напорных пластов.

Следовательно, степень гетерогенности пласта по упругости является основным фактором, определяющим ход снижения уровня при опробовании всех пластов, что необходимо учитывать при их типизации применительно к геофильтрационным расчетам параметров по результатам опытных откачек.

Типизация водоносных горизонтов по характеру упругости пласта

При обработке опытных откачек с целью оценки геофильтрационных параметров опробуемых пластов ошибки расчетов, определяющие многократное отступление рассчитанных параметров от истинных, вызваны неудачным выбором расчетной схемы и соответственно методик расчета. Причиной является отсутствие четких критериев, определяющих тип водоносного горизонта. Например, ограничение водоносного пласта в кровле и подошве породами, являющимися, на первый взгляд, водоупорами, еще не основание для отнесения его к напорному пласту.

Типизация водоносных горизонтов, на которых основаны расчеты параметров по результатам ОФР, изложены в работах Мироненко, Шестакова (1978), Kruzewian, Ridder (1970).

Согласно Kruzewian и Ridder (1970), положивших в основу своей типизации соотношение коэффициентов фильтрации пород опробуемого пласта K , кровли K_K , подошвы K_P , выделяются следующие типы пластов: 1) напорный ($K_K = K_P = 0$); 2) подунапорный ($K_K, K_P < K$); 3) полубезнапорный ($K_K, K_P < K$); 4) безнапорный.

Типизацию пластов В.А.Мироненко, В.М.Шестаков (1978) до-

полили характером однородности или неоднородности фильтрационных свойств водоносных горизонтов, выделив: 1) изолированный однородный напорный пласт; 2) гетерогенные напорные системы; а) однородный напорный пласт с перетеканием из смежного водоносного горизонта через относительно водоупорный разделяющий слой, в котором упругие запасы слоя пренебрежимо малы; упругие запасы слоя значительны и требуют учета; б) изолированный гетерогенный пласт, в котором напорный пласт сложен слоями однородных по проницаемости и емкости фильтрующих пород; однородный пласт гетерогенных пород (породы с двойной пористостью); 3) безнапорный изолированный снизу пласт: а) двухслойный; б) однослоиний.

Последняя типизация характеризует широкий спектр развитых в природе типов и подтипов водоносных горизонтов, особенности проявления которых при ОФР отражены как в фундаментальных, так и частных решениях Ч. Тейса, Джейкоба, М. Хантуша, А. Бултона, В. М. Шестакова (1978), являющихся методической и теоретической основой оценки геофильтрационных параметров.

Однако правильный выбор типа водоносного горизонта на практике представляет определенные трудности, так как показатели пласта могут быть получены только на конечном этапе расчета, когда начав обработку ОФР с гипотетического представления о типе водоносного горизонта методом последовательных приближений, использовав различные методы и схемы, приходим к окончательному выводу. Такой принцип подхода к интерпретации ОФР, который представляется постепенно недостаточно надежным, изложен как в рекомендациях по обработке откачек (Мирненко, Шестаков, 1978), так и в структуре программ расчета параметров на ЭВМ (Дульките, 1982).

Сокращение объема расчетов возможно при максимальном приближении расчетной схемы к природной уже на первом этапе расчетов - стадии схематизации. При этом дополнительные критерий, способствующие установлению реального типа водоносного горизонта и характеризующиеся рядом косвенных признаков, в основе которых отражены условия формирования и жизнедеятельности опробуемого пласта в геологический период времени его существования.

К числу таких признаков следует отнести (Нагевич, Сергеева, 1993):

возраст и глубину залегания пород водоносного горизонта, его кровли и подошвы, косвенно характеризующие степень их консолидации, вызванной воздействием возрастающего геостатического (литостатического) давления при погружении на глубину;

величину напора над кровлей пласта;

гипсометрическое положение и удаленность областей питания опробуемого и смежных водоносных горизонтов;

соотношение напоров водоносного горизонта с напорами смежных водоносных пластов, расширяющее возможности оценки процессов взаимодействия горизонтов через кровлю и подошву (разделяющие их слои);

различие качественного состава опробуемого и смежных пластов.

Первая попытка такой типизации (табл. 6), безусловно, может вызвать возражения в наименовании выделенных типов пластов. Автор не претендует на их окончательное определение. В дальнейшем их название может уточняться. Однако смысл, лежащий в основу типизации, о гетерогенности пластов по упругости является объективной реальностью и подтверждается не только вышеупомянутыми доказательствами, но и опытом массового опробования водоносных горизонтов, залегающих на различных глубинах от поверхности земли и отличающихся рядом косвенных признаков. Условная схема распределения типов водоносных горизонтов в зависимости от глубины его залегания и возраста водовмещающих пород приводится на рис. 4. Она отражает изменение водоотдачи пластов по вертикали в зависимости от положения пласта относительно поверхности земли и времени его формирования. Аналогичная картина изменения водоотдачи должна прослеживаться в пределах одного водоносного горизонта, погружающегося постепенно на большие глубины, например, в отложениях мела.

Приведенная типизация водоносных горизонтов с учетом этих факторов позволяет сформулировать следующие, не требующие особых доказательств, аксиомы:

в пределах одного ритмостратиграфического комплекса отложе-

Таблица 6

Типизация водоносных пластов применительно к интерпретации ОФР

№ п/п	Тип водоносно- го горизонта	Подтип	Характер пластика по упругости		Основные показатели водоотдачи		Косвенные признаки пласта
			упруго- емкость	водоотдача	5	6	
1.	Напорный пласт	Субстрен- напорный	Гомоген- ный	$10^{-5} - 10^{-6}$	$10^{-3} - 10^{-4}$	Большие глубины зале- гания пласта ($H_T > 500$ м)	Напор ($H_{\text{н}}$) равен или больше глубины залега- ния (H_T)
2.	Казинапорный	Пласты с де- рекакциями из смежных плас- тов через разделочный слой	Гетеро- генный	$10^{-4} - 10^{-5}$	$10^{-2} - 10^{-3}$	$H_T < 500$ м $L < 50$ км от N до R_T	Большая удаленность от области питания ($L =$ 30–50 км и более) До четвертичные отло- жения (от N до R_T)

1	2	3	4	5	6	7
3. Безнапорный пласт	Потенциальнобезнапорный (двухслойный)	Гидро-генный	$\cdot 10^{-3}$	$\cdot 10^{-4}$	$\cdot 10^{-1}$	$\cdot 10^{-2}$

Первый от поверхности эжли-водоносный горизонт

Напор (при горизонте водоупора) равен мощности водоносного горизонта

Область питания облака или совпадает с площадью развития горизонта

Преимущественно четвертичные отложения

ний не могут быть два, диаметрально противоположных, типа водоносных горизонтов - собственно напорный и безнапорный, а должен наблюдаться постепенный переход от собственно безнапорных через квазинапорные в собственно напорные. Такая последовательность перехода должна прослеживаться как в горизонтальном (в направлении движения подземных вод), так и вертикальном (по глубине) направлениях;

в пределах четвертичного флювиального ритмостратиграфического комплекса возможность проявления собственно напорных пластов сведена к нулю, и здесь могут быть только собственно безнапорные и квазинапорные пласти;

проявление диаметрально противоположных типов пласта (собственно напорных и безнапорных) возможно лишь при наличии в разрезе двух разновозрастных ритмостратиграфических комплексов, и чем дравнее возраст отложений нижележащего комплекса, тем больше вероятность проявления приуроченных к ним водоносных горизонтов как напорных.

Роль динаминости подземных вод в пласте и ее отражение в расчетных зависимостях

Естественный поток подземных вод учтен в решении М.Хантуша (1962 г.) применительно только к безнапорному водоносному горизонту. Оно имеет вид уравнения Хантуша-Джейкоба для горизонта с перетеканием, в который входит функция Хантуша, учитывающая этот процесс:

$$S - S^2/2m = \frac{Q}{4\pi Kt} \exp\left(-\frac{l}{\beta} \cos \theta\right) W(U_r, \frac{l}{\beta}), \quad (37)$$

где $m = h e$ - мощность безнапорного водоносного горизонта; $\beta = \frac{2m}{l}$; i - уклон водоупорного основания; θ - угол, характеризующий положение точки наблюдения (пьезометра) относительно направления потока; $W(U_r, \frac{l}{\beta})$ - функция Хантуша для горизонта с перетеканием.

Аргумент этой функции β является аналогом параметра перете-

кания В . Согласно этому решению, стабилизация уровня в пределах области влияния откачки должна наблюдаться при достижении времени:

$$t \geq 2,3 \frac{\beta^2}{a_r} \text{ и условия } \tau/\beta \geq 0,3. \quad (38)$$

При стационарном режиме зависимость (37) принимает вид:

$$S - S^2/2 = \frac{Q}{4\pi k t} \exp\left(-\frac{\tau}{\beta} \cos \theta\right) K_0\left(\frac{\tau}{\beta}\right), \quad (39)$$

где $K_0\left(\frac{\tau}{\beta}\right)$ - функция Бесселя второго рода нулевого порядка.

Анализ зависимости показывает несущественность влияния экспоненциальной функции (рис.5) на понижение уровня при любом расположении наблюдательных скважин (разброс крайних значений для реальных уклонов потока не превышает 23%). Особенно слабо оно проявляется при значениях $t \leq 0,01$, когда $\frac{\tau}{\beta}$ - минимальная ($\tau < 0,1$), величина экспоненциала близка к единице, а функция Хантуша-Джейкоба - к функции Тейса, проявляясь существенным отступлением от нее лишь при значительной продолжительности откачек (десетки суток). Следует отметить, что уравнение Хантуша для условий перетекания отражает процесс формирования расхода откачки за счет перетекания через разделяющий слой (сверху, снизу или совместно) на всем расстоянии пласта в пределах радиуса влияния (питания) откачки R_p , равному $0,89B$. Это предусматривает, что расход потока по самому пласту на расстоянии R_p от скважины равен нулю, а на фильтре скважины - дебиту скважины.

Иная картина наблюдается при откачке из пласта, к которому приурочен поток подземных вод. В этом случае расход скважины на каком-то расстоянии полностью компенсируется расходом естественного потока подземных вод и далее этого расстояния изменения напора не наблюдается, т.е. действует граница I рода ($H = \text{const}$), обеспечивающая поступление подземных вод к скважине по пласту за счет потока. В этом случае более правомерным является учет потока через границу постоянного напора, положение которой требует выяснения.

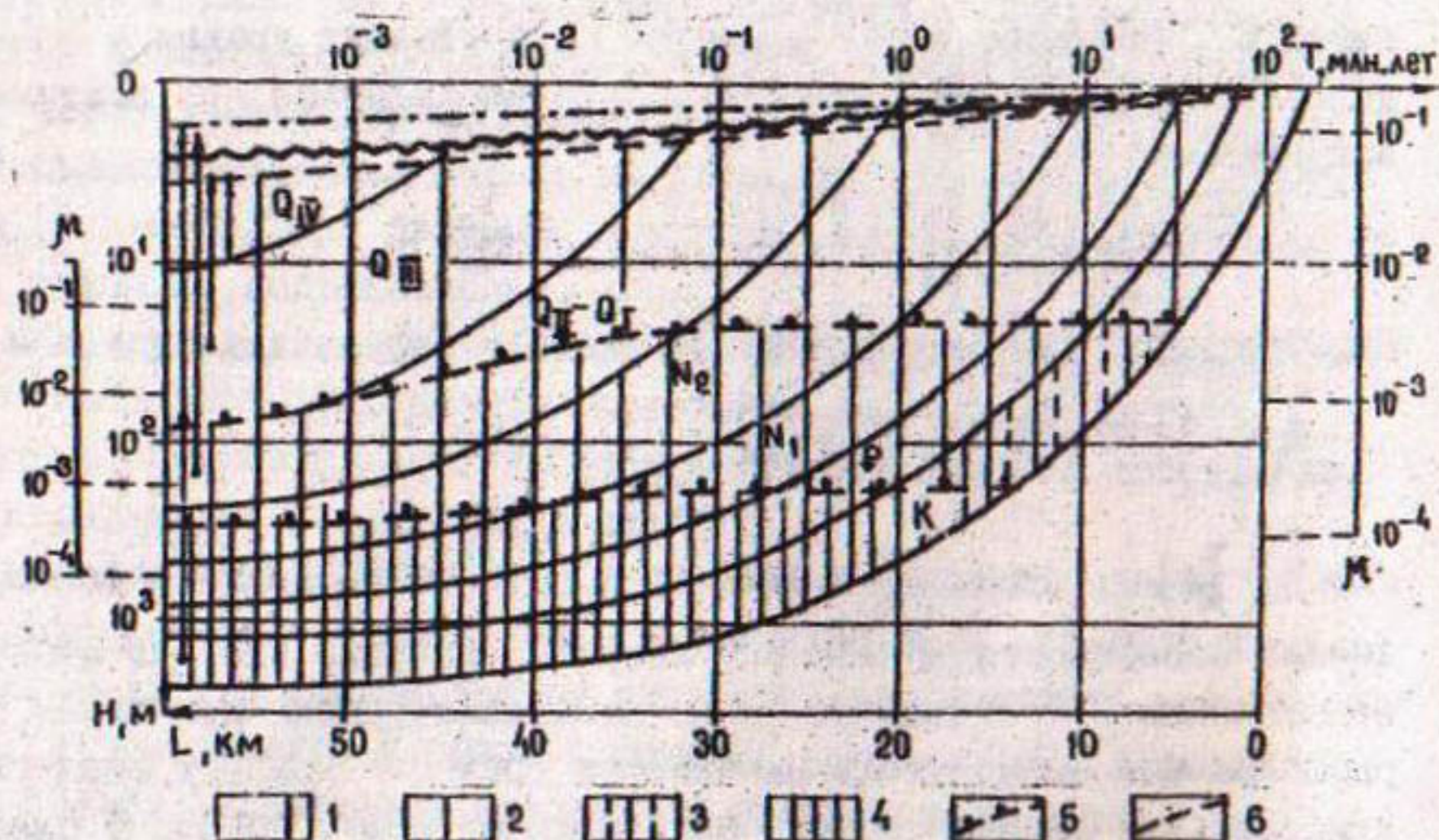


Рис.4. Условная схема распределения типов водоносных горизонтов в зависимости от глубины их залегания и возраста водовмещающих пород. Зоны развития водоносных горизонтов: 1 - безнапорных, 2 - квазинапорных, 3 - потенциально напорных, 4 - напорных; 5 - контуры зон развития водоносных горизонтов; 6 - возрастные границы отложений.

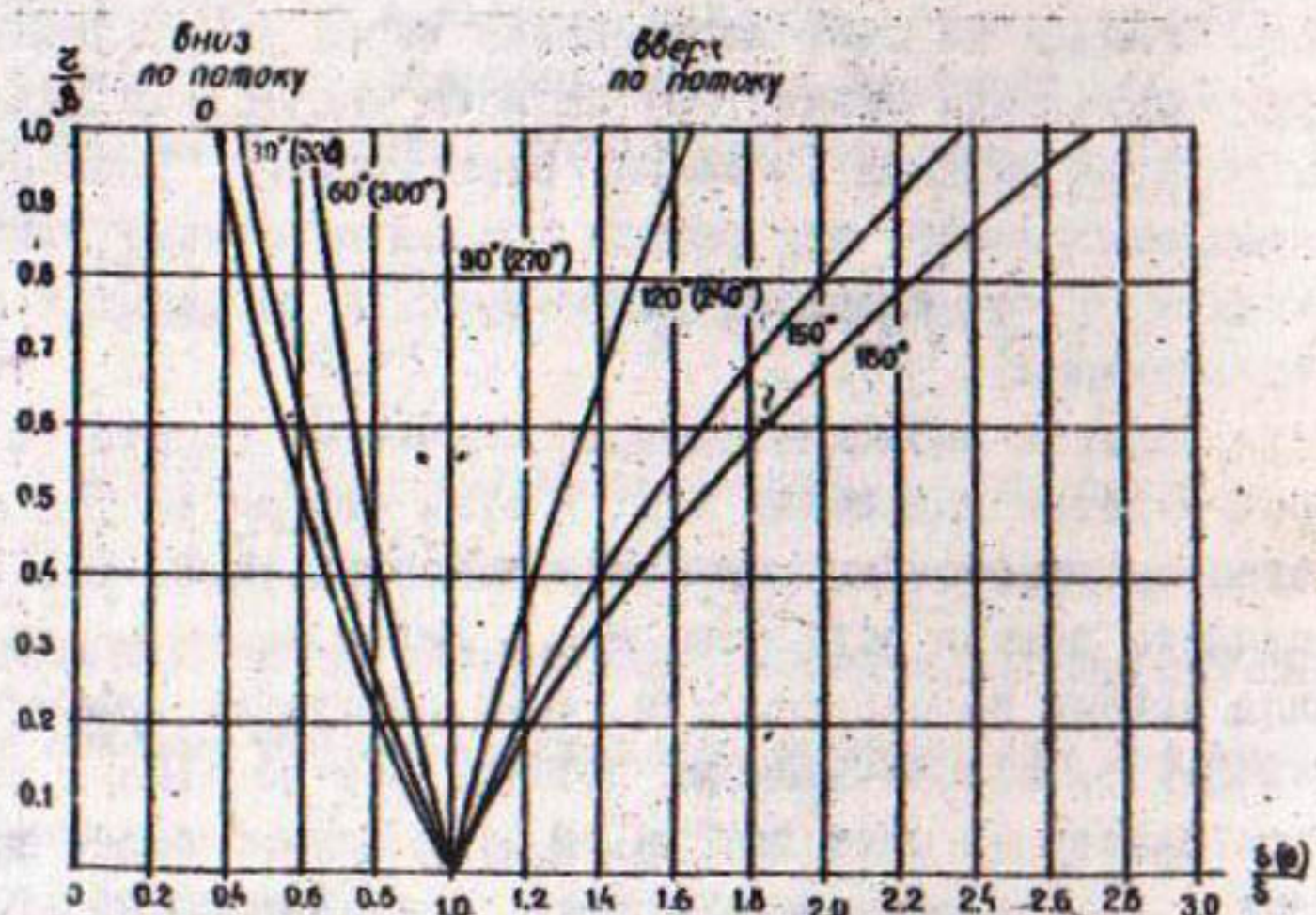


Рис.5. Соотношение понижений $S(\theta)$ в пьезометрах, занимающих различное положение относительно направления потока к понижениям S в пьезометрах на створе, расположенных нормально к нему, в зависимости от величины z/b .

Наличие потока характерно не только для безнапорных пластов, но и для пластов всех типов, включая и собственно напорные, что и является причиной стабилизации понижений при эксплуатации подземных вод таких горизонтов. Параметр β для всех горизонтов отражает положение источника питания относительно опробуемой скважины, и название его должно характеризовать особенности процесса, возникающего при работе скважины в потоке. При откачке создается стабильная во времени воронка депрессии (область понижений), в пределах которой выделяется область питания откачки. Ее параметры определяются по общизвестным решениям (Бэр, Заславский, 1979; Де Уист, 1969), согласно которым нейтральная линия тока, оконтуривающая область питания, может быть построена по фиксированным координатам ее точек u_0 , u_∞ , x_0 (рис. 6), равным:

$$\begin{aligned} x_0 &= \frac{Q_c}{2 \pi k m_l}; \quad \frac{u_0}{x_0} = 1,57; \quad u_0 = 1,57 x_0; \\ u_0 &= \frac{Q_c}{4 k m_l}; \\ u_\infty &= \frac{Q_c}{2 k m_l}; \quad \frac{u_\infty}{x_0} = 3,14; \quad u_\infty = 3,14 x_0. \end{aligned} \quad (40)$$

В этих решениях неопределенность в построении воронки вызвана незнанием удаленности от скважины вверх по потоку зоны плоского потока, в пределах которой дебит откачки полностью компенсируется шириной фронта потока $2u_\infty$, т.е. необходимо установить величину x_∞ . Она может быть определена при принятии следующих условий, не вызывающих возражений:

область питания имеет форму полуэллипса, в фокусе которого на большой оси размещается скважина, а ширина полосы питания $2u_\infty$ проходит через малую ось его координат;

координаты любой точки эллипса (полуэллипса) определяются зависимостью (рис. 6).

$$\frac{x^2}{a^2} + \frac{y^2}{b^2} = 1, \quad (41)$$

где a - большая ось эллипса; b - малая ось эллипса; c - половина фокусного расстояния.

Выразив эти характеристики через показатели нейтральной линии для точки В в сечении, проходящем через скважину, имеем

$$x = - (a - x_0),$$

$$y = y_0 = 1,57x_0,$$

$$\theta = 2y_0 = 3,14x_0,$$

$$\frac{(a-x_0)^2}{a^2} + \frac{(1,57x_0)^2}{(3,14x_0)^2} = 1,$$

$$(a-x_0)^2 = 0,75a^2,$$

$$0,25a^2 - 2x_0 \cdot a + x_0^2 = 0. \quad (42)$$

Решение квадратного уравнения относительно a приводит к

$$a = - 7,46x_0.$$

$$\text{Отсюда } C = x_0 = - (a - x_0) = - 6,46x_0. \quad (43)$$

Такая картина области питания откачки может быть создана при условии постоянного напора в сечении потока, проходящего через начало координат. Здесь, в зоне, примерно на расстоянии, равном $-2x_0$, прослеживается зона плоского потока, а по оси

y — равенство расхода естественного потока расходу скважины обеспечивает сохранение здесь постоянных напоров. Такая схема, характерная для скважин, расположенных у реки, предусматривает учет ее влияния введением в расчет нагнетательной скважины, расположенной на таком же расстоянии и работающей с аналогичным расходом.

В данном случае влияние штотка может быть учтено аналогично расположив нагнетательную скважину в фокусе положительного (по оси x) эллипса. Тогда радиус влияния откачки $R = 2c = 12,92x_0 = \beta$,

где β — параметр, характеризующий удаленность контура питания может быть определен как

$$\beta = 12,92 \frac{\Pi}{2\pi k m l} = 2,057 \frac{Q_c}{k m l}. \quad (45)$$

Из выведенного решения ясно, что параметр β зависит от расхода откачки, водопроводимости пласта и уклона потока (табл. 7, рис. 7), что достаточно логично.

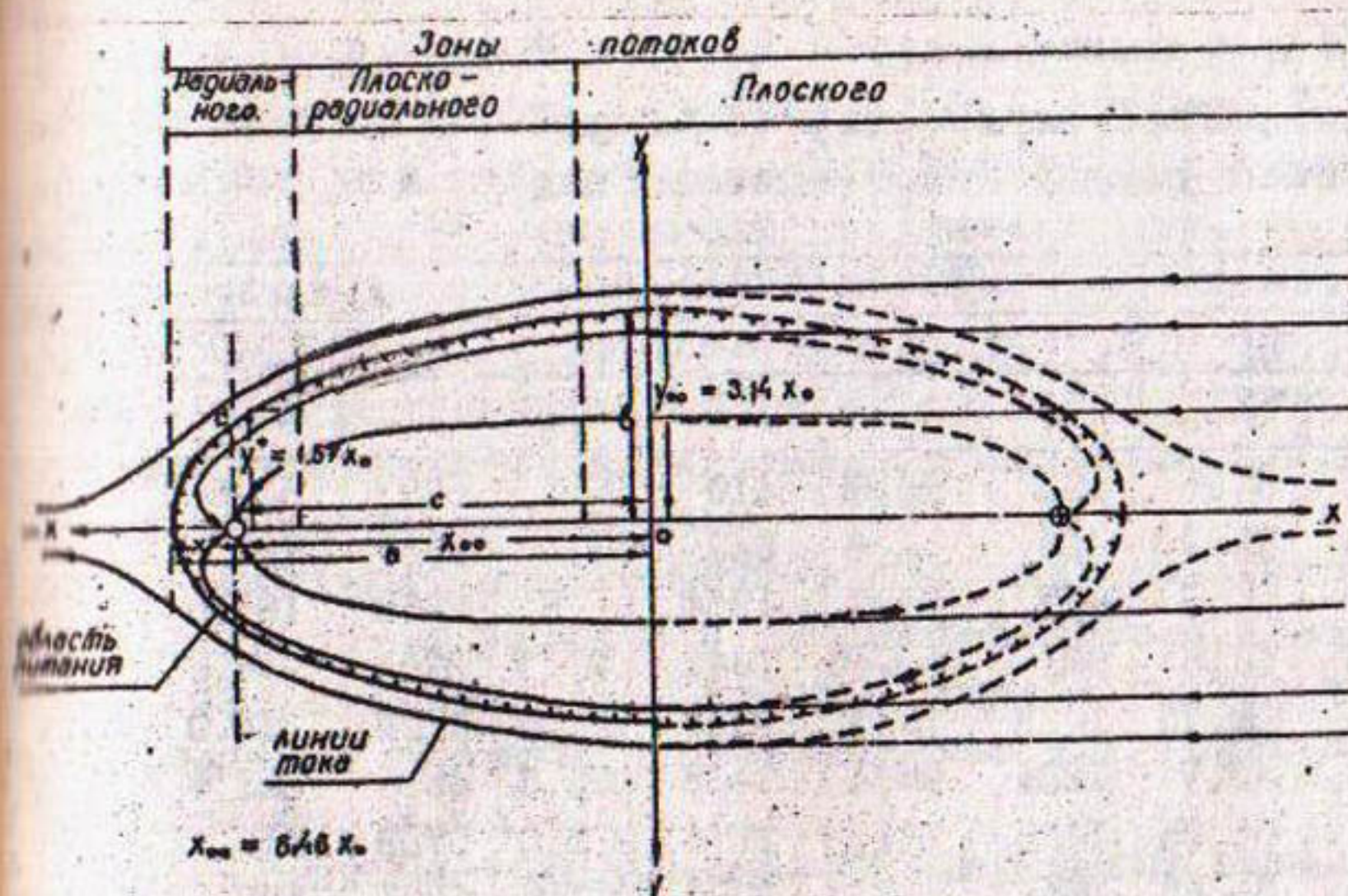


Рис.6. Схема учета планового потока подземных вод.

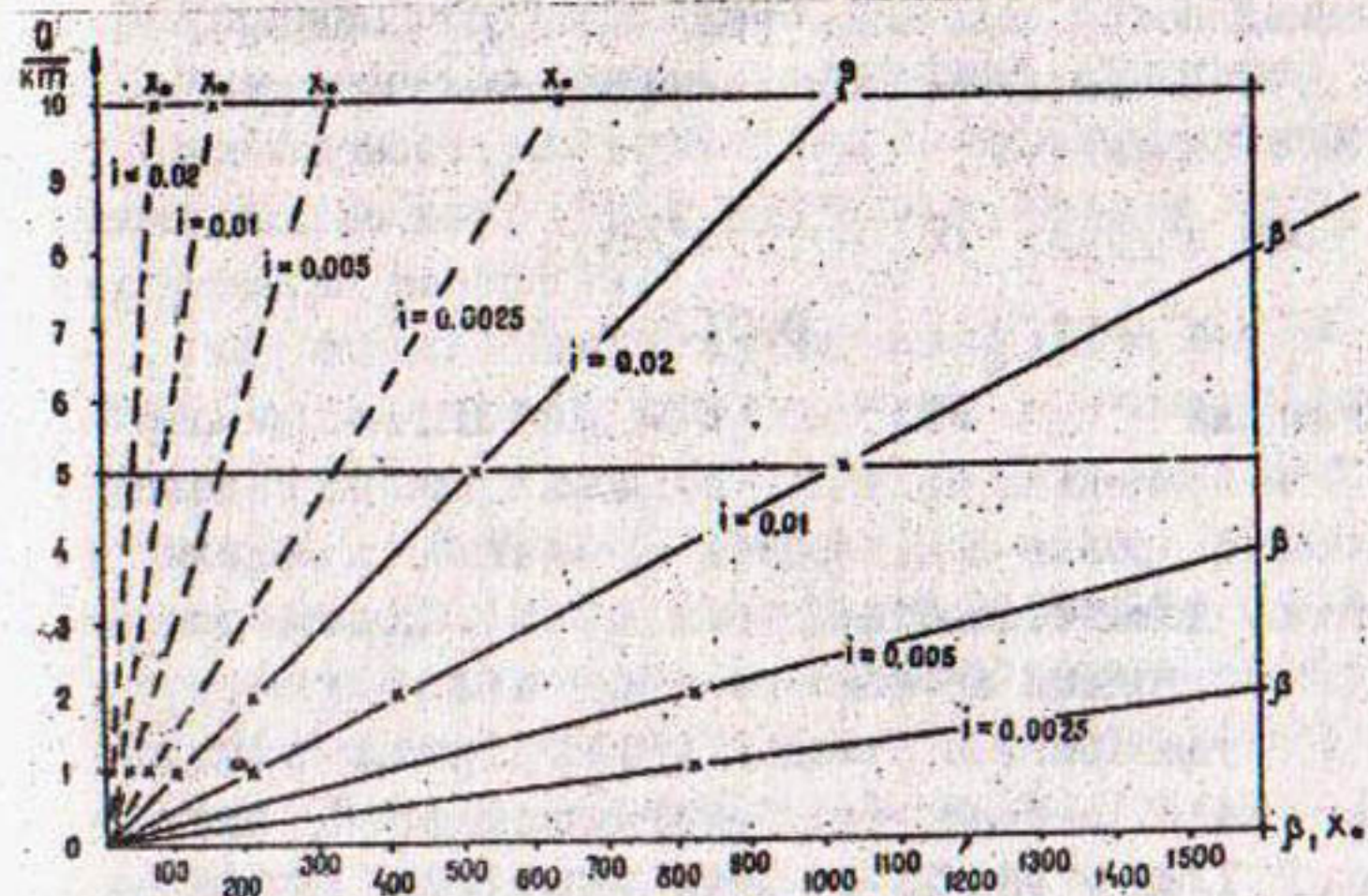


Рис.7. Графики к определению x_0 и β для скважины, работающей в потоке подземных вод.

Таблица 7

Характеристика параметров β и x_0 при различных уклонах потока подземных вод

Q км	Уклон потока							
	0,02		0,01		0,005		0,0025	
	β	x_0	β	x_0	β	x_0	β	x_0
1.	102,7	7,95	205	15,9	410	31,8	820	63,6
2.	205,4	15,9	410	31,8	820	63,8	1640	127,6
3.	307,5	23,8	617	47,7	1234	95,8	2468	191,6
4.	410,8	31,8	821	63,65	1642	127,3	3284	254,6
5.	513,5	39,75	1027	79,5	3054	159,0	4108	318,0
6.	615	43,7	1234	95,4	2468	190,8	4936	381,6
7.	719	55,65	1438	111,3	2876	222,6	5752	445,2
8.	821	63,65	1644	127,3	3288	254,6	6576	509,2
9.	922	71,55	1848	143,1	3696	286,2	7392	572,4
10.	1027	79,5	2054	159,0	4108	318	8217	636,0

Для количественной оценки параметра β проведено моделирование скважины, работающей в напорном пласте, к которому приурочен естественный поток подземных вод (М.М.Сулейманов, Е.В. Сергеева, 1993 г.). В основу модели положены следующие характеристики пласта и скважины:

$$Q_c = 6000 \text{ м}^3/\text{сут}, \quad a = 10^5 \text{ м}^2/\text{сут}$$

$$k_m = 1000 \text{ м}^3/\text{сут}, \quad i = 0,01.$$

При этих значениях – $x_0 = 95,5 \text{ м}$; $\beta = 1234 \text{ м}$. Решены стационарная (t_∞) и временная задачи, что позволило на основе полученных понижений уровня подтвердить адекватность модели природным условиям, доказательством чего явилось полное совпадение рассчитанных методами временного и площадного прослеживания параметров с заложенными в модель. По графикам площадного прослеживания радиус влияния (питан. 1) скважины R_e составил соответственно 1380 м (на 20-е сутки откачки) и 1400 м (при достижении установившегося режима). По модельным понижениям на те же моменты времени определялся параметр β путем

расчета функции Хантуша для потока подземных вод, находящейся по таблицам функции ее аргумента τ/β , а затем $-\beta$ (табл. 8). При оценке β по точкам, расположенным вверх и вниз по потоку, применялись поправочные коэффициенты (рис. 5). Полученные значения β составили 1250-1538 м при преобладающих величинах 1250-1350 м, т.е. численные характеристики β близки к теоретически рассчитанному ($\beta = 1234$ м). Расхождения, составляющие не более 8-9%, можно отнести к допустимым погрешностям аналогового моделирования.

Результаты моделирования подтвердили правильность теоретической оценки величины β в напорных пластах и раскрыли физическую сущность этого параметра, характеризующего удаленность положения источника питания подземных вод, формирующего расход откачки.

Доказательством приемлемости такой оценки параметра является приведенное в табл. 9 сравнение понижений, рассчитанных по зависимости Хантуша для скважины, работающей в потоке подземных вод ($\beta = 12,92$ м), и для скважины, расположенной у границы постоянного напора на расстоянии $L = \beta/2$. Расхождения в понижениях не превышают 2,6%, что находится в рамках требований и точности расчетов.

Таким образом доказаны следующие положения:

динамичность подземных вод в виде естественного потока проявляется во всех типах водоносных пластов от безнапорного до собственно напорного;

учет естественного потока может быть выполнен на основе использования решения для скважины, работающей вблизи границы с постоянным напором и удаленной от нее вниз по потоку на расстояние $L = \beta/2$;

параметр β , характеризующий положение (удаленность) источника питания подземных вод, формирующего расход откачки, может быть назван параметром интенсивности питания (в данном случае - за счет потока подземных вод) и зависит от гидравлических характеристик среды и потока k_m, i, Q_0 , отраженных в решении (45).

Таблица 8

Расчет параметра β по результатам моделирования напорного пласта

$t, \text{м}$	Напр. створа	$S, \text{м}$	$w(u, \beta) = \frac{\beta \pi k S}{Q}$	β			Поправка на полож. ствода	R с поправкой	R рас- чет
				$t = 20$	$t = \infty$	$t = 20$			
25,0	Вверх	3,92	4,08	8,255	0,018	1,388	1562	1,04	1356
	Поперек	3,33	4,06	8,126	0,019	0,017	1470	1,0	1470
	Вниз	3,84	4,06	8,051	0,02	0,017	1250	0,93	1500
50,0	Вверх	3,26	3,4	6,835	7,128	0,037	1352	1562	1,05
	Поперек	3,18	3,38	6,965	7,092	0,04	1250	1,0	1250
	Вниз	3,1	3,32	6,502	6,96	0,043	1162	1423	0,95
100,0	Вверх	2,7	2,9	5,66	6,079	0,068	1470	1318	1,08
	Поперек	2,52	2,72	5,255	5,701	0,08	1250	1538	1,0
	Вниз	2,38	2,64	4,99	5,53	0,092	1086	1423	0,94
200,0	Вверх	2,28	2,52	4,73	5,28	0,12	1666	1666	1,14
	Поперек	1,88	2,06	3,94	4,31	0,16	1250	1,0	1250
	Вниз	1,6	1,86	3,35	3,896	0,22	809	1250	0,78
								0,84	1483

Таблица 9

Сравнение теоретических расчетов понижений
от скважины

Номер расч.	Расчет зависи- мости	$\frac{Q}{4\pi k m}$	$\tau = \gamma / \beta$	$\beta = \frac{\rho}{\tau}$	Понижения на время t , сут			
					2	20	100	∞
1	С учетом ест. потока 0,477	0,2	-	3,06	3,7	3,83	3,83	
2	Граница пост. напора 0,477	-	49,36	3,09	3,63	3,73	3,73	
	% расхожде- ния			0,98	1,9	2,6	2,6	

Примечание: 1 - скважина, работающая в потоке; 2 - у границы постоянного напора.

Обоснование расчетных зависимостей, отражающих
состоиние упругости пласти и динаминости
подземных вод в пласте

Учет гетерогенности пласти по упругости

При обработке результатов опытных откачек с целью оценки геофильтрационных параметров используются в зависимости от типа водоносного горизонта фундаментальные решения:

- для напорного пласта - Ч. Тейса;
- для напорных пластов с перетеканием через разделяющие слои - М. Хантуша, Ч. Джейкоба;
- для безнапорных пластов, в том числе и двухслойных, - Н. Бултона.

Однако такое резкое разграничение пластов по типам, которым соответствуют эти решения, в природе не наблюдается. Отмеченное и ранее (Мироненко, Шестаков, 1978), но более обоснованное в последнее время (Нагевич, Сергеева, 1993; Нагевич, 1995; Шестаков, 1991; Sepulveda, Zack, 1991), изменение коэффициентов пористости и водоотдачи с увеличением геостатического давления определяет и зависимость геофильтрационных па-

метров от глубин залегания и возраста водоносного горизонта, их постепенную изменчивость в горизонтальном и вертикальном направлениях.

Это определяет наличие в природе четких закономерностей распределения геофильтрационных параметров водоносных горизонтов, которые в настоящее время не учитываются в практике их расчета, что приводит зачастую к неправильному выбору схем, и, как следствие, к недостаточно обоснованным конечным результатам. Наиболее ярким примером отношения к параметрам водоносных горизонтов как к постоянным величинам, независимым от вышеуказанных критерииев, является, рассмотрение нижнего хорошоизученного слоя в типовом двухслойном пласте как напорного, характеризующегося коэффициентом пьезопроводности порядка $10^6 \text{ м}^2/\text{сут}$, который затем, вследствие снятия напоров в процессе откачки, становится безнапорным. На самом деле такой слой не может быть напорным и величина гравитационной водоотдачи, определенная по результатам откачки, характеризует его емкостные свойства как в естественных условиях, так и в условиях его возбуждения, а проявляющаяся на первом этапе упругая водоотдача отражает упругие свойства воды в пористом пространстве породы.

Аналогичные допущения положены в основу ряда решений (Ehlig, Halepaaka, 1976; Moench, Prickett, 1972) для так называемых напорно-безнапорных пластов, когда принимается, что пласт при опробовании переходит из напорного в безнапорный (снижение уровня в процессе откачки ниже кровли пласта) или напорный пласт граничит с безнапорной зоной (зона в начале места погружения пласта). И в том и другом случае принимается, что напорный горизонт характеризуется коэффициентом пьезопроводности порядка $10^6 \text{ м}^2/\text{сут}$, даже непосредственно на границе безнапорной зоны, а при опробовании переходит в безнапорный. На самом деле полученная по результатам интерпретации откачки величина водоотдачи в этих случаях также должна характеризовать истинную упругоемкость пласта, далекую от предельной и слизкую к гравитационной.

Можно привести ряд примеров, когда подход к типу водонос-

ногого горизонта без учета вышеприведенных критериев приводит к неправильному выбору типа водоносного горизонта и вследствие этого неверным выводам. Так, П.Н.Костюкович (1979), анализируя собственно безнапорный водоносный горизонт методами для собственно напорного, приходит к выводу об изменении коэффициента пьезопроводности в зависимости от расстояния наблюдательной скважины от опробуемой.

Таким образом, подчиненность емкостных параметров глубине залегания пласта и возрасту слагающих его отложений определяет две основные особенности пласта:

емкостные параметры пласта в зависимости от глубины его залегания характеризуются величинами в той или иной степени отличающимися от упругой водоотдачи предельно напряженных собственно напорных пластов. При малой глубине погружения водоносного горизонта они приближаются к величинам гравитационной водоотдачи;

отличие истинной упругоемкости пласта от предельно возможной, характеризующей собственно напорный пласт, вызывает при проведении откачек проявление гетерогенности пласта по упругости, когда на начальном этапе понижения отражают упругие свойства воды в пористой среде, а на конечном этапе – естественную напряженность пласта и, соответственно, его реальную водоотдачу.

Следует сказать, что отмеченная Boulton (1963) для безнапорного пласта гетерогенность его по упругости, заключающаяся в замедлении проявления гравитационной водоотдачи и отражающая прохождение под влиянием его возбуждения в пласте упругой и гравитационной волн, не является характерной только для условий откачки, под влиянием которой происходит изменение состояния напряженности пласта.

Такой же характер деформации водонасыщенных пластов от изменения напряжения отмечен Е.Ф.Саваренским (1972) при прохождении через водоносные пласти сейсмических волн, что и отражается на их гидографах, которые по внешнему виду аналогичны графикам прослеживания понижения во времени, теоретически описанном Н.Боултоном и отражающим изменение напряженности пласта.

Первый этап графика характеризует скорость прохождения волны по наиболее упругой среде, каковой в системе водоносного пласта является вода и отражает ее упругие свойства в пористой среде. Конечная часть графика в пределах третьего этапа характеризует скорость прохождения волны по системе водоносного пласта в целом, в которой превалирующую роль играет упругость скелета породы или его пластичность, т.е. при прохождении через пласт проявляется сначала упругая волна (I этап), а затем, с некоторым отставанием во времени — пластическая волна (III этап). Между этими этапами наблюдается переходный II этап, в пределах которого скорость распространения упругой волны в короткий период времени стабилизируется, увеличиваясь в пределах III этапа. Этим примером хотелось только подчеркнуть, что гетерогенность проявления упругих свойств водонасыщенных пластов носит общий характер и проявляется во всех случаях воздействия на пласт, связанных с изменением напряжения, в том числе и в случае возбуждения пласта опытными откачками.

Для собственно напорных водоносных пластов, приуроченных к древним породам и опущенным на большие глубины относительно поверхности земли (более 500 м), эти две волны совпадают и отражают степень упругости пласта в целом. В том же водоносном горизонте на участках его приближения к поверхности земли скелет породы находится в менее напряженном состоянии и его упругоемкость несколько отличается от упругоемкости воды. В этом случае должно наблюдаться некоторое отставание пластической волны от упругой, т.е. даже в напорных водоносных горизонтах на графиках временного прослеживания возможно проявление этапов, отражающих этот процесс.

По своему характеру они аналогичны графикам, характерным для собственно безнапорных водоносных горизонтов для которых пластическая волна является гравитационной. Графики отличаются только меньшим временем запаздывания для таких пластов, называемых условно потенциально напорными, и практическим отсутствием периода ложностационарного режима с переходом упругого режима в упругопластический, отражающий непосредственно упругоемкость пласта и, соответственно, его параметры в естественном состоянии.

Такой же характер проявления естественной упругоемкости пласта наблюдается и в квазинапорных пластах (пласти с перетеканием) с несколько большим во времени шагом запаздывания проявления упруго-пластической волны в пределах Ш этапа, где на ход снижения уровня оказывают влияние и процессы перетекания из смежных пластов через разделяющие слои.

Изменение водоотдачи от упругой через упруго-пластическую до гравитационной осуществляется по экспоненциальному закону, и двучленная структура водоотдачи, отражающая упругость воды M_b (величины практически постоянной) и упругость породы M_p (величины, изменяющейся с погружением горизонта под действием геостатического давления), характерна для всех типов водоносных горизонтов, а не является, как это было отмечено Boulton (1963), уделом только безнапорного пласта:

$$M_{pl} = M_b + M_p [1 - \exp(-\lambda at_n)], \quad (46)$$

где λ - величина, обратная индексу задержки проявления упруго-пластической или гравитационной водоотдачи; at_n - время запаздывания.

Зависимость (46) имеет универсальный характер для всех типов водоносных горизонтов. Она предусматривает при совпадении упругой и упругопластической волн, проявляющейся в собственно напорных, гомогенных по упругости, пластах, в которых время запаздывания близко к нулю, характеристику водоотдачи пласта, отражающей его упругое состояние в целом. Характер снижения уровня в таких пластах отвечает зависимости Ч. Тейса для условий бассейна.

Для гетерогенных по упругости изолированных пластов (потенциально напорных) в процессе откачки характерно изменение величины водоотдачи от упругой до упругопластической и в зависимости от состояния упругоемкости пласта, характеризующейся соотношением составляющих водоотдачи пласта ($\gamma = \frac{M_p}{M_b}$), время задержки проявления упругопластической волны различное. В общем виде понижение уровня в таких пластах может быть записано в виде уравнения Boulton (1963):

$$S = \frac{Q}{4\pi k_m} W(\bar{\psi}_y, \bar{\psi}_{up}, \bar{\tau}_{up}), \quad (47)$$

в котором $\bar{\psi}_y, \bar{\psi}_{up}$ - безразмерные аргументы функции; $\bar{\psi}_y = \frac{\tau^2}{4a^{**}t}$, где a^{**} - коэффициент пьезопроводности; $a^{**} = \frac{k_m}{\mu^{**}}$; μ^{**} - коэффициент упругой водоотдачи, обусловленный, в основном, упругоемкостью воды в пористом пространстве пласта; $\bar{\psi}_{up} = \frac{\tau^2}{4a^*t}$, где a^* - коэффициент пьезопроводности пласта, $a^* = \frac{k_m}{\mu^*}$; μ^* - коэффициент упругопластической (сложившейся) водоотдачи, обусловленный упругоемкостью пласта в целом; $W(\bar{\psi}_y, \bar{\psi}_{up}, \bar{\tau})$ - функция скважины, аналогичная в начальный период функции перетекания $W(\bar{\psi}, \bar{\tau})$, переходящая затем в функцию Болтона $W(\bar{\psi}_{up}, \bar{\tau})$ для условий упругопластической среды; $\bar{\tau} = \frac{1}{B_D}$, где B_D - параметр дренирования, характеризующий замедление проявления упругопластической водоотдачи, связанный с индексом Болтона для запаздывания I/d зависимостью:

$$B_D = \sqrt{\frac{a^*}{d}}.$$

Уравнение определяет на графиках снижения уровня проявление характерных для безнапорного пласта трех этапов снижения уровня. В пределах III этапа процесс снижения уровня отражает сложившуюся упругопластическую водоотдачу опробуемого пласта и подчиняется зависимости Тейса (10).

Реальная водоотдача потенциально напорного пласта в соответствии с его положением относительно поверхности земли (глубиной залегания) должна изменяться от близкой к упругой (на глубине более 500 м) до близкой к гравитационной (на выходе пласта на поверхность земли). Типовые кривые прослеживания в виде эталонных кривых функции (47), которые отражают увеличение времени запаздывания сложившейся водоотдачи пласта с уменьшением глубины его залегания, приведены на рис. 8. Типовые кривые характеризуют соотношение реальной и упругой водоотдач $-g = 1, 2, 5, 10, 20, 100, 200$.

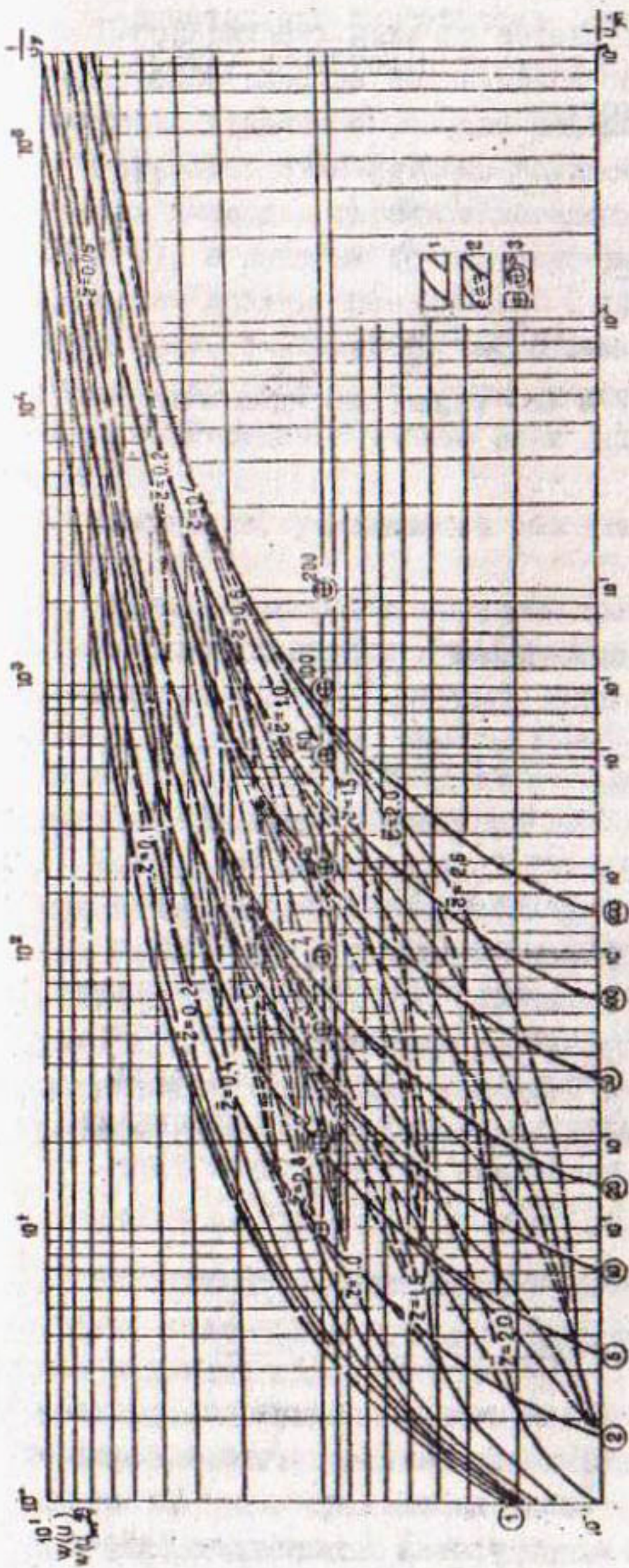


Рис. 8. Эталонные кривые функции $W(U_y, U_{y0}, \bar{\gamma})$ от U_y/U_{y0} ($\gamma = \frac{U_y}{U_{y0}}/U_y$), отражающие характер подъема уровня при опробовании напорных и потенциальных напорных пластов: 1 — расположение эталонных кривых Тейса при различных проявлениях склонившейся водоотдачи; 2 — расположение эталонных кривых, отражавших переход от упругой к сложившейся водоотдаче; 3 — расчетные кривые с координатами $W(U_y/U_{y0}, \bar{\gamma}) = \Gamma_1, \Gamma_2, \Gamma_3$, определяющие для заданные кривые Тейса при упругом ($\gamma = U_{y0}/U_y, \bar{\gamma} = 1$) и сложившемся водоотдаче ($\gamma = 2$; $5; 10; 20; 50; 100; 200$).

Аналогичный ход снижения уровня, характерный для потенциально напорных пластов, отражен в решении Н.Боултона (1963) для двухслойного водоносного пласта

$$S = \frac{Q}{4\pi k m} W_8(\tau, \bar{\tau}, \bar{\mu}), \quad \text{где } \tau = \frac{x_n t}{m}; \quad (48)$$

$$\bar{\tau} = \tau/B, \bar{\mu} = \frac{\mu^*}{\mu}; \quad x_n = \frac{k_n}{m_n}.$$

Нетрудно установить, что так как $B^2 = \frac{k_m m_n}{k_n} = \frac{k_m}{K_n}$, $\tau = \frac{k_m t}{m \cdot B^2} = \frac{at}{B^2}$, уравнения (47 и 48) полностью идентичны и связаны соотношением:

$$\frac{1}{\bar{\mu}} = \frac{4}{\tau^2} \cdot \tau. \quad (49)$$

На эту величину должно наблюдаться смещение эталонных кривых (47 и 48) с одноименными характеристиками $\bar{\tau}$ и равенством соотношений водоотдачи $\gamma = \frac{\mu}{\mu^*}$. Значения функции (48) для диапазона соотношений водоотдачи $\bar{\mu} = \frac{\mu^* + \mu}{\mu^*} \approx \gamma = \frac{\mu}{\mu^*}$, равных 6,5; 20; 34; 100, приведены в табл. 8 (Мироненко, Шестаков, 1978).

Таким образом, уравнения фильтрации Боултона в виде (47 и 48) являются универсальными, описывающими приток к скважине с учетом состояния упругости пласта и отражающими замедление проявления его реальной водоотдачи, и применимы для всех типов водоносных горизонтов. Частным случаем этих уравнений является уравнение Тейса применительно к собственно напорному пласту, для которого реальная водоотдача соответствует упругой.

Совместный учет гетерогенности пласта по упругости и естественного потока подземных вод в пласте

В решениях Боултона (47 и 48) не учтена динамичность подземных вод в пласте, или наличие потока подземных вод, что определяет после проявления реальной водоотдачи пласта в процессе откачки подчинение дальнейшего хода снижения уровня зависимости Тейса, отражающей современное состояние напряженности пласта.

Неоспоримость наличия потока подземных вод во всех типах водоносных пластов не вызывает сомнения и подтверждена анализом хода откачек огромного объема опытно-фильтрационных работ. В частности, стабилизация понижений или тенденция к ней отмечаются даже для глубоко залегающих водоносных пластов (более 1000 м), в которых другие факторы, обеспечивающие этот процесс, не должны проявляться. С другой стороны, в решении Хантуша (37), учитывающем естественный поток подземных вод, не отражен процесс замедления проявления реальной водоотдачи пласта. Решение с учетом этих факторов получено П.П.Нагевичем (1991).

Уравнение, учитывающее оба эти фактора, можно записать в виде

$$S = \frac{Q}{4\pi k t} W (I_u, I_{u_p}, \tau/v_d, \tau/\beta_p), \quad (50)$$

где $W (I_u, I_{u_p}, \tau/v_d, \tau/\beta_p)$ – функция скважины для различного типа пластов, учитывающая влияние естественного потока и запаздывание проявления реальной водоотдачи.

Численные значения этой функции в пределах первых двух этапов полностью соответствуют функции Хантуша-Джейкоба для упругой фильтрации в условиях перетекания, а в пределах третьего этапа могут быть легко определены введением в зависимость Бултона (47) поправок на уклон потока. Эти поправки могут быть получены из сравнения значений функций Тейса и Хантуша для различных характеристик $\bar{\tau}_p = \tau/\beta_p$

$$\Delta W (I_{u_p}, \tau/\beta_p) = W(I_{u_p}) - W(I_{u_p}, \tau/\beta_p). \quad (51)$$

Рассчитанные таким образом значения функции $W (I_{u_p}, \tau/v, \tau/\beta)$, являющейся аналогом функции Бултона, протабулированы для основных характеристик τ/v_d и τ/β_p и представлены в виде эталонных кривых зависимости ее значений от аргумента I/u , вilogарифмическом масштабе. Решение предусматривает возможность выхода в пределах Ш этапа эталонной кривой с фиксированной характеристикой $\bar{\tau} = \tau/v$ на несколько эталонных кривых, имеющих различные характеристики $\bar{\tau}_p = \tau/\beta$.

На рис. 9, 10 приведены эталонные кривые функции, отражающие характер понижения уровня соответственно в потенциально напорных $y = 10$ и безнапорных пластах $y = 100$. Они могут быть составлены для более широкого диапазона значений y .

В табл. 10 приведены значения функции ψ ($\psi_{up}, \tau/\tau_p, \tau/\tau_p$) для эталонных кривых, имеющих характеристики τ/τ_p от 0,2 до 2,0 и выходящих на эталонные кривые с характеристиками $\tau/\tau_p = 0,05; 0,1; 0,2; 0,3; 0,4; 0,5$. Полное приведение функции ограничено объемом работы.

Характерной особенностью зависимости является отражение в ее численных значениях реального процесса, происходящего при откачке из водоносных горизонтов, когда максимальный темп снижения, соответствующий зависимости Тейса, сглаживан замедлением проявления реальной водоотдачи, а при достижении ее своего максимума - влиянием естественного потока, вызывающего в зависимости от продолжительности откачки полную или частичную стабилизацию понижений даже при сравнительно малых значениях уклона потока (менее 0,01). Этим объясняется отсутствие на графиках временного прослеживания ($S - \tau$), четко выраженных прямолинейных участков, отвечающих зависимости Тейса, что не обеспечивает приближения к истинным параметрам пласта при расчете их методами Джейкоба. Вероятность приближения рассчитанных ими параметров (K_{TP}) к истинным (K_{Ti}) в этом случае в значительной степени зависит от соотношения τ/τ_p . При больших его значениях относительная ошибка уменьшается, при малых - увеличивается, что достаточно убедительно подтверждается результатами расчета,ложенными в основу графика зависимости τ/τ_p от $\Delta = \frac{K_{TP}}{K_{Ti}}$ (рис. II).

Убедительным доказательством реальности проявления гетерогенности пласта по упругости для всех типов водоносных пластов, при влиянии различных питающих факторов (в т.ч. и естественного потока подземных вод) являются графики прослеживания понижения во времени (рис. 12, а-г). На них четко прослеживается зависимость времени проявления реальной водоотдачи пласта от глубины залегания водоносных пластов в плиоцен-четвертичных отложениях (рис. 12, а-г) и правомерность проявления

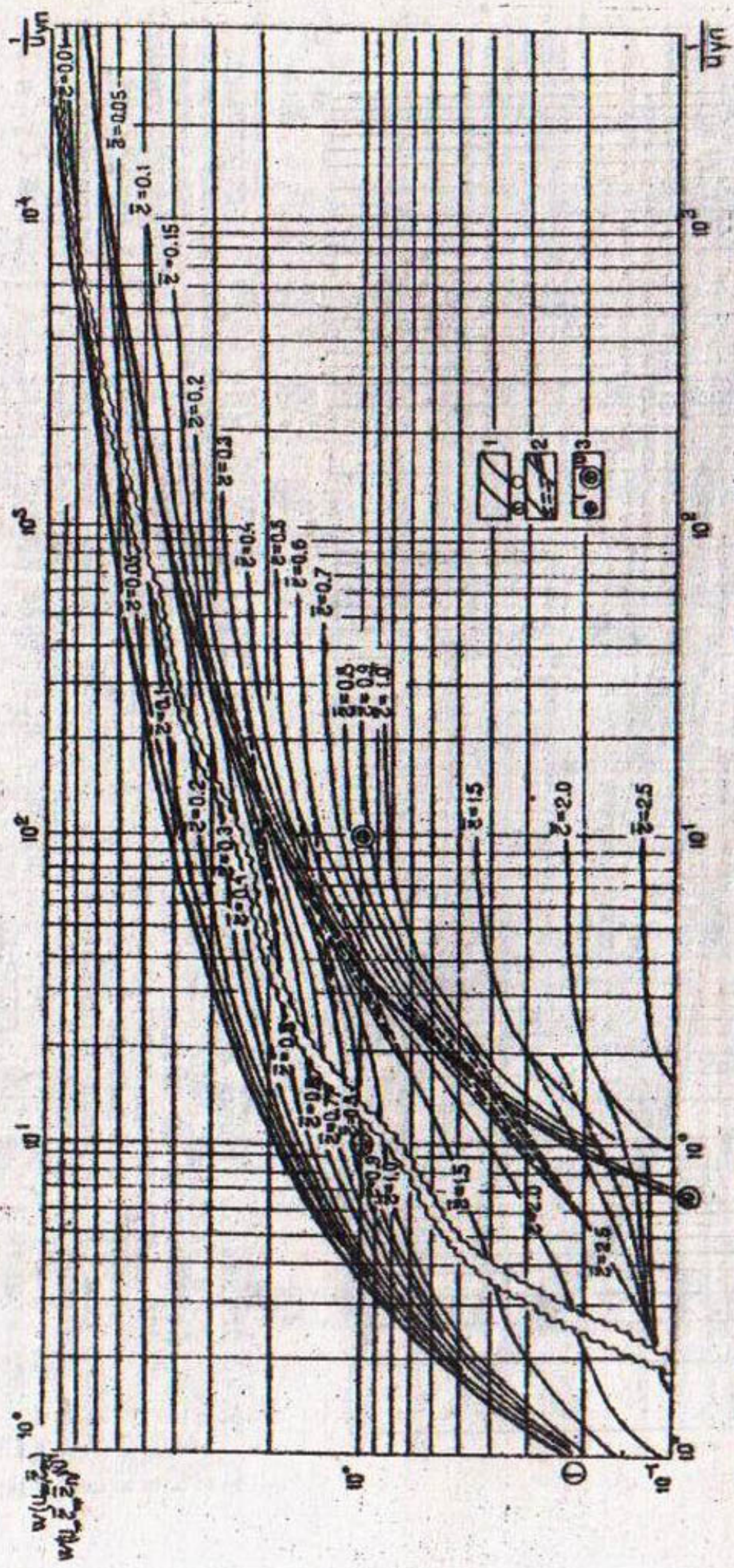


Рис. 9. Этапорные кривые для признака $\chi = \frac{W}{W_0}$, определяющие положение иризах Тейса для упругой (жесткой) водоточки при $\gamma = 10$, (1/кн), от $\frac{W_0}{W_{out}}$ (1/кн) до 10^3 , (1/кн), в зависимости от упругого напорного и неподвижного пластов в условиях истощения потока подземных вод, передтекания из смежных пластов через разделяющие слои: 1 - расчетные точки за счет потока и передтекания; 2 - расчетные точки за счет водоточки (составляющей) водоточки; 3 - расчетные точки о координатах питающих пластов (сооружений).

также в зависимости от величины χ и χ_r определяется величина χ_n , соответствующая условию $\chi_n = \chi_r$.

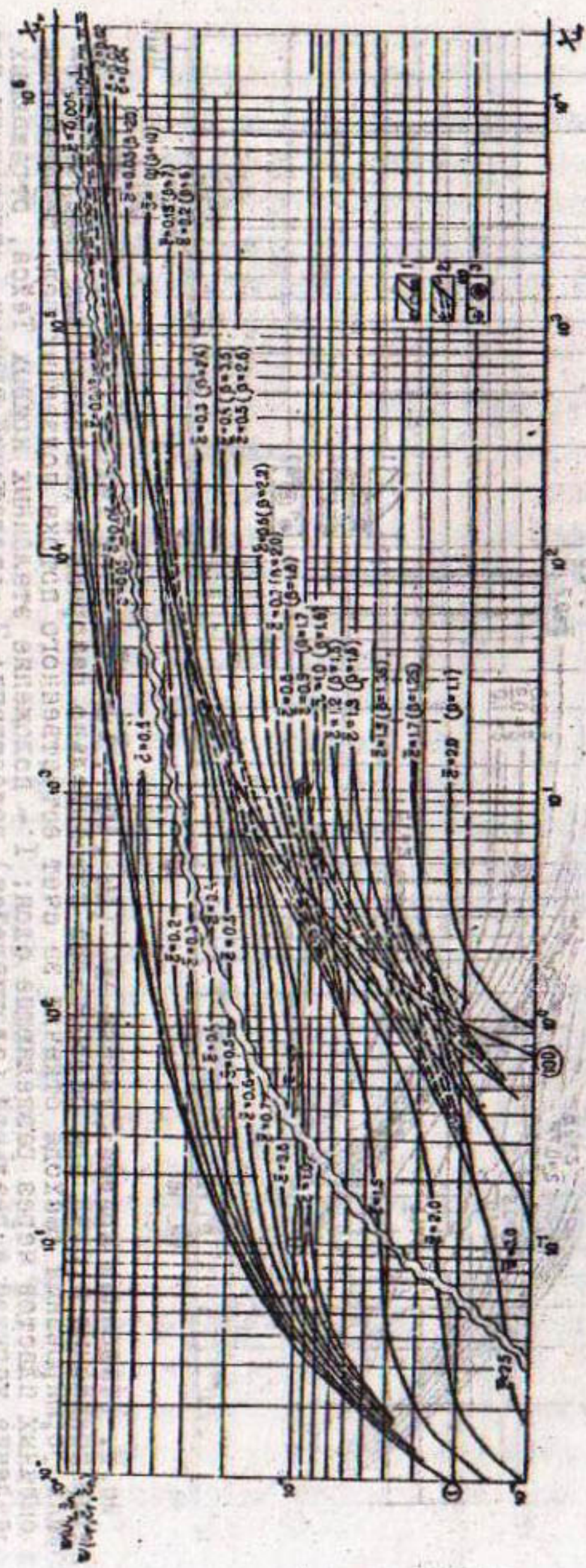
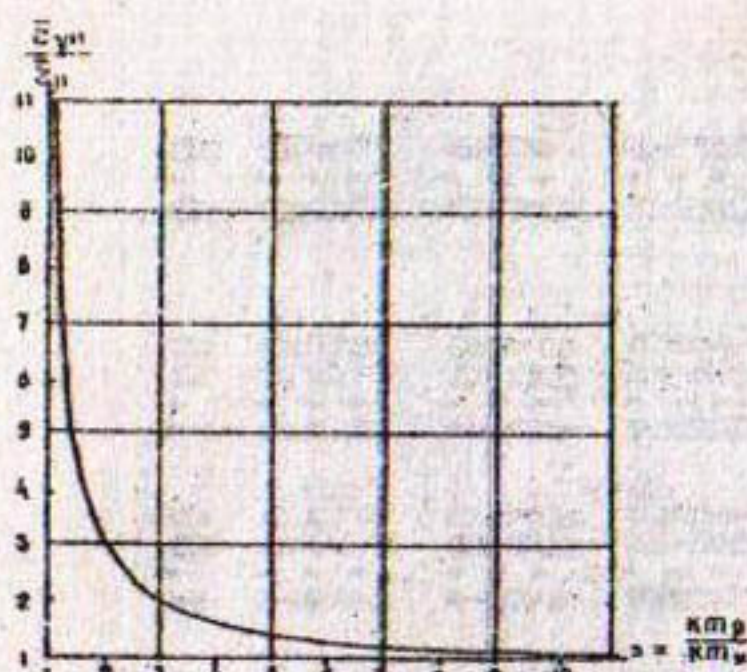


Рис. 10. Заданные кривые функции $W(U_y, U_r, \bar{\chi}_r, \bar{\chi}_n)$ от $\chi / U_y (1 / U_r)$, отражающие характер понижения уровня при определении потенциала, сеченияльно, безнапорных пластов в условиях формирования расхода откачки за счет естественного потока подземных вод, переделания в ожидания и в ожидания изометрического питания: 1 - положение кривых, отражавших проявление перехода от упругой к гравитационной водоотдачи; 2 - положение кривых, отражавших переход откачки за счет потока, переделания, функции $W(\chi_r = 1)$, и гравитационной ($Y = 100$) водоотдачи; 3 - расчетные точки с координатами $W(\chi_r = 10, \bar{\chi}_r = 10, \bar{\chi}_n = 100) = 10$, определяющие положение кривых для упругой ($\chi = 1$).

Таблица 10

Значения функции связанные Ψ (Ψ_g , $\bar{\Psi}$, $\bar{\Psi}_n$) - динамический пласт
с замедленным прорывом гравитационной водоотдачи
и естественным потоком подземных вод

$\bar{\Psi} = \frac{\Psi}{\Psi_g}$	$\bar{\Psi}$	$\bar{\Psi}_n$	$\bar{\Psi}_n = \frac{\Psi_n}{\Psi_g}$
0,2	3,5	3,52	3,65
	3,5	3,58	3,84
	2,25	2,4	3,79
0,4	2,25	2,53	3,78
	2,25	2,5	4,67
	2,25	2,57	3,47
0,6	1,6	1,7	3,19
	1,6	1,69	3,24
	0,8	1,24	3,24
	1,0	0,99	1,15
	1,5	0,65	1,3
2,0	0,48	0,7	1,14



гетерогенного пласта по упругости для пластов в более древних отложениях мелового возраста (рис. 12, д).

Рис. II. График зависимости относительной ошибки $\Delta = \frac{Kt_p}{Kt_n}$ от $\bar{\sigma}_y / \bar{\sigma}_a$ при расчете Kt_p методом временного прослеживания.

Роль граничных и начальных условий пласта в плане и разрезе и их отражение в расчетных зависимостях

Гетерогенность пласта по упругости и естественный поток подземных вод в пласте отражают региональные закономерности формирования как отложений, слагающих пласт, так и ресурсов подземных вод за пределами области питания откачки и характерны для водоносных горизонтов всех типов. Региональные ресурсы определяют количество склонившихся запасов подземных вод непосредственно в районе расположения опытной скважины, проявляющихся здесь в различном виде (перетекание из пласта в смежные, естественная разгрузка на выклинивание, дренирование водотоками, испарение). Они, как и местное инфильтрационное питание, существенно влияют на структуру дебита откачки (табл. 2) и на достоверность оценки параметров пласта соответственно.

Рассмотрим роль каждого из этих факторов в процессе формирования расходов откачки и создаваемых понижений в пределах воронки депрессии.

Перетекание через слабопроницаемые разделяющие слои

Оно проявляется, как правило, в квазинапорных гетерогенных по упругости пластах. Понижение в пласте под влиянием откачки может быть описано зависимостью (50), в которой место β_p (параметра интенсивности питания за счет потока подземных вод) занимает параметр перетекания B .

$$S = \frac{q}{4\pi k_m} W(\bar{z}, \bar{z}_{up}, \frac{\tau}{v_d}, \frac{\tau}{v}). \quad (52)$$

Значения функции W (\bar{z}_{up} , $\frac{\tau}{v_d}$, $\frac{\tau}{v}$) аналогичны приведенным в табл. 10, эталонные кривые для соотношения водоотдачи $\gamma = 10$ отражены на рис. 9.

При наличии естественного потока его влияние в отдельных случаях и, особенно, для удаленных пьезометров сопоставимо с влиянием перетекания. В этом случае в уравнение (52) вводится комплексный параметр v_p , учитывающий оба фактора

$$\frac{I}{v_p^2} = \frac{I}{v^2} + \frac{I}{\beta_n^2}. \quad (53)$$

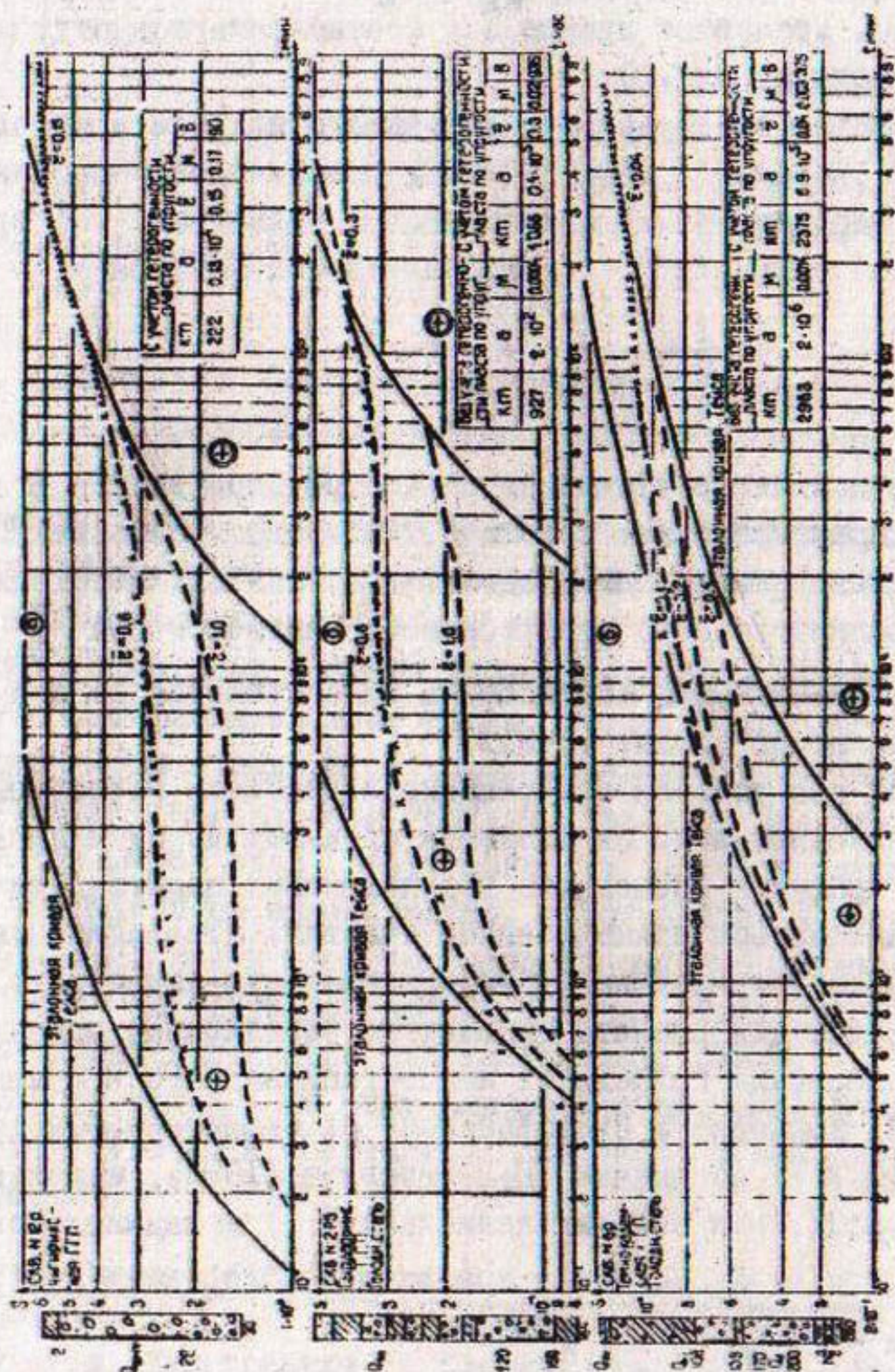
В конечном итоге уточнение параметра перетекания V при известных характеристиках потока β_n позволяет откорректировать и коэффициент фильтрации разделяющего слоя K_p . Необходимость корректировки особенно существенно проявляется при $\frac{v_p}{v} < 2-3$.

При больших величинах соотношения относительная ошибка в определении K_p не превышает 10-20%.

В целом для условий перетекания и действия естественного потока подземных вод, описываемых сходными по сути зависимостями, на графиках временного прослеживания практически не должны наблюдаться прямолинейные участки, отвечающие зависимостям Тейса, отражающим упругую и реальную водоотдачу пласта. Использование для расчета параметров осредненных прямых на участках перехода графика от ложностационарного к стационарному этапам, приводит к существенному их завышению. Относительная ошибка α , по данным П.П.Нагевича (1984), может достигать 500-600% (при больших величинах \bar{z}) и подчиняться зависимости

$$\alpha = \frac{C_t}{C_t(\bar{z})} - 1 = e^{\bar{z}/v} - 1, \quad (54)$$

где C_t , $C_t(\bar{z})$ - угловые коэффициенты прямых, отвечающих зависимостям Тейса для напорного пласта и Хантуша-Джейкоба для условий перетекания соответственно.



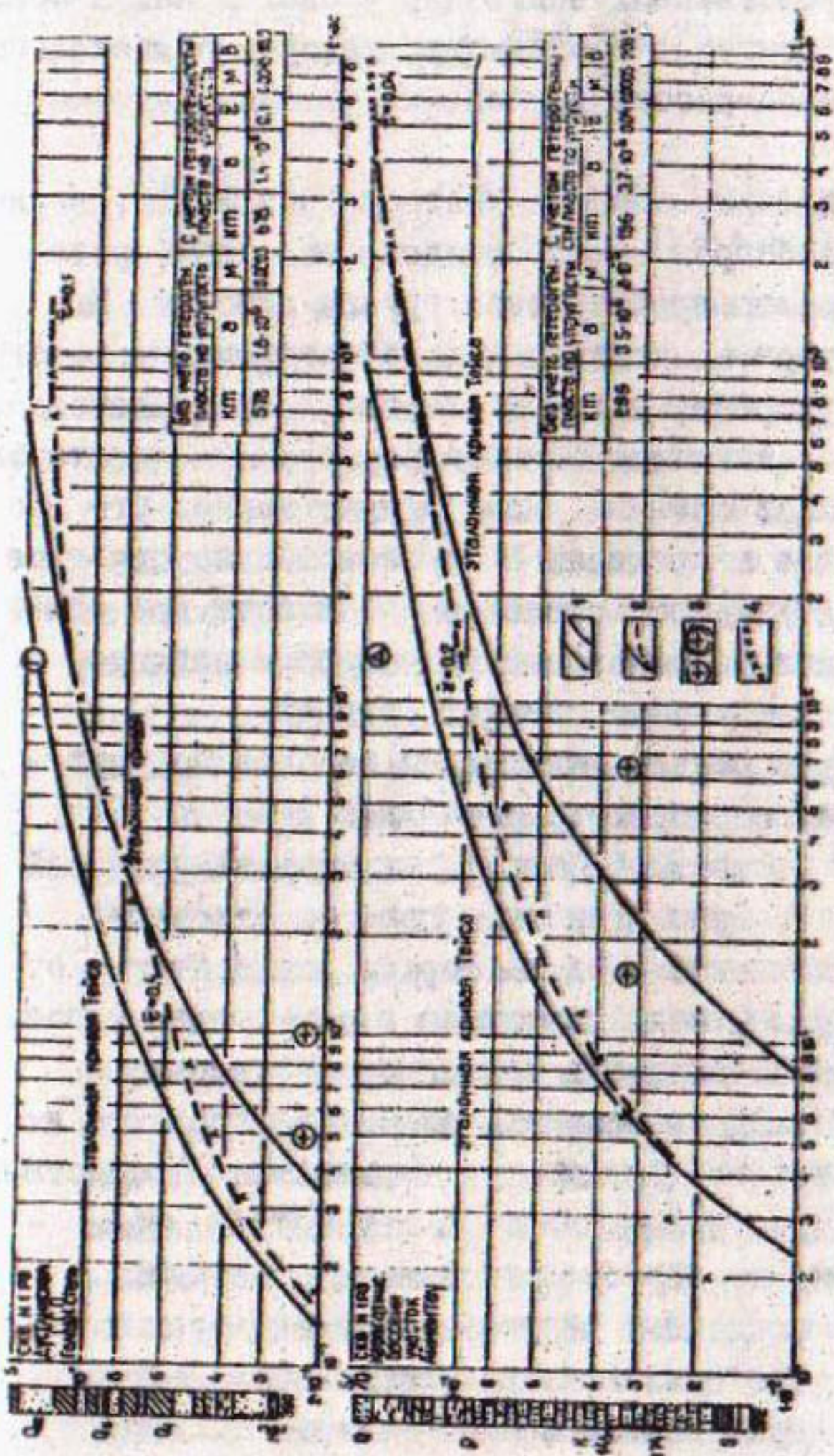


Рис. 12. Типовые фактические графики прослеживания движения во времени по результатам опробования различных типов водонапорных горизонтов. Определенные их глубиной залегания. Водонапорные горизонты: а - безнапорный; б, в - кавазинапорные; г, д - потенциально напорные. 1, 2, 3 - усл. обозн. см. на рис. 6-10; 4 - фактические точки зависимости.

Зависимость (52) применима при условии, что расход потока и перетекания из смежных пластов полностью компенсирует расход откачки, не вызывая существенных понижений уровня в них и обеспечивая выдержанность критерия постоянства напора, обязательного для обоснования правомерности применения решения Хантуша-Джейкоба.

При опробовании отдельных пластов многослойной толщи, взаимодействующих через слабопроницаемые разделяющие слои, роль питающего смежного пласта берет на себя группа пластов. Их участие проявляется путем последовательного привлечения такого количества пластов в разрезе, которое обеспечивает компенсацию дебита откачки сверх сложившихся запасов опробуемого пласта за счет привлекаемых запасов смежных. На графиках временного прослеживания в этом случае в пределах III этапа возможно нечеткое проявление воздействия каждого привлекаемого пласта при общей тенденции к стабилизации, обусловленной суммарным влиянием всех пластов, вовлеченных в зону питания откачки.

При оценке параметров разделяющих слоев необходимо учитывать различие в напорах опробуемого и смежных пластов. Так, в условиях естественной восходящей фильтрации, характеризующейся уменьшением напоров с приближением к поверхности земли, верхний смежный слой начнет влиять на формирование дебита откачки только в том случае, если понижение в опробуемом пласте S_o существенно превысит разность его напоров и верхнего смежного пласта aH_{o-b} . Здесь возможны следующие варианты их взаимоотношений при откачке: $S_o < H_{o-b}$ - уменьшение естественного перетекания из опробуемого пласта в верхний; $S_o \approx aH_{o-b}$ - прекращение перетекания из опробуемого пласта в верхний;

$S_o > aH_{o-b}$ - начало нисходящего перетекания в опробуемый пласт. Удельный расход перетеканий из верхнего пласта в опробуемый q_{b-o} в этом случае определяется зависимостью

$$q_{b-o} = K_b \left(\frac{S_o - aH_{o-b}}{m_b} \right). \quad (55)$$

В то же время участие нижележащего пласта, обеспечивающего постоянную восходящую фильтрацию в опробуемый пласт как в естественных условиях, так и при откачке, является определяющим, что

видно из выражения удельного расхода перетекания из нижнего пласта и сопоставления его с расходом из верхнего:

$$q_{n-o} = K_n \left(\frac{S_o + \Delta H_{o-n}}{\tau_{o-n}} \right), \quad (56)$$

$$\frac{q_{n-o}}{q_{v-o}} = \frac{K_n \cdot \tau_v (S_o + \Delta H_{o-n})}{K_v \cdot \tau_n (S_o - \Delta H_{o-v})}, \quad (57)$$

где K_n , K_v , τ_n , τ_v – коэффициенты фильтрации и мощности нижнего и верхнего разделяющих слоев; ΔH_{o-v} , ΔH_{o-n} – разность напоров в естественных условиях между опробуемым верхним и нижним пластами соответственно.

Из зависимостей ясно, что при $S_o \leq \Delta H_{o-v}$ верхний пласт не участвует в питании откачки, хотя понижения и будут наблюдаться за счет сокращения восходящей фильтрации, вызванного откачкой. При таком варианте III этап на графиках прослеживания отражает влияние только нижнего смежного пласта и характеризует фильтрационные свойства слоя, отделяющего его от опробуемого.

В случае часто встречаемого на практике грунтового опробования многослойной водоносной толщи (как правило, три опытные скважины с ярусной конструкцией фильтров, охватывающих в пределах каждого яруса один или несколько пластов при аналогичной конструкции пьезометров) на графиках временного прослеживания действие откачки из каждого яруса должно проявляться как при опробовании следующих характерных типов пластов: верхний ярус – квазинапорный пласт с перетеканием из вышележащих смежных пластов; средний ярус – потенциально напорный изолированный пласт; нижний ярус – квазинапорный пласт с перетеканием из нижележащих смежных пластов.

Различие напоров в пластах может вызвать некоторое отступление от отмеченных особенностей, в которых можно разобраться, проанализировав взаимоотношения пластов.

Учет влияния реки

Группа питающих факторов, влияющих на структуру дебита откачки в безнапорном водоносном горизонте и, как правило, при-

водящих к существенному завышению рассчитанных параметров пласта, требует более внимательного рассмотрения. Среди них теоретически обоснованным является только учет влияния реки на работу приречных скважин. Однако и здесь неучтет некоторых нюансов также может привести к значительным ошибкам. Имеющиеся решения (Форхгеймер, В.М.Шестаков, Ф.М.Бочевер) рассчитаны на рассмотрение реки в виде прямолинейной границы определенной ширины (большой, малой) с условиями постоянства напора (I рода) или изменяющегося от разности напора в реке и пласте расхода (III рода). Среди этих решений, в основе которых лежат зависимости (II, I2) претензии могут быть только к уравнениям неустановившегося движения, в которых не учтен процесс замедления проявления гравитационной водоотдачи, характерный для безнапорных пластов, т.е. зависимость (I2) отражает только роль реки с постоянным напором. Совместное влияние этих факторов может быть отражено зависимостью, принцип вывода которой использован при получении решения (50) для учета естественного потока подземных вод путем введения в решение Боултона (47) поправок для различных характеристик $\beta_p = \frac{\rho}{\gamma}$

$$\Delta W(\beta_p, \psi_r) = W(\psi_r) - W(\beta_p, \psi_r). \quad (58)$$

Окончательный вид уравнения, описывающего понижение уровня в безнапорном пласте при откачке из приречной скважины, может быть представлен как

$$S = \frac{Q}{4\pi k m} W(\psi_y, \beta_p, \psi_r, \frac{\tau}{\tau_d}), \quad (59)$$

где $W(\psi_y, \beta_p, \psi_r, \frac{\tau}{\tau_d})$ – функция скважины, учитывающая влияние реки и запаздывание проявления гравитационной водоотдачи. Численные значения функции приведены в табл. II и близки к функциям скважины, учитывающей естественный поток и перетекание (табл. I0). Графики эталонных кривых этой функции практически совпадают с вышеуказанными применительно к безнапорному пласту (рис. I0), на которых кривые с характеристикой $\bar{\tau} = \frac{\tau}{\tau_d}$ переходят в пределах Ш и IУ этапов в кривые с харак-

Значения функции скважин в безнапорном пласте с замедленным
проявлением гравитационной водоотдачи и эпидемии реки

$\bar{z} = \frac{y}{B_A}$	I	2,5	5	10	50	10^2	$5 \cdot 10^2$	10^3	10^4	10^5	$\bar{z} = \frac{y}{B_P}$
I	2	3	4	5	6	7	8	9	II	10	III
0,2	5,2	3,5	3,5	3,5	6,6	6,6	6,6	4,08	4,54	4,6	0,05
0,4	5,2	3,5	3,5	3,5	6,6	6,6	6,6	4,3	5,9	5,98	0,02
0,8	5,2	3,5	3,5	3,5	6,6	6,6	6,6	4,3	7,16	7,36	0,02
0,6	5,2	3,5	3,5	3,5	6,6	6,6	6,6	4,08	4,54	4,6	0,05
1,0	5,2	3,5	3,5	3,5	6,6	6,6	6,6	4,3	5,9	5,98	0,02
								4,68	4,68	4,68	
								10	10	10	
								12	12	12	
								13	13	13	

Продолжение табл. II

теристиками $\beta_p = \frac{\rho}{\tau}$, отражающими положение пьезометра относительно опытной скважины и реки. В то же время они близки к эталонным кривым с характеристикой $\bar{\tau}_p = \frac{1}{B_p}$, где параметр B_p , характеризующий удаленность источника питания откачки, равен $B_p = 2L$. Связь характеристик β_p и $\bar{\tau}_p$ приведена на рис. I3. В итоге зависимость (59) принимает вид решения Форхгеймера для скважины у реки (I2).

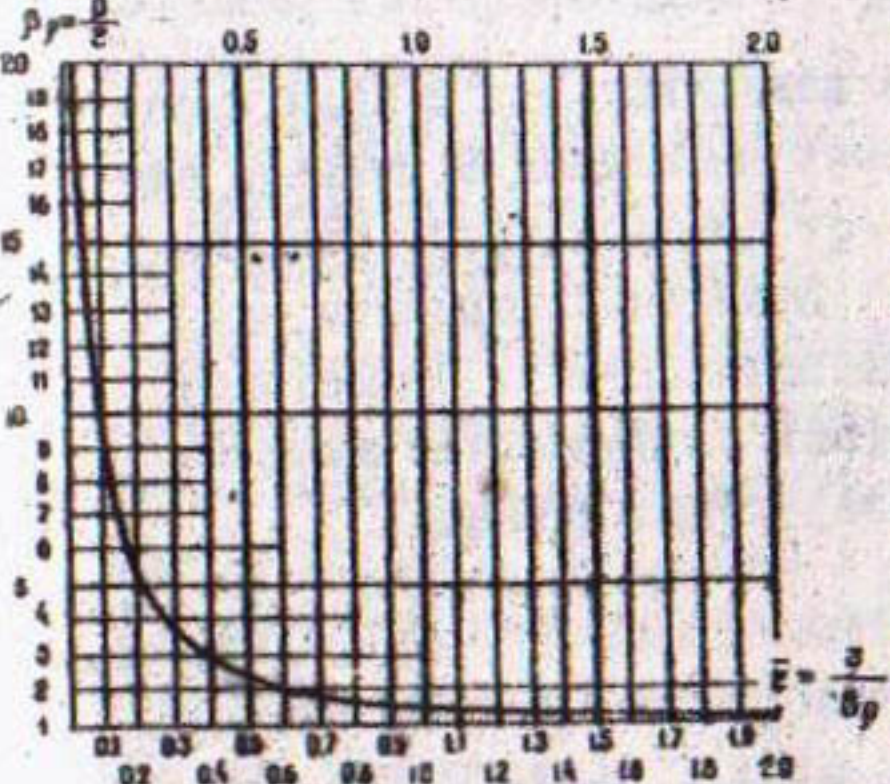


Рис. I3. График связи показателей эталонных кривых β_p и $\bar{\tau}_p$.

Неучтенные факторы, влияющие на достоверность оценки параметров при интерпретации откачек из приречных скважин, следующие:

- конфигурация русла реки в области возможного влияния откачки;
- наличие дополнительных протоков реки, искусственных водотоков, расход которых сопоставим с расходами откачки;
- высотное положение уровня воды в реке и зеркала подземных вод и их взаимоотношение;
- прирусловое выклинивание подземных вод;
- испарение подземных вод с их зеркала и влаголюбивой растительностью;
- естественный поток подземных вод, его взаимоотношение с рекой.

Выполнено моделирование работы скважин с учетом этих факторов (Сергеева, Сулейманов, 1992 г.) позволило оценить их немаловажную роль только на качественном уровне. Решение этого вопроса требует дальнейших исследований. Однако важность учета этих факторов неоспорима.

В настоящее время представляется возможность учета части тех факторов, влияние которых можно свести к дополнительной линейно вытянутой и параллельной реке границе (протоки, дрены). Положение реки и этой границы отражено в решении, произведенном в работе Нагевича (1989), аналогичном уравнению Форхгеймера, в

котором вместо $\operatorname{Eg}\left(\frac{\rho}{\tau}\right)$ введен

$$\operatorname{Eg}\left(\frac{\bar{\rho}}{\tau}\right) = \frac{\operatorname{Eg} \frac{\rho_p}{\tau_l} \cdot \operatorname{Eg} \frac{\rho_n}{\tau_i}}{\operatorname{Eg} \frac{\rho_p}{\tau_l} + \operatorname{Eg} \frac{\rho_n}{\tau_i}}, \quad (60)$$

где ρ_p , ρ_n - расстояние до отображенных скважин относительно правой и левой границ.

При наличии естественного потока подземных вод в зависимости от его взаимоотношения с рекой роль последней в питании откачки может существенно изменяться (от максимального участия до полного отсутствия влияния реки). Возможные варианты схем взаимодействия приведены в работе Нагевича (1984). Совместное проявление реки и потока в решении (59) отображается введением в аргумент функции комплексного параметра питания

$$\frac{I}{B^2} = \frac{I}{B_p^2} + \frac{I}{B_n^2}. \quad (61)$$

При этом зависимость (59) может быть представлена в виде:

$$S = \frac{Q}{\pi k m} W(u_y, u_r, \frac{\tau}{B_d}; \frac{I}{B}). \quad (62)$$

Функция скважины в этом выражении аналогична функции в решении (59) (табл. II, рис. 10).

Учет местного площадного питания или разгрузки подземных вод

Безнапорные водоносные горизонты в аридной зоне с широким развитием орошаемого земледелия, помимо существования естественного потока подземных вод, характеризуются различными условиями на их свободной поверхности или факторами, искажающими ход снижения уровня при откачке. К их числу относятся инфильтрация поверхностных вод на зеркало подземных (местное питание горизонта) или испарение с их зеркала (разгрузка водоносного горизонта). В условиях Центральной Азии процессы питания

подземных вод за счет полива орошаемых площадей и их разгрузки на испарение проявляются довольно существенно.

Так, для подземных вод речных долин питание за счет потерь оросительных вод составляет значительную часть сложившихся запасов, что отражается как в повышении их зеркала в период поливов, так и при наличии искусственных дренажных систем, ограничивающих их подъем, в увеличении расхода дренажного стока. Дренированность территории определяет и сдерживает величину приращения мощности водоносного горизонта, сформированную этим дополнительным питанием. Запасы, помимо дренирования, расходуются в результате испарения с зеркала подземных вод, поверхности почвы и транспирации растительностью. Годовое испарение значительно превышает общее количество выпадающих атмосферных осадков. По данным Л.Я.Джогана (1989), среднее испарение по шести ключевым участкам Средней Азии составляет 994 мм в год. Из них на транспирацию растениями (хлопчатник) идет 525 мм, испарение с почвы и зоны аэрации - 369 мм (средняя величина атмосферных осадков - 278 мм). По данным К.Г.Ганиева (1979), величина испарения в вегетационный период составляет 500-700 мм. Максимальная величина испарения в долине р.Чирчик зафиксирована в 860 мм, что при равномерной в течение всего периода интенсивности испарения в месяц составляет 123 мм или 4 мм/сут. Максимальное испарение за месяц 254 мм наблюдалось в сентябре на хлопковых полях при глубине залегания УПВ 1 м (годовое - 941,7 мм).

В.Н.Пономарев (1989) отметил, что при водоподаче на площадь, занятой посевами хлопчатника, в 9,2 тыс. \cdot м³/га общие потери на пополнение запасов подземных вод и суммарное испарение составляют 6 тыс. \cdot м³/га, при этом на уровень подземных вод поступает 2,1, а на транспирацию и испарение - 3,9 тыс. \cdot м³/га. На площадях, занятых влаголюбивыми культурами, при водоподаче в 28,7 тыс. \cdot м³/га 56% (16,21 тыс. \cdot м³/га) уходит на пополнение запасов и выклинивание в дрены, а 44% - на испарение с открытой водной поверхности и транспирацию растениями.

Безнапорный водоносный горизонт при наличии инфильтрации поверхностных вод или испарения подземных вод характеризуется

следующими особенностями:

движение воды осуществляется через зону аэрации, пропускная способность которой зависит от ее мощности m_a , коэффициента фильтрации K_a и гидротермических условий на поверхности земли;

эти процессы приводят к изменению уровня подземных вод, т.е. к приросту или сокращению мощности водоносного горизонта;

процессы осуществляются в вертикальном направлении на большой площади развития пласта;

их интенсивность подчиняется изменению по глубине, общие принципиальные закономерности которого выявлены довольно условно (Ганиев, Крылов, Палковский, 1986 г.).

Инфильтрационное питание, поступающее на свободную поверхность зеркала подземных вод, снижающуюся в процессе откачки, частично компенсирует расход откачки, приводя в отдельных случаях к стабилизации понижений.

Исходя из этого при наличии инфильтрационного питания безнапорный пласт можно рассматривать как двухслойный, в котором роль покровного слоя выполняет зона аэрации. Через нее вода поступает на свободную поверхность. При выдержанности периода питания за счет атмосферных осадков или оросительных вод по своему характеру оно аналогично процессу перетекания через разделяющий слой, роль которого играет зона аэрации.

При испарении наблюдается аналогичная картина. В естественных условиях за счет испарения с зеркала подземных вод уже осушена определенная мощность водоносного горизонта Δh_o , которая при отсутствии испарения полностью была бы насыщена водой. Испарение в зависимости от глубины залегания уровня подземных вод и температурного режима на поверхности земли, происходит с непостоянной интенсивностью. Однако при непродолжительных откачках и неизменности температурного режима на поверхности ее интенсивность можно принять постоянной.

При откачке уменьшается разгрузка подземных вод на испарение. Вследствие понижения зеркала подземных вод то количество воды, которое в естественных условиях испарялось с зеркала подземных вод, частично или полностью идет на питание откачки.

В этом случае возникает возможность дополнительного питания откачки в пределах сформированной воронки депрессии, хотя "де-факто" этот процесс связан с перераспределением статей баланса, участвующих в питании откачки подземных вод. При этом питание поступает на зеркало подземных вод, что аналогично по своему воздействию поступлению воды в водоносный пласт через разделяющий слой при схеме перетекания, а по характеру проявления процесса - увеличение привлекаемого расхода (за счет сокращения испарения) с увеличением разности напоров (понижений) - полностью идентично границе Ш рода в разрезе.

Вышеизложенное позволяет утверждать, что процесс снижения уровня в этом случае должен отвечать зависимости (52) применительно к безнапорному пласту, в которой место параметра перетекания V должен занять параметр интенсивности питания за счет или инфильтрации, или сокращения испарения V_w :

$$S = \frac{Q}{4\pi k m} W(U_y, U_g, \frac{U}{V_d}; \frac{U}{V_w}) \quad (63)$$

Уравнение применимо лишь при условии установившегося процесса взаимоотношения статей естественного баланса подземных вод в пределах сформированной откачкой воронки депрессии, что должно отражаться в постоянстве положения естественного зеркала подземных вод в период всего опыта, т.е. должна соблюдаться неизменность начальных условий (статические уровни перед началом опыта и после окончания восстановления одинаковы).

Влияние изменения начальных и граничных условий на ход откачки и оценка возможности их учета

На практике опытные откачки в безнапорных пластах проводятся в основном при изменяющихся начальных условиях, когда происходят естественный спад или подъем уровней на величину, сопоставимую с понижениями, создаваемыми откачкой. Причина такого явления - изменение условий на удаленных границах там, где формируются региональные ресурсы подземных вод, которые проявляются на опытном участке сложившимися запасами (емкость,

поток) и, безусловно, отражаются в положении уровней на участке опробования. Такие условия наиболее характерны для головной части конусов выноса и расширенных участков речных долин, где годовые амплитуды колебания уровня 10 м и более.

Учет естественного изменения уровня подземных вод при интерпретации откачки в настоящее время сводится к определению темпа изменения уровня (Бородин, 1961). При этом принимается линейная связь между двумя статическими уровнями — перед началом откачки и после ее окончания при завершении восстановления. Подсчитанные таким образом величины естественного изменения уровня относительно первоначального вводятся как поправки в понижения $\pm \Delta h_e$ на расчетные моменты времени. Такой подход приведет к небольшим величинам понижений (0,5 м и менее) как при спаде, так и при подъеме естественных уровней. Расчеты с использованием этих понижений приводят к нереальным, явно заниженным, значениям параметра водопроводимости и неоднозначным параметрам уровнепроводности.

Причиной такого положения является игнорирование особенностей процесса питания откачки в подобных условиях, которые можно расшифровать следующим образом:

в естественных условиях сложившиеся запасы в пределах опробуемого участка отражают баланс подземного притока, формируемого региональными ресурсами подземных вод на площадях выше участка задолго до начала откачки (месяц и более) и подземного оттока, отражающего влияние преимущественно региональной разгрузки водоносного горизонта на значительном удалении от участка;

превышение притока подземных вод к участку над оттоком или наоборот приводит или к интенсивному подъему зеркала подземных вод в пределах участка, или к его интенсивному спаду;

откачка из скважины формирует свою, местную, искусственную зону разгрузки в пределах воронки депрессии соответствующую области питания откачки, которая перехватывает часть потока подземных вод, уменьшая интенсивность региональной разгрузки на объем воды, отобранный за весь период откачки;

вся вода, находящаяся в пределах области питания откачки,

не может выйти за ее границы. Поэтому любые изменения в положении естественного зеркала подземных вод, характеризующие сработку или накопление определенного объема емкостных запасов, в любом случае усиливают питание откачки. В ее расходе этот объем составляет долю, иногда значительно превосходящую объем емкостных запасов, приуроченных к незначительно изменяющейся во времени воронке депрессии. Структура источников питания откачки в этом случае зависит от соотношения срезок уровня, вызываемых естественной Δh_e и искусственной S_p разгрузкой Δh_s ;

S_p

при откачке на фоне естественного спада уровня объем воды, приуроченный к зоне естественной разгрузки за период откачки, полностью идет на формирование ее дебита. Этот процесс наглядно отражен на рис. I4, Iб, из которого видно несоответствие фиксируемого в процессе откачки объема емкостных запасов и их реального объема, отбираемого скважиной. Аналогичный процесс наблюдается и при восстановлении уровня после откачки, которое происходит очень быстро опять-таки за счет объема емкостных запасов зоны региональной разгрузки и ее разрушающего воздействия на воронку депрессии;

при откачке на фоне подъема уровня естественное накопление емкостных запасов способствует интенсивному питанию откачки за их счет и сдерживанию развития воронки депрессии. Ее фиксируемые размеры не отражают реальный объем отобранной откачкой воды (рис. I4, 2б). Аналогичный процесс наблюдается и при восстановлении уровня после откачки, способствуя быстрому заполнению воронки депрессии. Опыт проводится как бы в условиях интенсивного питания подземных вод участка.

Таким образом, необходим учет в расчетах параметров объема запасов, приуроченных к зоне естественного изменения уровня, а также интенсивности питания, связанного с подъемом уровня. При этом возможны несколько вариантов описания этих процессов в зависимости от наличия информации по уровням в процессе опыта (откачка и полное восстановление).

При спаде уровня наличие информации по понижениям уровня $S_p = S_e$ (рис. I4, Iб) подразумевает соответствие хода снижения

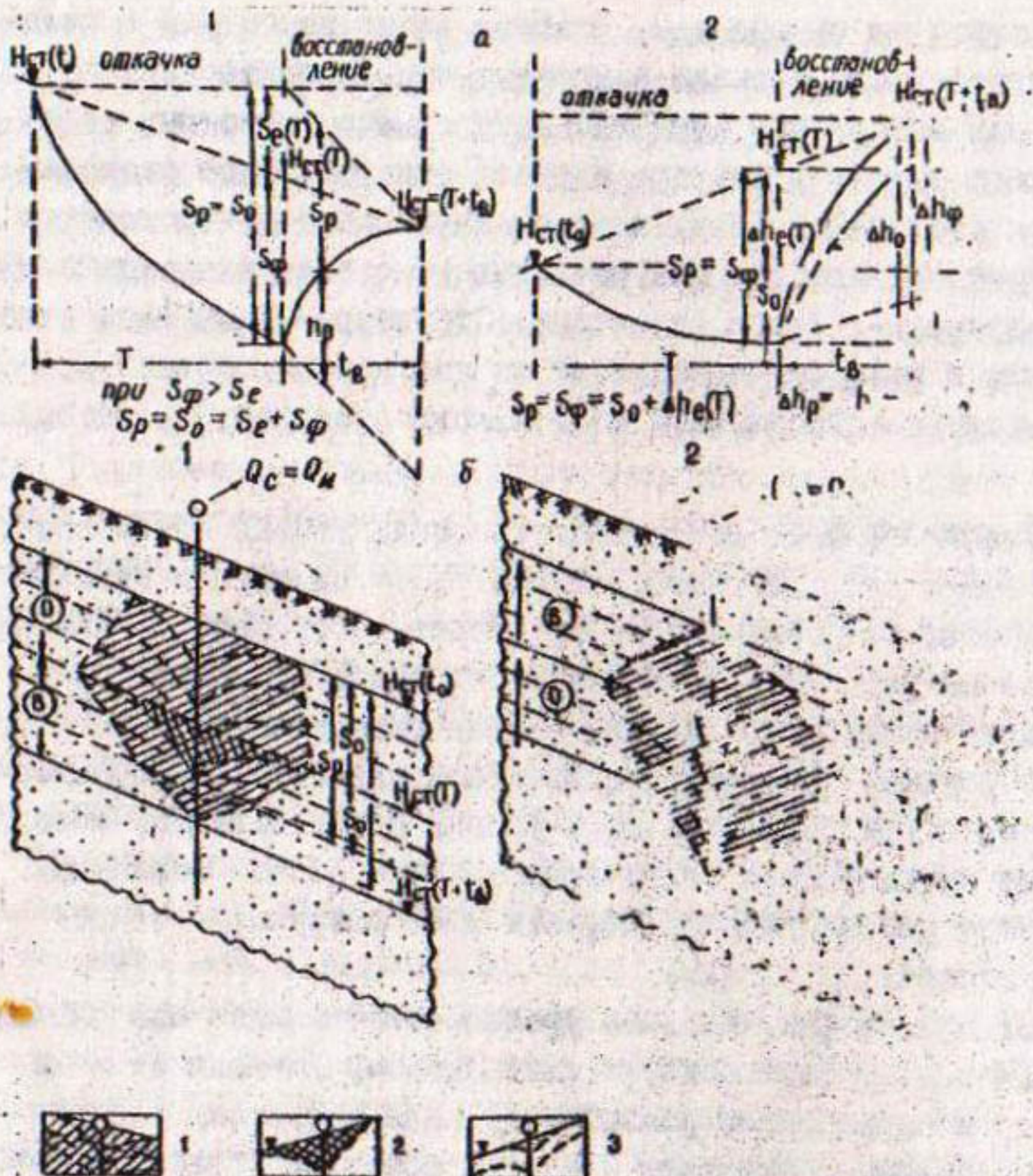


Рис. I.4. Схемы к учету объема емкостных запасов, используемых откачкой, в условиях естественного подъема (2) или спада (1) уровня: а - графики хода откачки; б - схема изменения воронки депрессии в разрезе; 1 - объем емкостных запасов, участвующих в питании откачки; 2 - учитываляемый расчетными зависимостями; 3 - положение воронки депрессии на различные моменты времени.

откачки зависимостям (47 и 50), учитывающим преимущественную сработку емкостных запасов и стабилизирующую роль естественного потока подземных вод; наличие информации по понижениям уровня с учетом хода естественного снижения уровня S_f подразумевает соответствие хода снижения откачки зависимости типа (63), в которой дополнительное питание откачки за счет объема емкостных запасов, приуроченных к зоне естественного осушения за этот период, отражено в параметре B_w .

При использовании той же информации S_f возможно соответствие ее зависимости типа (50) при условии исключения из дебита откачки части его расхода ΔQ_e , формируемого емкостными запасами зоны естественного снижения уровня:

$$\Delta Q_e = \frac{\pi R_o^2 \cdot S_e(T) \cdot m}{T}, \quad (64)$$

где R_o - радиус влияния откачки (остальные обозначения см. на рис. I4).

При подъеме уровня. В этих условиях ход снижения уровня подчиняется зависимости (63), отражающей условное интенсивное местное питание подземных вод в течение всего опыта, выражющееся в естественном подъеме их уровня. Использование характеристик воронки депрессии в виде S_a (понижение уровня относительно статического в начале опыта) должно показать соответствие хода снижения уровня зависимостям, имеющим меньшую величину B_w , чем полученную при анализе понижений в виде S_f , т.е. должно отражать стремление подъема уровня к уменьшению размеров области питания откачки.

Игнорирование естественного изменения уровня при интерпретации откачек приводит к существенным ошибкам, что видно из предварительного расчета, формируемого за счет изменения этой части дебита откачки. Так, при радиусе ее влияния порядка 200 м (минимальные величины, зафиксированные в процессе опытов), интенсивности изменения уровня со скоростью 0,1-0,2 м/сут, реальных величинах водоотдачи 0,1-0,2 долл расхода откачки за счет использования емкостных запасов этой зоны может изменяться от 16,3 до 65,3 л/с, что при дебитах в 50-

100 л/с составляет от 20 до 80% расхода откачки.

Вышеизложенные предложения допустимы лишь при условии равномерной естественной скорости изменения уровня в течение всего опыта (откачка плюс полное восстановление). При неравномерной скорости изменения уровня интерпретация откачек с целью оценки параметров становится трудно осуществимой. В этом случае необходимо наличие наблюдательной скважины, расположенной за пределами ее области влияния (≈ 400 м), по которой можно установить естественный ход снижения уровня.

При выделении на графиках временного прослеживания участков резкого снижения уровней, не связанных с закономерностями, вызванными влиянием откачки, они могут быть использованы для расчета индивидуально. При этом расчетные понижения и время должны отсчитываться от достигнутых на момент перед резким снижением уровня.

ГЛАВА 5. ОСОБЕННОСТИ ПРОЯВЛЕНИЯ СНИЖЕНИЯ УРОВНЯ ПРИ ОТКАЧКАХ И ТРЕБОВАНИЯ К МЕТОДИКЕ ИХ ОБРАБОТКИ

Универсальная теоретическая зависимость для описания хода снижения уровня при ОФР

Вышеприведенный анализ особенностей хода снижения уровней при откачках из пластов различного типа показывает, что основными определяющими их факторами являются: гетерогенность пласта по упругости, отражающая глубину залегания пласта; динамичность подземных вод в пласте, отражающая условия как местного и регионального питания, так и разгрузки подземных вод в зоне влияния откачки.

Выведенные зависимости (47, 50, 52, 59, 53, 63), учитывающие эти факторы, основаны на фундаментальных решениях Тейса, Хантума, Боултона, которые проявляются на отдельных этапах откачки последовательным переходом одной функции в другую (табл. I2). Их объединяет уравнение Боултона, учитывающее изменение водоотдачи от упругой через упругопластическую в гравитационную (при последовательном рассмотрении пластов от собственно

Таблица II

Таблица последовательного перехода функций, определяющих снижение уровня при откаче в пластах различного типа

Тип пласта	Характер динамичности	Этап			Зависимость
		I	II	III	
Собственно напорный (схема I, а)	Бассейн Поток	$W(U_r)$ $W(U_r, \gamma / \beta_p) \rightarrow 2K_0 \left(\frac{\gamma}{\beta_p} \right)$			(1)
Потенциально напорный (схема I, б)	Бассейн Поток	$W(U_u, \bar{\gamma}_u p)$ $W(U_u, \bar{\gamma}_u p) \rightarrow W(U_u p)$			(47) (50)
Квазинапорный (перетекание из смежных пластов) (схема II)	Бассейн	$W(U_u, \bar{\gamma}_u p)$ $W(U_u, \bar{\gamma}_u p) \rightarrow W(U_u p, \bar{\gamma}_{up}, \bar{\gamma}_{per}) \rightarrow 2K_0(\bar{\gamma}_{per})$			(52)
Собственно безнапорный (схема III)	Бассейн, поток, дополнительное питание	$W(U_u, \bar{\gamma}_r)$ $W(U_u, \bar{\gamma}_r) \rightarrow 2K_0(\bar{\gamma}_r) \rightarrow W(U_r)$			{59} {60} {63}

Где β_p , B_p - параметры, характеризующие интенсивность питания откачки: за счет местных и прилегающих подземных вод; потока, а также местных инфильтрационных ресурсов и части сложившихся запасов соответственно.

напорного до безнапорного), в котором в отличие от фундаментального решения, предусматривающего переход к зависимости Тейса для условий реальной водоотдачи, должен наблюдаться выход на зависимости Хантуша-Джейкоба, отражающие условия питания откачки.

Для всех горизонтов, за исключением собственно напорного, подчиняющегося уравнению Тейса, ход снижения уровня может быть описан зависимостью, рассчитанной П.П.Нагевичем и представленной в виде гидрогеофильтрационных палеток - серии эталонных кривых (рис. 8,9,10), описывающих весь ход снижения уровня при откачке:

$$S = \frac{Q}{4\pi k t} W(\bar{\chi}_u, \bar{\chi}_{up}, \bar{\chi}_{up} \bar{\chi}_p), \quad (65)$$

где $\bar{\chi}_{up} = \frac{\chi}{B_d}$; $\bar{\chi}_p = \frac{\chi}{B_p}$; B_d - параметр дренирования, характеризующий замедление проявления реальной (упругопластической или гравитационной) водоотдачи; B_p - параметр, характеризующий интенсивность питания откачки за счет различных возможных источников (естественного потока подземных вод, местного инфильтрационного питания, привлекаемых ресурсов, привлекаемой части сложившихся запасов, вдающих в естественных условиях извлечивание, испарение).

Типовые графики хода снижения уровня при откачках из различных типов пластов в виде зависимости безразмерного понижения от логарифма безразмерного времени, идентичные прослеживанию понижения от логарифма времени (график временного прослеживания), приведены на рис. I5.

Для этих графиков характерным является выделение четырех этапов, отражающих интенсивность темпа снижения уровня под влиянием откачки; I - упругий нестационарный режим; II - ложностационарный режим; III - упруго-пластический или гравитационный нестационарный режим; IV - упруго-пластический или гравитационный стационарный режим.

Бы наиболее четко они проявляются при откачках в собственно безнапорных пластах, где продолжительность I этапа достигает 0,5-2 ч, II - 3-4 ч, III - до 2-3 сут. В квазинапорных и потен-

циально напорных пластах II этап не отражает своего названия и представляет переходный от I ко II этапу, в пределах которого темп снижения уровня существенно ниже, чем в сопредельных, но далек от стационарного.

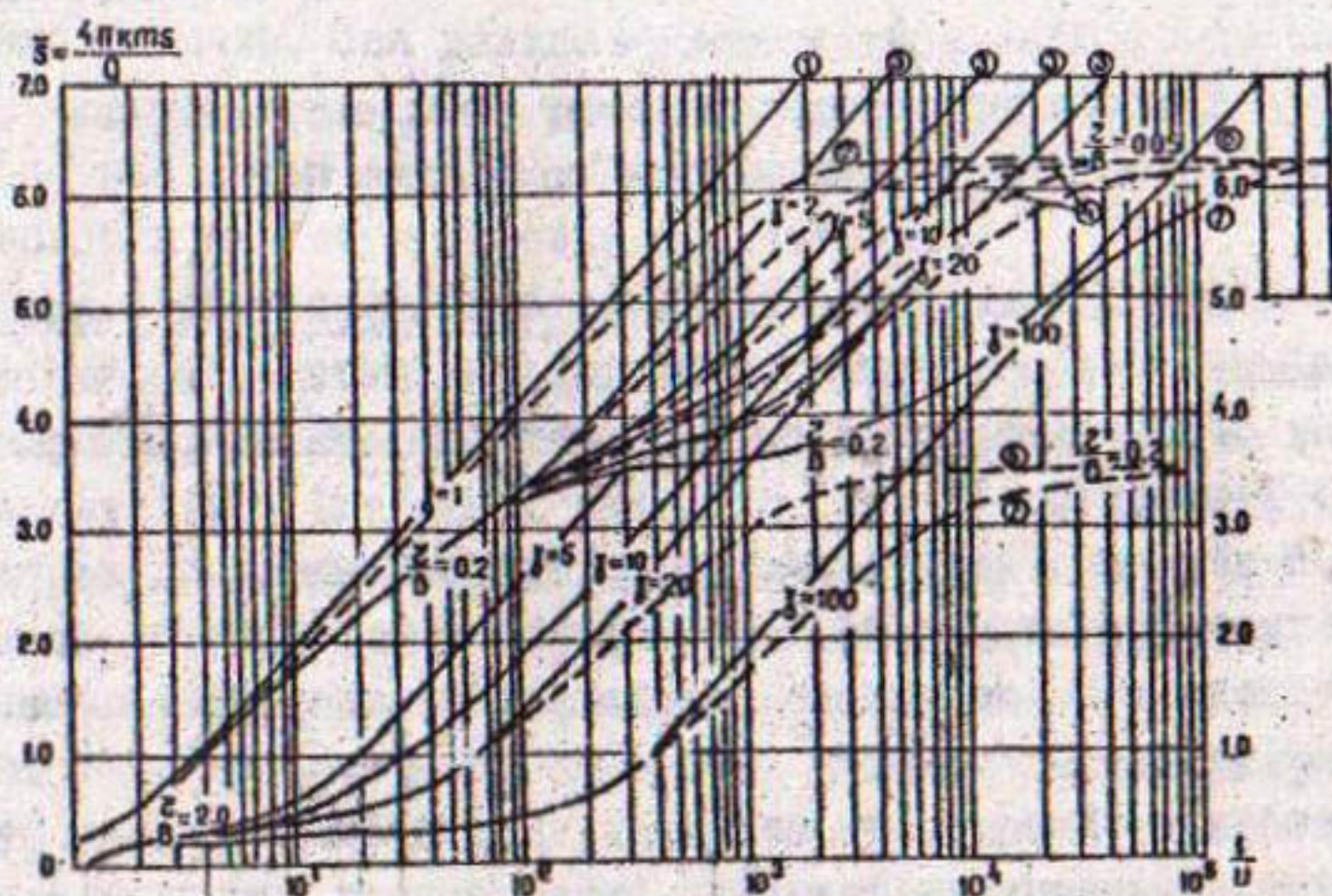


Рис. I5. Графики зависимости безразмерного понижения от логарифма безразмерного времени. 1 - гомогенный по упругости изолированный напорный пласт (собственно напорный) в условиях бассейна подземных вод; 2 - то же, в условиях потока подземных вод ($\tau/B = 0,05$); 3 - гетерогенный по упругости изолированный напорный пласт (потенциально напорный) при соотношениях упругоемкости $\chi = 2; 5; 10; 20$ для $\tau/B = 0,2; 2,0$ в условиях бассейна; 4 - то же, в условиях потока ($\tau/B = 0,05$ и $\tau/B = 0,2$); 5 - то же, в условиях потока ($\tau/B = 0,2$ и $\tau/B = 2,0$ при $\chi = 20$) или квазинапорный пласт (перетекание из нижних пластов); 6 - безнапорный пласт в условиях бассейна; 7-то же, в условиях потока или дополнительного питания.

В пределах каждого этапа ход снижения уровня отвечает зависимостям, включающим специальные функции (табл. I2), которые и должны лежать в основе методик расчета геофильтрационных параметров пласта по данным откачек. Практика таких расчетов в настоящее время ограничена, в основном, применением методов Джейкоба. Их безоговорочное использование исключало применение методов расчета для конкретных природных моделей. Час-

тично эти пробелы в методике интерпретации ОФР были устранены рекомендациями по обоснованию рационального комплекса методов оценки параметров (РКОП), выполненными в 1989 г. (Нагевич, Сайдмурадов, 1989) на примере основных МПВ Узбекистана.

Требования к рациональному комплексу методов оценки параметров по данным ОФР

Рациональный комплекс методов оценки параметров – это определенный набор логически взаимосвязанных методов расчета, позволяющих обосновать истинные геофильтрационные параметры водонесшего горизонта.

РКОП должен отвечать следующим требованиям:

максимальное отражение в математических решениях, положенных в основу того или иного метода расчета, сущности физического процесса;

логическая связность входящих в комплекс методов, знание критериев применимости того или иного метода в данных конкретных условиях и возможных ошибок при их применении;

минимальные затраты времени при полном решении поставленной задачи – выход на достоверные параметры пласта.

Практика расчета параметров с использованием РКОП на ряде МПВ Узбекистана (Сайдмурадов, Нагевич, 1989 г.; Чертков, Нагевич, 1993 г.) показала, что комплексный подход позволяет (при наличии оптимальной информации) выйти на достоверные параметры пласта при стабильности их значений по всем геометрам, установить на графиках временного прослеживания участки, отвечающие или близкие зависимости Тейса, расчеты по которым методами Джейкоба дают параметры, близкие к достоверным.

Выполненные исследования позволили раскрыть общие закономерности формирования воронки депрессии во времени и структуры составляющих дебита откачки. Они отражены в ряде частных решений, обобщенных для всех типов пластов универсальной зависимостью (65). Составленная на ее основе серия гидрофильтрационных палеток дает возможность анализировать весь ход откачки и получить характеристики параметров и питания откачки

в пределах ее влияния. Необходимость включения этих проработок в РКМП не вызывает сомнения.

Интерпретация результатов ОФР не должна ограничиваться только анализом зафиксированных в скважинах понижений уровня и расхода откачки. Она должна производиться задолго до начала опыта и представлять собой комплекс целенаправленных мероприятий, конечной целью которых является получение фильтрационных характеристик пласта и условий его питания.

На предполевой стадии исследований необходимо предварительное обоснование типа водоносного горизонта (в зависимости от типа МПВ), оптимальной конструкции опытной скважины и куста наблюдательных (глубина, положение фильтров, расстояние пьезометров до опытной), дебита скважины (для обеспечения приемлемых срезок уровней), учета возможных граничных условий, продолжительности опыта, включая и восстановление (в зависимости от типа водоносного горизонта, ожидаемого характера снижения уровня в ходе откачки и восстановления). Предварительные расчеты для выбора необходимых показателей откачки могут быть выполнены на основе косвенных признаков (литолого-фацальный состав водовмещающих отложений, положение пласта относительно поверхности земли). Обязательным является включение в схему куста одного пьезометра, располагающегося за пределами зоны влияния откачки.

На полевой стадии исследований корректируются конструктивные особенности опытного куста скважин по результатам бурения (гидрогеологическая документация бурения, каротаж скважин) для установления литологического состава и предварительной водопроницаемости вскрытых отложений;

выясняются граничные и начальные условия пласта в пределах возможной области влияния откачки по данным специализированного маршрутного гидрогеологического обследования площади в радиусе 300-400 м от опытной скважины. В процессе обследования выясняются и картируются границы литологофациальных зон и разновозрастных отложений, поверхностные водотоки, дрени, зоны выклинивания, орошающие территории, площади развития влаголюбивой растительности. По его результатам устанавливается роль

тех или иных проявлений подземных вод, водотоков на ход откачки, и на ее основе - необходимость наблюдений за характером изменения граничных условий в процессе опыта и корректировки количества и положения наблюдательных скважин с учетом выявленных гидрогеологических особенностей опытного участка. Все пункты наблюдений (скважины, речные и водомерные посты) должны иметь плановую и высотную привязки, инструментально необходимо фиксировать и плановое положение всех водопоявлений и путей их миграции. Обследование особенно обязательно для собственно и потенциально безнапорных пластов, характеризующихся сложностью структуры формирования дебита откачки;

грамотное проведение и документация самого опыта в рамках общепринятых требований, включая фиксирование и всех необходимых, дополнительных показателей (дебит откачки; положение уровней по скважинам, речным постам; расходы основных водо-появлений; температурный режим откачиваемой воды, в пьезометрах, водопоявлений; качественный состав воды по тем же пунктам наблюдений; изменение количественных характеристик водо-появлений и поверхностных водотоков; время выпадения атмосферных осадков в виде дождя и снега; период интенсивного таяния снежного покрова; периоды подачи воды по оросителям на орошающие площади).

Изложенное требует внимательного и творческого отношения гидрогеолога к проведению опыта, обеспечивающего получение перечисленной информации в процессе периодических (ежедневных) обследований участка и детального анализа хода откачки по графикам временного и площадного прослеживаний. Это позволяет откорректировать продолжительность откачки и восстановления.

На стадии камеральной обработки интерпретируются результаты опыта с использованием рационального комплекса методов, успешность применения которого обусловлена полнотой информации, полученной на предыдущих стадиях ис ледований. Алгоритм рационального комплекса методов оценки параметров, который может быть положен в основу компьютеризации расчетов геофильтрационных параметров, подобных программе "Гиппар" (Дульките,

1982), должен предусматривать:

1. Установление типа водоносного горизонта:

по ряду косвенных признаков (глубина залегания пласта, возраст и генезис водовмещающих отложений, величина напора подземных вод над кровлей пласта, удаленность участка от области питания (табл. 6),

по анализу графика временного прослеживания, на котором ход снижения уровня подчиняется характерным для конкретного пласта зависимостям, что при сравнении с графиками (рис. 12) позволяет установить тип водоносного горизонта.

2. Предварительную оценку геофильтрационных характеристик опробуемого пласта:

водопроводности - по удельному дебиту опытной скважины, используя известные зависимости $k_m = 100 \cdot q$ (безнапорный пласт) и $k_m = 150 \cdot q$ (с собственно, потенциально и квазинапорные пласти);

водоотдачи - по зависимости (31) с учетом напора над кровлей пласта;

пьезопроводности - через связь водопроводности и водоотдачи.

На основе анализа граничных условий и типа пластов следует установить достоверность параметра водопроводности, который должен быть близок к реальным для напорных и квазинапорных пластов и существенно отличаться в сторону завышения для безнапорных пластов, особенно при наличии питающих границ.

3. Расчет параметров методом временного прослеживания в пределах I и Ш этапов по всем пьезометрам. Возможные варианты положения прямых для различных типов пластов, проведенные через точки зависимости, и сопоставление полученных расчетных величин параметров с точки зрения отличия их от достоверных, приведены на рис. 16-20. Однозначность рассчитанных параметров по всем пьезометрам должна наблюдаться только при опробовании напорных пластов, а для остальных типов наименьшие значения водопроводности, близкие к достоверным, должны быть получены только по ближайшим пьезометрам. Относительная ошибка в его определении по остальным скважинам (завышение в не-

сколько раз) обусловлена интенсивностью питания пласта в период откачки (естественный поток, перетекание, влияние питающих границ и т.д.), уменьшающей темп снижения уровня и, соответственно, расчетный угловой коэффициент прямой.

Характерный разрез и расположение наблюдат. скв-ны	Методы расчета и координаты	Типовые графики прослеживания	Результаты расчета
	временное прослеживание ($s - \lg t$)		$C_1 = C_2 = C_3 = C_t$ $kmt_1 = kmt_2 = kmt_3 = kmt_t$ $\sigma_1 = \sigma_2 = \sigma_3 = \sigma_t$
	площадное прослеживание ($s - \lg z$)		$C_z = 2C_t$ $kmt_z = kmt_t$ $\sigma_z = \sigma_t$
	экспоненциальная крибая Тейса ($\lg s - \lg t$)		$kmt_T = kmt_t = kmt_z$ $\sigma_T = \sigma_t = \sigma_z$

Рис. 16. Типовые аналитические графики при оценке параметров рациональным комплексом методов (схема Ia - собственно напорный водоносный пласт).

4. Расчет параметров методами, учитывающими интенсивное питание пласта в период откачки за счет явных и неявных граничных условий.

Метод гидрогеофильтрационных палеток П.П. Нагевича, отражающих весь ход снижения уровня в процессе откачки из водоносных горизонтов любого типа (рис. 6, 9, 10). Совмещение точек

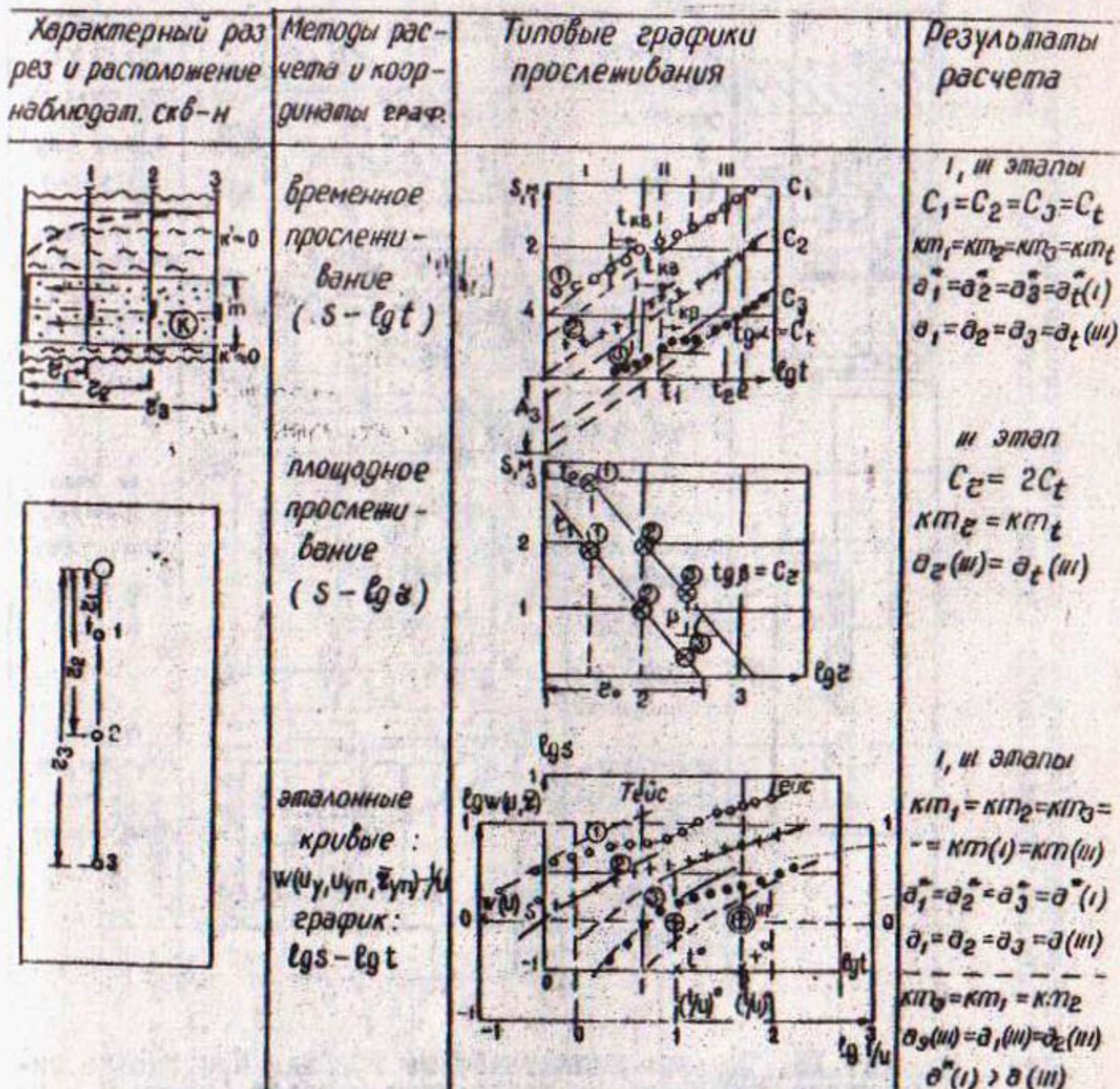


Рис. 17. Типовые аналитические графики при оценке параметров rationalным комплексом методов (схема 1б - потенциально-напорный водоносный пласт).

зависимости фактического графика, построенного в координатах $\lg S - \lg t$ в масштабе графиков эталонных кривых, позволяет выбрать кривую, полностью отвечающую фактической. Сняв координаты

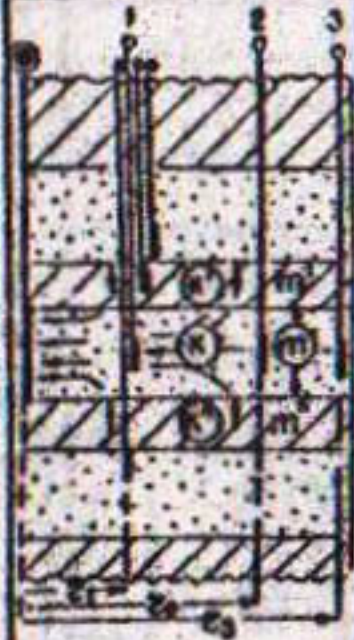
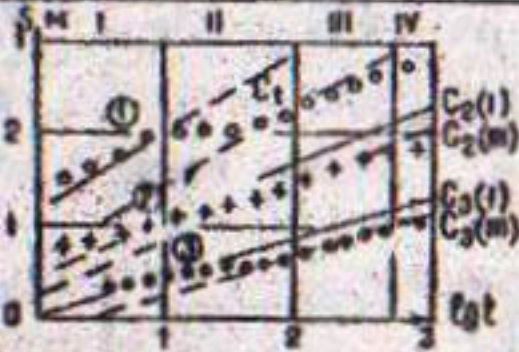
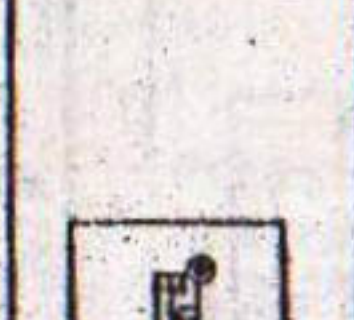
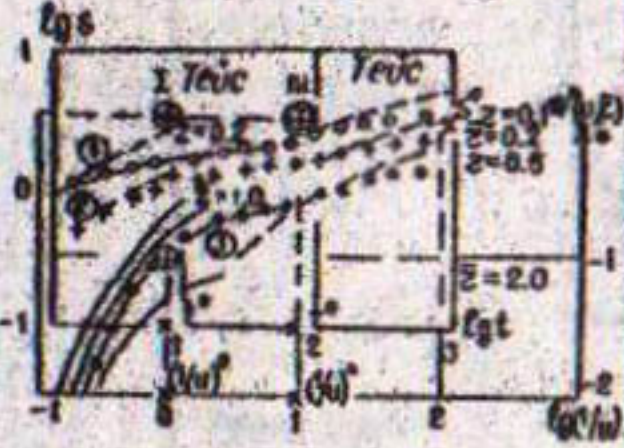
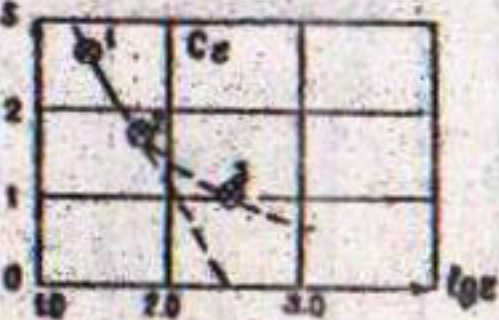
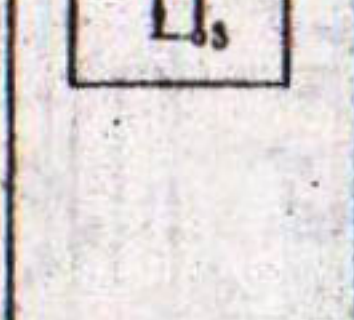
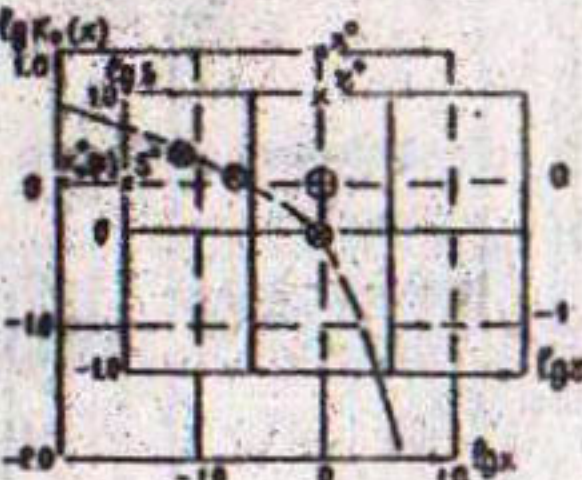
Характерный разрез и расположение наблюдательных скважин	Методы расчета и координаты расчетных графиков	Типовые графики прослеживания	Результаты расчета
	метод временного прослеживания $(S - \lg t)$		I, III этапы $C_1 > C_2 > C_3$, $k_{T1} < k_{T2} < k_{T3}$ $a_1 < a_2 < a_3$ $\sigma(1) > \sigma(III)$
	метод эпюонных криевых Хантунгса-Андерсона-Боултона $\lg S - \lg t$ $\lg u = \lg u_0 + \lg \frac{t}{t_0} - \lg \frac{C}{C_0}$		I, III этапы $k_{T1} = k_{T2} = k_{T3} = k_{T4}$ $a_1 = a_2 = a_3 (I)$ $a_1 = a_2 = a_3 (III)$ $B_1 = B_2 = B_3 = B_4 (IV)$ $\sigma(1) > \sigma(III)$
	метод площадного прослеживания $(S - \lg \sigma)$		IV этап $C_2 \approx 2C_1$, $k_{T2} \approx k_{T1}$, $B_2 \approx B_1 (IV)$
	метод эпюонной криевой Коджака-Хантунгса $\lg S - \lg \sigma$ $\lg K_0(x) - \lg x$		IV этап $k_{T1} = k_{T2} = k_{T3} = k_{T4}$ $B_1 = B_2 = B_3 = B_4 (IV)$

Рис. I8. Типовые аналитические графики при оценке параметров рациональным комплексом методов (схема II – потенциально напорный и кавазинапорный водносочный пласт с перетеканием через разделяющие слои).

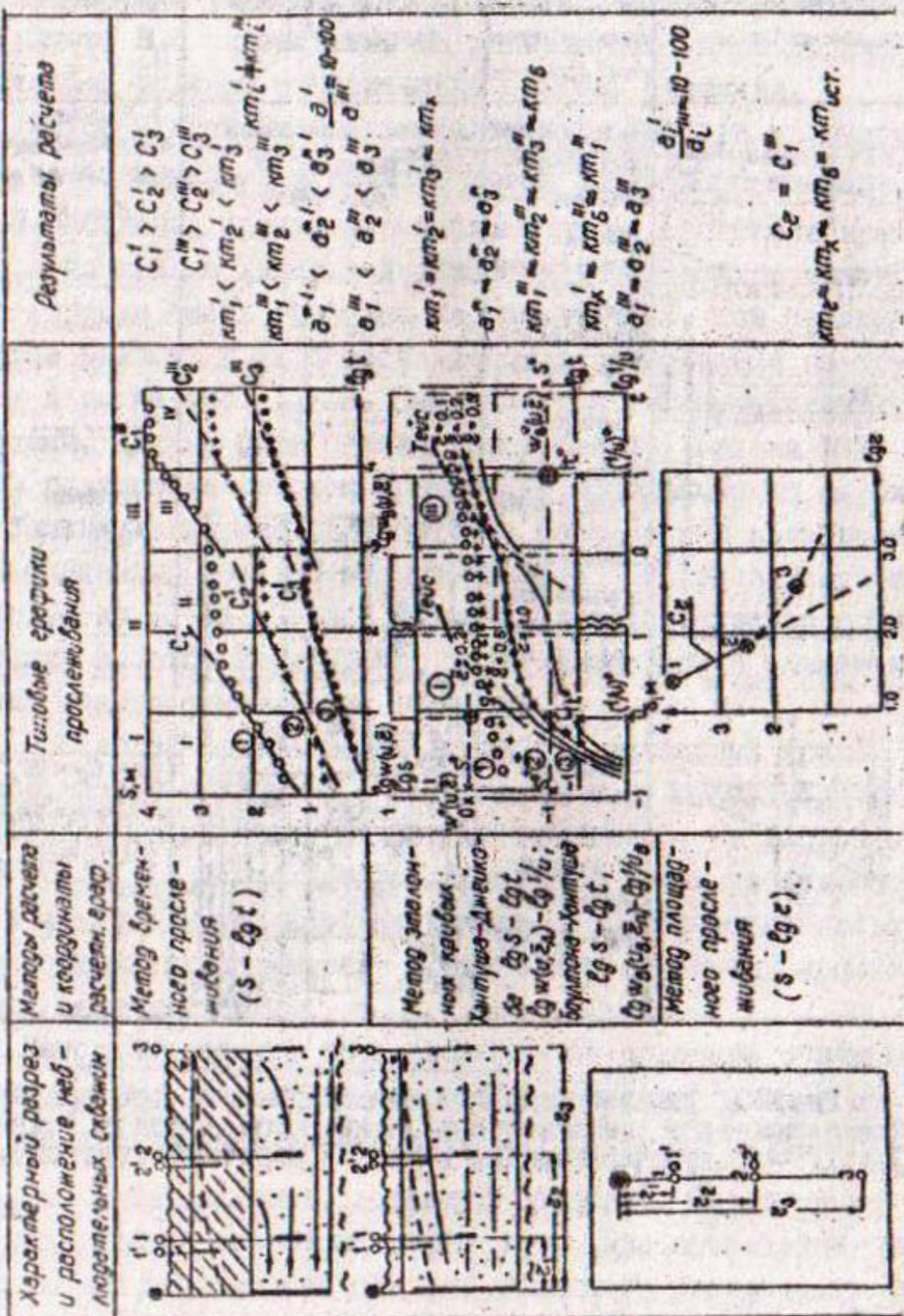


Рис. 19. Типовые аналитические граничные при опенке параметров газопроницаемости пластом (схема III - безнапорный неограниченный пласт). НЕМ КОМПЛЕКСОМ методов (схема III - безнапорный неограниченный пласт).

Характерный разрез и расположение наблюдательных скважин	Методы расчета и координаты расчетных градусов	Типовые графики прослеживания	Результаты расчета
	<p>метод временного прослеживания ($S - \log t$)</p> <p>метод эволюционных кривых: Хантуша-Лежей- кова $RgS - \log t$, $RgW(U, \bar{e}) - \log W$,</p>	график аналогичен приведенному на рис. 19	I, III этапы аналогичные для схемы III рис. 19.
	<p>бондинг $RgS - \log t$ $RgW(U_B, \bar{e}) - \log W/U_B$ $RgW_{\text{расп}} - \log W/U_B$</p> <p>Метод пло- щадного про- слеживания ($S - \log \rho$)</p>		IV этап $C_D = 2C_1'''$
	<p>метод пло- щадного про- слеживания (с учетом границы) ($S - \log \rho$)</p>		$C_D \approx C_E \approx 2C_1'''$ $k_{DZ} \approx k_{DX} \approx k_{DB} \approx k_{DP} \approx k_{ME}$

Рис.20. Типовые аналитические графики при оценке параметров рациональным комплексом методов (схема IУ – полуограниченный пласт, приречный участок).

ты расчетной точки, отражающей положение кривых в пределах III и IV этапов, можно получить реальные геофильтрационные параметры пласта (K_m, q, m) и характеристику его питания через параметр B_p , указывающий на удаленность условной или явной питающей границы относительно опытной скважины.

Метод эталонных кривых Хантула-Джейкоба в общеизвестном виде на I, II этапах откачки и метод Боултона с дополнениями П.П. Нагевича, предусматривающими выход эталонных кривых Боултона на кривые Хантула-Джейкоба для условий реальной водоотдачи (правая часть графиков на рис. 9, 10). Ход анализа результатов расчета и их сопоставление с полученными по другим методам даны на рис. 17-19. Значения K_m , рассчитанные тремя методами, должны быть близки (расхождение порядка 10%) и меньше, чем полученные методом временного прослеживания по ближайшим к опытной скважине пьезометрам. Коэффициент пьезопроводности, рассчитанный по I, II этапам, должен быть выше полученного при обработке III, IV этапов, который отражает здесь реальную водоотдачу пласта. Расхождения могут достигать в зависимости от типа пласта одного-двух порядков.

Проверкой правильности выбранных эталонных кривых являются: определение функции $K_0(\bar{t}_p)$ для каждого пьезометра по характеристикам совмещенных эталонных кривых \bar{t}_p и построение графика $S_i - K_0(\bar{t}_p)$, на котором положение точек зависимости на прямой линии с выходом ее на начало координат свидетельствует о достоверности совмещения и позволяет по уклону прямой подтвердить величину K_m .

Метод плоского прослеживания по конечным понижениям предусматривает анализ графиков в координатах $S - \lg t$ (при отсутствии или наличии неявно питающей границы) или $S - \lg \frac{P}{\rho}$ (при явной, установленной, питающей границе). Он применяется для подтверждения расчетных параметров. При проведении прямой через точки зависимости следует учитывать удаленность пьезометров от центральной скважины, характеристику \bar{t}_p , полученную в процессе обработки методом эталонных кривых. В обоснование прямой должны быть положены точки зависимости по ближайшим пьезометрам, на которых $\bar{t}_p < 0,3$ (рис. 16-20).

5. Выяснение питания откачки или структуры источников формирования ее дебита предусматривает анализ параметра питания V_p , полученного по результатам расчета, и его расчленения на составляющие, которые отражают явные, установленные, источники питания, например, за счет естественного потока подземных вод β_n , реки V_p , перетекания V , и неявные, логически предполагаемые (сокращение испарения, выклинивание, местная инфильтрация). Такая расшифровка позволит выйти на объективно обоснованные расчетные схемы и аналитические зависимости, обеспечивающие высокую оправдываемость рассчитанных эксплуатационных запасов подземных вод. Применение рационального комплекса методов оценки параметров при изложенном подходе гарантирует получение реальных геофильтрационных параметров пласта.

Последовательность применения методов и анализа результатов для различных типов пласта отражена на рис. I6-20. Представленные на них графики наиболее часто проявляются:

схемы I, а, I, б (рис. I6, I7) - в МПВ артезианских бассейнов, в строении которых участвуют водоносные пласты, приуроченные к отложениям мела и палеогена;

схема II (рис. I8) - в МПВ погребенных речных долин, периферической части конусов выноса, предгорного шлейфа, развитых в плиоцен-четвертичных отложениях;

схемы III, IV (рис. I9, 20) - в МПВ речных долин, головной части конусов выноса, линз пресных подземных вод.

Примеры расчета параметров по данным ОФР

Примеры применения РКМОП приведены для квазинапорного и безнапорного пластов.

Квазинапорный пласт. По кусту 4 на участке "Крестьянский" в Голодной степи производится опробование водоносных пластов галечников средне- и нижнечетвертичного возраста, залегающих в интервалах глубин от 100 до 200 м. Пласти отделены от выше-лежащих горизонтов мощным слоем слабопроницаемых суглинков, а от нижележащих - еще менее проницаемыми слоями алевролитов (рис. 21). Опробуемый пласт представлен серией слоев различ-

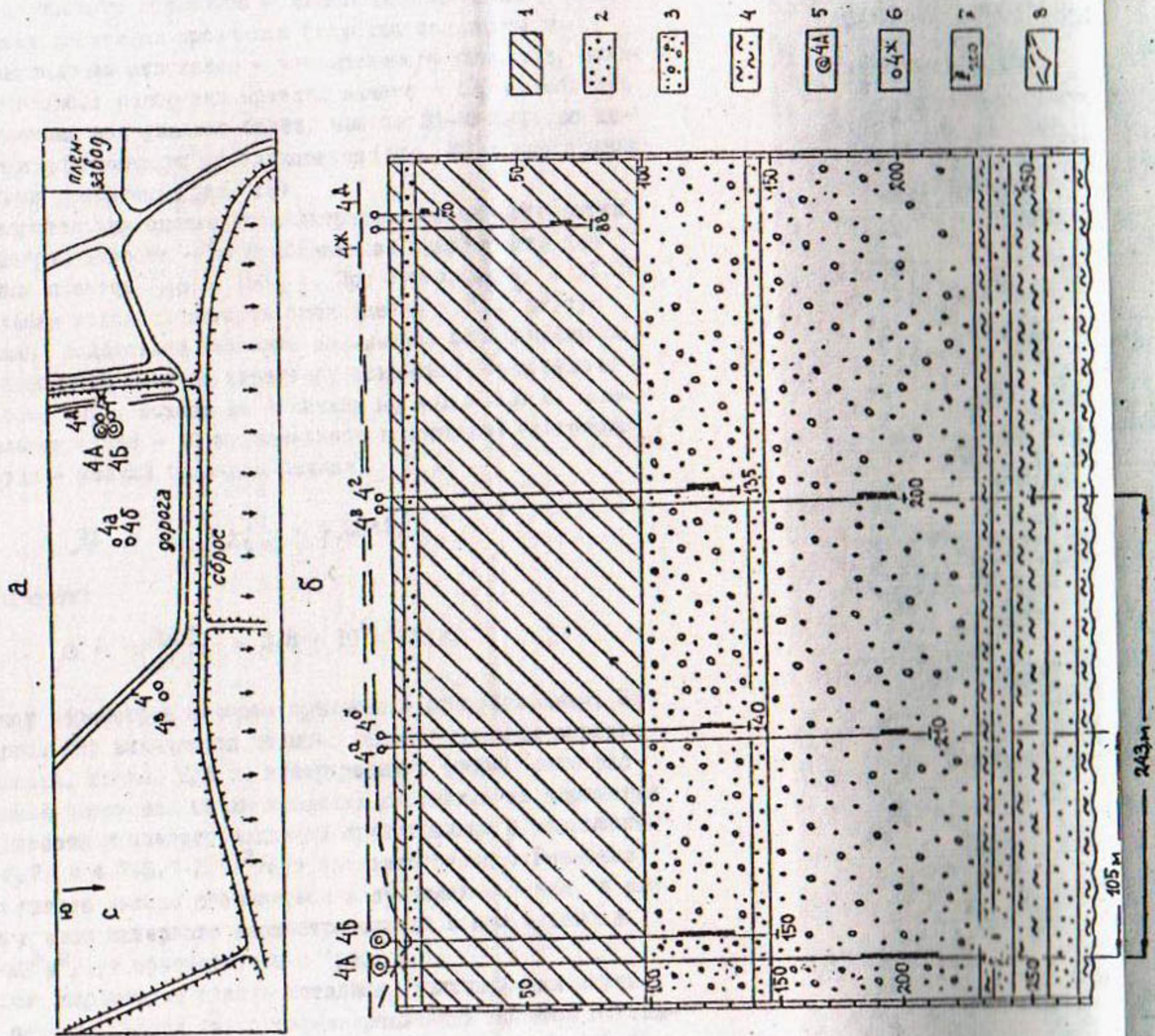


Рис. 21. Схема расположения (а), литологический разрез и конструкция скважин (б) опытного участка № 4 (участок "Крестьянский" Голоднек степь; данные И.И. Шхая). 1 - суглинок; 2 - песок; 3 - галечник, заполнитель - песок; 4 - гравийно-песчаная; 5 - опытно-эксплуатационная, 6 - расположение тильтра, цифра внизу - глубина скважины; 7 - положение устья скважины; 8 - положение забоя скважины.

ной проницаемости, мощность каждого из которых, по данным электрокаротажа, не превышает 10 м.

1. Тип водонесущего горизонта - квазинапорный пласт - установлен по ряду косвенных признаков (глубина залегания до 200 м; водовмещающие отложения - четвертичного возраста, аллювиального генезиса; напор над кровлей пласта - 100 м; область питания подземных вод удалена более, чем на 30-40 км); по характеру графика временного прослеживания (рис. 22) и его ставнению с типовыми графиками (рис. 15).

2. Предварительная оценка геофильтрационных характеристик пласта: водопроводимости - по приближенной зависимости для квазинапорных пластов ($\mu_m = 150 q$). При суммарном $q_s = 11,08$ л/с минимальная водопроводимость оценивается в $1659 \text{ м}^2/\text{сут}$ (q уменьшен вследствие незнания понижения, обусловленного несовершенством скважины по характеру вскрытия); водоотдачи - по зависимости (31), исходя из величины $H_k + \Pi = 230$ м, мощности отдельных слоев - 10 м, начальной водоотдачи (литологический состав - мелкий галечник-речник) - 0,1:

$$\mu = 0,1 \cdot \frac{10}{230} = 0,0043;$$

пьезопроводности:

$$Q = \frac{1659}{0,0043} = 3,8 \cdot 10^5 \text{ м}^2/\text{сут.}$$

3. Расчет параметров методом временного прослеживания. На графике (рис. 22) выделяются четыре, характерных для квазинапорного пласта, этапа. При их игнорировании (осреднение расчетной прямой через все точки графика) рассчитанные параметры водопроводимости и пьезопроводности представляются завышенными (2583-2677 и $4,7-5,7 \cdot 10^6 \text{ м}^2/\text{сут}$ соответственно). Реальные параметры пласта должны проявляться в пределах III этапа, и рассчитанные в этом интервале параметры близки к ним - 1893 и $5,0-5,38 \cdot 10^5 \text{ м}^2/\text{сут}$ соответственно (рис. 22).

4. Расчет параметров пласта методами, учитывающими интенсивность питания (метод гидрофильтрационных палеток П.П. Нагевича). Фактический график прослеживания в координатах $\lg S -$

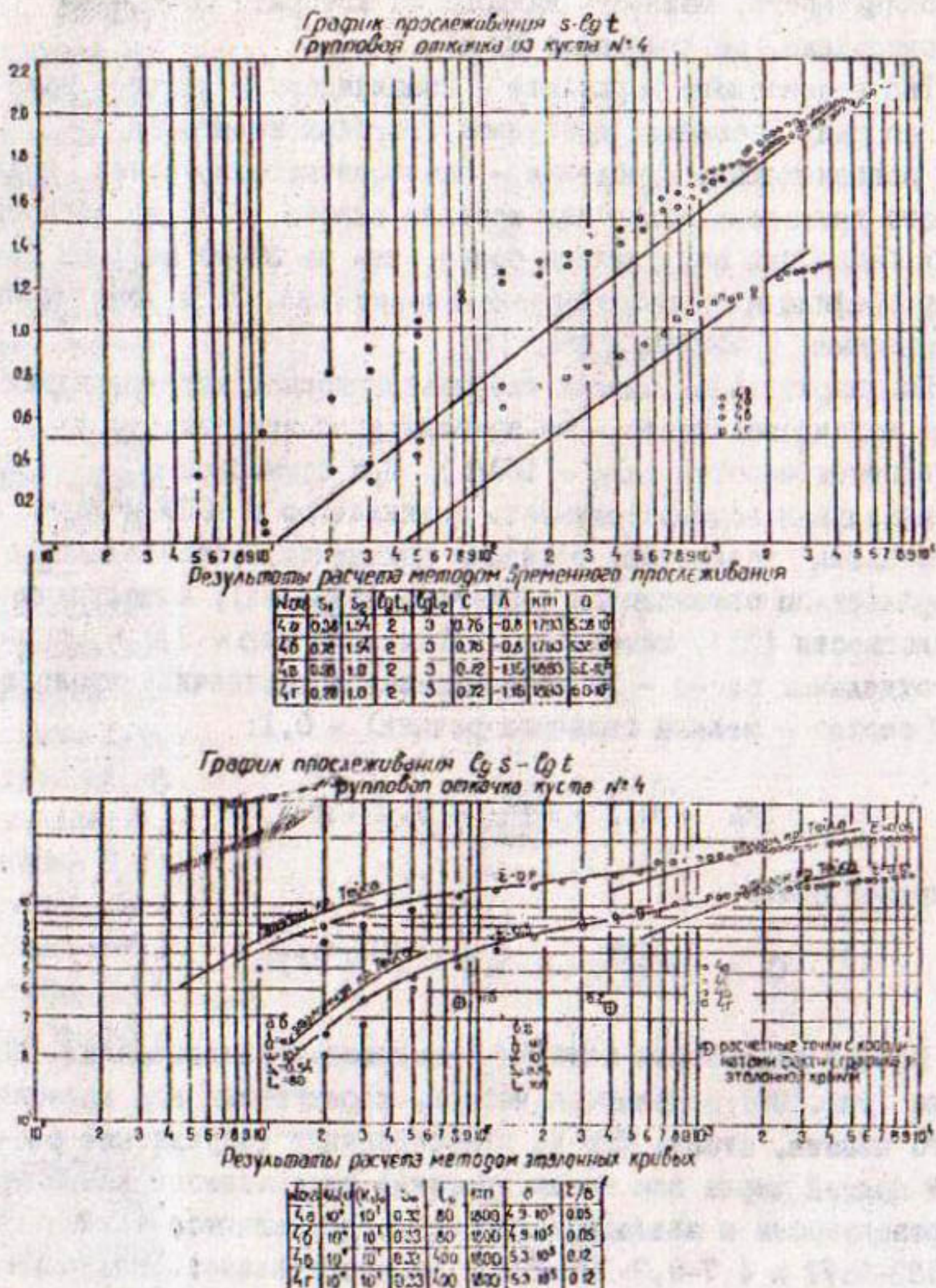


Рис. 22. Графики прослеживания и результаты расчета параметров опытного куста № 4 (участок "Крестьянский", Голэдная степь).

$-\lg t$ совмещается сначала с графиком эталонных кривых (рис. 8). Цель этого совмещения - установление соотношения реальной и упругой водоотдачи пласта (γ). Для данного примера оно составляет примерно 10, что позволяет непосредственно для определения параметров пласта использовать гидрофильтрационные палетки (рис. 9), отражающие характер снижения уровня при аналогичном соотношении водоотдач. Фактические графики снижения для ближайших скважин (рис. 22) хорошо совпадают в начальной части графиков с характеристиками эталонных кривых

$\bar{\gamma} = 0,2$, а в конечной с $\bar{\gamma} = 0,05$. Для дальних скважин аналогично изменяются характеристики эталонных кривых с $\bar{\gamma} = 0,4$ до $\bar{\gamma} = 0,12$. Рассчитанные значения параметров водопроводимости ($1800 \text{ м}^3/\text{сут}$), пьезопроводности ($5 \cdot 10^5 \text{ м}^2/\text{сут}$), интенсивности питания (2000 м) представляются реальными (табл. I.3).

5. Расшифровка структуры питания откачки или источников формирования ее дебита. Возможные источники питания - естественный поток подземных вод и перетекание из нижележащих пластов. Полученный по расчету параметр интенсивности питания $V_p = 2000 \text{ м}$ должен отражать эти составляющие (зависимость 53). Оцениваем величину β_p , используя зависимости (40 и 45), полученные параметры пласта и величину уклона потока $i = 0,0025$ (по картам гидроизопез):

$$x_0 = \frac{7724}{2 \cdot 3,14 \cdot 1890 \cdot 0,0025} = 259 \text{ м},$$

$$\beta_p = 259 \cdot 12,92 = 3350 \text{ м}.$$

Из зависимости (53) определяем $V_{\text{пер}} = 2450 \text{ м}$.

Исходя из природной ситуации (снижение напора пробуемого пласта не вызвало нисходящей фильтрации через разделяющий слой из верхнего пласта) перетекание определяется притоком через разделяющий слой из нижних пластов. Фильтрационные характеристики этого слоя могут быть получены из зависимости для $V_{\text{пер}}$ (3):

$$K_p = \frac{1890 \cdot 7}{2450^2} = 0,0022 \text{ м/сут.}$$

Соотношение составляющих питания откачки за счет потока (Q_n)

Таблица 13

Сводная таблица
результатов расчета параметров по кусту 4А, 4Б

Номер скважин	Метод	Хантуша (схема II) шиа (квазинапорный)		Боултона-Хантуша (3Л)	
		Q ₁ , л/с	μ, м ² /сут	Кпп, м ² /сут	μ, м ² /сут
Схема II (напорный с перетеканием)					
4А а, б	2583	5,7·10 ⁶	0,0045	2673	4,7·10 ⁶
4Б в, г					0,0056
					2430 0,002
Схема квазинапорного пласта					
4А а, б		5,38·10 ⁵		4,9·10 ⁵	
					2025 0,0020 3,23
4Б в, г				0,0036	
					1690 0,0043 3,93·10 ⁵
				5,3·10 ⁵	
					2040 0,0022 7,8

и перетекания ($Q_{пер}$) определяется по зависимости:

$$\frac{Q_p}{Q_{пер}} = \frac{K_0 \left(\frac{\gamma}{B_{пер}} \right)}{K_0 \left(\frac{\gamma}{B_p} \right)} \approx 0,9; \quad Q_p = 0,9 Q_{пер};$$

$$Q_o = Q_p + Q_{пер} = 1,9 Q_{пер};$$

$$Q_{пер} = 0,527 \cdot Q_o;$$

$$Q_p = 0,473 \cdot Q_o.$$

При суммарном расходе 89,4 л/с отбирается за счет потока - 42,3 или 67,9 л/с с учетом самоизлива, за счет перетекания снизу - 47,1 л/с.

Безнапорный пласт. Откачка проводилась из куста скважин Iр (участок "Алмазар", МПВ долины р.Чирчик) и опробовала водоносный горизонт аллювиальных галечников. Куст расположен между двумя протоками реки. Полная информация об откачке, конструкциях скважин и их расположении приведена на рис. 23.

1. Тип водоносного горизонта (безнапорный) не требует дополнительного обоснования и подтверждается характером графика временного прослеживания (рис. 23) - наличие четырех этапов снижения уровня.

2. Предварительная оценка геофильтрационных параметров пласта: водопроводимости - по приближенной зависимости для безнапорных пластов ($K_{пт} = 100q$), в которой с учетом влияния реки эмпирический коэффициент связи может быть уменьшен до 70-80. При $q = 16,18$ л/с водопроводимость предварительно оценена в $1132-1294,4 \text{ м}^2/\text{сут}$; водоотдача - по литологическому составу водосодержащих пород - $\mu = 0,1-0,2$; пьезопроводности - $5 \cdot 10^3 - 1,2 \cdot 10^4 \text{ м}^2/\text{сут}$.

3. Расчет параметров методом временного прослеживания по удобным прямым, проведенным по наиболее крутой части в пределах I и III этапов (рис. 24). Полученные параметры существенно различаются - $K_{пт}$ от 1798 до $5641 \text{ м}^2/\text{сут}$, $q = 3,9 - 5 \cdot 10^5 \text{ м}^2/\text{сут}$ (I этап), $1-3,5 \cdot 10^4 \text{ м}^2/\text{сут}$ (III этап). Завышение значения за счет влияния реки. Минимальные величины водопроводимости ($K_{пт} = 1798 \text{ м}^3/\text{сут}$) и пьезопроводности ($q = 1 \cdot 10^4 \text{ м}^2/\text{сут}$) могут быть взяты за ориентир в качестве их

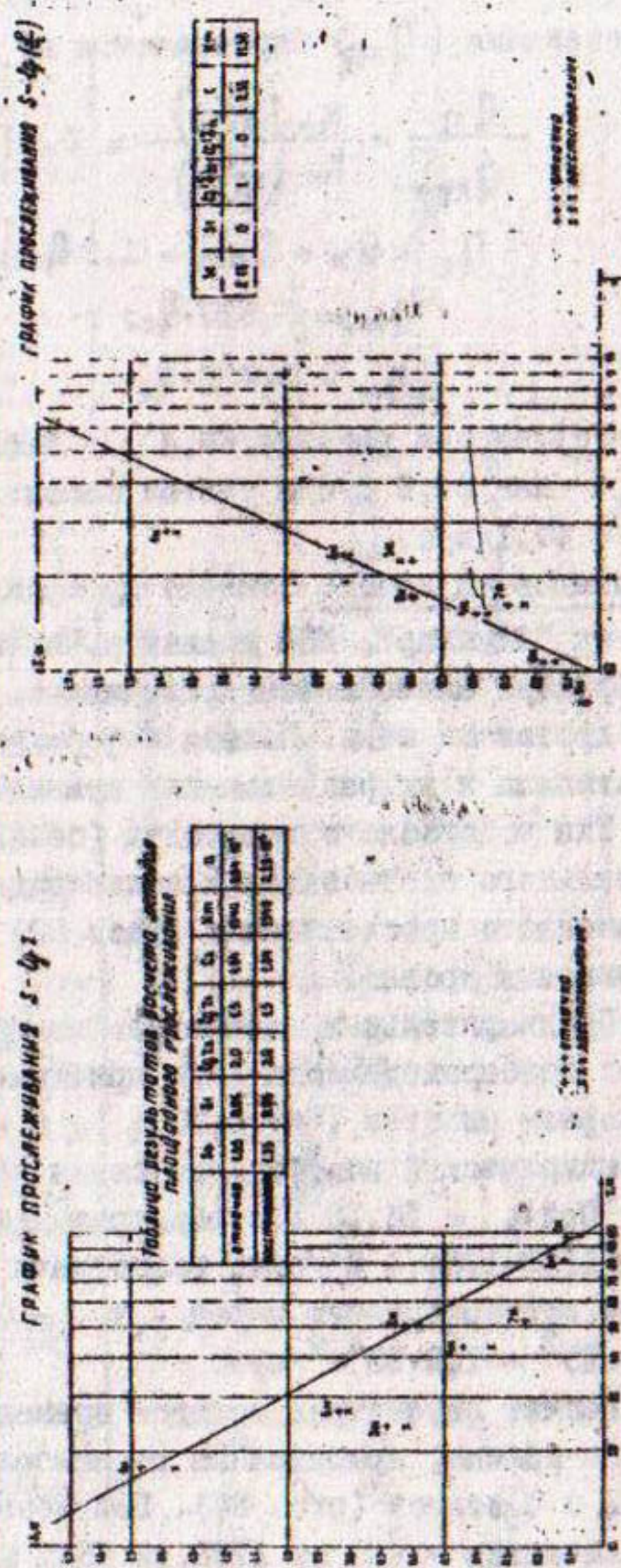
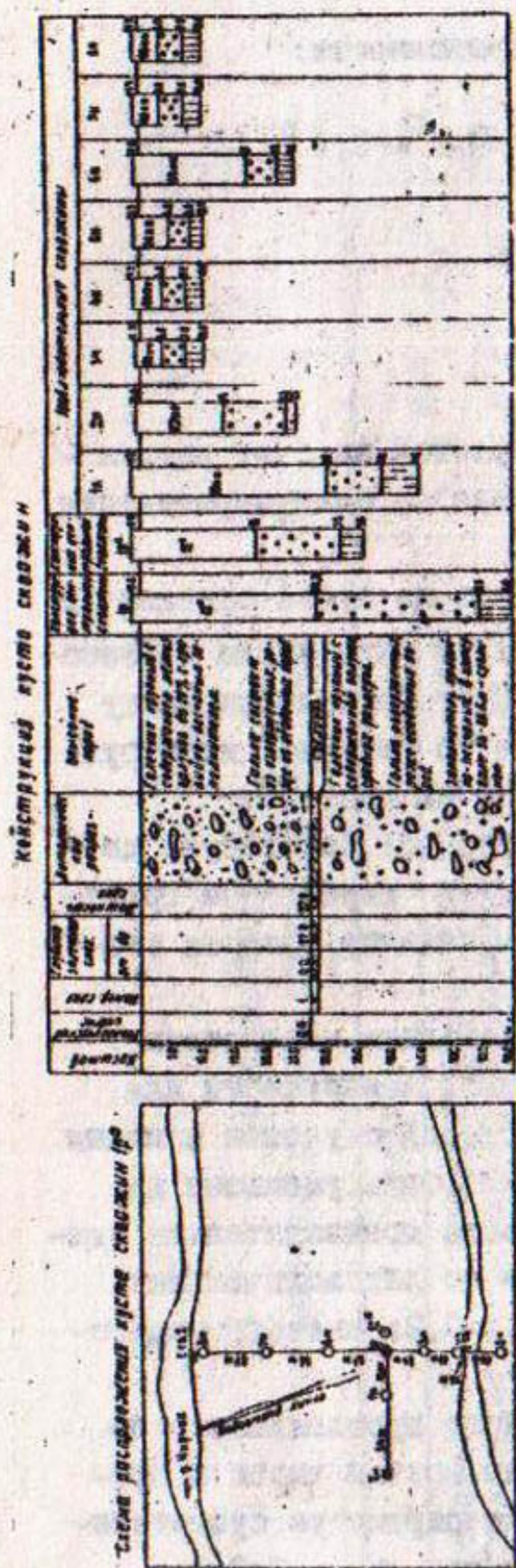


Рис. 23. Схема расположения, конструкция куста и графики планировочного проектирования скв. № 1^а (участок Альмазов, долина р. Чирчик).

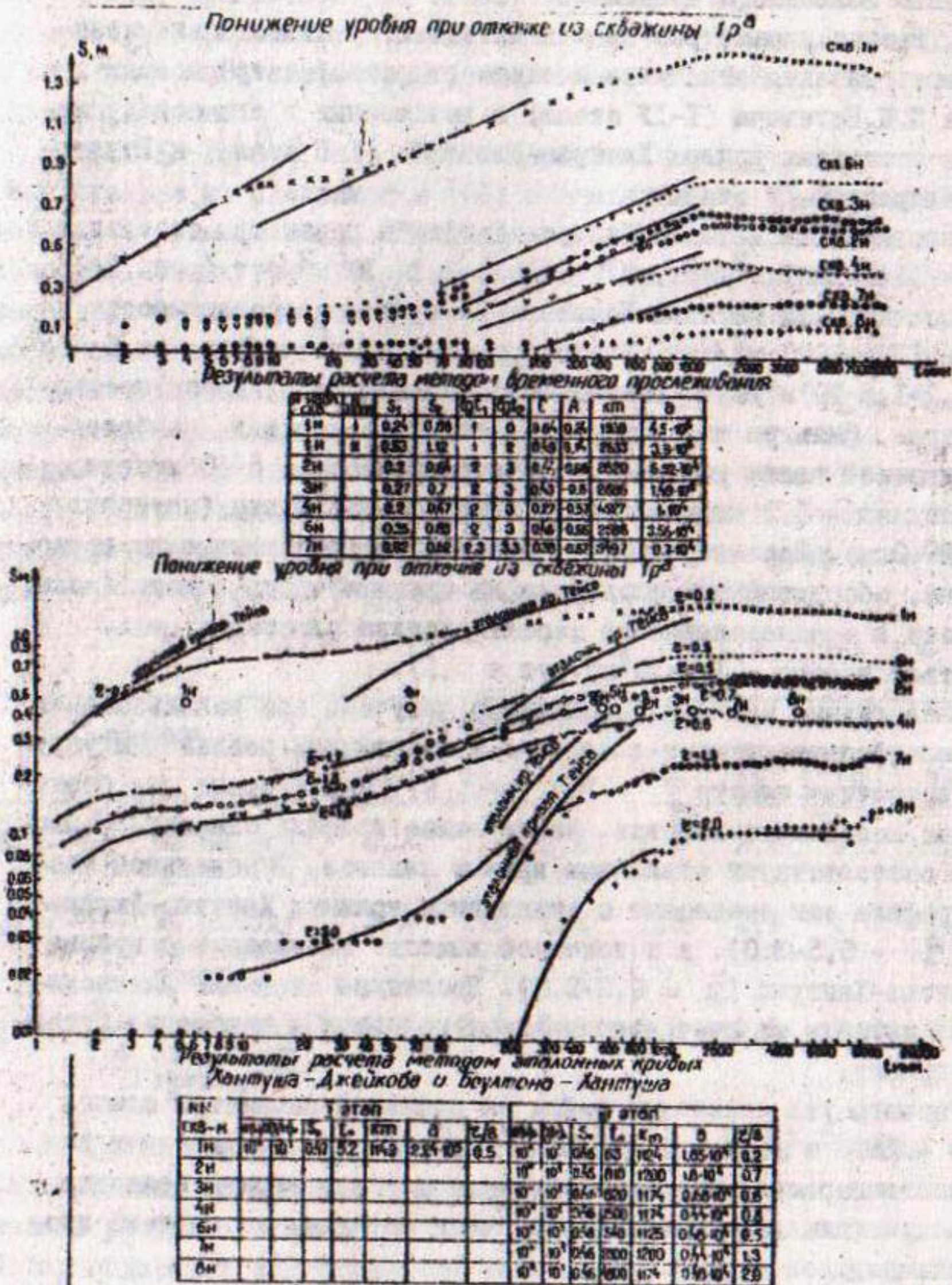


Рис. 24. Графики прослеживаний и результаты расчета параметров куста скв. 1р^а (участок "Алмазар", долина р. Чирчик).

верхнего возможного предела.

4. Расчет параметров пласта методами, учитывающими интенсивность питания откачки, - методом гидрофильтрационных палеток П.П.Нагевича (I-IU этапы) и положенных в его основу методов эталонных кривых Хантуша-Джейкоба (I-II этапы) и Боултона-Хантуша (Ш-IU этапы):

расчетанные методом Хантуша-Джейкоба параметры составили:
 $k_{tp} = 1149-1227 \text{ м}^2/\text{сут}$, $a^* = 1,3-2,24 \cdot 10^5 \text{ м}^2/\text{сут}$ (рис. 24);

расчетанная методом Боултона-Хантуша водопроводимость
 $k_{tp} = 1125-1227 \text{ м}^2/\text{сут}$. Уровнепроводность изменяется от $5 \cdot 10^{-3}$
 до $1,2-1,8 \cdot 10^{-4} \text{ м}^2/\text{сут}$. Наименьшие значения наблюдаются по пьезометрам, фильтры которых располагаются в верхней, наиболее проницаемой части разреза: уровнепроводность - $5 \cdot 10^{-3} \text{ м}^2/\text{сут}$, водоотдача - 0,2 верхнего слоя водоносного пласта (интервал 2,0-27,0 м). Параметры уровнепроводности, полученные по пьезометрам, оборудованным фильтрами на среднюю часть пласта, можно отнести к средневзвешенной характеристике пластов в целом (соответственно - $1,2 \cdot 10^{-4} \text{ м}^2/\text{сут}$ и 0,1);

аналогичные значения параметров получены при использовании гидрофильтрационных палеток с соотношением реальной и упругой водоотдачи пласта $\chi = 100$ (рис. 9), характерных для беззапорных водоносных пластов. Фактические графики снижения полностью соответствуют эталонным кривым палеток. В начальной части графика они совпадают с эталонными кривыми Хантуша-Джейкоба ($\bar{t} = 0,5-3,0$), а в конечной выходят на эталонные кривые Боултона-Хантуша ($\bar{t} = 0,2-2,0$). Последние отражают интенсивность питания за счет привлекаемых ресурсов и положение питательных границ.

Расчеты уже позволяют выйти на реальные параметры пласта ($k_{tp} = 1200 \text{ м}^2/\text{сут}$; $a = 1,2 \cdot 10^4 \text{ м}^2/\text{сут}$). Для убеждения в истинности параметра водопроводимости и установления величины

ΔL приводим дополнительные расчеты методами площадного прослеживания.

5. Расчет методами площадного прослеживания. График $S - \lg t$ (рис. 23) дает большой разброс точек. Прямая, проведенная через точки по пьезометрам 1н, 2н, наиболее удаленным от питательных границ.

ших границ, принимается за основу. Однако ввиду отступления от критерия применимости этого метода ($\bar{t} < 0,3$) по пьезометру № 2н ($\bar{t} = 0,7$) параметр водопроводимости ($1349 \text{ м}^2/\text{сут}$) несколько завышен.

График $S - \lg(\frac{P}{\tau})$, в основу построения которого положены рассчитанные по зависимости (60) значения $\frac{P}{\tau}$, учитывающие положение рукавов реки, между которыми располагается опытная скважина. Точки графика удовлетворительно ложатся на прямую, выходящую на начало координат, что позволяет определить водопроводимость ($1182 \text{ м}^2/\text{сут}$) и сделать вывод об отсутствии или незначительности сопротивления русловых отложений ($a_L \approx 0$). Доказательством достоверности рассчитанных этим методом параметров является близость $\beta_i = \frac{P_i}{\tau_i}$, определенных по зависимости (60), с величиной $\beta_i = \frac{P_i}{\tau_i}$, установленной в процессе интерпретации методом гидрофильтрационных палеток или методом эталонных кривых Бодтона-Хантуша (табл. I4).

Таблица I4

Параметр	Номер пьезометра						
	1н	2н	3н	4н	6н	7н	8н
$\beta_i = \frac{P_i}{\tau_i}$ по зависимости (60)	2,75	1,7	2,24	1,5	2,3	1,6	1,1
$\beta_i = \frac{P_i}{\tau_i}$ по методу эталонных кривых	4,4	1,9	2,2	1,57	2,4	1,5	1,1
$\bar{t} = \frac{\tau}{B_n}$ по методу эталонных кривых	0,2	0,7	0,6	0,8	0,5	1,3	2,0

6. Расшифровка структуры питания откачки или источников формирования ее дебита. Возможные источники питания – привлекаемые ресурсы (сток реки) и естественный поток подземных вод. Поток подземных вод ограничен шириной его фронта между рукавами реки ($L = 144 \text{ м}$) и при $K_m = 1200 \text{ м}^2/\text{сут}$, $\zeta = 0,005$ может быть оценен:

$$Q = 1200 \cdot 144 \cdot 0,005 = 864 \text{ м}^3/\text{сут} = 10 \text{ л/с.}$$

При расходе ткачки в 78,5 л/с доля участия потока в ее питании составляет всего 12,7%. Основная часть расхода откачки из реки составляет 68,5 л/с, или 87,3%. Такая структура питания откачки подтверждается близостью рассчитанных и полученных при интерпретации данных β_1 и β_2 (табл. I4).

ГЛАВА 6. УТОЧНЕНИЕ ГЕОФИЛЬТРАЦИОННЫХ ПАРАМЕТРОВ ПО ДАННЫМ ЭКСПЛУАТАЦИИ ВОДОЗАБОРОВ ПОДЗЕМНЫХ ВОД

Теоретические основы оценки гидрогеологических параметров по результатам эксплуатации

Расчеты гидрогеологических параметров продуктивных водоносных горизонтов месторождений подземных вод по данным их эксплуатации позволяют оценить достоверность параметров, определенных по кустовым откачкам на стадии детальной разведки и на основе этого уточнить прогноз эксплуатационных запасов подземных вод конкретного водозаборного участка.

Выделены следующие приемы (способы) обработки результатов эксплуатации с целью оценки гидрогеологических параметров, которые уже нашли или найдут широкое применение в практике расчетов: аналитические и графоаналитические, основанные на уравнениях теории скважин и используемые для интерпретации данных ОФР; картографические, основанные на анализе гидродинамической структуры деформированного эксплуатацией потока подземных вод; численно-аналитические расчеты на ЭВМ и аналоговое моделирование.

I. Аналитические и графоаналитические способы обработки.

Основаны на анализе графиков понижений уровня под влиянием эксплуатации во времени и по площади. Эксплуатация водозаборов подземных вод вызывает интенсивное возбуждение водоносного горизонта, что приводит к формированию значительных по глубине и площади делрессионных воронок, форма которых отражает и влияние граничных условий водоносного горизонта. Водозаборное сооружение в этом случае можно рассматривать как скважину большого диаметра ("большой колодец") – при компактном расположении эксплуатационных скважин водозабора или как систему взаим-

модействующих эксплуатационных скважин - при расположении скважин на большой площади.

Теоретические основы расчета гидрогеологических параметров по данным ОФР рассмотрены применительно к четырем основным расчетным схемам (гл. 3). Использование некоторых этих методик для обработки результатов режимных наблюдений при эксплуатации водозаборов с целью определения гидрогеологических параметров представлено в работах Н.И.Плотникова (1973, 1979), В.С.Ковалевского (1986 г.).

Следует отметить, что длительная эксплуатация водозаборов в зависимости от источников их питания, сформированных воронок депрессии как локального, так и регионального характера определяет ряд особенностей использования методов обработки ОФР при интерпретации режимных наблюдений. Рассмотрим эти особенности применительно к выделенным расчетным схемам.

Схемы напорного и потенциально напорного пластов (месторождения подземных вод артезианских бассейнов) применимы только в условиях питания водозабора за счет сработки других запасов. Описываемый в этом случае уравнением Тейса неустановившийся процесс снижения напоров позволяет применять все основанные на этой зависимости методы расчета параметров как в условиях наличия границ, так и отсутствия (Боревский и др., 1979; Мироненко, Шестаков, 1978).

Схема напорного, квазинапорного пласта с перетеканием через разделяющие слои может применяться достаточно успешно по результатам эксплуатации водозаборов МПВ погребенных речных долин и конусов выноса в их периферийной части, для которых характерно переслаивание водоносных пластов со слабопроницаемыми разделяющими слоями. В зависимости от интенсивности эксплуатации, степени использования мощности водоносной слоистой толщи, изменчивости фильтрационных свойств водоносных и разделяющих слоев по глубине здесь возможно проявление как этой схемы, так и схемы, близкой к напорной, что характерно для условий максимального вовлечения в эксплуатацию водоносной толщи, когда водозабор по степени вскрытия эксплуатируемой толщи близок к совершенному.

Схемы потенциально (двухслойного) и собственно безнапорного пластов в условиях эксплуатации характеризуются проявлением только этапа гравитационного режима, что вызвано пропуском в замерах в начальный период эксплуатации этапов упругого и ложностационарного режимов, общая продолжительность которых не превышает несколько суток. Поэтому при эксплуатации безнапорного водоносного горизонта фиксируемый процесс снижения уровня подземных вод должен соответствовать зависимостям Тейса (при отсутствии дополнительного питания горизонта) или Хантуша-Джейкоба (при наличии питания) для условий гравитационной водоотдачи, что дает возможность применять методы расчета параметров для схем напорного и напорного с перетеканием пластов с отражением в расчетных методиках реальных граничных условий.

2. Картографический способ обработки. Влияние эксплуатации вызывает изменение гидродинамической структуры естественного потока подземных вод. Карты гидроизолез (гидроизогипс) позволяют оконтурить область питания водозабора и снять основные характеристики потока в сечении на подходе потока подземных вод к водозабору и в сечении, расположенному ниже его. Перекват водозабором части потока отражается на картах уменьшением гидравлического градиента J потока.

На период отсутствия дополнительного питания в пределах воронки депресии водозабора (для безнапорных вод) и стационарном режиме справедлива следующая зависимость между расходами потока, притекающего к водозабору Q_B и оттекающего от него вниз по потоку Q_H , и расходом самого водозабора $Q_{вод}$:

$$Q_{вод} = Q_B - Q_H. \quad (66)$$

При $Q_B = K_m J_B \cdot B_B$; $Q_H = K_m J_H \cdot B_H$ решив зависимость (I) относительно K_m , получим:

$$K_m = \frac{Q_{вод}}{B_B J_B \cdot B_H J_H}, \quad (67)$$

где B_B , B_H - ширина области влияния водозабора в сечениях потока, расположенных на подходе к нему и ниже по потоку относительно водозабора; J_B , J_H - уклоны потока подземных вод в тех же сечениях.

Этот способ обработки является приближенным и может быть применен при наличии режимной информации, позволяющей достаточно детально отразить структуру потока на площаи в пределах области питания водозабора.

3. Численно-аналитические расчеты на ЭВМ и аналоговое моделирование. Среди методов математического моделирования для обработки результатов эксплуатации с целью уточнения гидрогеологических параметров представляют интерес следующие:

численно-аналитические методы (численные модели), в основе которых лежит решение на ЭВМ дифференциальных уравнений, записанных для каждого узла сетки области фильтрации применительно к методу конечных разностей (МКР) или методу конечных элементов (МКЭ). Базисом для оценки параметров МКР для ортогональной сетки разбивки являются работы Г.Н.Каменского, А.В.Лебедева, А.П.Киселева, а для треугольной сетки разбивки, позволяющей максимально использовать имеющуюся режимную информацию - Л.Лукнера, В.И.Вартельского. Треугольные сетки использует и МКЭ. Для обеих схем разбивки разработан ряд программ, позволяющих определить геофильтрационные параметры в расчетные периоды отсутствия локального питания горизонта (Гавич, 1980; Лукнер, Шестаков, 1986; Ломакин, 1978);

методы идентификации, представляющие собой численные расчеты на ЭВМ минимизации функционала между фактическими и расчетными понижениями уровня подземных вод. Расчетные понижения определяются для конкретной расчетной схемы методом последовательных приближений. В его основе лежат способы расчета и расчетные зависимости, проанализированные выше при изложении аналитического и графоаналитического способов обработки. Составлен ряд программ для оценки параметров пласта по результатам опытно-фильтрационных работ (Д.Алиев, Г.Д.Григорина, О.А.Дульките, Е.А.Ломакин и др.), среди которых наиболее полным является комплекс программ "Гидлар" (Дульките, 1982), использование которого при определенных условиях возможно и для обработки результатов эксплуатации;

методы расчета, представляющие реализованные на ЭВМ основные зависимости для конкретных расчетных схем, аналогичных

простейшим методам из графоаналитических способов расчетов (в частности, методы линейной анаморфозы), но отличающихся автоматизацией расчетов;

аналоговое моделирование может успешно применяться для участков эксплуатации с достаточно обоснованными источниками питания, водозаборов и ресурсами подземных вод. Незнание этих факторов, определяющих величину понижения уровня под влиянием эксплуатации, наряду с неизвестными фильтрационными свойствами горизонта, делает постановку такой задачи некорректной. Это условие обязательно как для аналоговых, так и численных моделей. При его соблюдении геофильтрационные параметры пласта уточняются в процессе решения обратной или инверсной задачи (И.К.Гавич, И.И.Крашин, И.С.Пашковский, В.М.Шестаков и др.).

В процессе решения таких задач представляет интерес предложенная Б.Ф.Сидоренко (1984 г.) корректировка параметров геофильтрационного поля в точках расположения эксплуатационных скважин с использованием метода варiations масштабных коэффициентов, основанном на критерии подобия. Его сущность заключается в подборе на модели расхода скважины, обеспечивающего фактическое распределение напора, создаваемое эксплуатацией скважины. Это позволяет при известных расходах скважины, электрических сопротивлениях фильтрационного поля и подобранный на модели сила тока I рассчитать новое значение масштабного коэффициента λ_s (или λ_Q) и из критерия подобия определить величину водопроницаемости. Следует отметить, что возможная относительная ошибка в определении K_m этим методом прямо пропорциональна относительной ошибке в определении фактического дебита скважины.

Требования к анализу результатов эксплуатации водозаборов подземных вод и обоснованию выбора способов расчета гидрогеологических параметров

Обработка результатов режимных наблюдений за эксплуатацией водозаборов необходима для уточнения представлений о гидрогеологической модели месторождения, особенностей проявления естественного и нарушенного эксплуатацией гидрогеологического

процесса, что позволяет, обосновав приемлемые для данного конкретного водозабора расчетную схему и способ обработки, получить обобщенную характеристику гидрогеологических параметров в целом по площади водозабора и в дальнейшем выйти на уточненный прогноз эксплуатационных запасов подземных вод водозаборного участка.

Анализ результатов наблюдений за эксплуатацией возможен при наличии сведений об основных характеристиках режима подземных вод, а также природных и искусственно созданных факторах, определяющих его поведение в годовом и многолетнем разрезе.

Обработке и анализу подлежат данные: о расходах водозабора за весь период эксплуатации с установлением причин их увеличения (подключение дополнительных скважин в прежних границах водозабора или расширения площади водозабора); о расходах каждой эксплуатационной скважины, времени ее работы; о напорах и понижениях уровня как по эксплуатационным, так и наблюдательным скважинам в пределах воронки депрессии водозабора; о количественной характеристике естественных и искусственных факторов, определяющих источники питания водозабора за весь период эксплуатации (расходы реки, каналов; водоподача на орошение территории).

Материалы представляются в виде графиков прослеживания основных показателей подземных вод, отражающих влияние эксплуатации, во времени в многолетнем разрезе, карт гидроизогипс (гидроизопльез), понижений уровня, изоамплитуд разгрузки и наполнения.

Анализ представленного материала возможен в виде нахождения корреляционных связей между понижением и водоотбором, понижением и основными режимообразующими факторами с использованием методов факторного и кластеранализов, выделения на гидродинамических схемах области питания водозабора (ее изменение во времени под влиянием различных факторов – увеличения водоотбора, питания подземных вод в пределах воронки депрессии и т. д.), что позволяет выявить основные источники и обосновать реальную расчетную схему для оценки гидрогеологических параметров.

При использовании основного графоаналитического способа обработки результатов эксплуатации порядок расчета предусматривает:

предварительный выбор расчетной схемы;

выбор основных расчетных зависимостей с учетом характера режима подземных вод под влиянием эксплуатации (установившееся, неустановившееся движение);

определение центра тяжести водозабора, относительно которого используются фактические величины понижений в наблюдательных скважинах, расположенных за пределами водозабора (при компактном размещении его эксплуатационных скважин). Координаты центра тяжести (x, y) можно установить по зависимостям

$$x = \sum_{i=1}^n \frac{Q_i}{Q_{\text{вод}}} x_i, \quad y = \sum_{i=1}^n \frac{Q_i}{Q_{\text{вод}}} y_i, \quad (68)$$

где Q_i - дебит каждой эксплуатационной скважины; x_i, y_i - координаты той же скважины в любой произвольно выбранной системе;

определение приведенного расстояния наблюдательной скважины до эксплуатационных $\gamma_{\text{пр}}$, учитывающего положение и расход каждой из них (наблюдательная скважина расположена непосредственно на участке водозабора), а при наличии границ - и приведенного расстояния до зеркально отраженных относительно границы эксплуатационных скважин $P_{\text{пр}}$, учитывающего в расчетных зависимостях ее влияние;

$$\rho_g \gamma_{\text{пр}} = \sum_{i=1}^n \frac{Q_i}{Q_{\text{вод}}} \rho_g \gamma_i, \quad \rho_g P_{\text{пр}} = \sum_{i=1}^n \frac{Q_i}{Q_{\text{вод}}} \rho_g P_i; \quad (69)$$

изменение дебита водозабора в процессе эксплуатации учитывается введением приведенного времени:

$$\rho_g t_{\text{пр}} = \frac{Q_1 \rho_g t + Q_2 \rho_g (t-t_1) + \dots + Q_n \rho_g (t-t_{n-1})}{Q_{\text{вод}}}; \quad (70)$$

окончательное установление типа расчетной схемы на основе анализа графиков временного прослеживания в координатах $S - \rho_g t$,

$S/Q - \rho_g t$, $S - \rho_g t_{\text{пр}}$; $S/Q - \rho_g t_{\text{пр}}$;

выбор метода расчета (или комплекса) параметров и основных расчетных зависимостей на основании схемы и имеющейся информации;

при наличии нескольких наблюдательных скважин расчеты проводятся по каждой из них, что позволяет уточнить параметры или определить их изменение по площади водозабора;

результаты расчетов желательно подтвердить другими способами обработки, в частности, картографическими и численно-аналитическими, которые предъявляют более высокий уровень требований к объему и качеству информации.

Результаты расчета гидрогеологических параметров по данным эксплуатации месторождений

I. Месторождения подземных вод с простыми гидрогеологическими и эксплуатационными условиями. Анализируются результаты эксплуатации водозабора подземных вод, расположенного на одном из участков месторождения подземных вод долины Зарашан.

Основные особенности участка месторождения следующие:
продуктивный водоносный горизонт приурочен к хорошо проницаемым аллювиальным (мощность 12-15 м) и относительно менее проницаемым пролювиальным отложениям (35-40 м);

сток по руслу реки круглогодичный, расходы реки изменяются в течение года от 200 до $2 \text{ м}^3/\text{с}$;

продолжительность прохождения по реке минимальных расходов (выклинивающиеся в русло выше по долине грунтовые воды) в маловодные годы не превышает 2-3 мес.;

естественный режим УПВ полностью отражает изменение уровня в реке с естественной амплитудой 1,5-2,0 м.

Водозабор эксплуатируется в течение 15 лет. В его состав входя: 9 эксплуатационных скважин, расположенных по параллельному реке ряду на расстоянии 50-200 м. Расходы скважин - 48,6-83,3 л/с при понижениях 10-14 м. Суммарный расход водозабора в течение года меняется от 45 до 55 тыс. $\cdot \text{м}^3/\text{сут}$ (в сред-

нем 50 тыс. $\cdot m^3$ /сут). Из-за небольшого количества наблюдательных скважин воронка депрессии по площади не прослеживается. Она приурочена непосредственно к водозаборному ряду и характеризуется несущественным понижением зеркала подземных вод. Понижения изменяются от 1,5-2 м (вне эксплуатационного ряда) до 3,5-4 м (по линии ряда вблизи эксплуатационных скважин). Схема расположения водозабора и положение депрессионной воронки в разрезе приведены на рис. 25.

Методика оценки гидрогеологических параметров основывается на следующих положениях, определяемых опытом эксплуатации: движение подземных вод установившееся; река, расходы которой значительно превышают дебит водозабора, может быть принята за границу I рода с постоянным напором. Соответственно для оценки параметров принята схема полусограниченного пласта с границей I рода. Параметры определяются по зависимости

$$Km = \frac{Q_i}{2\pi S_i} \rho_n \frac{\rho_1 \cdot \rho_2 \cdot \rho_3 \cdots \rho_n}{z_1 \cdot z_2 \cdot z_3 \cdots z_n}, \quad (71)$$

где Q_i - средний расход эксплуатационной скважины водозабора; S_i - понижение в пьезометре; z_1, \dots, z_n - расстояние пьезометра до каждой эксплуатационной скважины; ρ_1, \dots, ρ_n - расстояние пьезометра до каждой зеркально отраженной относительно границы эксплуатационной скважины.

Расчет коэффициента водопроводимости, произведенный относительно пьезометра IIн (рис. 25), приведен в табл. I5.

Таблица I5
Результаты расчета параметров по пьезометру IIн

Номер скв.	z, m	$\rho_g z, m$	ρ, m	$\rho_g \rho$	$Q_{вод.}, m^3/\text{сут}$	$Q_c = \frac{Q_{вод.}}{\pi}, \text{л/с}$	S_i, m	скв. IIн	$Km = \frac{230}{2\pi S_i} \sum_{l=1}^n \rho_g S_l -$
									$\sum_{i=1}^n \rho_g z_i$
1	2	3	4	5	6	7	8	9	10
1з	740	2,87	900	2,954					
2з	440	2,64	800	2,9					
3з	360	2,556	600	2,78					
Зз	210	2,322	600	2,78	50000	5550	3,0	1280,5	

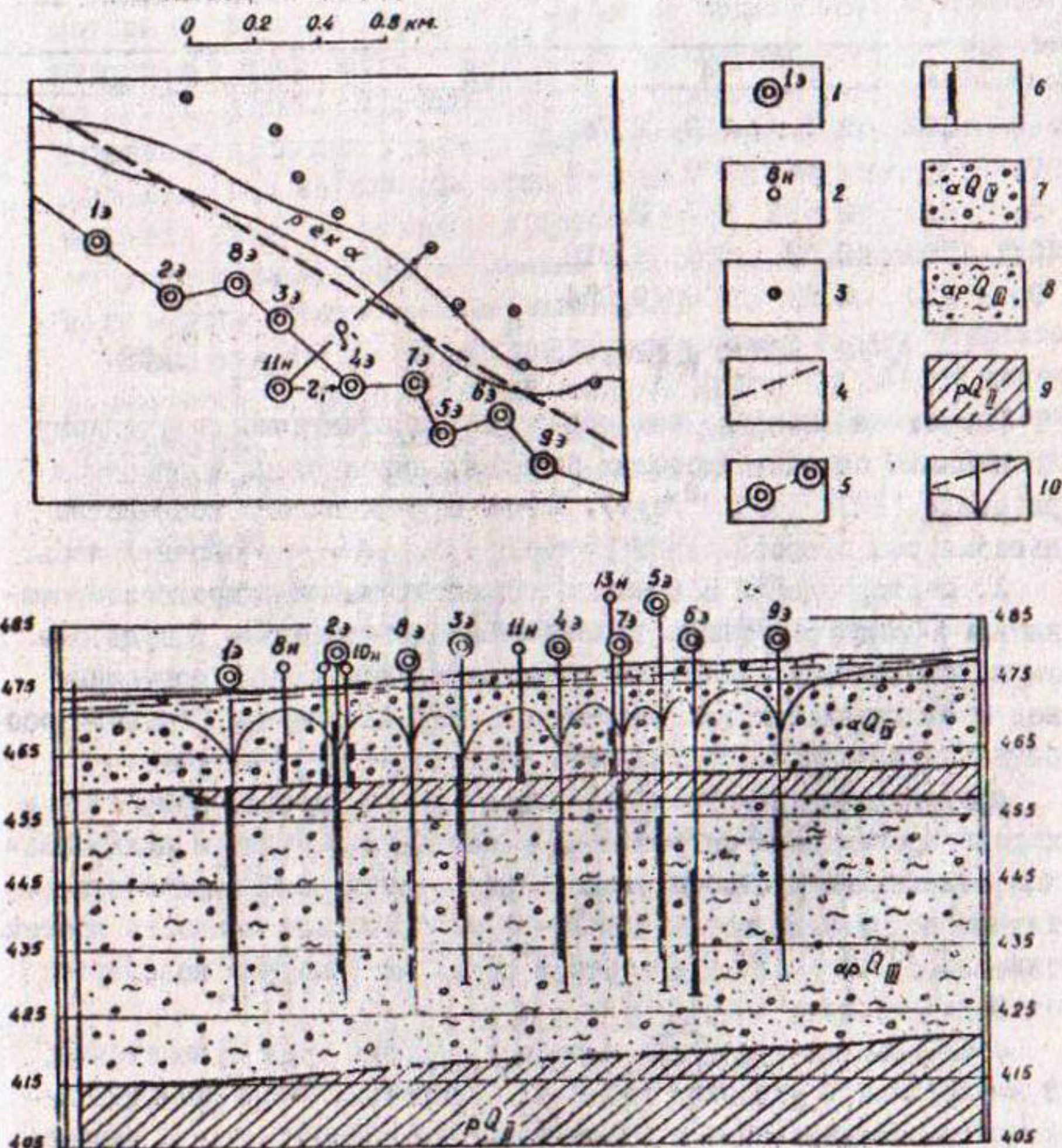


Рис.25. Схема водозабора М и разрез (данные П.Б.Неймана). Скважины: 1 - эксплуатационные, 2 - наблюдательные, 3 - зеркально отраженные относительно границы эксплуатационные; 4 - условная линия границы I рода; 5 - линия разреза; 6 - положение фильтра скважин; 7 - современные аллюзивальные галечники; 8 - верхнечетвертичные аллювиально-пролювиальные отложения; 9 - среднечетвертичные пролювиальные отложения; 10 - положение депрессионной воронки.

1	2	3	4	5	6	7	8	9
4а	200	2,3	550	2,74				
7а	350	2,544	530	2,724				
5а	430	2,633	640	2,8				
6а	590	2,77	650	2,813				
9а	830	2,92	900	2,954				

$$\sum_{i=1}^n p_g \tau_i = 23,555 \quad \sum_{i=1}^n p_g \rho_i = 25,445 \quad \sum_{i=1}^n p_g \rho_i - \sum_{i=1}^n p_g \tau_i = 1,89.$$

Расчетное значение водопроводимости идентично полученному по данным опытных кустовых откачек, выполненных в процессе разведки ($1200-1400 \text{ м}^3/\text{сут}$). Из-за ограниченного количества шезометров сопротивление речного русла ΔL не определялось.

2. Месторождения подземных вод со сложными гидрогеологическими и эксплуатационными условиями. Анализировались результаты эксплуатации водозаборов в пределах месторождения подземных вод в аллювиальных галечниках долины р. Ахангаран. Основные особенности водозаборных участков месторождения следующие:

продуктивный водоносный горизонт месторождения приурочен к хорошо проницаемым современным и верхнечетвертичным аллювиальным отложениям и относительно менее проницаемым верхнечетвертичным отложениям мощностью 25-30 м. Суммарная мощность продуктивного водоносного горизонта в пределах участков колеблется от 30 до 65 м;

сток реки по руслу изменяется в течение года существенно. В ненарушенных условиях (до начала действия водохранилища сезона регулирования в 60 км вверх по долине) сток в паводок имел большие расходы (до $300-400 \text{ м}^3/\text{с}$) и незначительные в межень (до $5 \text{ м}^3/\text{с}$ и менее). В отдельные месяцы маловодных лет сток по реке отсутствовал полностью (август, сентябрь). Регулирующее действие водохранилища выразилось в существенном снижении паводковых расходов (не более $200 \text{ м}^3/\text{с}$), смещении пика паводка на 1-2 мес., увеличении меженных расходов реки (до $10 \text{ м}^3/\text{с}$) и некотором уменьшении продолжительности периода минимальных меженных расходов ($1-2 \text{ м}^3/\text{с}$ и менее) до 1-1,5 мес.;

питание подземных вод осуществляется круглогодично за счет потерь из реки на участке в 7-8 км от водозаборов и трансформируется в виде естественного потока подземных вод, подходящего к ним, а также периодически при больших паводках непосредственно в пределах участка. Подчиненное значение имеет питание подземных вод на площади этих участков за счет потерь поверхностного стока из каналов и оросителей;

естественный режим подземных вод отражает изменение уровня воды в реке с естественной амплитудой 1,5-3,0 м.

Эксплуатация подземных вод ведется более 35 лет и начата водозабором С, расположенным поперек межгорной долины перед ее расширением, на выходе в предгорную равнину. Расход за период эксплуатации увеличился с 0,5 до 1,8 м³/с (рис. 26), что потреб-

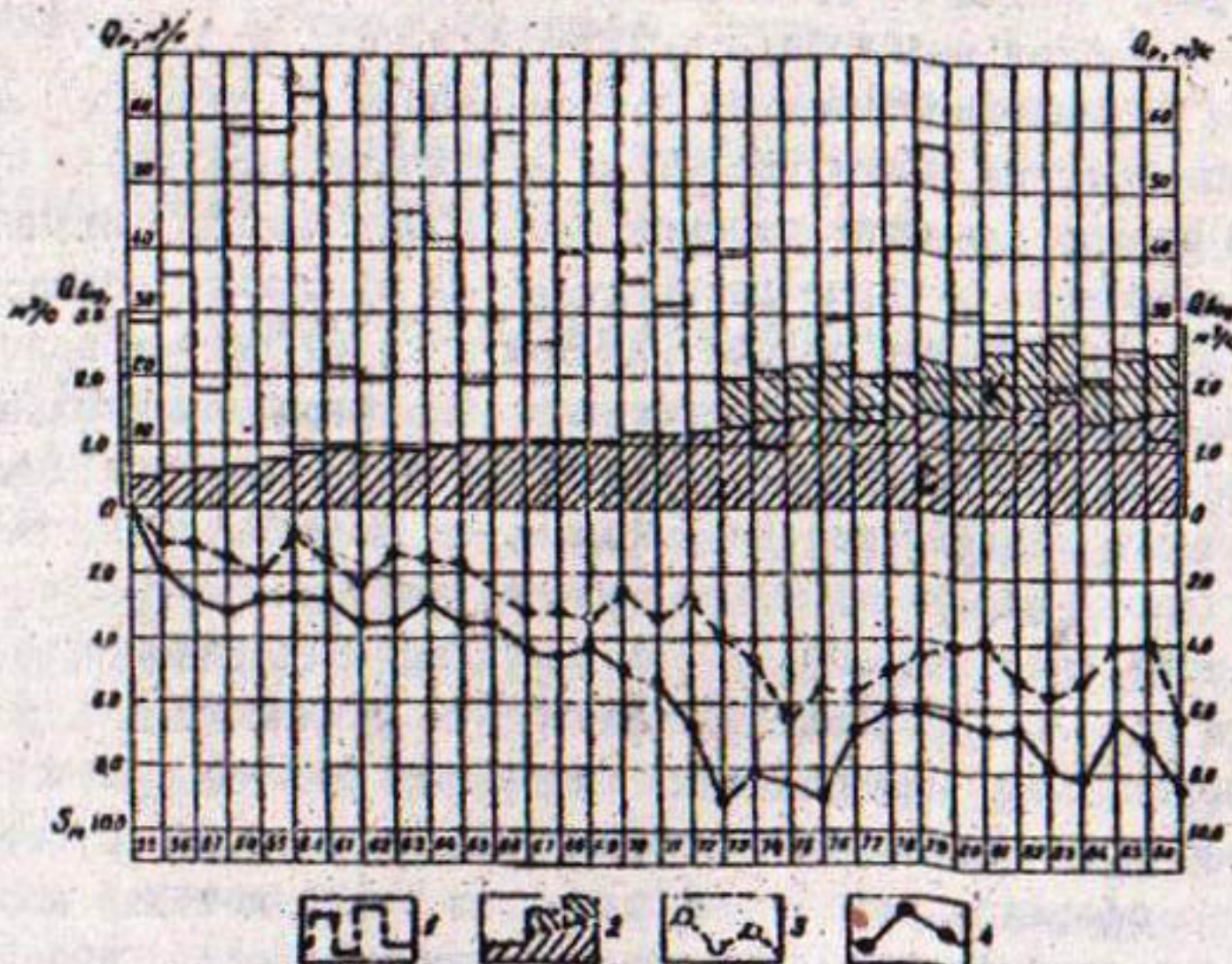


Рис. 26. Графики изменения водоотбора, понижений уровня и расхода реки в многолетнем разрезе (данные В.М.Дубинского): 1 - расход реки; 2 - расходы водозабора С и К; 3 - понижение уровня в центре водозабора С на высокое положение уровня; 4 - то же, на низкое положение уровня.

бовало увеличения количества эксплуатационных скважин (35). Средний расход скважин - 50-80 л/с, понижения достигают 10-

15 м от первоначального естественного уровня.

Под влиянием эксплуатации сформирована депрессионная воронка. Максимальное понижение в ее центре с удалением от реки достигает 7-8 м на низкое положение уровня маловодных лет. В период высокого положения, соответствующего прохождению больших расходов по реке, размеры воронки по площади и глубине уменьшаются. Понижение в центре воронки не превышает 5-6 м. Амплитуда колебаний уровня по сравнению с естественной увеличилась на 2-3 м и составила 4-5 м.

Выше водозабора С с 1972 г. действует водозабор К с площадной схемой расположения эксплуатационных скважин (14). Расстояние между ними - 400-500 м. Единая воронка депрессии здесь отсутствует, понижения уровня от естественного не превысили 1,5-2,0 м. Расход водозабора - 0,7-0,8 м³/с.

Расчет параметров выполнен по водозабору С, влияние эксплуатации которого на режим подземных вод проявилось более существенно. В основу расчетов положен анализ источников питания этих водозаборов, которые распределяются следующим образом:

водозабор К - отбор осуществляется за счет потерь воды с орошаемых территорий и из оросителей. В период максимального поступления воды из этих источников они не только обеспечивают работу самого водозабора, но и формируют дополнительно сезонные (регулировочные) емкостные запасы, которые отбираются в период отсутствия питания, слабо влияя на естественный поток подземных вод, сформированный на участке долины выше водозабора С и подходящий к нему без существенной деформации;

водозабор С - питается в основном за счет этого естественного потока, сформированного под влиянием реки, которая косвенно участвует в его питании, частично заполняя в период высоких уровней осушеннюю часть емкости, полностью используемой водозабором при снижении напора в реке до наиболее низкого его положения, снимающей часть нагрузки с потока подземных вод.

Таким образом, питание водозабора С можно представить в виде:

$$Q_{вод} = \Delta Q_{еп} + \Delta Q_p$$

- в период паводка;

$Q_{вод} = \Delta Q_{еп}'' + \frac{\Delta H_p \cdot F}{t}$ в период t уменьшения расходов в реке до минимальных; $Q_{вод} = \Delta Q_{еп}'$ - в период минимального стока по реке или его отсутствия; $\Delta Q_{ep}, \Delta Q'_{ep}, \Delta Q''_{ep}$ - разность расходов потока, протекающего через водозабор, в верхнем Q_v и нижнем Q_n сечениях; $\Delta Q_{ep} = Q_v - Q_n$; $\Delta Q'_{ep} < \Delta Q''_{ep} < \Delta Q_{ep}$, т.е. наблюдается саморегулирование использования естественного потока подземных вод - в зависимости от интенсивности дополнительного питания непосредственно на площади водозабора увеличивается или уменьшается отток подземных вод за пределы водозабора; ΔQ_p - часть дополнительного питания водоносного горизонта за счет реки, идущая на питание водозабора в этот период. Оставшаяся часть питания формирует емкостные запасы подземных вод в зоне мощностью ΔH_p , в пределах площади боронки депрессии F , вызывая повышение уровня.

Исходя из установленных источников питания водозaborа С и особенностей их изменения во времени для расчета параметров используются способы расчета I, 2.

Графоаналитические способы расчета

I. Косвенное участие реки через поток подземных вод в питании водозабора С позволяет схематизировать влияние реки и естественного потока в виде границы I рода. Это граница условия, но то, что сумма минимальных расходов реки и естественного потока подземных вод превышает величину отбора, позволяет принять такой вариант как вполне приемлемый и отвечающий природным условиям. Расчет производится по наблюдательным скважинам Збн и 225н, расположенным соответственно в зоне максимальных понижений в удалении от реки и вблизи к ней. По скв. Збн понижение составило на низкое положение уровня 1977г.- 6,4 м, по скв. 225н - 3,2 м. Расход водозабора на это время 1,43 м³/с.

Расчет производится по зависимости:

$$Km = \frac{0,366}{S_t} \sum_{i=1}^n Q_i \lg \frac{r_i}{\tau_i}, \quad /72/$$

в которой обозначения аналогичны /71/; Q_i - расход каждой

эксплуатационной скважины; S_i - понижение в скв. 36н или 225н.

Результаты расчета сведены в табл. I6.

Таблица I6

Расчет коэффициента водопроводимости

Номер скв.	$\sum_{i=1}^n Q_i \rho g t_i$	$\sum_{i=1}^n Q_i \rho_i$	$\sum_{i=1}^n Q_i \rho g \frac{\rho_i}{\rho_i}$	$S_i \cdot m$	$m^2/m^2/\text{сут}$
36н	3949	4837,5	888,5	6,4	4390
225н	4122	4550	428	3,2	4230

Результаты указывают на близкие значения водопроводимости как в приречной, так и тыловой частях водозабора. Расчеты выполнены на максимально достигнутые понижения при условии стационарности режима фильтрации в этот период.

2. Фактический график изменения уровня подземных вод, отражающий факторы питания и разгрузки под влиянием естественных и искусственных причин, характеризуется или интенсивным подъемом уровня (в период максимального питания), или таким же его снижением (в период отсутствия или недостаточного питания). Река при наличии стока контролирует положение зеркала подземных вод на площади водоносного горизонта. При высоком положении уровня воды в реке и соответствующем этому напору на границе зеркала грунтовых вод формируется стационарная воронка депрессии, отвечающая граничным условиям горизонта. При резком снижении напора воды в реке воронка депрессии стремится к расширению и углублению, отвечающим новому, более низкому, напору на границе. В этот период часть емкости горизонта, заключенная между депрессионными воронками, сформированными на двух крайних стационарных положениях, не контролируется рекой, а подвергается действию местных и региональных зон разгрузки как естественных, так и искусственных, среди которых преобладает искусственная разгрузка (водозабор). Поэтому процесс снижения уровня в этот период определяется практически только величиной отбора подземных вод в условиях непроявления действия границ, т.е. близких к условиям неограниченного водоносного горизонта. Этот процесс хорошо иллюстрирует рис. 27 и описывается следую-

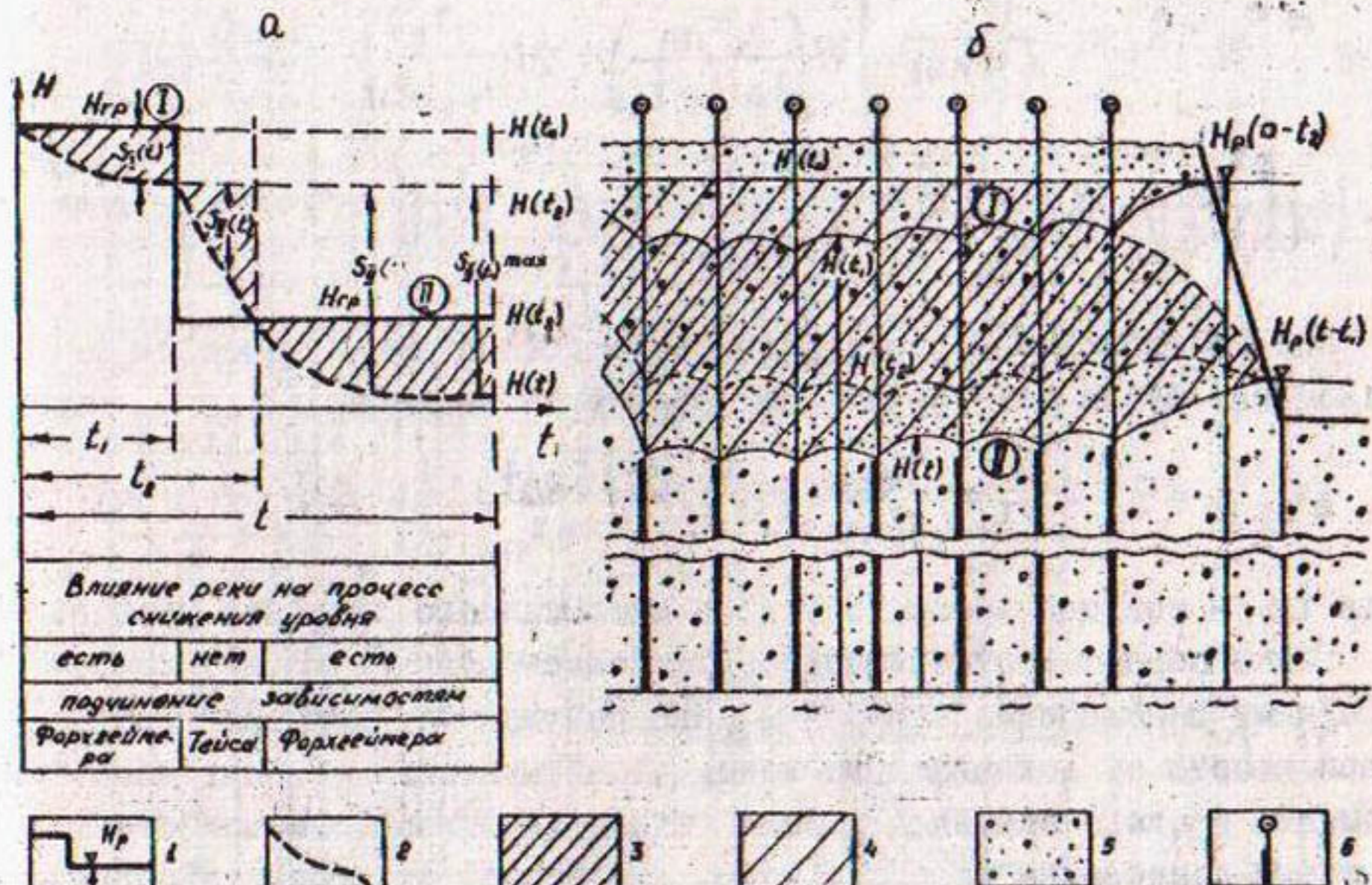


Рис. 27. Схема к обоснованию выделения периода условно независимого от реки режима эксплуатации. График изменения напоров на границе H_p и подземных вод H_t (а), схема взаимодействия подземных вод с рекой в условиях эксплуатации (б): график изменения: 1 - напоров на границе; 2 - уровня подземных вод под влиянием эксплуатации и изменения напоров на границе; 3 - зона воронки депрессии, формирующаяся в период условно независимого от реки режима; 4 - зоны воронки депрессии, образованные действием эксплуатации с учетом влияния границы в положении I и II; 5 - аллювиальные отложения; 6 - эксплуатационная скважина.

щими зависимостями.

Понижение при положении I напора в реке:

$$S_I = \frac{Q}{4\pi k t} \left[W\left(\frac{\tau^2 \rho_p}{4at}\right) - W\left(\frac{\rho_p^2}{4at}\right) \right]. \quad (73)$$

Понижение при положении II напора в реке:

$$S_{II} = \frac{Q}{4\pi k t} \left[W\left(\frac{\tau^2 \rho_p}{4a(t_2-t)}\right) + W\left(\frac{\tau^2 \rho_p}{4a(t-t_2)}\right) - W\left(\frac{\rho_p^2}{4a(t-t_2)}\right) \right]. \quad (74)$$

Относительное понижение при положении II в сравнении с понижением при положении I:

$$\Delta S_{I-II} = S_{II} - S_I = \frac{Q}{4\pi k t} \left[W\left(\frac{\tau^2_{\text{пр}}}{4a(t_2-t_1)}\right) + W\left(\frac{\tau^2_{\text{пр}}}{4a(t-t_1)}\right) - W\left(\frac{\rho^2_{\text{пр}}}{4a(t-t_1)}\right) - W\left(\frac{\rho^2_{\text{пр}}}{4at}\right) + W\left(\frac{\rho^2_{\text{пр}}}{4at}\right) \right]. \quad (75)$$

При наступлении квазистационарного режима при неизменном положении русла реки уравнение упрощается до вида

$$\Delta S_{I-II} = S_{II} - S_I = \frac{Q_{\text{спад}}}{4\pi k t} \rho_n \frac{2.25a(t_2-t_1)}{\tau^2_{\text{пр}}}, \quad (76)$$

где t_2 - текущее время от начала интенсивного снижения уровня.

Таким образом, относительное снижение уровня в период между крайними положениями напоров в реке подчиняется прямолинейной зависимости от логарифма времени, отсчитываемого относительно момента резкого снижения уровня воды в скважинах, вызванного быстрым изменением напора в реке. Это позволяет провести обработку снижения уровня методами временного прослеживания или эталонных кривых Тейса-Хантуша в пределах таких периодов как отдельно, так и используя типовую кривую снижения уровня, объединившую процесс снижения отдельных периодов в единую кривую. Эта кривая, отражающая процесс снижения уровня под влиянием водоотбора без воздействия реки, может быть составлена на основе анализа графиков изменения напоров во времени в многолетнем разрезе. Принцип такого построения по скв. Збн приведен на рис. 28. Кривая положена в основу определения параметров методами временного прослеживания и эталонных кривых Тейса-Хантуша. Характеризующие ее величины ложения уровня на различные моменты времени от начала спада изображены в виде графиков прослеживания в координатах $S - Pgt$ и $PgS - Pgt$ (рис. 29). Результаты расчета параметров этими методами приведены в табл. 17.

Картографический способ расчета

Построенные карты гидроизольез участка водозабора на высокое и низкое положение уровня (рис. 26) позволили оконтурить область питания водозабора и снять геометрические характеристи-

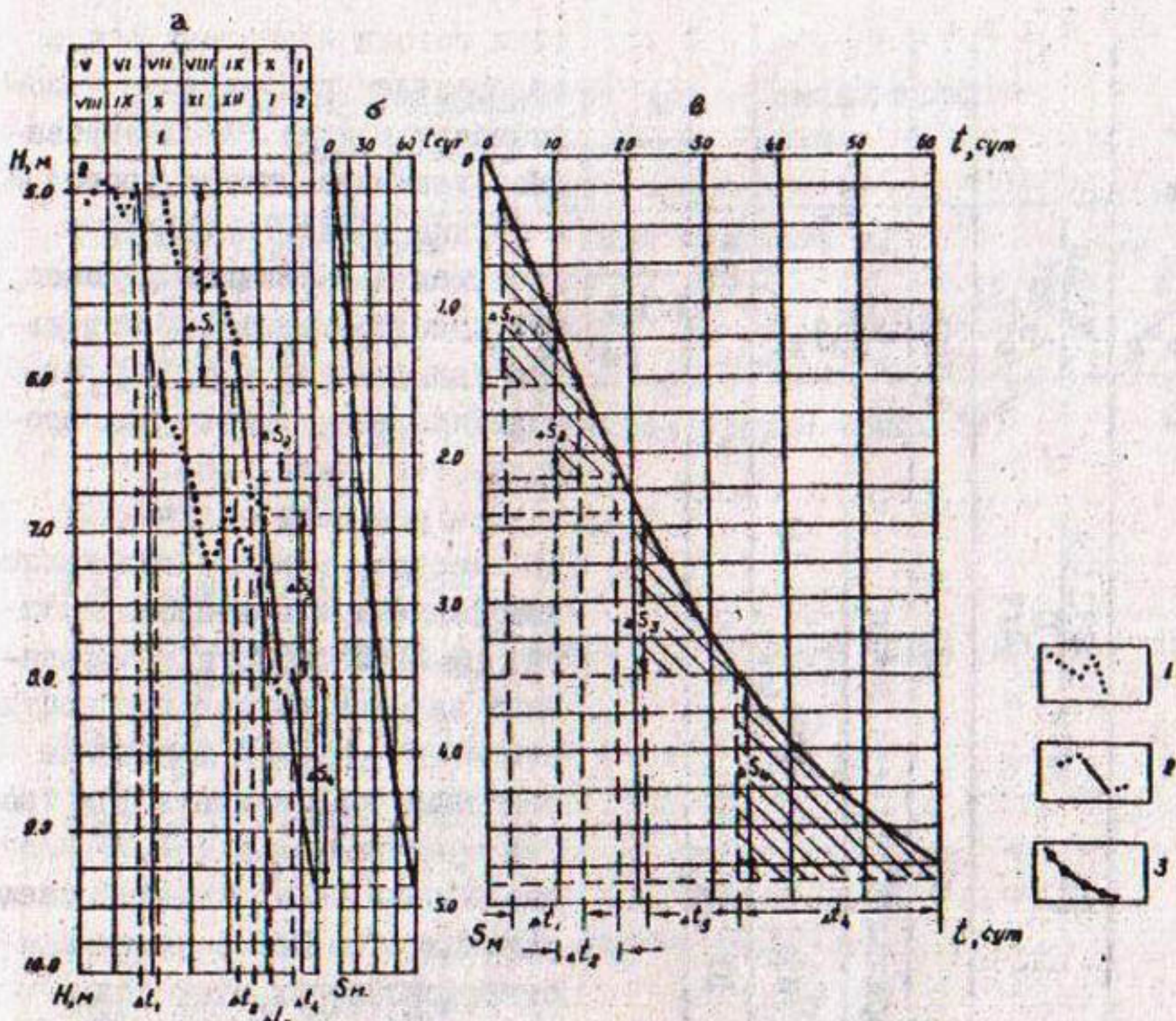


Рис. 28. Схема к обоснованию построения типовой кривой снижения уровня (б, в) под влиянием эксплуатации по данным многолетних режимных наблюдений по скв. Зн (а): 1 - участки графика режимных наблюдений в периоды, подверженные влиянию реки; 2 - то же, в периоды условно независимого от реки режима, положенные в основу построения типовой кривой снижения уровня; 3 - типовая кривая снижения уровня.

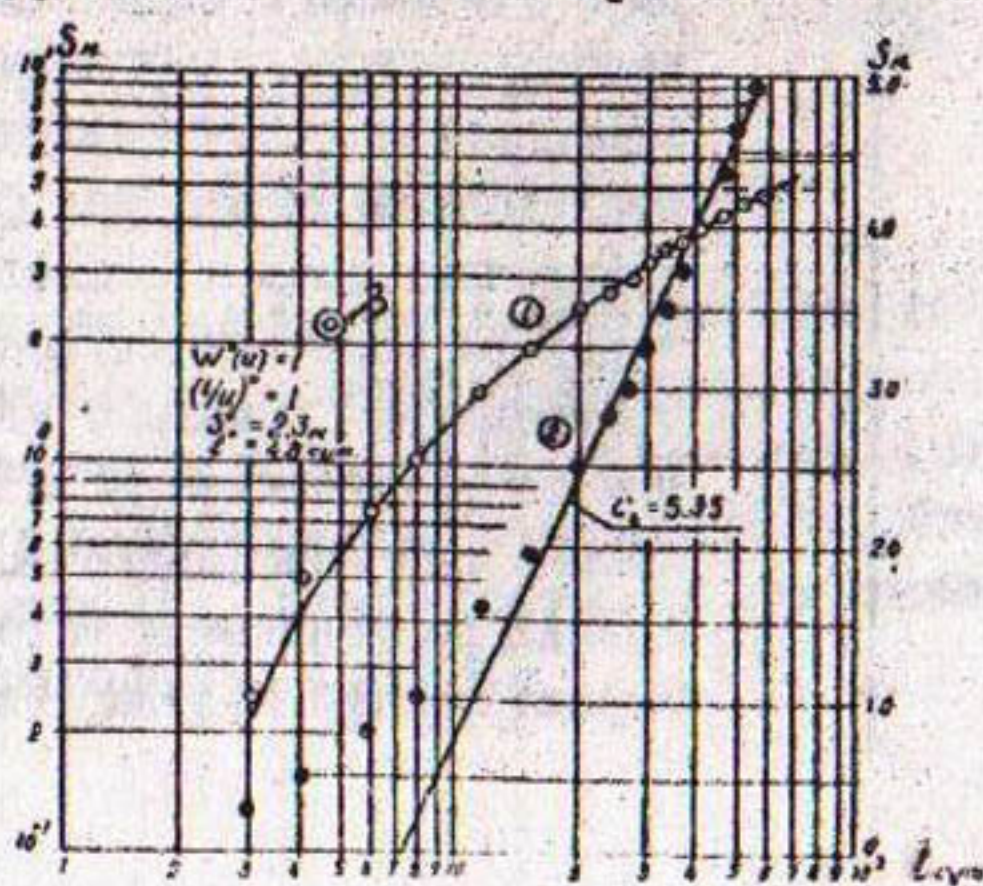


Рис. 29. Графики прослеживания понижения уровня в центре водозабора С во времени. Точки зависимости графика: 1 - $\lg S - \lg t$; 2 - $S - \lg t$; 3 - расчетная точка.

Таблица 17

Номер сква- жины	Тип забора	Тип графика	t_i , с сут	t_{ii} , с сут	$Km =$	$\alpha =$
					$\frac{Q}{C}$	$\frac{\pi^2 Q_0}{2,25 t}$
36и	$\frac{I,46}{123,552}$	$S - \rho g t$	5,35	7,0	4200	$2 \cdot 10^4$

Номер сква- жины	Тип забора	Тип графика	t_i , с сут	t_{ii} , с сут	$Km =$	$\alpha =$
					$\frac{Q}{C}$	$\frac{\pi^2 Q_0}{4 t_0} \left(\frac{T}{\pi} \right)_0$
36и	$\frac{I,46}{123,552}$	$S - \rho g t$	5,35	7,0	4200	$2 \cdot 10^4$

Номер сква- жины	Тип забора	Тип графика	t_i , с сут	t_{ii} , с сут	$Km =$	$\alpha =$
					$\frac{Q}{C}$	$\frac{Q}{4 \pi S_0} W_0(U)$
36и	$\frac{I,46}{123,552}$	$S - \rho g t$	5,35	7,0	4200	$1,57 \cdot 10^4$

тики потока подземных вод в ее пределах при подходе к водозабору и ниже. Анализировались величина уклона уровня U и ширина полосы потока B в пределах зон близких уклонов, что дало возможность, используя зависимости (66, 67), определить коэффициент водопроводимости (табл. 18).

При разности полученных на высокое и низкое положение коэффициентов водопроводимости $\Delta K_m = 615 \text{ м}^2/\text{сут}$ и осущен-ного за этот период горизонта мощностью $\Delta h_{cr} \approx 4 \text{ м}$ среднее значение коэффициента фильтрации оценивается в $158,75 \text{ м}/\text{сут}$, что вполне соответствует имею-щимся данным ОФР о фильтрационных свойствах этой зоны.

Метод моделирования

В процессе аналогового мо-делирования участка водозабо-ра С уточнялись параметры ме-тодом вариации масштабных ко-эффициентов (В.Ф.Сидоренко). Реализована однородная фильтрационная среда, аналогом ко-торой на модели являлась элек-тропроводная бумага с удель-ным сопротивлением $R_\eta = 8 \text{ ком}$. Масштабный коэффициент λ_L принял постоянным и исходя из ха-рактеристик моделируемой об-

Таблица 18

Расчет водопроводимости на основе анализа гидродинамической структуры потока

Перед водозабором			Ниже водозабора			ΔH	Q_w
V_i , м м ⁻¹	J_i	$V_i \cdot J_i$	V_i , м м ⁻¹	J_i	$V_i \cdot J_i$	$\Delta V_i \cdot J_i$	$m^2/\text{сут}$

На низкое положение уровня (рис. 30)

400	3 350	0,0086	3,4	500	3 1100	0,0027	1,35	28,78	4292
450	5 450	0,0125	5,625						
700	5 350	0,0143	10,6	500	3 1100	0,0027	1,35	28,78	4292
600	5 500	0,01	6,0						
650	5 650	0,0077	5,05						
$\Sigma V_i \cdot J_i = 30,03$					1,35				

На высокое положение уровня

450	3 350	0,0085	3,85	500	3 1300	0,00375	4,875	25,175	4907
500	3 250	0,012	6,0						
600	3 250	0,012	7,2	500	3 800	0,00375	4,875	25,175	4907
600	3 300	0,01	6,0						
700	3 300	0,01	7,0						
$\Sigma V_i \cdot J_i = 30,05$					1,35				

ласти фильтрации и моделирующих устройств составил 0,2 в/м. Результаты расчета коэффициентов водопроводимости этим методом изложены в табл. 19, в которой приводятся подобранные в процессе моделирования величина силы тока J , фактический дебит скважины Q , рассчитанные по этим данным значения масштабного коэффициента α_d и k_h .

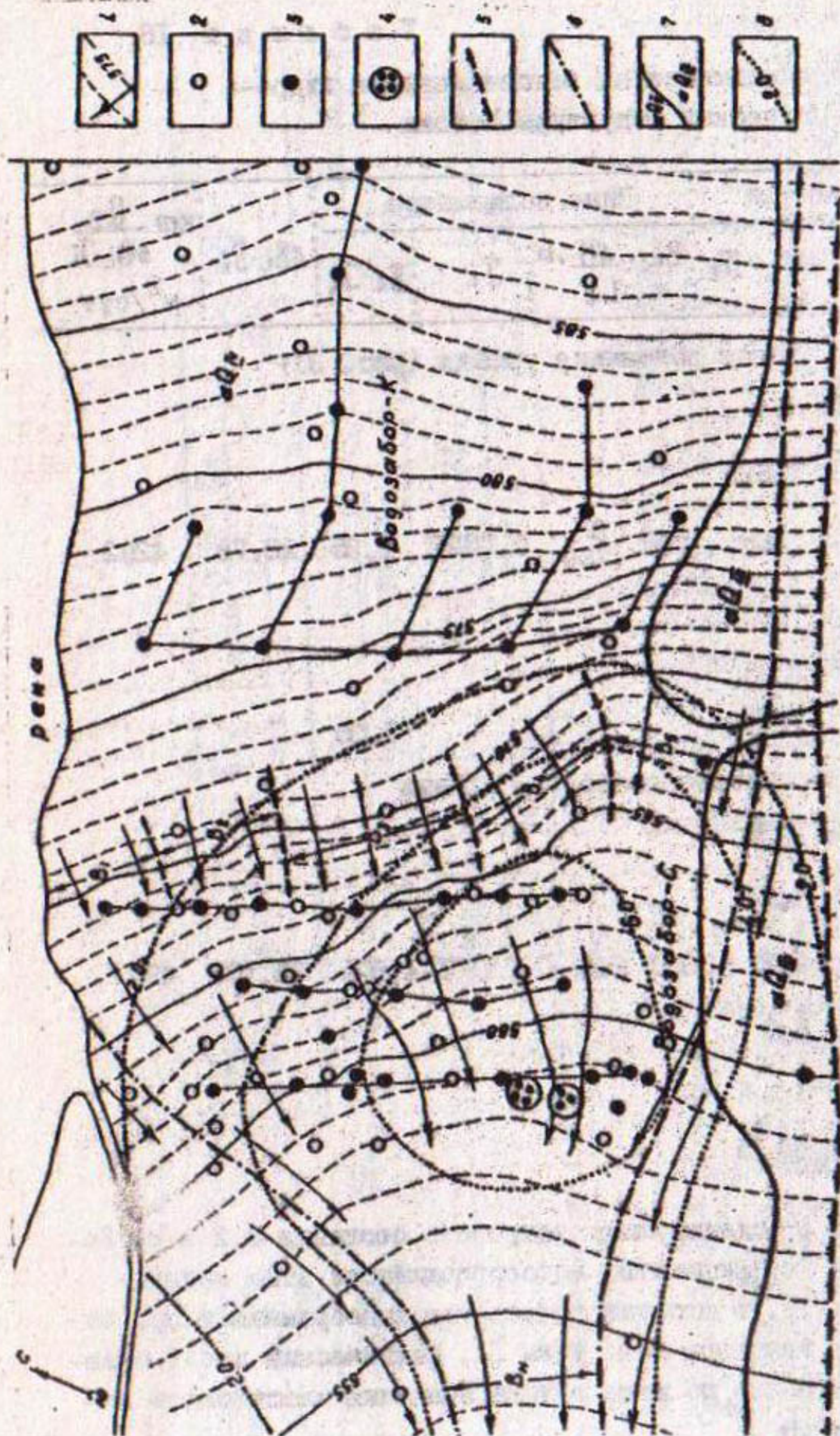


Рис. 30. Гидролинейная структура потока в условиях эксплуатации скважин и снижения уровня подземных вод): 1 - гидропроводы и линии тока; скважины; 2 - наблюдательные скважины; 3 - эксплуатационные скважины; 4 - группы (кусты) эксплуатационных скважин; 5 - положение реки; 6 - граница зоны потока подземных вод; 6 - гравийные зоны месторождения; 7 - границы зон абстрагции; 7 - границы зон забора воды; 8 - изолинии понижения уровня (Q_d) неизмененных (O_л) альбитовых отложений.

Т а б л и ц а 19
Результаты расчета Kh для некоторых скважин

Номер сква- жины	$J, \mu A$	$Q, m^3/сут$	d_q	$Kh, m^2/сут$
4 _э	42	4320	102,8	2571
5 _э	45	4147	92,2	2308
1 _э	47	5443	115,8	2895
2 _э	44	4493	102,1	2552
3 _э	44	6480	154,3	3857
22 _э	46	8035	174,7	4370
21 _э	70	5443	77,8	1943
20 _э	29	5357	184,7	4617
19 _э	66	5357	81,2	2029

Из численно-аналитических методов расчета апробирован метод балансовых полигонов (Вартельский, 1979 г.) по результатам которого получены значения $a = 1,4-5,10^{-4} m^2/сут$. Результаты расчета параметров различными методами приведены в табл. 20.

Т а б л и ц а 20

Сравнительная таблица результатов расчета гео-фильтрационных параметров различными методами

Метод (способ) расчета и зависимость	Исходный материал	Результат		
		$k_m, m^2/сут$	$a, m^2/сут$	J, μ
I	2	3	4	5

Эксплуатация

Графоаналитические и аналитические способы

Зависимость Форхгеймера Понижения
по набл.
скв. 36н 4390 - -
225н 4230 - -

Временное прослеживание То же,
скв. 36н 4200 $2 \cdot 10^4$ 0,21

Продолжение табл. 20

I	2	3	4	5
Эталонная кривая Тейса Скв. 36и		4270	$1,57 \cdot 10^4$	0,27
Картоографический спо- соб	Карты гид- роизогипс <i>тия</i> (рис. 26)	4292 4907	- -	- -
Аналоговое моделирова- ние, метод вариации масштабных коэффици- ентов	Расходы экспл. скважин	1943 4617	- -	- -
Метод балансовых по- лигонов	Уровни по наблюдат. скважинам		$1,39 \cdot 5,4 \cdot 10^4$	
				Разведка
Аналитические расче- ты, зависимость Дюпюи	Результаты опытных от- качек (ОФР) ≈ 15000	5281-6551, по скв. 13р, 14р	- -	- -

В целом, наблюдается хорошая сходимость параметров, рассчитанных различными методами и способами. Величина $K_m = 4200 - 4907 \text{ м}^2/\text{сут}$ характеризует средневзвешенную в пределах воронки депрессии водозабора водопроводимость, отнесенную к уменьшенной в процессе эксплуатации на величину понижения мощности водоносного горизонта. При преобладающих значениях $K_m = 5000 - 6000 \text{ м}^2/\text{сут}$, пересчитанных по результатам разведки, коэффициент фильтрации верхней зоны горизонта в интервале до 30-40 м равен 150-200 м/сут, при понижениях уровня относительно статических на анализируемый период 6-8 м уменьшение водопроводимости за счет осушения части горизонта составляет 1000-1500 $\text{м}^2/\text{сут}$, что позволяет считать полученные параметры достаточно убедительными. Отмеченные в табл. 20 экстремальные значения K_m , по данным ОФР, являются завышенными, что объясняется несовершенством примененной методики расчета и условиями проведения откачек (заболоченность, наличие дрен). Скудность информации не позволяет произнести их перерасчет. При оценке эксплуатационных запасов по результатам разведки приняты несколько завышенные параметры - $K = 112,3 \text{ м}/\text{сут}$ при мощности 80 м ($K_m = 8895 \text{ м}^2/\text{сут}$).

3. Месторождения подземных вод с весьма сложными гидрогеологическими эксплуатационными условиями. Сложность месторождений этой группы обусловлена:

наличием в верхней части разреза месторождений водоносных горизонтов, содержащих подземные воды некондиционного состава;

возможностью привлечения этих вод в процессе эксплуатации к водозабору путем перетекания через слабопроницаемые разделяющие слои или же по зонам тектонических нарушений (разломов);

гидрохимической неоднородностью подземных вод в пределах эксплуатируемого водоносного горизонта, что вызывает возможность подтягивания некондиционных вод к водозабору;

фильтрационной неоднородностью водоносных горизонтов;

ограниченностью запасов пресных подземных вод месторождений, негациональная эксплуатация которых может вызвать как исключение запасов, так и ухудшение качества отбираемых подземных вод.

Для месторождений этой группы обоснование оптимального варианта эксплуатации является чрезвычайно важным, а достоверность оценки фильтрационных параметров определяющей, чему, безусловно, способствует опыт эксплуатации водозаборов подземных вод.

Рассмотрим результаты эксплуатации двух месторождений подземных вод.

Месторождение пресных подземных вод в аллювиальных неоген-четвертичных отложениях палеоСырдарьи находится в пределах Голдной степи и характеризуется следующими особенностями:

пресные подземные воды развиты в среднечетвертичных (Q_{II}), нижнечетвертичных (Q_I) и верхнеплиоценовых (N_3) аллювиальных отложениях, залегающих на глубине от 100 до 600 м;

водоносные комплексы представляют гидравлически связанную через разделяющие слои единую водоносную толщу с преимущественно вертикальной фильтрацией снизу вверх;

перекрывающий эту толщу водоносный комплекс в верхнечетвертичных отложениях (Q_{III}) содержит подземные воды повышенной минерализации и отделен от нижележащих слабопроницаемым разделяющим слоем различной мощности, сплошность которого нарушена на

отдельных участках, где и наблюдается его прямая гидравлическая связь с нижележащими;

основное поступление пресных подземных вод к месторождению происходит за счет подземного притока со стороны современного правого берега р.Сырдарьи, формирующегося в аллювиально-пролювиальных отложениях ее правобережных притоков;

Сырдарья в пределах месторождения дренирует подземные воды всех водоносных комплексов. Интенсивность дренирования уменьшается с увеличением глубины залегания и определяет дальность проникновения пресных подземных вод в пределах Голодной степи по каждому комплексу.

Эксплуатация подземных вод ведется водозабором Г в течение 15 лет. Водозабор расположен в тыловой части месторождения относительно фронта поступления пресных подземных вод, вблизи (10 км) от его юго-западной границы. Состоит из 15 эксплуатационных скважин, оборудованных фильтрами на нижнечетвертичный и верхнеплиоценовый комплексы (рис.31, а, б). Расход водозабора за период эксплуатации увеличился от 150 до 320 л/с (рис.31, в). Понижения в эксплуатационных скважинах составляют 25-30 м. Понижение в скв. 40Зн, по которой производится расчет параметров, достигло 16 м. В основу взята расчетная кривая снижения уровня, проведенная через максимально достигнутые в пределах года понижения (рис. 31, в). Повышенные по сравнению с нею точки графика фактической кривой отражают как возможную реакцию уровня на остановку ближайших к скв.40Зн эксплуатационных, так и естественную годовую амплитуду колебания уровня (1,5-2,0 м), а также неравномерность расхода водозабора в годовом разрезе. Графики прослеживания понижения во времени представлены на рис.32, результаты расчета - в табл. 21. По приведенным расчетам можно сделать следующие выводы:

коэффициент водопроводности оценивается достаточно убедительно, и вполне достоверной является величина K_T , равная $500 \text{ м}^2/\text{сут}$. Она соответствует суммарной водопроводимости эксплуатируемых пластов, оцененных в процессе разведки в $590-660 \text{ м}^2/\text{сут}$;

коэффициент пьезопроводности из-за отсутствия сведений

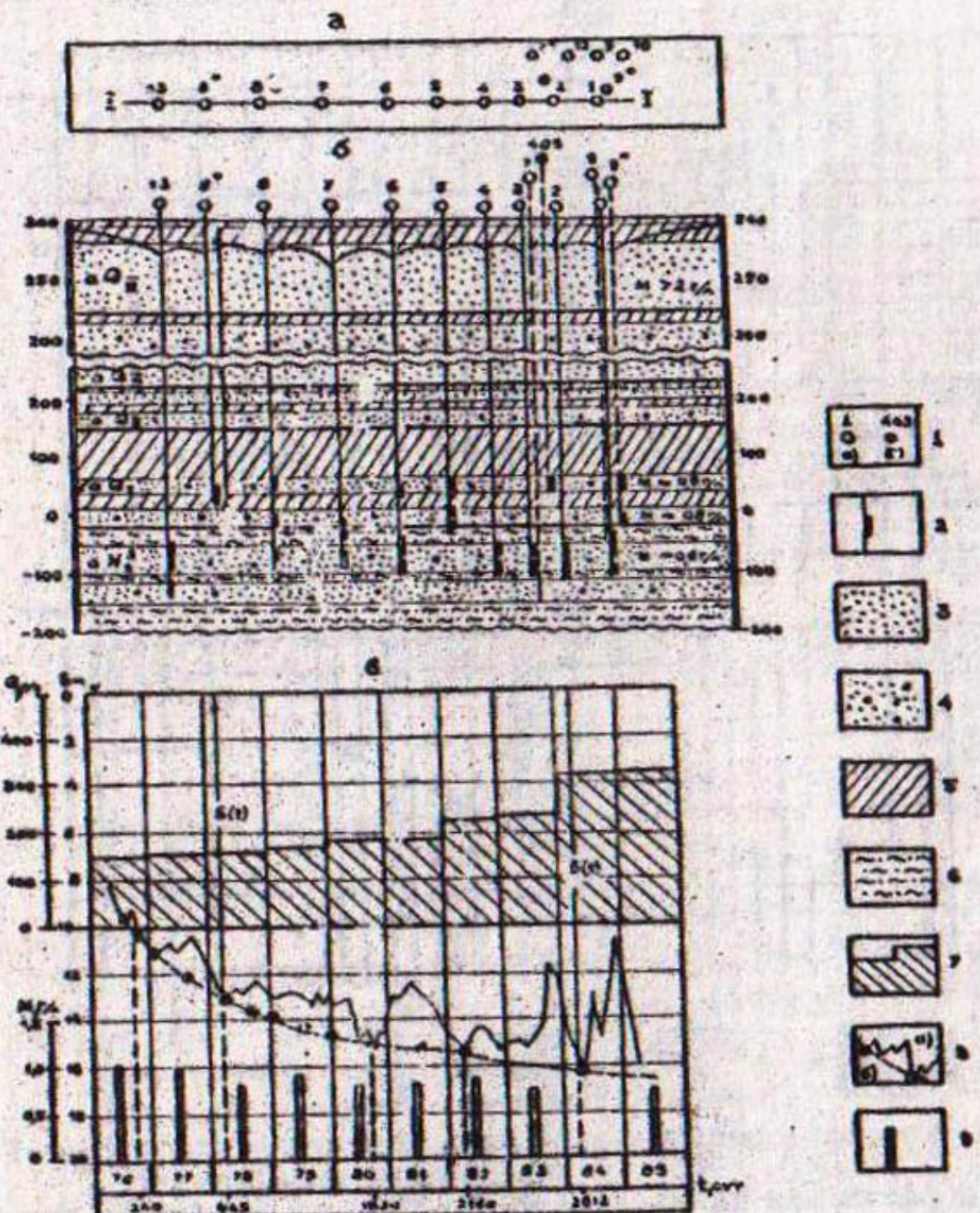


Рис. 31. План водозабора Г (а), разрез по линии I-I (б) и графики изменения расхода понижений уровня и общей минерализации (в), по данным И.И. Цхая. 1 - скважины: эксплуатационные (а) и наблюдательная (б); 2 - положение фильтра скважин; 3 - песок; 4 - песчано-гравийно-галечные отложения; 5 - суглинок; 6 - алевролиты и глины; графики: 7 - изменения расхода водозабора, 8 - фактический (а) и расчетный (б) понижения уровня, 9 - изменения общей минерализации.

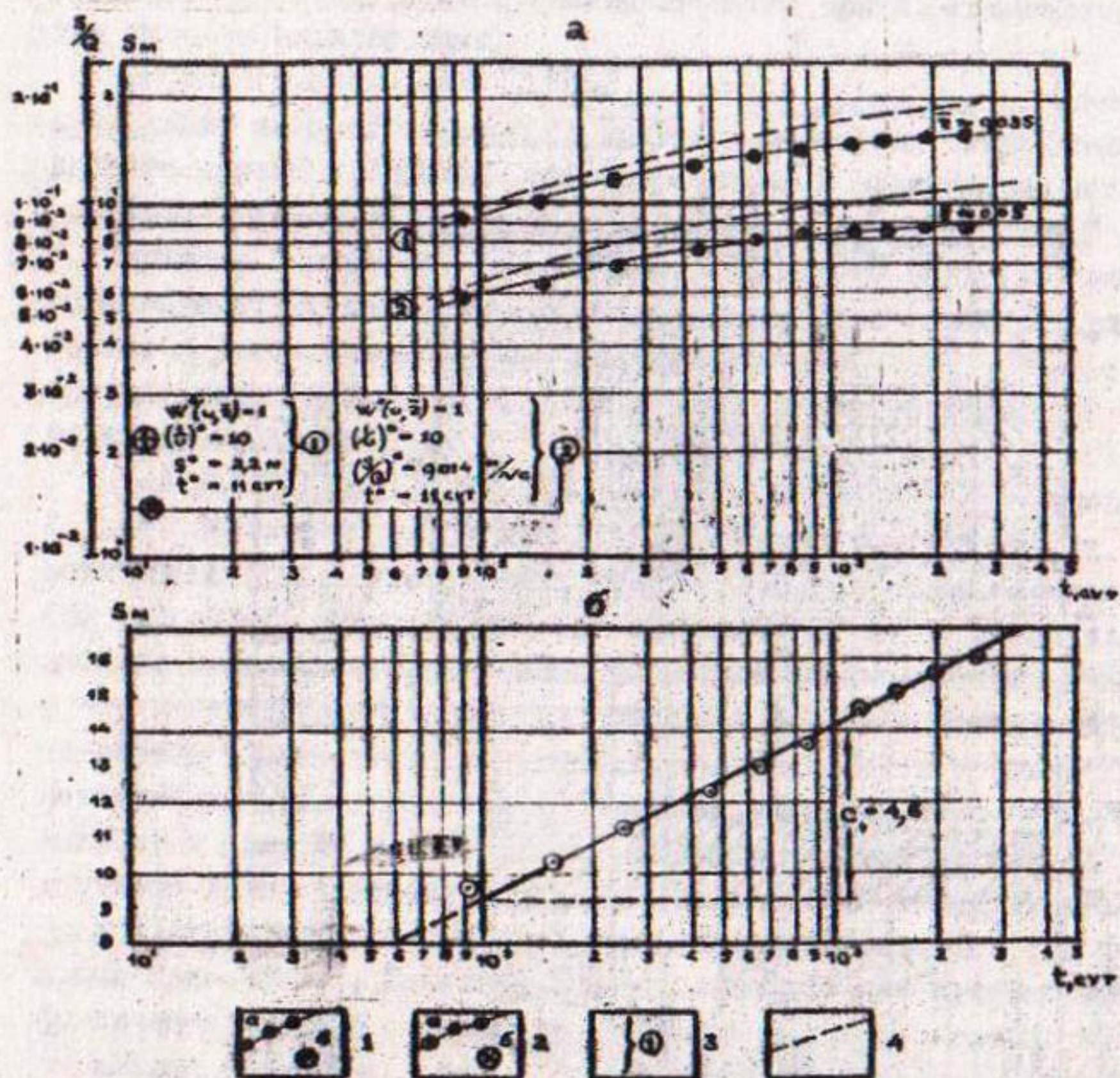


Рис. 32. Графики прослеживания зависимости по водозабору $\lg S - \lg t$ (а) и $S - \lg t$ (б). Точки графика зависимости: 1 - $\lg S - \lg t$ и расчетная точка, 2 - $\lg S/Q - \lg t$ и расчетная точка; 3 - координаты расчетной точки; 4 - положение эталонной кривой Тейса.

о распределении нагрузки на каждую скважину (что отражается на величине $\gamma_{\text{пр}}$) варьирует исходя из крайних значений $\gamma_{\text{пр}}$ от $2 \cdot 10^4$ до $2,4 \cdot 10^5 \text{ м}^2/\text{сут}$. Последняя цифра представляется наиболее реальной, но обоснованность ее очень низкая;

анализ графиков прослеживания уровня $PgS - Pg t$ (рис. 31, а) указывает на близость эксплуатируемого водоносного горизонта к напорному, что отражается в положении точек зависимости не-

Таблица 21

Результаты расчета параметров до водозабора Г

Номер	Средний расход погодозаборной смеси $Q_{\text{в}}$, $\text{м}^3/\text{сут}$	$\gamma_{\text{пр}}$, гравитация	Тип сеч.	$t, \text{сут}$	$K_{\text{П}} = \frac{\Omega_{\text{П}}(t)}{C(t)}$, $\text{м}^2/\text{сут}$	$Q = \frac{\tau^2 \cdot \text{ПР}}{2,25 t_0},$ $\text{м}^2/\text{сут}$	$B, \text{м}$	$K, \text{м}/\text{сут}$
40 ЗИ	$\frac{170}{14688}$	$\frac{295}{724}$	S- $\varrho g t$	4,6	-	-	-	-
40 ЗИ	$\frac{170}{14688}$	$\frac{295}{724}$	S- $\varrho g t$	I	515	$4 \cdot 10^4$ $2,4 \cdot 10^5$	-	-
Координаты расчетной точки								
					$\bar{w}^*, (\bar{x}, \bar{y})^0, S_0, S/\bar{A}, t_0,$	$K_{\text{П}},$ $\text{м}^2/\text{сут}$		
40 ЗИ	$\frac{170}{14688}$	$\frac{295}{724}$	$\varrho g S - \varrho g t$ I	II	2,2	532	$2 \cdot 10^4$ $1,18 \cdot 10^5$	$8428 \cdot 10^{-4}$ $20685 \cdot 1 \cdot 10^{-4}$
40 ЗИ	Переменный	$\frac{295}{724}$	$\varrho g S - \varrho g t$ I	II	0,014	491	$2 \cdot 10^4$ $1,18 \cdot 10^5$	$5900 \cdot 10^{-3}$ $14439 \cdot 1,82 \cdot 10^{-4}$

Примечание: величина $\gamma_{\text{пр}}$ при равномерной нагрузке на все скважины водозабора;

максимально возможная величина $\gamma_{\text{пр}}$ при основной нагрузке на дальние (относительно скв. 40 ЗИ) эксплуатационные скважины.

сколько ниже эталонной кривой Тейса и характеристикой кривых перетекания $\bar{\tau} = 0,035\text{--}0,05$. Неясность в величине $\bar{\tau}_{\text{ср}}$, накладывает и здесь неопределенность на параметр перетекания B и коэффициент фильтрации разделяющего слоя K' . Наиболее реальной представляется величина $K' = 1 \cdot 10^{-4}$ м/сут, которая отражает несущественность процесса перетекания из верхних горизонтов в эксплуатируемые, что подтверждается и характером изменения минерализации подземных вод в процессе эксплуатации (рис. 31, б).

4. Месторождение пресных подземных вод в верхнемеловых отложениях Приташкентского артезианского бассейна относится к месторождениям артезианских бассейнов геосинклинального типа и характеризуется:

приуроченностью к синклинальной структуре большой площади, осложненной серией складок более низкого порядка, являющихся результатом проявления тектонической раздробленности палеозойского фундамента многочисленными разрывными нарушениями;

блоковое строение бассейна отражается в глубинах залегания водоносного комплекса (от 1000 до 2500 м), изменения мощности водоносного горизонта в соответствии со структурами, что вызывает и изменение геофильтрационных параметров пласта и химического состава подземных вод;

бл�овое строение, отражаясь в величинах мощности и фильтрационных свойствах водоносного горизонта, однако, не вызвало разрыва сплошности водоносного комплекса, что позволяет рассматривать его (учитывая большую площадь распространения) как пласт неограниченного простирания;

избыточные напоры подземных вод — 150–200 м над поверхностью земли, воды термальные, температура — 50–70°, используются для бальнеологических целей и питьевого розлива.

Эксплуатация месторождения ведется в течение 35 лет. В 70-е годы, помимо 16 скважин курортных зон с общим расходом около 40 л/с, пробурено большое количество эксплуатационных, использующихся для питьевого и технического водоснабжения. Общее количество эксплуатационных скважин превысило 50. Суммарный расход эксплуатации, осуществляющей на самоизливе, дости-

гал в отдельные годы 250 л/с, затем сократился до 150 л/с (рис. 33).

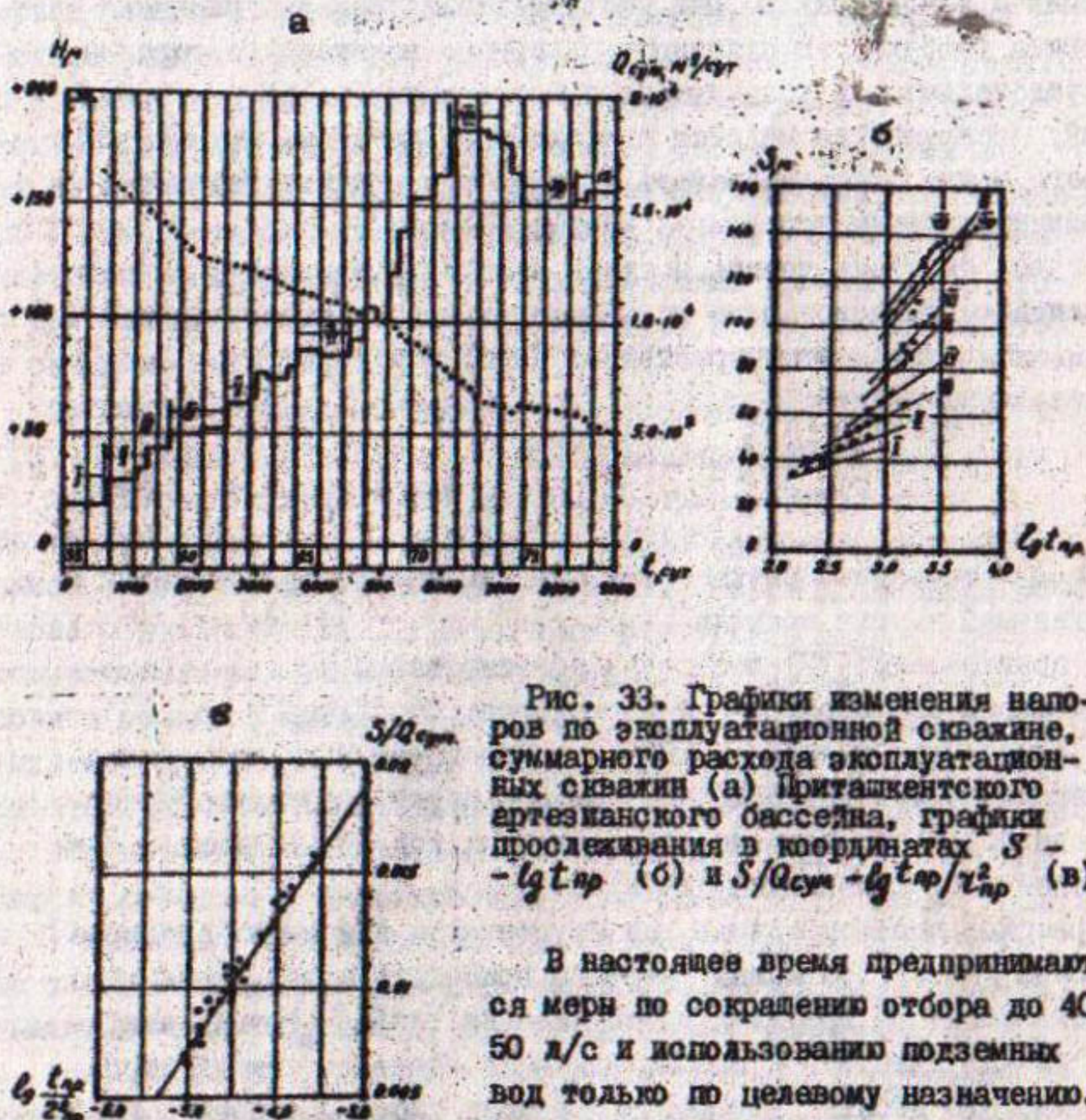


Рис. 33. Графики изменения напоров по эксплуатационной скважине, суммарного расхода эксплуатационных скважин (а) Приташкентского артезианского бассейна, графики прослеживания в координатах $S - \lg t_{np}$ (б) и $S/Q_{sum} - \lg t_{np}/\tau_{np}^2$ (в).

В настоящее время предпринимаются меры по сокращению отбора до 40-50 л/с и использованию подземных вод только по целевому назначению. Эксплуатация велась бессистемно по

всей площади месторождения как одиночными, так и групповыми водозаборами (2-4 скважины). Расходы значительно превышали эксплуатационные возможности горизонта, что привело к резкому падению напоров и сокращению расходов эксплуатационных скважин (рис. 33, а). Величина понижений по скважинам составила 100-150 м по сравнению с первоначально зафиксированными напорами. Наблюдательные скважины вследствие больших глубин залегания горизонта отсутствуют.

В основу расчета параметров взяты неполные сведения о расходах и напорах по эксплуатационным скважинам, времени их подключения в эксплуатацию. При расчете параметров учитывались следующие условия: эксплуатация напорного водоносного горизонта осуществляется в условиях упругого режима; пласт неограниченный; эксплуатация ведется с переменным дебитом, изменение которого можно схематизировать в виде ступенчатого графика с постоянным дебитом в пределах каждой ступени.

Процесс снижения уровня в одной из эксплуатационных скважин под влиянием разновременно подключаемых других эксплуатационных скважин описывается уравнением Тейса в логарифмическом представлении в виде:

$$S(t) = \frac{Q_{\text{сум.}}}{4\pi k t} \cdot \frac{2.25 \rho g t_{\text{пр}}}{t^2_{\text{пр}}}, \quad (77)$$

где $Q_{\text{сум.}}$ — суммарный расход всех скважин водозабора на рассматриваемый момент времени.

На зависимости (77) построены общеизвестные методы (способы) Джейкоба по определению параметров (Боревский и др., 1979; Мироненко, Шестаков, 1978). Метод временного прослеживания рекомендуется как основной для обработки результатов эксплуатации групповых водозаборов подземных вод при наличии наблюдательной сети (Шлотников, 1979).

В рассматриваемом случае при ступенчатом изменении суммарного дебита водозабора можно уверенно применять метод временного прослеживания. На графиках прослеживания $S - \rho g t_{\text{пр}}$ точки зависимости должны тяготеть к прямым линиям в пределах каждой ступени суммарного дебита, отражающего работу системы скважин, характеризующейся постоянной для нее величиной $\tau_{\text{пр}}$.

На графике $S|Q - \rho g t_{\text{пр}}$ также должны выделяться ступени понижения, но уже соответствующие различным значениям приведенного расстояния (при подключении новых скважин, отстоящих на значительном удалении от работающих). Причем линии на графике должны быть параллельны друг другу.

Июлючительный интерес представляет обработка данных на графике $S - \rho g t_{\text{пр}} | \tau_{\text{пр}}^2$, который по внешнему виду аналогичен гра-

фику комбинированного метода расчета параметров (Боревский и др., 1979), однако, по своей сути отличается от него. В первом случае анализируются изменения понижения во времени в наблюдательных скважинах, расположенных в зоне влияния откачки из одной опытной скважины, во втором – понижение в одной эксплуатационной скважине под влиянием отбора подземных вод как из этой, так и других эксплуатационных скважин, подключаемых в эксплуатацию в разное время. На графике $S - \rho g t_{\text{пр}} / \gamma_{\text{пр}}^2$ будет проявляться ступенчатость в изменении суммарного расхода при близких значениях $t_{\text{пр}}$ действующей в этот период системы скважин.

Построение графика зависимости в координатах $S / Q_{\text{сум}}(t) - \rho g \frac{t_{\text{пр}}}{\gamma_{\text{пр}}^2}$ приводит к сглаживанию положения точек зависимости, отражающего ступенчатое изменение суммарного дебита, и они должны стремиться к положению, легко аппроксимируемому прямой линией. Последующее проведение прямой, определение ее углового коэффициента (С) позволяют рассчитать гидрогеологические параметры по известным зависимостям. Приведем пример расчета по одной эксплуатационной скважине, работающей на самоизливе с расходом 4,0–2,0 л/с в течение более 30 лет. Понижение напора в скважине определяется не ее расходом, а суммарным расходом всех взаимодействующих скважин (рис. 33, а). На графике временного прослеживания в координатах $S - \rho g t_{\text{пр}}$ (рис. 33, б) при кажущемся на первый взгляд, бессистемном расположении точек зависимости довольно четко выявляется ряд ступеней понижения, соответствующих различным этапам изменения расхода, возраставшего с подключением новых скважин. В пределах каждой ступени наблюдается прямолинейная зависимость $S - \rho g t_{\text{пр}}$, что позволило провести расчеты параметров по каждому выделенному этапу (табл. 22).

При обработке результатов на графике $S(t) / Q_{\text{сум}}(t) - \rho g \frac{t_{\text{пр}}}{\gamma_{\text{пр}}^2}$ (рис. 33, в) точки зависимости тяготеют к единой прямой, что позволяет рассчитать параметры. При расчетах пренебрегли влиянием термодифта и сопротивлением труб ввиду частичной их взаимокомпенсации и несущественной абсолютной величины определяемых ими дополнительных понижений напора (первые метры) по

Таблица 22

Результаты расчета гидрологических параметров

Тип застройки	Этаж отбора	$Q_{сум.}$, $m^3/сут.$	C	A	$\eta_{пп.}$, $m^2/сут$	$\alpha,$ $m^2/сут$	$K_{пер.}$, $m^2/сут$	$\alpha_{ср.}$ $m^2/сут$
По данным эксплуатации								
I	2857	11.0	9.5	30.9	3.2 · 10 ⁵			
II	2997	18.0	4.5	30.46	8.1 · 10 ⁵			
III	4500	25.0	9.5	32.96	7.8 · 10 ⁵			
IV	5100	30.1	23.0	31.1	7.6 · 10 ⁵			
V	7700	43.8	58.0	32.76	7.6 · 10 ⁵			
VI	8500	48.0	67.0	32.4	1.23 · 10 ⁶			
VII	17933	91.0	180.0	36.06	1.3 · 10 ⁶			
VIII	15021	16.0	32.0	36.16	1.86 · 10 ⁶			
IX	15705	80.0	146.0	35.92	1.5 · 10 ⁶			
X	-	-	-	0,0061	0,0378	30,0	7.1 · 10 ⁵	30,0
По данным разведки								
S - $\rho g t_{np}$	-	-	-	-	-	-	6 · 1 · 10 ⁵	34,6
S - $\rho g t$	1382,4	3,26	25,3	33,7				
S - $\rho g \frac{t}{T+t}$	1382,4	3,08	25,0	35,5				

сравнению с общим снижением напора, достигшего 150 м. При таких понижениях ошибка в определении параметров не превышает 5% и уменьшается с их увеличением. Положительной стороной применения методов в условиях эксплуатации является возможность определения коэффициента пьезопроводности, что невозможно при выпусках из отдельных эксплуатационных скважин. Рассчитанные по данным эксплуатации параметры можно считать достоверными, что подтверждают величины параметров, полученные по результатам опытных работ (табл. 22).

Аналогичные расчеты выполнены по восьми эксплуатационным скважинам, имеющим цикл режимных наблюдений, что позволило уточнить параметры, которые были положены в основу фильтрационной схемы модели, обосновавшей оптимальный режим эксплуатации месторождения и прогноз изменения напоров по эксплуатационным скважинам.

ГЛАВА 7. ОСНОВНЫЕ ТРЕБОВАНИЯ К ПРОВЕДЕНИЮ ОПЫТНО-ФИЛЬТРАЦИОННЫХ РАБОТ (ОФР)

Под опытно-фильтрационными работами в данном случае мы имеем в виду опытные откачки, которые входят в комплекс гидрогеологических исследований на месторождениях подземных вод, разведуемых для водоснабжения.

Опытные откачки проводятся с целью выявления водообильности водоносных толщ, горизонтов, пластов (структурно определяющих строение МПВ), для определения гидрогеологических параметров (K , K_{tp} , a , μ^* , μ , B , K_p , ΔL), структуры питания и, в конечном итоге, для оценки эксплуатационных запасов подземных вод (расчет соответствующей схемы водозабора) в пределах месторождений (или его участка). Величина эксплуатационных запасов прямо зависит от гидрогеологических параметров, так как эксплуатационные запасы по своей физической сути слагаются из всех видов ресурсов подземных вод (естественных, антропогенных и привлекаемых) и емкостных запасов, "привязанных" через параметры и граничные условия к конкретной выбранной схеме водозабора. Поэтому правильное определение гидрогеологических па-

метров является залогом объективной оценки эксплуатационных запасов, а проведение опытных откачек – ответственнейшим видом полевых работ в общем комплексе исследований того или иного месторождения подземных вод. Качественное, грамотное выполнение откачек и аналогичная интерпретация их результатов являются творческим инженерным звеном исследований, которые на практике за последние годы (1985-1995 гг., введение хозрасчета, распад единой всесоюзной системы требований и т.п.), к сожалению, реализуются нередко формально, так как проведение откачек поручается слабо подготовленным техническим исполнителям. В результате ограхи дорогостоящих полевых исследований (которые невозможны восполнить на заключительном камеральном этапе) приводят к существенным ошибкам в оценке эксплуатационных запасов, т.е. в решении поставленной той или иной народнохозяйственной задачи.

В настоящем разделе не представляется возможным охарактеризовать даже основной ~~накопленный~~ имеющийся багаж по проведению ОФР и их интерпретации (для этого требуется отдельная подготовка специального, значительного по объему, методического руководства). Однако обобщение многолетнего опыта производственных подразделений (экспедиций) ГПП "Узбекгидрогеология" позволяет отметить ряд необходимых положений, недоучет которых может привести (и, к сожалению, приводит) к снижению качества и эффективности ОФР. Имеются в виду, прежде всего, кустовые откачки, при которых для расчетов параметров используются наблюдательные скважины.

I. Важное значение для целенаправленной откачки и ее обработки имеет четкое инженерное представление о расчетной гидродинамической схеме опробуемой водоносной толщи (пласта) уже на стадии проектирования работ (т.е. схема должна быть составлена и обозначена в проекте). Возможные расчетные схемы приведены в главе 5. Для их подтверждения в конкретном опыте необходима рациональная схема куста скважин, рекомендации по которой, а также конструкции опытной скважины и пьезометров, изложенные в работе (Сайдмурадов, Нагевич, 1989 г.), могут быть приняты за основу, но во избежание повторений здесь не приводятся. Отметим только, что при обосновании схемы следует учитывать динамичность

подземных вод в пласте, граничные условия, неоднородность пластов в разрезе, наличие дополнительных источников питания.

2. Для объективной (достоверной) оценки гидрогеологических параметров в главах 4 и 5 настоящей работы подробно рассмотрены и охарактеризованы гидродинамические особенности изменения уровня в ходе откачки (в соответствующих координатах) для всех указанных четырех схем. Вследствие водоотбора из опытной скважины в сфере ее гидродинамического воздействия на водоносный горизонт, в нем формируются понижения (воронки депрессии), фиксируемые в наблюдательных скважинах. Эти понижения в виде соответствующих построенных графиков характеризуют упругий, дежностационарный и упругопластический или гравитационный режимы водоотдачи пласта в процессе откачки. Поэтому достоверная фиксация понижений в опытной и наблюдательных скважинах, а также своевременное (в ходе откачки) построение графиков в необходимых полулогарифмических (или логарифмических) координатах являются важнейшим требованием для успешной оценки гидрогеологических параметров. Выбирая расчетные интервалы на графиках, необходимо пользоваться "гидрофильтрационными палетками" П.П.Нагевича, которые представляют собой совокупность теоретических кривых, полученных на основе решений Тейса, Хантуша-Джейкоба, Боултона.

Таким образом, осознанная инженерная обработка откачки в ходе ее проведения должна стать нормой и составной частью полевой документации (что пока не выполняется на практике).

3. Обобщение опыта исследований на МПВ Узбекистана свидетельствует, что для II, III и IV гидродинамических схем через 1-2 сут радиус квазистационарной зоны воздействия откачки может достигать 250-300 м. Поэтому во всех случаях необходима контрольная специальная наблюдательная скважина, характеризующая "естественный" режим изменения уровня подземных вод за пределами воронки депрессии на расстоянии 250-350 м от опытной. Наблюдения в этой скважине, как и по всей сети, должны начинаться за двое суток до начала откачки с частотой замеров 3-4 раза в сутки, а затем продолжаться во время откачки и восстановления с частотой один замер через 1-2 ч и завершаться через двое

суток после окончания периода восстановления уровня в опытной и наблюдательной скважинах опытного куста. На приречных участках обязательны наблюдения за уровнем поверхностных вод в водотоках (речные посты), водопроявлениях, зонах выклинивания с частотой замеров, равной замерам в скважинах опытного куста (один замер через каждые 1-2 ч). Все точки замеров немедленно наносятся на первичный полевой график, составляемый отдельно для каждой скважины и речных постов. Один-два раза в сутки осуществляется контрольный замер по всем пунктам наблюдений, о чем делается соответствующая запись в первичном полевом журнале откачки; один раз в сутки - контрольный замер глубины наблюдательных скважин (чтобы своевременно обнаружить процессы их "затопления", если таковые проявятся по тем или иным причинам).

4. Продолжительность откачек для определения гидрогеологических параметров специально обосновывается проектом работ с иллюстрацией по объекту-аналогу, так как изученность МПВ Узбекистана вполне позволяет это сделать. Всегда следует помнить, что в настоящее время опытная откачка является дорогостоящим видом работ. Обобщение имеющихся данных показывает, что для получения убедительных результатов продолжительность собственно откачки должна составлять 4-5 сут. Дополнительно к этому требуются наблюдения за восстановлением уровня подземных вод в опытной и наблюдательных скважинах в течение 1,5-2 сут. Для напорных "изолированных" пластов (схема I) время убедительного выхода фактических понижений на соответствующие им теоретические зависимости составляет 5-6 сут.

Частота замеров уровня воды в скважинах в процессе откачки должна проводиться по следующей схеме: первые 5 мин. - через 1 мин., затем 10 мин. - через 2 мин., далее 30 мин. - через 5 мин., последующий 1 ч - через 10 мин., затем 3 ч - через 20 мин., 2 ч - через 30 мин., далее в течение оставшегося периода откачки - через 1-2 ч. Наблюдения за восстановлением уровня в скважинах ведутся в той же последовательности, т.е. первые 5 мин. - через 1 мин., 10 мин. - через 2 мин. и т.д.

5. Принципиальное значение имеет убедительная абсолютная величина "срезок" (понижений) в наблюдательных скважинах. Опыт откачек свидетельствует, что достоверные гидрогеологические па-

раметры определяются при "срезках" в удаленных наблюдательных скважинах не менее 0,5-0,6 м. Средства откачки (насосное оборудование, эрлифтные установки и т.п.) должны подбираться (исходя из известной удельной водообильности пластов) с таким расчетом, чтобы обеспечить указанные значения понижений.

6. Аппаратура для замеров уровня и дебита подбирается с учетом имеющихся присоров, конструкций опытной и наблюдательной скважин, глубины до уровня воды и величины ожидаемого дебита. Допускается применение приборов, обеспечивающих точность замера уровня до 1 см и дебита - до 2-3%. Очередность замеров уровней воды в скважинах куста должна быть постоянной. Измерение расхода откачиваемой воды производится в те же сроки, что и замер уровня воды в скважинах. Откачиваемая вода должна отводиться по водоводам на расстояние, исключающее фильтрацию и повторную "перекачку" воды.

7. Участок откачки должен иметь топографическое обеспечение (особенно при работе в приречных зонах); скважины и рейки закрепляются нивелированием вдоль наблюдательных линий.

8. Подробный перечень необходимых мероприятий на различных стадиях опытного опробования (предполевая, полевая, камеральная), обеспечивающих полное решение поставленной задачи, приведен в главе 5. Подчеркнем особую важность гидрогеологического обследования перед началом и в процессе опыта, которое должно зафиксировать изменение гидрогеологических условий в области влияния откачки и уточнить расчетную гидродинамическую схему. Обязательным оно представляется при откачках из беззапорных пластов.

9. Конструкции скважин должны обеспечивать отсутствие перетекания вдоль обсадных колонн. Наличие такого перетекания приводит к искажениям и браку результатов откачки, что исключает возможность получения убедительных и однозначных параметров. Перечисленный минимум требований не следует рассматривать как исчерпывающий. Однако анализ опыта проведения откачек свидетельствует, что наиболее часто ошибки полевых ОФР происходят по указанным причинам.

ГЛАВА 8. ГЕОФИЛЬТРАЦИОННАЯ СТРУКТУРА ОСНОВНЫХ ТИПОВ МПВ УЗБЕКИСТАНА

Широкие речные долины (р.Чирчик)

Характеристика МПВ. Чирчикское месторождение подземных вод (рис. 34) приурочено к аллювиальным галечникам четвертичного возраста и только в нижней части долины - к верхненеогеновым аллювиальным галечникам и пескам. Мощность водоносных отложений возрастает от верховьев долины (г.Газалкент) до р.Сырдарьи. В верхней части водоносные галечники с песчано-гравийным заполнителем, представляющие основной продуктивный горизонт МПВ, относятся к современным и верхнечетвертичным отложениям и подстилаются средне - нижнечетвертичными плотными, крепкими конгломератами на песчано-известковистом цементе. Общая мощность не превышает 20 м. В средней и нижней частях долины в верхней толще водоносных галечников с песчано-гравийным заполнителем появляются маломощные прослои конгломератов, и мощность горизонта увеличивается до 50-80 м. Подстилающие конгломераты (Q_{II}) расщепляются на отдельные слои и постепенно выклиниваются с замещением на галечники с песчано-суглинистым заполнителем. В нижней части в разрезе водоносного горизонта увеличиваются количество отдельных прослоев и линз суглинков и содержание глинистых частей в заполнителе.

Питание продуктивного водоносного горизонта осуществляется за счет естественных и антропогенных ресурсов (гидрогеологические, климатические, ирригационные), которые способствуют формированию сложившихся запасов МПВ, проявляющихся в виде существенного объема емкостных запасов, естественного потока подземных вод, разгрузки в дрены, коллекторы и испарения с поверхности зеркала подземных вод.

Особенности проявления снижения уровня при откачках и их интерпретации. Графики прослеживания понижения S во времени $\log t$, построенные по данным опытно-фильтрационных работ по более чем 150 разведочным скважинам для месторождения долины р.Чирчик, характерны для безнапорного водоносного горизонта (схема Ш, рис. 19).

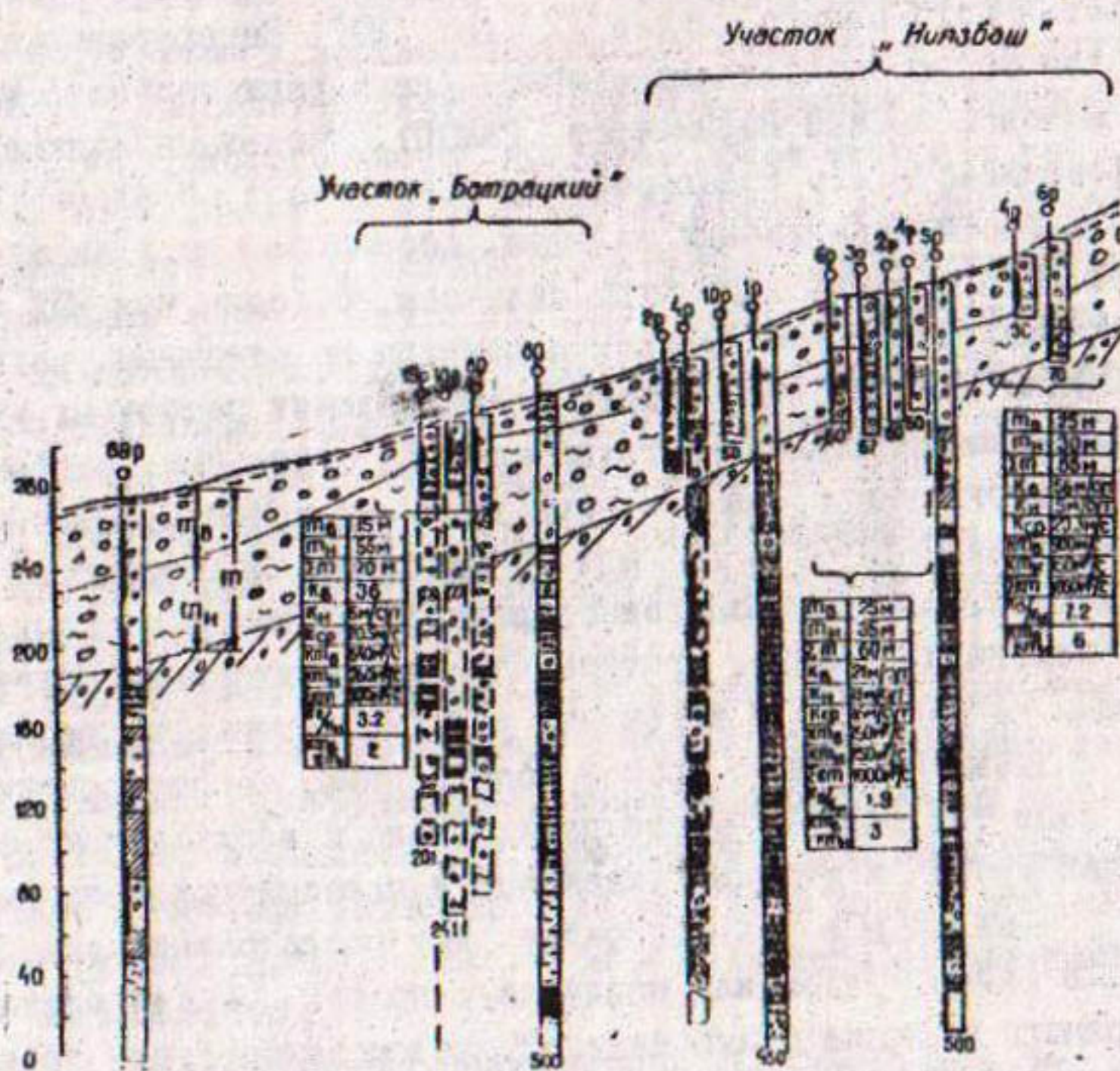
По скважинам, находящимся около реки, проявляются четыре этапа: упругий, должностационарный, гравитационный и стационарный режимы. Как правило, эти этапы хорошо выражены по ближайшим к опытной наблюдательным скважинам, менее четко проявляется первый этап по удаленным от опытной скважины пьезометрам. По кустам, где в начальный период не проводились учащенные замеры откачки и восстановления, пропущен первый этап упругого режима, и графики прослеживания отражают процесс снижения уровня лишь в пределах последующих трех этапов.

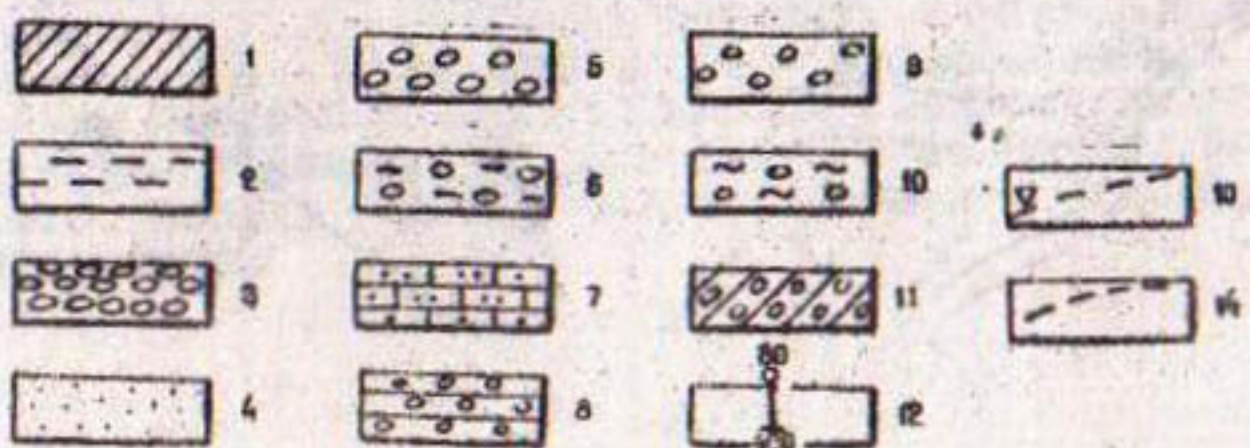
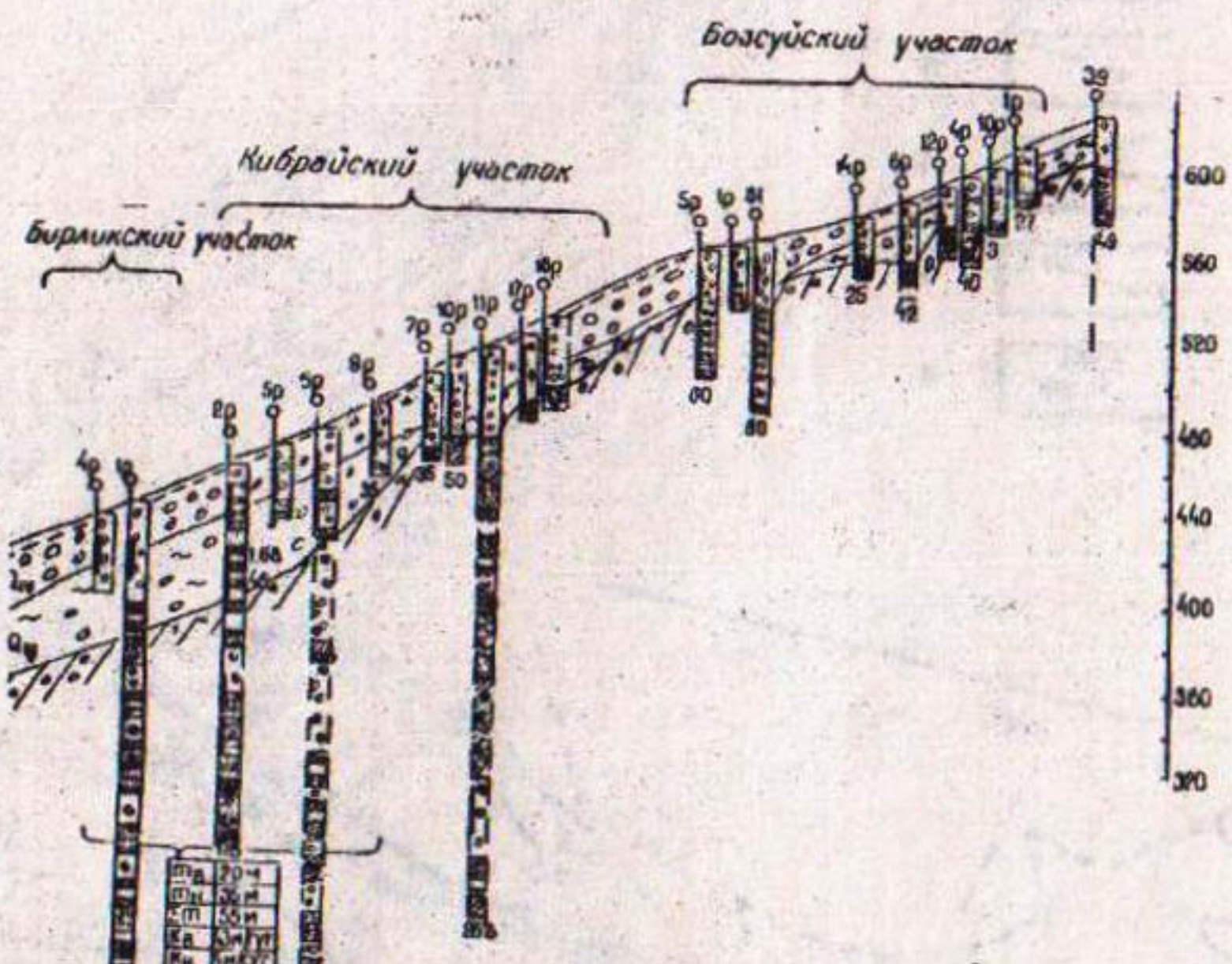
В целом типовые графики приречных скважин свидетельствуют о полной идентичности опробуемого водоносного горизонта с границей постоянного напора (схема IУ, рис. 20). Интерпретация результатов ОФР производилась с применением рационального комплекса методов оценки параметров (РКОП). Расчетами подтверждена эффективность его использования совместно с обобщающим методом гидрогеофильтрационных палеток, обоснованного в настоящей работе. Убедительные параметры получены по более чем 80% опытных откачек. Менее убедительны параметры по откачкам, когда при диагностике индикаторных кривых и определении расчетных участков возникают определенные трудности. По отдельным, особенно приречным, скважинам, на конечных участках кривых (ориентировочно со времени $2 \cdot 10^3$ и $4 \cdot 10^3$ мин.), выходящих на четвертый этап стабилизации, наблюдаются волнообразные, а иногда и скачкообразные изменения уровня. Причины подобных отклонений могут быть различны, но основная - изменение условий питания на границах:

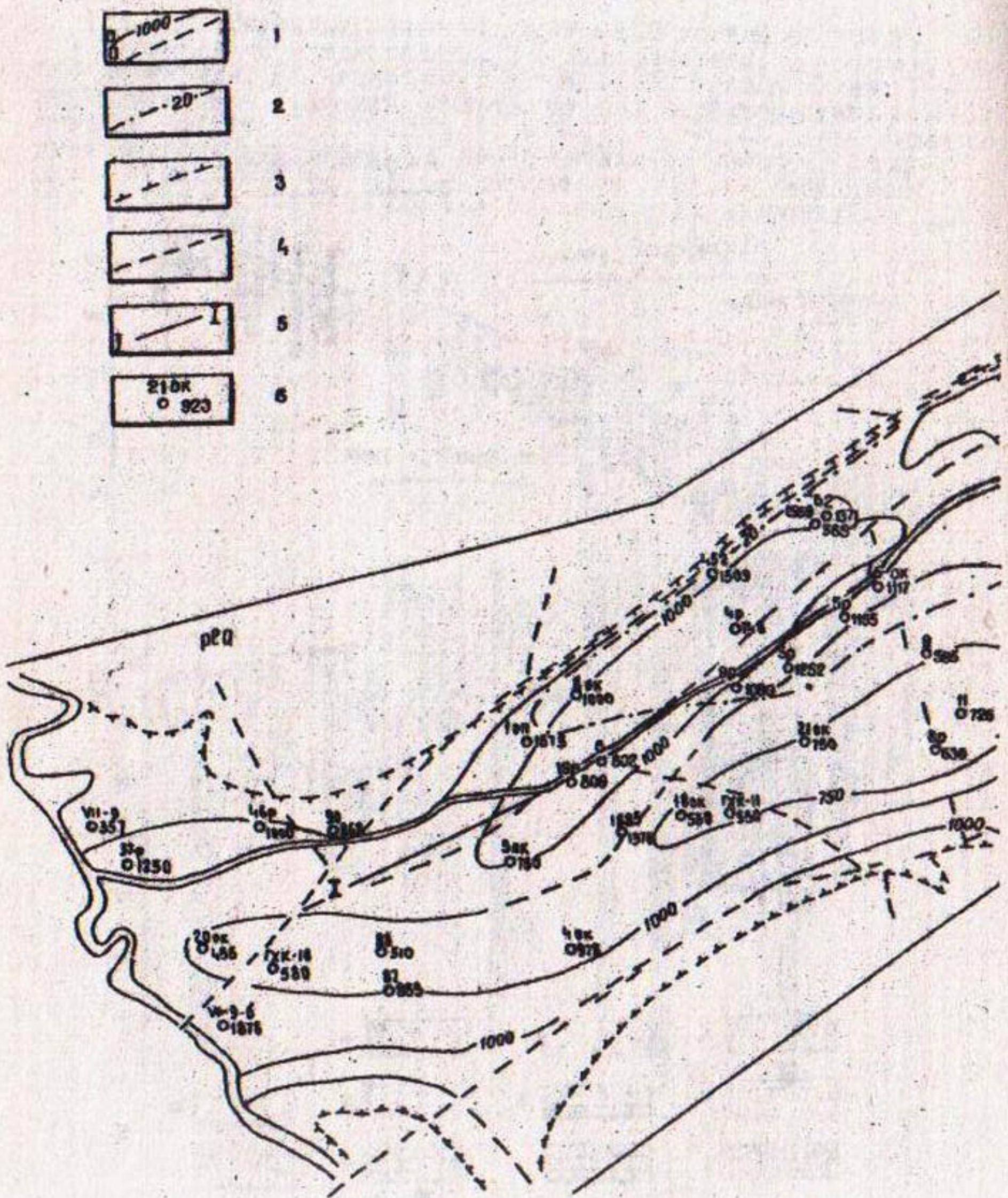
при подъеме или спаде уровня воды в реке, хорошо подтверждаемых в ходе тех опытов, когда параллельно с наблюдениями за изменениями уровня в опытных скважинах и пьезометрах проводились замеры уровня воды в реке по рейке; при расположении опытных скважин в лойме, рядом или между двух проток - это влияние двух границ, сначала более близкой, затем дальней или прекращение пропуска воды по однм из речных протоков.

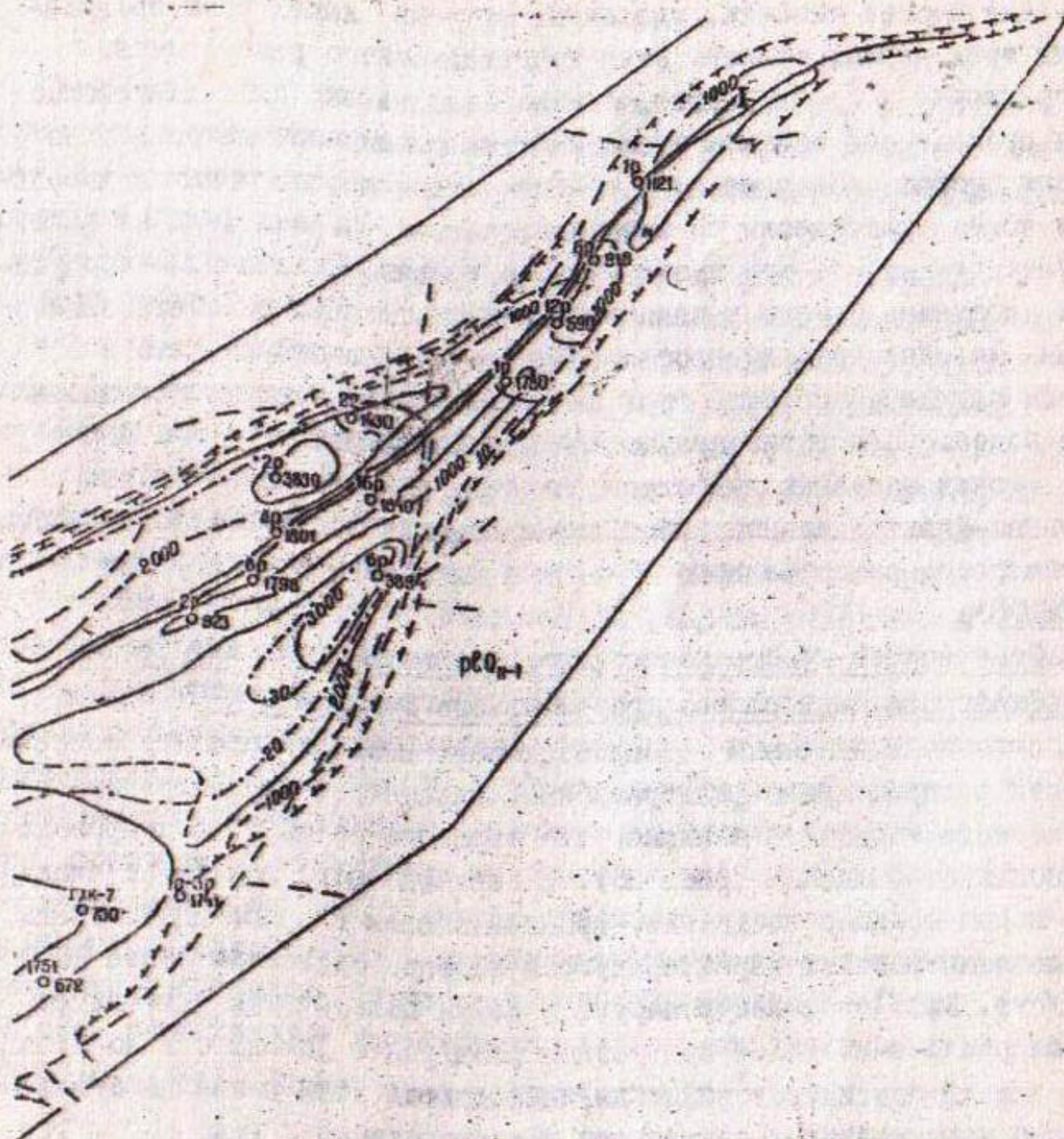
Встречаются примеры проведения откачек сначала в условиях питания, а затем - его отсутствия, когда происходит отрыв уровня подземных вод от уровня воды в протоке, или примеры осушения в ходе снижения уровня при откачке верхней, наиболее проницаемой, части разреза.

Рис. 34. Геофильтрационный разрез МПВ долины р.Чирчик.
 1 - суглиники; 2 - алевролиты; 3 - конгломераты; 4 - пески;
 5 - галечники; 6 - галечник с суглинистым заполнителем; 7 -
 песчаники; 8 - гравелит. Фильтрационная характеристика от-
 ложений, м/сут: 9 - 20-100; 10 - 5-10; 11 - 1-5. 12 - сква-
 жина разведочная: вверху - номер скважины, внизу - глу-
 бина скважины, м. 13 - положение уровня подземных
 вод от п/з, м; 14 - линии зон тектонических нарушений.









Для кустов скважин, удаленных от реки, характерны проявления трех первых этапов. Этап гравитационного режима имеет стремление к стабилизации, однако, в пределах продолжительности проведенных откачек выход на этап стационарного режима по всем кустам наблюдается не всегда. Этапы прослеживаются довольно четко практически по всем пьезометрам. Первый этап не фиксируется только по тем кустам, где в процессе опыта были пропущены учащенные замеры в начальный период откачки и восстановления. Типовые графики прослеживаний свидетельствуют, что и в этом случае опробуемый горизонт соответствует схеме безнапорного водоносного горизонта, неограниченного в плане (схема Ш, рис. 19).

Расчет основных гидрогеологических параметров по данным опытно-фильтрационных работ также показал высокую эффективность применения рационального комплекса методов оценки параметров (РКОП).

Особенности пространственного распространения параметров и геофильтрационный разрез продуктивного горизонта МПВ. Анализ рассчитанных значений водопроводимости позволил выявить особенности распределения фильтрационных параметров продуктивного водоносного горизонта в плане, что отражено на карте водопроводимости месторождения (рис. 36). В верхней части долины отмечаются и далее, вниз по долине, прослеживаются два палеорукава реки, отложения которых характеризуются водопроводимостью более $1000 \text{ м}^2/\text{сут}$. Этот блок контролируется двумя поперечными тектоническими разломами. Далее при резком расширении долины с 7 до 24 км, в средней части месторождения, наблюдаются зоны развития отложений с максимальными значениями водопроводимости – до $4000 \text{ м}^2/\text{сут}$ как в пределах левобережья, так и правобережья. Граница их распространения в плане также фиксируется поперечным тектоническим разломом. Ниже створа Сергели ширина развития водоносного горизонта постепенно уменьшается до 15–16 км. Здесь, в основном, преобладают отложения с водопроводимостью менее $1000 \text{ м}^2/\text{сут}$ (порядка $500\text{--}700 \text{ м}^2/\text{сут}$), и прослеживается несколько палеорукалов более проницаемых отложений. Современное русло р. Чирчик контролирует полосу развития отложений с водопроводимостью $1000\text{--}1800 \text{ м}^2/\text{сут}$.

Таким образом, общей закономерностью для долины р.Чирчик является увеличение проницаемости сверху вниз по долине с максимумом в ее средней части, а затем – уменьшение проницаемости в нижней части долины.

Предпосылка о вертикальной изменчивости фильтрационных свойств и зависимости проницаемости аллювиальных отложений от времени их формирования хорошо подтверждается данными опытных откачек и определений коэффициентов фильтрации аллювиальных отложений разного возраста, что отражено на продольном геофильтрационном разрезе долины р.Чирчик (рис. 35). Так нижне-среднечетвертичные отложения характеризуются K_f от 1 до 5 м/сут, верхнечетвертично-современные – от 5-10 до 20-100 м/сут.

Детально анализируя литологические разрезы разведочных скважин, вскрывающих отложения продуктивного горизонта МПВ в увязке с электрическими характеристиками ρ_k и изменениями водообильности отложений по глубине, находим, что он может быть подразделен на два слоя. На графиках распределения значений удельных дебитов и глубины расположения фильтров опытных скважин, построенных по каждому из участков разведки в пределах месторождения (рис. 36), хорошо отбивается верхний слой галечников мощностью 15-25 м, характеризующийся высокими фильтрационными свойствами. Удельные дебиты колеблются от 15 до 25 л/с, рассчитанные коэффициенты фильтрации верхнего слоя от 20 до 45 м/сут. Нижний слой верхнечетвертичных галечников мощ-



Рис.36. Интегральный график изменения водообильности отложений МПВ долины р.Чирчик с глубиной: У – Уртааул; А_Б – Алмазар (Батрацкий); А_Н – Алмазар (Ниязбаш); Ч – Чигурик; К – Кибрай; С – Сергели; Б – Бирлик.

нностью 30–40 м, в разрезе которого появляются прослои конгломератов, менее проницаем. Суця по расходам скважин, оборудованных на данные отложения и не превышающих 10 л/с, коэффициенты фильтрации галечников варьируют от 5 до 10 м/сут.

Соотношение водопроводимости верхнего и нижнего слоев составляет 5:1 или 6:1 в средней части долины, уменьшаясь к нижней части МПВ до 2:1 или 3:1. Таким образом, по МПВ долины р.Чирчик можно сделать следующие выводы.

1. Геофильтрационный разрез продуктивного водоносного горизонта является двухслойным с максимальными коэффициентами водопроводимости верхнего высокопроницаемого слоя (1000–1500 м²/сут) и меньшими нижнего (200–500 м²/сут). Водоупором являются практически непроницаемые конгломераты на известковистом цементе и слабопроницаемые суглинки (в нижней части долины). Эта макронаеоднородность пласта в разрезе должна учитываться при оценке эксплуатационных запасов.

2. Особенности пространственного распределения геофильтрационных параметров подтверждают возможные общие закономерности формирования фильтрационных свойств водоносных пластов, определяемых неотектоникой района в период образования отложений и обусловленных ею фазами динамического развития долины. Они отражаются в перстративном облике отложений верхнего слоя (фаза равновесия), перстративно-констративном нижнего слоя продуктивного пласта (равновесно-аккумулятивная фаза) и преимущественно в констративном облике подстилающих продуктивный пласт отложений относительного водоупора (преобладание аккумулятивной фазы).

Узкие речные долины (р.Санзар)

Характеристика МПВ. Долина р.Санзар на участке пролила палеозойских образований – своеобразный гидрогеологический район, в пределах которого формируются грунтовые воды, тесно связанные с поверхностными. Водонасыщенными отложениями здесь являются аллювиально-проливные галечники ташкентского и голодно-степского комплексов, а непосредственно в русле р.Санзар – сов-

ременные галечники и пески. Мощность галечников, образующих единый гидравлически связанный водоносный горизонт, изменяется от 18 до 40 м. С поверхности толща перекрыта суглинками мощностью от 1 до 10 м. Подстилаются галечники отложениями неогена (частично), а в основном залегают непосредственно на P_7 . Воды, приуроченные к отложениям Q_{III} и Q_{II} , изкаляются за счет речного стока, а также потоков, сбрасывающих дождевые и талые воды с горных склонов и, частично, за счет инфильтрации аткосферных осадков. Кроме того, в питании участвуют трещинные воды, выходящие в нижней части склонов долины р. Санзар. Расходятся подземные воды, в основном, на подземный отток в сторону конуса выноса и, частично, на пополнение поверхностного стока р. Санзар (участки сужения долины). Водообильность галечников характеризуется удельными дебитами от 1 до 34 л/с. Водоносный горизонт распространяется в ширину от 0,3 до 2 км. Уровень воды на глубине 1,6-28,2 м.

Особенности проявления снижения уровня при откачках и их интерпретации. Проанализированы все одиночные, кустовые и групповые откачки, проведенные в долине с 1957 по 1986 г. Построенные в координатах $S - \log t$ индикаторные графики хода откачек показывают следующее.

Выделяемые этапы снижения уровня характеризуют тип водоносного горизонта как безнапорный. До Тамерлановых ворот р. Санзар играет роль границы I рода, ниже Тамерлановых ворот – II рода. I этап упругого режима на всех графиках прослеживания либо отсутствует, либо проявляется очень слабо. Его продолжительность – от первых до 40 мин. Наиболее четко выделяются: второй – ложностационарный и третий – гравитационный этапы. На этих этапах по данным кустовых откачек применен "национальный" комплекс методов оценки параметров, позволяющий ограничить разброс цифр и выйти на близкие к достоверным величины параметров опробуемой водоносной толщи. Продолжительность третьего этапа – до $2 \cdot 10^3$ мин. По отдельным скважинам при большей продолжительности опытных откачек наблюдается выход понижений на четвертый этап стабилизации уровня. Эти участки трудно диагностируются, так как кривые имеют волнообразный характер з

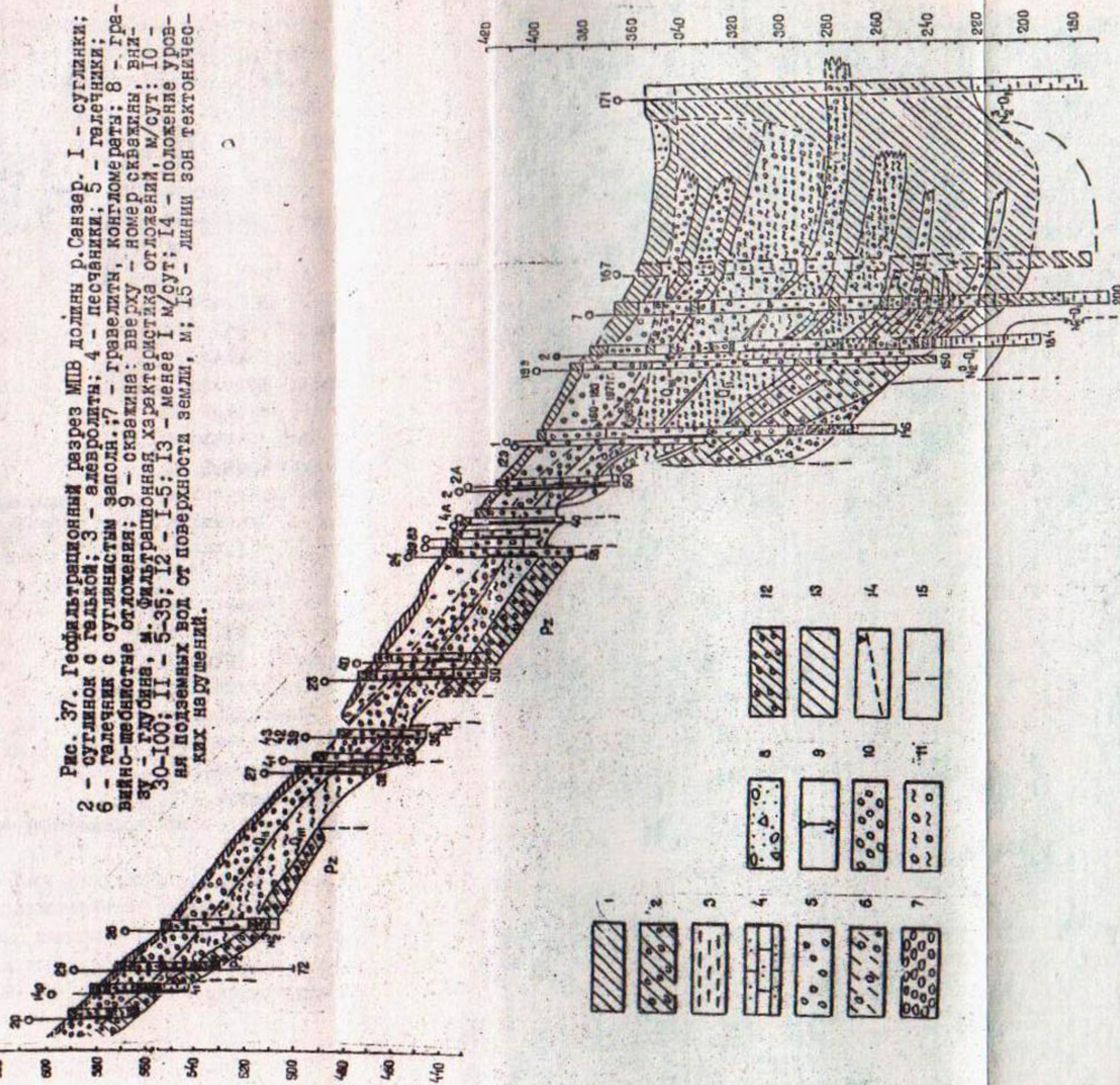
связи со спадом и подъемом уровня воды в р.Санзар.

По данным понижений в одиночных скважинах при установившемся режиме фильтрации выполнены расчеты по формуле Дюпай, а также методом временного прослеживания. Таким образом, были интерпретированы все данные ОФР, что позволило определить фильтрационные показатели водоносной толщи четвертичных отложений долины р.Санзар и рассмотреть особенности распределения фильтрационных параметров в разрезе.

Особенности пространственного распределения параметров и геофильтрационный разрез продуктивного горизонта МПВ. По профилю, расположенному вдоль долины р.Санзар (рис. 37), установлены закономерности изменения фильтрационных свойств отложений по глубине. Одним из косвенных признаков, позволяющих провести условную границу между хорошо и плохо проницаемыми отложениями, является литолого-фашиальный фактор. Галечники современного и верхнечетвертичного возраста, к которым приурочен поток грунтовых вод, имеют в основном песчано-гравийный заполнитель, а гравийно-суглинистый заполнитель встречается в нижней части разреза. Мощность водоносного слоя в вертикальном разрезе нарушается прослойми суглинков (1-3 м), которые проявляются преимущественно с глубины 15-17 м. Эта выявленная закономерность подтверждается анализом значений электрических сопротивлений пород (по данным каротажа). В верхнем слое галечников они изменяются от 100 до 180 Ом·м, в нижнем - от 210 до 250 (иногда до 400 Ом·м), а подстилающих их конгломератах (ориентировочно средне- и нижнечетвертичного возраста) составляют 800 Ом·м.

Относительную водообильность отложений в пределах МПВ характеризует зависимость удельных дебитов скважин с глубиной (рис. 38). На графике приведены и показатели водообильности отложений в пределах верхней части долины (до с.Галлаарал). Зависимость отражает фильтрационную неоднородность разреза аллювиально-проглациальных отложений, подтвержденную и рассчитанными значениями параметров. Так, верхняя часть разреза до глубины 20 м характеризуется самими высокими коэффициентами фильтрации (от 30 до 100 м/сут), в нижележащих отложениях до глубины 30-40 м K_f изменяется от 5 до 30 м/сут. Относительно сла-

Рис. 37. Геофльтрационный разрез МПВ долины р. Саназар. I - суглинки; 2 - суглинок с галькой; 3 - галька; 4 - пещерники; 5 - галечники; 6 - галечник с суглинистым заполн.; 7 - гравелиты; 8 - конгломераты; 9 - скважина: вверху - номер скважины; 10 - вязко-щебнистые отложения; 11 - грудини, м. фильтрационная характеристика отложений, м/сут: 30-100; 11-5-35; 12-1-5; 13-менее 1 м/сут; 14 - положение уровня подземных вод от поверхности земли, м; 15 - линии зон тектонических нарушений.



бопроницаемые отложения ташкентского комплекса имеют средние коэффициенты фильтрации менее 1-5 м/сут. Отношение водопроводимости верхнего и нижнего слоев составляет от 5:1 до 3:1.

Таким обра-

зом, по МПВ долины р. Санзар можно сделать следующие выводы:

I. Геофильтрационный разрез продуктивного водоносного горизонта является двухслойным с максимальными коэффициентами водопроводимости верхнего, высоко проницаемого, слоя ($800-1000 \text{ м}^2/\text{сут}$) и меньшими для нижнего ($200-400 \text{ м}^2/\text{сут}$). Водоупором являются слабопроницаемые конгломераты на глинистом цементе. Макропеоднородность пласта в разрезе должна учитываться при оценке эксплуатационных запасов.



Рис. 38. Интегральный график изменения водообильности отложений МПВ долины р. Санзар с глубиной.

2. Особенности распределения геофильтрационных параметров подтверждают выявленные общие закономерности формирования фильтрационных свойств водоносных пластов, которые определяются неотектоникой района в период образования отложений и фазами динамического развития долин. Они отражены в перстративном

облике отложений верхнего слоя (фаза равновесия), перстративно-констративном облике нижнего (равновесно-аккумулятивная фаза) и преимущественно констративном облике подстилающих продуктивный пласт отложений относительного водоупора (преобладание аккумулятивной фазы); наиболее четко проявляющихся на "мешкообразных" участках погружения палеозойского фундамента.

Межгорные впадины (Нуратинское МВ)

Характеристика МВ. Нуратинское месторождение подземных вод приурочено к водоносной толще аллювиально-пролювиальных отложений, разделяющейся на ряд водоносных комплексов, соответствующих геологическим эпохам осадкообразования: верхнеплиоценовый №³; нижнечетвертичный Q_I, среднечетвертичный Q_{II}, верхнечетвертичный и современный Q_{III-IV}. В пределах каждого водоносного комплекса выделяется до двух относительно выдержаных водоносных горизонтов, разделенных слабопроницаемыми пластами суглинков и алевролитов, но имеющих тесную гидравлическую связь между собой через литологические "окна". Питаются подземные воды, в основном, за счет потерь кратковременного поверхностного стока Биглярской и ряда мелких боковых саев в верхней и средней частях впадины.

Особенности проявления снижения уровня при откачках и их интерпретация. По результатам ранее проведенных опытно-фильтрационных работ по всем разведочным скважинам в пределах месторождения рассчитаны гидрогеологические параметры водоносных комплексов МВ. Обработка проводилась с применением рационального комплекса методов оценки параметров, позволяющего ограничить разброс цифр и выйти на близкие к достоверным величины параметров опробуемого пласта.

Анализ индикаторных кривых временного прослеживания $S-lgt$ и выделяемые по ним этапы снижения уровня показывают их принадлежность к водоносному горизонту, близкому к беззапорному. На основании разреза опробуемые горизонты являются квазинапорными с перетеканием через слабопроницаемые разделяющие слои из смежных интервалов при единой неоген-четвертичной водоносной

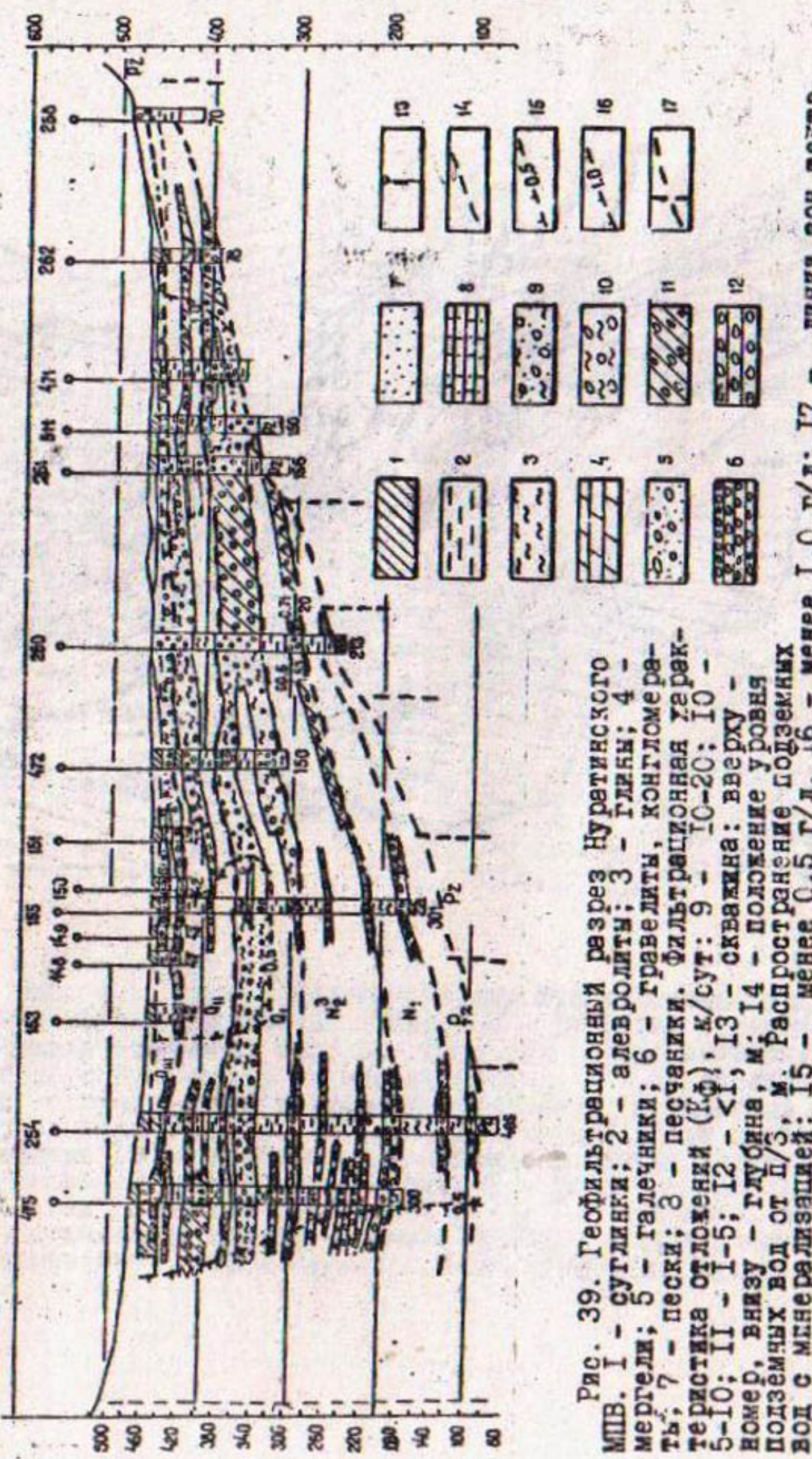
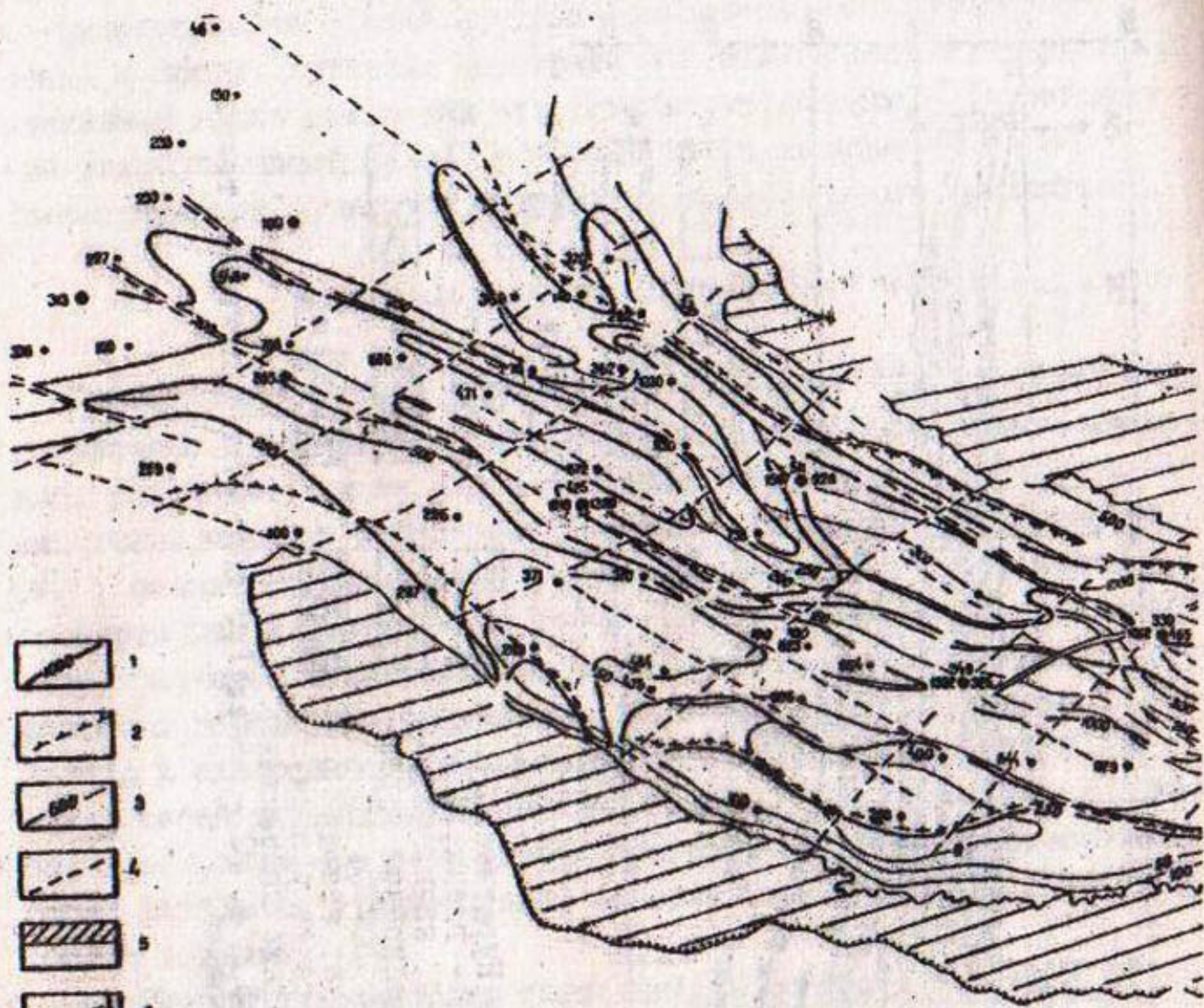


Рис. 39. Геофильтрационный разрез Нуратинского МПВ. 1 - суглиники; 2 - алевролиты; 3 - мергели; 4 - гравелиты, контломераты; 5 - гравелочки; 6 - гравелиты, песчаники; 7 - пески; 8 - галька; 9 - фильтрационная характеристика отложений (KФ), м/сут: 10 - T_1 -10; 11 - T_1 -5; 12 - T_1 , T_2 - скважина: вверху - водомер, внизу - грунтовые воды (well: top - water gauge, bottom - groundwater); 13 - положение уровня подземных вод с минерализацией (less than 5 g/l); 14 - расстояние от дна до зернистых вод с минерализацией (less than 1 g/l); 15 - глубина, м (depth, m); 16 - расстояние от дна до зернистых вод с минерализацией (less than 0.5 g/l); 17 - линия зон текто-нических нарушений (tectonic zones line) (по данным Е.Д. Карапеева).



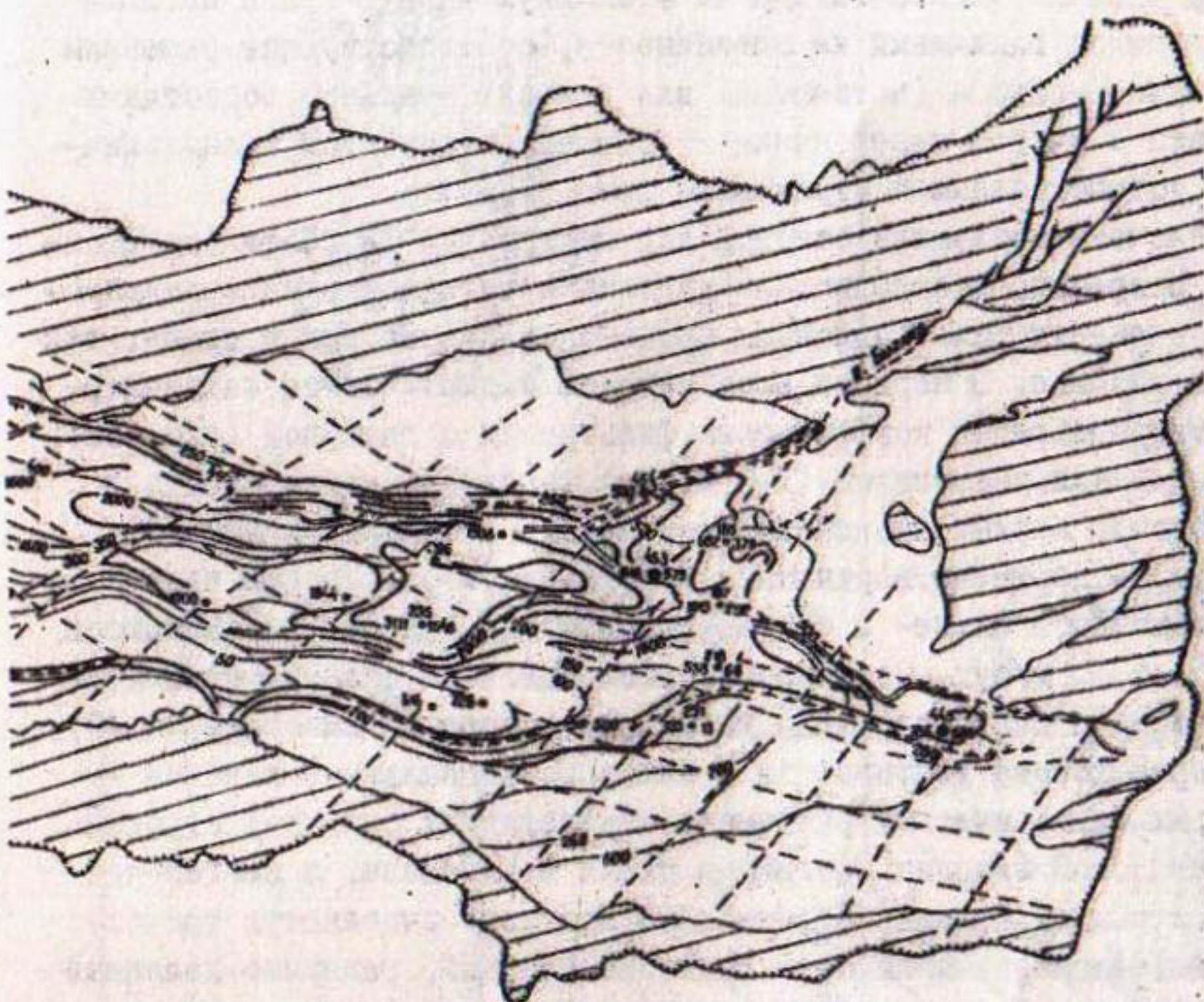
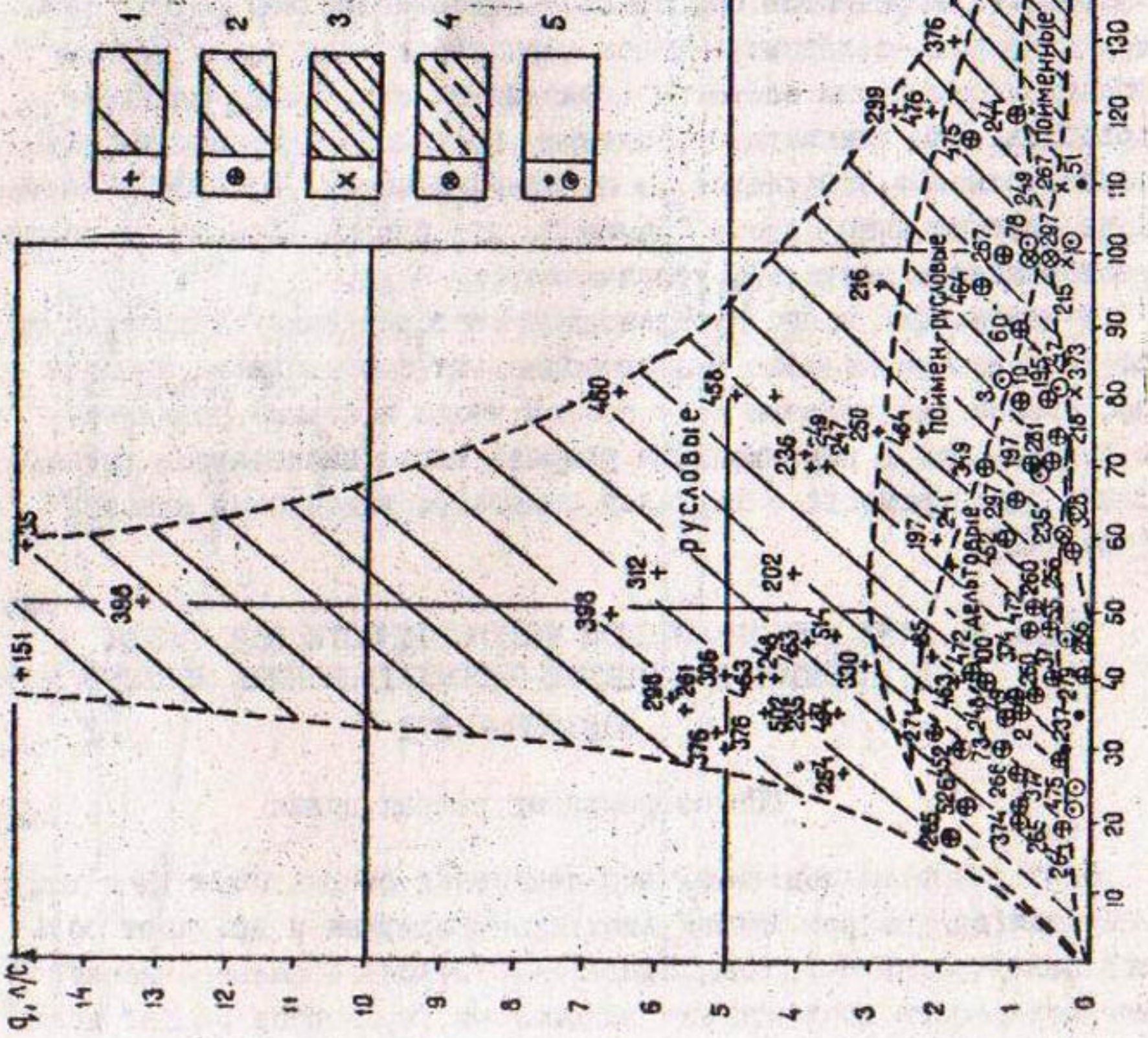


Рис. 40. Схема водопроводимости Нуратинского МВ. 1 - изолинии водопроводимости, $\text{м}^3/\text{сут}$; 2 - условная граница месторождения подземных вод; 3 - изолинии глубин залегания палеозойского фундамента (в абс. отметках); 4 - предполагаемые линии тектонических нарушений (разломов), активность которых проявлялась в верхнеплиоцен-четвертичные эпохи с амплитудой смещения 100 м и более; 5 - площади развития домезозойских образований горного обрамления; 6 - линии гидрогеологических разрезов (в отчете Комбайской ГГП); 7 - скважины, опробованные откачками: вверху - номер, справа - коэффициент водопроводимости (Км), слева - суммарный Км , $\text{м}^3/\text{сут}$ (по данным Е.Д.Кареева).

толще МПВ. На всех графиках выделяются четыре характерных этапа. Первые три описываются уравнениями Хантуша-Джейкоба (первый и второй) и Боултона (третий). Однако в конечный период откачки вместо выхода на эталонную кривую Тейса наблюдается выход понижений на зависимости, соответствующие решениям Хантуша-Джейкоба (четвертый) для условий реальной водоотдачи пласта с учетом перетекания из смежных горизонтов и аналогичные установленным и отраженным (рис. 9,10).

Расчеты послужили основой для построения 12 геоФильтрационных разрезов, что позволило увязать и установить закономерности изменения фильтрационных свойств отложений как в плане, так и по глубине. В вертикальном разрезе выдерживается закономерность уменьшения коэффициента фильтрации с глубиной (рис. 39). Наименьшими значениями (1-5 м/сут) характеризуются пласти и горизонты верхнеплиоценовых отложений, а максимальными (36 м/сут) – верхнечетвертичных. Коэффициенты фильтрации водоносного комплекса ниже- и среднечетвертичных отложений изменяются от 5 до 15 м/сут. Особенности распределения фильтрационных параметров в плане отражены на карте водопроводимости (рис.40), которая хорошо увязывается с литолого-фацальными поясами и зонами тектонических разломов, определяющих блоковое строение Нуратинской впадины. Согласно схеме В.И.Попова, в неоген-четвертичных отложениях Нуратинской впадины выделяются три основных фацальных пояса – подгорно-веерный, равнинно-долинный и наземно-дельтовый. Подгорно-веерный пояс развит узкой полосой вдоль подножья горного обрамления впадины и сложен породами очень низкой проницаемости. Удельные дебиты скважин менее 0,1 л/с. Зона развития равнинно-долинного пояса характеризуется наибольшей водообильностью и по степени проницаемости отложений здесь можно выделить (рис. 41): аллювиально-пролювиальные преимущественно русловые породы наиболее высоко проницающие и характеризуются средними величинами электрических сопротивлений (30-60 Ом·м), удельными дебитами скважин более 2 л/с, минерализацией 0,4-0,5 г/л и водопроводимостью 1500-2000 м²/сут и выше; широко развиты в осевой части впадины и разделяются в районе п.Кукчи на несколько рукавов; пролювиально-аллювиальные

Рис.4Г. График зависимости удельных дебитов и элек-
трических сопротивлений от-
ложений (ρ_k) опробуемых
или пластов (Цургинское
МШВ): 1 - русловые; 2 - пой-
менно-русловые; 3 - дожиен-
ные; 4 - дельтовые; 5 - про-
ловиальные.



пойменные образования с подчиненным развитием локальных по площади и глубине русловых отложений характеризуются наличием в заполнителе галечников глинистых частиц, уменьшающих проницаемость по сравнению с русловыми. Это хорошо проницаемая водоносная зона имеет несколько увеличенные электрические сопротивления ($70-150 \text{ Ом}\cdot\text{м}$), удельные дебиты — $1-2 \text{ л}/\text{с}$ и суммарное значение водопроводимости менее $1000 \text{ м}^2/\text{сут}$; пролювиально-аллювиальные пойменные отложения высоких паводков представлены валунно-галечниками на глинистом цементе, что определяет их слабую проницаемость; породы развиты в наиболее погруженных блоках P_3 — фундамента, где мощность неоген-четвертичных отложений составляет 400–500 м. Суммарная водопроводимость — менее $500 \text{ м}^2/\text{сут}$, удельные дебиты менее $1 \text{ л}/\text{с}$, максимальные электрические сопротивления достигают $200 \text{ Ом}\cdot\text{м}$; отложения наземно-дельтового пояса характеризуются более мелким гранулометрическим составом (гравелиты, песчаники, пески) с преобладающим глинистым характером песчаного заполнителя, что соответственно отражается на их проницаемости ($200-300 \text{ м}^2/\text{сут}$). Зона развита ниже створа "Комбай", где ширина водоносной толщи месторождения несколько увеличивается.

В целом, для всего Чуратинского месторождения характерно постепенное уменьшение водопроводимости с востока на запад в продольном направлении и от осевой части к бортам впадины — в поперечном. В вертикальном разрезе также наблюдается уменьшение проницаемости с глубиной залегания водоносных пластов (рис. 42).

ГЛАВА 9. УЧЕТ ФИЛЬТРАЦИОННОЙ НЕОДНОРОДНОСТИ ВОДОНОСНЫХ ГОРИЗОНТОВ ПРИ ОЦЕНКЕ ЭКСПЛУАТАЦИОННЫХ ЗАПАСОВ ПОДЗЕМНЫХ ВОД

МПВ современных речных долин

Опыт разведки подземных вод межгорных речных долин Центральной Азии (долины рек Чирчик, Ахангаран, Зерафшан и др.) дает большой фактический материал, свидетельствующий о фильтрационной неоднородности продуктивных водоносных горизонтов речных долин

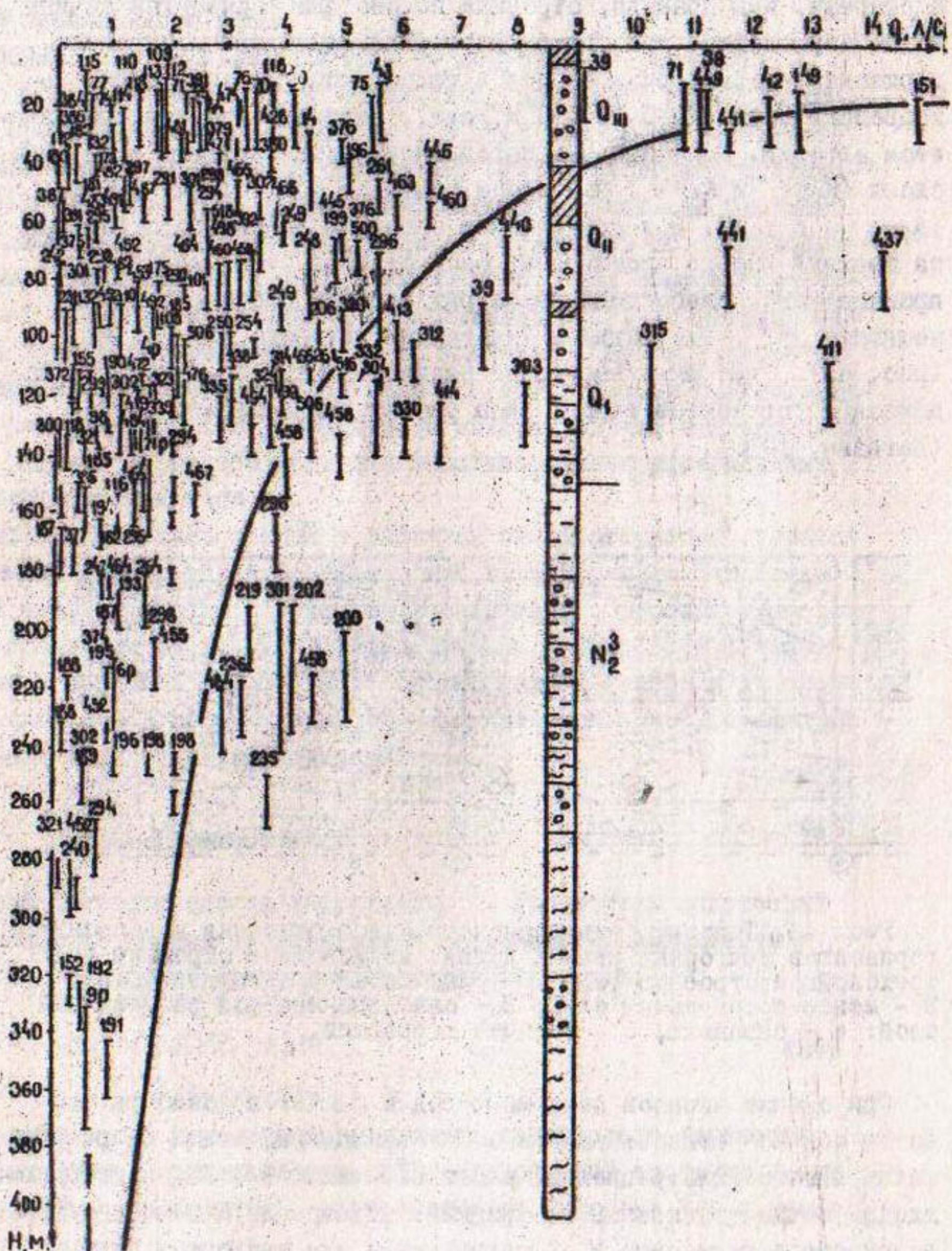


Рис. 42. Интегральный график изменения водообильности отложений Нуратинского МТЗ с глубиной.

в разрезе. Как правило, строение водоносных горизонтов речных долин двухслойное или трехслойное. При двухслойном строении горизонта, характеризующегося в целом высокими значениями водопроводимости ($1000\text{--}10\,000\text{ м}^2/\text{сут}$), наиболее проницаемым является верхний. Коэффициенты водопроводимости верхнего и нижнего слоев ($K_1 h_1$ и $K_2 m_2$) находятся обычно в соотношении $K_1 h_1 : K_2 m_2 = 5 : 10$. При трехслойном строении водоносного горизонта верхний хорошо проницаемый слой отделен от нижнего, менее проницаемого, слабопроницаемым разделяющим слоем различной мощности m^* , коэффициент фильтрации которого $K^* < K_1 ; K_2$ (рис. 43). Учет фильтрационной неоднородности продуктивных водоносных горизонтов такого типа рассмотрен в работе автора (Нагевич, 1986).

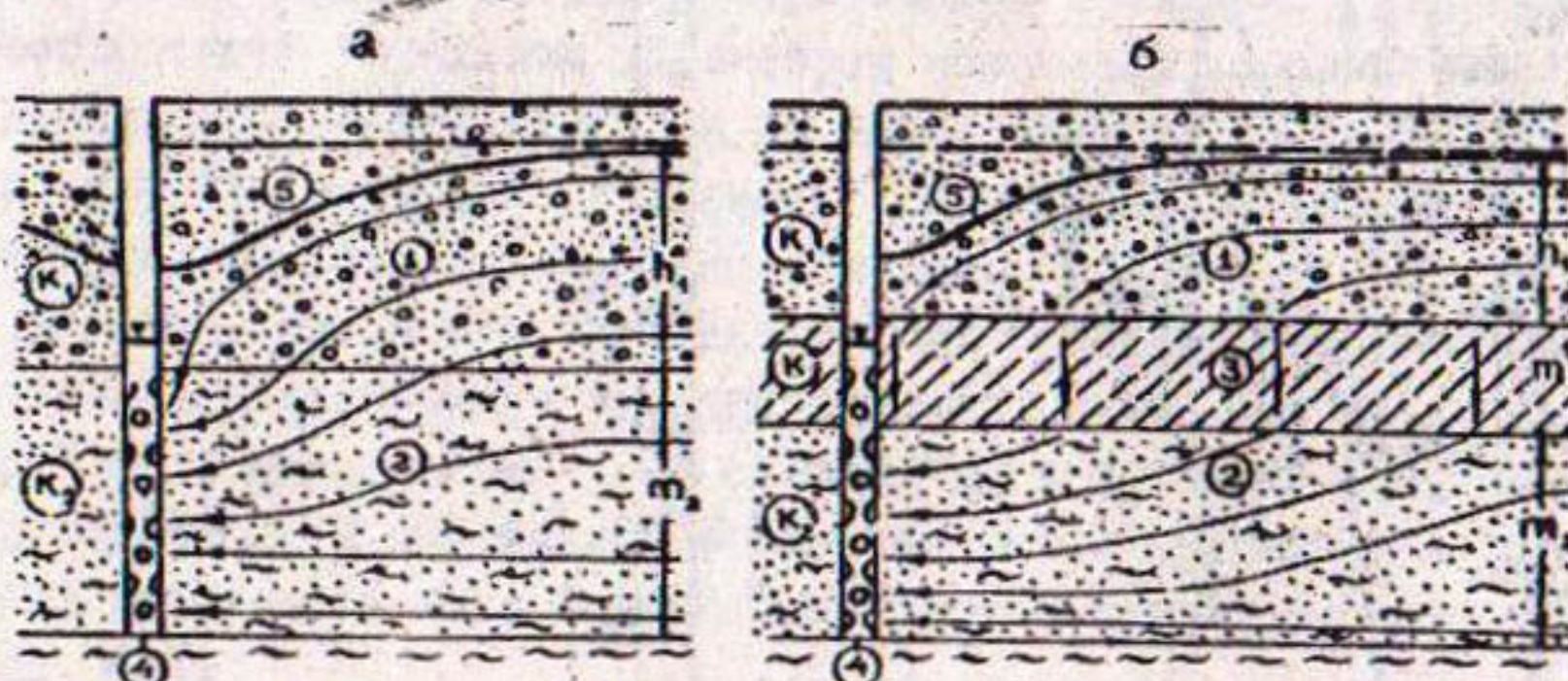


Рис. 43. Типовые фильтрационные схемы строения водоносных горизонтов межгорных речных долин. Двухслойное строение (а); трехслойное строение (б): 1 - слой высокой проницаемости; 2 - менее проницаемый слой; 3 - слабопроницаемый разделяющий слой; 4 - скважина; 5 - воронка депрессии.

При оценке запасов подземных вод в расчет водозaborа вводится обычно установленная и обоснованная расчетами по результатам сплошно-фильтрационных работ величина $T = KM$, в которую входят средневзвешенный коэффициент фильтрации K и мощность водоносного горизонта M , в характерных для межгорных речных долин безнапорных условиях, равная

$$M = h_1 + m_2, \quad (78)$$

где h_1 - мощность хорошо проницаемого слоя; m_2 - мощность менее проницаемого слоя.

Принимаемая величина расчетного допустимого понижения $S_{\text{доп}} < 0,5-0,7 \cdot M$ зачастую значительно превышает мощность хорошо проницаемого слоя $S_{\text{доп}} > h_1$. В этом случае не учитывается, что расход водозабора (скважины) будет обусловлен проницаемостью нижнего слоя, характеризующегося значительно меньшими величинами коэффициента фильтрации по сравнению со средневзвешенным. Такой подход к оценке эксплуатационных запасов грунтовых вод приводит к завышению рассчитанных эксплуатационных запасов и низкой оправдываемости их прогнозов. Здесь в качестве примера можно привести водозаборы Талский в долине р.Ахенгаран и Кибрайский в долине р.Чирчик, по которым неучет неоднородности горизонта в разрезе привел к неподтверждению утвержденных эксплуатационных запасов.

Оценим возможные ошибки в расчетах эксплуатационных запасов подземных вод, которые неизбежны при игнорировании фильтрационной неоднородности водоносных горизонтов по вертикали на примере сравнения расчетных дебитов скважин (водозаборов), работающих в условиях двухслойного неоднородного пласта и однородного пласта той же суммарной проводимости при средневзвешенном значении коэффициента фильтрации

$$K_{\text{расч.}} = \frac{T}{h_1 + m_2} \quad (79)$$

и общей мощности пласта $M_{\text{ср}} = h_1 + m_2$. Рассмотрим водоносный горизонт, состоящий из двух слоев различной проницаемости $K_1 > K_2$. Суммарная проводимость горизонта равна:

$$T = K_{\text{расч.}} \cdot M = K_1 h_1 + K_2 m_2, \quad (80)$$

$$K_1 h_1 > K_2 m_2.$$

При опробовании (эксплуатации) такого водоносного горизонта неограниченной протяженности дебит совершенной скважины будет складываться из расходов, притекающих по верхнему Q_1 и нижнему Q_2 слоям

$$Q = Q_1 + Q_2. \quad (81)$$

Приток к скважине при общем для обоих слоев понижении может быть представлен, согласно решениям Дюпюи, Тейса, в виде

$$Q = \frac{\pi K_1 S (2h_1 - S)}{\ln \frac{R_1}{\gamma_k}} + \frac{2\pi K_2 m_2 S}{\ln \frac{R_2}{\gamma_k}} \quad - \text{установившееся движение}, \quad (82)$$

$$Q = \frac{2\pi K_1 S (2h_1 - S)}{\ln \frac{2.25at}{\gamma_k^2}} + \frac{4\pi K_2 m_2 S}{\ln \frac{2.25at}{\gamma_k^2}} \quad - \text{неустановившееся движение}, \quad (83)$$

где a_1, a_2 - коэффициенты уровнепроводности; S - понижение в скважине; R_1, R_2 - радиусы влияния; γ_k - радиус "большого" колодца скважины.

Допуская $a_1 = a_2$, что соответственно приводит к $R_1 = R_2 = R$, получим

$$Q = \frac{\pi [K_1(2h_1 - S)S + 2K_2m_2S]}{\ln \frac{R}{\gamma_k}}, \quad (84)$$

где $R = 1.5 \sqrt{at}$.

Расход совершенной скважины при том же понижении S , опробующей однородный водоносный горизонт, и тех же суммарной проводимости и коэффициенте фильтрации, осредненным по мощности, можно записать в виде

$$Q_{cp} = \frac{\pi K_{cp} S [2(h_1 + m_2) - S]}{\ln \frac{R}{\gamma_k}}, \quad (85)$$

где $K_{cp} = \frac{K_1 h_1 + K_2 m_2}{h_1 + m_2}$; $R = 1.5 \sqrt{at}$; $a = a_1 = a_2$.

Формула (85) справедлива и для трехслойного горизонта при условии, что $m^0 \ll m_1, m_2$, $K^0 \ll K_1, K_2$. Соотношение дебитов скважин (85 и 84) после сокращения и преобразования приводит к выражению относительной ошибки расчета при применении гипотезы однородности водоносного горизонта в виде

$$\begin{aligned} \xi &= \frac{Q_{cp}}{Q} = \frac{(K_1 h_1 + K_2 m_2) [2h_1 + 2m_2 - S]}{(h_1 + m_2) [K_1(2h_1 - S) + 2K_2 m_2]} = \\ &= \frac{1 - \frac{S}{2(h_1 + m_2)}}{1 - \frac{S}{2(h_1 + \frac{K_2}{K_1} m_2)}} = \frac{1 - \frac{1}{2} \left(\frac{S}{M} \right)}{1 - \frac{1}{2} \left(\frac{S}{M} \right) \left(\frac{M}{h_1 + \frac{K_2}{K_1} m_2} \right)}, \end{aligned} \quad (86)$$

или $\xi = \frac{Q_{cp}}{Q} = \frac{1 - \bar{S}_{cp}}{1 - S},$ (87)

где $\bar{S}_{cp} = \frac{S}{2(h_1 + m_2)} = \frac{1}{2} \left(\frac{S}{M} \right);$

$$\bar{S}_n = \frac{S}{2(h_1 + \frac{K_2}{K_1} m_2)} = \frac{1}{2} \left(\frac{S}{M} \right) \left(\frac{M}{h_1 + \frac{K_2}{K_1} m_2} \right).$$

Численный анализ зависимости для различных понижений показывает, что относительное завышение дебита скважины (водозабора) при введении в расчет общей мощности M и средневзвешенного до мощности горизонта коэффициента фильтрации может достигать 100% и более, т.е. дебит скважин, а следовательно, и рассчитанные при отнесении двухслойного водоносного горизонта к однородному эксплуатационные запасы подземных вод могут быть существенно завышены.

Графики зависимости относительной ошибки расчета при принятии гипотезы однородности пласта приведены на рис. 44 в виде зависимостей:

$$\xi = f \left(\frac{1 - \bar{S}_{cp}}{1 - S} \right) \quad \text{и} \quad \xi = F \left(\frac{h_1 + m_2}{h_1 + \frac{K_2}{K_1} m_2}; \frac{S}{M} \right).$$

Из установленных связей видно, что относительная ошибка значительно зависит от отношения $\frac{S}{h_1 + \frac{K_2}{K_1} m_2}$ и обусловлена рас-

четной мощностью пласта $h_p = h_1 + \frac{K_2}{K_1} m_2$, в которой мощность нижнего, менее проницаемого слоя, приведена к условной мощности этого слоя с коэффициентом фильтрации верхнего.

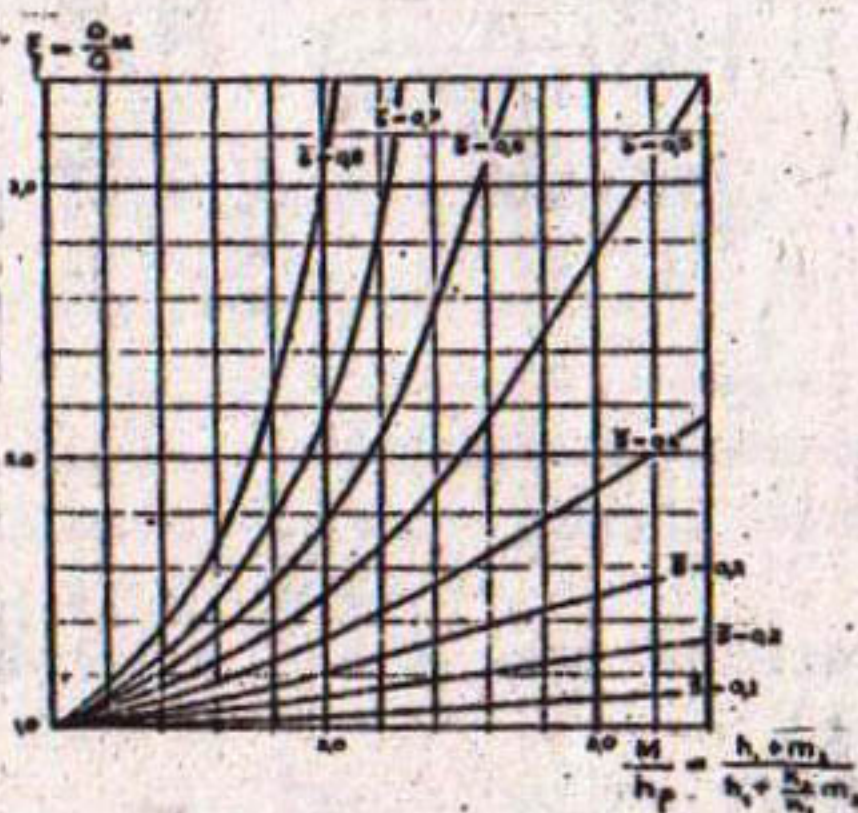


Рис. 44. График зависимости относительной ошибки на неучет неоднородности горизонта в разрезе $\frac{S}{M}$ от отношения его общей мощности к приведенной $\frac{M}{h_p}$ и относительного понижения $S_{\text{доп}} = \frac{S}{M}$.

транзитом часть расхода из верхнего слоя горизонта.

Таким образом, введение в расчет запасов подземных вод водоносных горизонтов такого типа среднего коэффициента фильтрации и суммарной мощности обоих слоев $K_{\text{ср}} = \frac{K_1 h_1 + K_2 m_2}{h_1 + m_2}$; $M = h_1 + m_2$ приводит к завышению допустимого понижения, на котором основаны последующие расчеты эксплуатационных запасов подземных вод, что вызывает их неподтверждение. При $S_{\text{доп}} = 0,5-0,7$ м она зачастую значительно превышает мощность верхнего, хорошо проницаемого, слоя $S_{\text{доп}} > h_1$, в результате чего расчетные динамические уровни в скважинах располагаются в нижнем, менее проницаемом, слое, не обеспечивая на практике проектных дебитов скважин (водозаборов).

Изложенное подтверждает необходимость введения в расчет экс-

Аналогичные результаты получены автором при решении данной задачи на аналоговой модели. вне зависимости от положения фильтра в скважине притекающий к ней расход распределяется по долевому участию слоев в зависимости $\frac{Q_1}{Q_2} = \frac{K_1}{K_2} \frac{m_2}{h_1 + m_2}$ (Нагевич, 1971).

Снижение уровня в скважине ниже мощности верхнего, хорошо проницаемого, слоя не дает существенного прироста расхода, который в любом случае будет подчиняться установленной зависимости и приведет только к значительным понижениям в самой скважине. Это вызвано увеличением сопротивления движению воды к фильтру, расположенному в нижнем слое, когда он вынужден пропускать

плутационных запасов при такой структуре геофильтрационного разреза приведенной, или виртуальной (Чертков, Ланцман, 1969) мощности.

Анализ показывает, что в процессе разведки и оценки эксплуатационных запасов подземных вод межгорных речных долин Центральной Азии необходимо учитывать фильтрационную неоднородность пласта по вертикали. Для этого следует:

1. В процессе разведки подземных вод получить необходимую характеристику о вертикальной фильтрационной неоднородности водоносного горизонта по данным его интервального спробования. Осиятельный считается опробование нижнего, менее проницаемого, слоя с оценкой его параметров через понижения в пьезометрах, оборудованных фильтрами на этот же интервал. Для оценки параметров используются методики расчета, основанные на уравнениях теории перетекания (52). Дополнительное оборудование верхнего интервала скважины фильтром и последующее опробование всего водоносного горизонта совершенной скважиной при наличии пьезометров с фильтрами для хорошо проницаемого слоя позволяют получить информацию для расчета параметров водоносного горизонта в целом. Расчеты должны вестись на основе зависимостей, выведенных для условий безнапорного водоносного горизонта (63). Полученные параметры K_m и a характеризуют весь водоносный горизонт. Рассполагая сведениями о водопроводимости нижнего слоя, можно получить величину водопроводимости и коэффициент фильтрации верхнего.

2. Расчет эксплуатационных запасов подземных вод (водозабора) следует вести по расчетным зависимостям, учитывающим различие в фильтрационных свойствах слоев конкретного водоносного горизонта. В его основу может быть положена формула, в которую входит расчетная мощность водоносного горизонта:

$$S = h_p - \sqrt{h_p^2 - \frac{Q_{вод}}{\pi K_1} \frac{R_p}{r_k}} \quad (88)$$

где $h_p = h_1 + \frac{K_2 T_2}{K_1}$ - расчетная мощность водоносного горизонта; r_k - радиус "большого колодца", к которому приведена система водозаборных скважин; $Q_{вод}$ - расход водозабора.

Допустимое понижение принимается в виде

$$S'_{\text{доп}} = 0,5 - 0,7 h_p = 0,5 - 0,7 \left(h_1 + \frac{K_2}{K_1} m_2 \right). \quad (89)$$

Аналогичные результаты получаются по формуле

$$Q_{\text{вод}} = \frac{\pi K_1 S_{\text{доп}} (2h_1 - S'_{\text{доп}})}{\ln \frac{R}{r_k}} + \frac{2\pi K_2 m_2 S'_{\text{доп}}}{\ln \frac{R}{r_k}}. \quad (90)$$

Пример расчета. Требуется оценить стбор подземных вод скважиной из двухслойного водоносного горизонта общей мощностью 40 м. Верхний слой (20 м), по данным опытных опробований, характеризуется коэффициентом фильтрации 50 м/сут, нижний слой - 10 м/сут.

I. Исходя из гипотезы однородности пласта при общей мощности водоносного горизонта 40 м величина $S_{\text{доп}}$ составит

$$S_{\text{доп.}} = 40 \text{ м} \times 0,6 = 24 \text{ м.}$$

В этом случае расход скважины равен при

$$K_{\text{ср}} = \frac{K_1 m_1 + K_2 m_2}{h_1 + m_2} = \frac{50 \cdot 20 + 10 \cdot 20}{20 + 20} = \frac{1200}{40} = 30 \text{ м/сут},$$

$$Q = \frac{\pi K_{\text{ср}} \cdot S_{\text{доп}} (2h_1 - S_{\text{доп}})}{\ln \frac{R}{r_k}} = \frac{3,14 \cdot 30 \cdot 24 (80 - 24)}{2,3 \cdot 40} = 13708 \text{ м}^3/\text{сут.}$$

Рассчитаем относительную ошибку ξ , используя графики на рис. 44:

$$\bar{S}_{\text{ср}} = \frac{S_{\text{доп}}}{2(h_1 + m_2)} = \frac{24}{2 \cdot 40} = 0,3; \quad \bar{S} = \frac{S}{M} = 0,6;$$

$$\begin{aligned} \bar{S}_H &= \frac{S_{\text{доп}}}{2(h_1 + m_2)} = \frac{24}{2(20 + \frac{10 \cdot 20}{50})} = 0,5; \quad \frac{h_1 + m_1}{h_1 + \frac{K_1}{K_2} m_2} = \\ &= \frac{20 + 20}{20 + \frac{10 \cdot 20}{50}} = 1,66; \end{aligned}$$

$\xi = 1,4$. Расчет дает те же результаты -

$$\xi = \frac{1 - \bar{S}_{\text{ср}}}{1 - \bar{S}_H} = \frac{1 - 0,3}{1 - 0,5} = \frac{0,7}{0,5} = 1,4.$$

т.е. дебит скважины завышен на 40% и должен составлять

$$Q = \frac{13708}{1,4} = 9791 \text{ м}^3/\text{сут.}$$

2. Дебит скважины, рассчитанный по зависимостям (88 и 90), имеет такие же величины.

3. Однако расчет приведен при $S_{\text{доп}} = h_{\text{рас}}$, что недопустимо. При выборе допустимого понижения исходим из расчетной мощности водоносного горизонта:

$$S_{\text{дм}} = 0,6 \quad h_{\text{рас}} = 0,6 (h_1 + \frac{k_1}{K_1} m_1) = \\ = 0,6 \cdot 24 = 14,4 \text{ м} \approx 15 \text{ м.}$$

Приняв такое понижение, по зависимостям (88 и 90) получим

$$Q = 8450 \text{ м}^3/\text{сут.}$$

Относительная ошибка в оценке запасов в этом случае достигает 62%.

МПВ погребенных речных долин, конусов выноса (периферийной части), межгорных впадин

МПВ такого типа характеризуются многослойной структурой геофильтрационного разреза, когда хорошо проницаемые пласти отделены друг от друга слабопроницаемыми разделяющими слоями, через которые они взаимосвязаны между собой. Схематизация такого разреза должна отражать гидрохимические характеристики каждого пласта и толщи в целом и может быть сведена к двум типовым схемам.

При простой гидрохимической обстановке (качество подземных вод по всему разрезу отвечает требованиям для питьевого водоснабжения) водоносная толща приводится к однородному продуктивному горизонту, водопроводимость которого $Km_{\text{пр}}$ равна сумме водопроводимостей всех пластов Km_i :

$$Km_{\text{пр}} = \sum_{i=1}^n Km_i. \quad (91)$$

При сложной гидрохимической обстановке (качество подземных вод не отвечает требованиям, как правило, в пластах верхней части водоносной толщи) необходимо привести разрез к двум гори-

зонтам, которые взаимодействуют через слабопроницаемый разделяющий слой. Водопроводимость горизонтов складывается из суммы водопроводимостей каждого слагающего его пласта, а интенсивность их взаимодействия в процессе эксплуатации нижнего горизонта (перетекание вод некондиционного качества из верхнего) обусловлена коэффициентом фильтрации и мощностью разделяющего слоя.

Схематизация геофильтрационного разреза такого типа изложена в работах (Боревский и др., 1989; Плотников, 1985).

Здесь уделим внимание только слабоизученному процессу взаимодействия верхнего и нижнего горизонтов при эксплуатации нижнего через прослеживаемые в разделяющих слоях разрывы сплошности или так называемые литологические "окна". Роль их в гидрогеологических процессах очень велика. Они, в основном, определяют гидродинамическую структуру потока подземных вод и его качественную характеристику как в естественных условиях, так и при эксплуатации, определяя прогнозные величины понижения уровня и минерализации подземных вод.

При оценке эксплуатационных запасов подземных вод (ЭЗПВ) в слоистых толщах запасы схематизируются в условие однородный напорный пласт (горизонт), характеризующийся суммарным коэффициентом водопроводимости всей толщи. Положение "окна" в верхнем слое соответствует фактическому, но не отражает сложный путь движения от него к водозабору и не позволяет выявить реальную роль в формировании ЭЗПВ. В этом случае с погрешностью оценивается как количественная, так и качественная сторона процесса. Выяснение роли "окна" при моделировании вызывает необходимость решения ряда тестовых и инверсных задач, что требует больших затрат времени на итерационный поиск его, адекватных природным, физических характеристик.

Аналитическое решение этого вопроса и раскрытие принципа учета литологических "окон" при оценке ЭЗПВ позволяет упростить как процесс моделирования многослойных систем, так и повысить достоверность прогнозов. Взаимодействие водоносных горизонтов через разделяющие слои рассматривается в работах Ф.М.Бочевера, Н.Н.Веригина, Л.В.Гохберга, Т.К.Слепцова, М.С.Хантуша. В них анализируются различные случаи влияния литологических "окон". В частности, Ф.М.Бочевер (1979) приводит решение

для двухслойной толщи с литологическим "окном" полосообразной формы, аналогичное уравнению для однослойного неоднородного пласта. В работе В.В.Баши (1987) обоснованы постановка и численный метод решения задачи на ЭВМ для "окна" в многослойной среде. Отметим, что роль "окон" с позиции сложного взаимодействия внутри многослойной системы не рассматривалась. Этот вопрос проанализирован в работе автора (Нагевич, 1989) на примере действия линейного водозабора подземных вод (подземной галереи). В основу учета "окон" положен метод фильтрационных сопротивлений, с помощью которого описано движение подземных вод с обеих сторон, в т.ч. и со стороны "окна". Рассмотрен и наиболее характерный случай сложного пути движения подземных вод к водозабору со стороны верхнего и внутреннего "окон" (рис. 45).

Соотношение расходов, притекающих к водозабору с каждой стороны, определено выражением:

$$\frac{q_{v0}}{q_{vp}} = \frac{\Delta H_{v0}}{\Delta H_{vp}} \frac{\sum_{i=1}^n \Phi_{vi}}{\sum_{i=1}^n \Phi_{pi}} = \frac{(H_0 - H_v)}{(H_p - H_v)} \frac{\left(\frac{L_{p1}}{Km_p} + \frac{L_{p2}}{Km_p} + \dots + \frac{L_{pn}}{Km_p} \right)}{\left(\frac{L_{v1}}{Km_v} + \frac{L_{v2}}{Km_v} + \dots + \frac{L_{vn}}{Km_v} + \frac{m}{Km_v} + \frac{m}{Km_p} \right)} \quad (92)$$

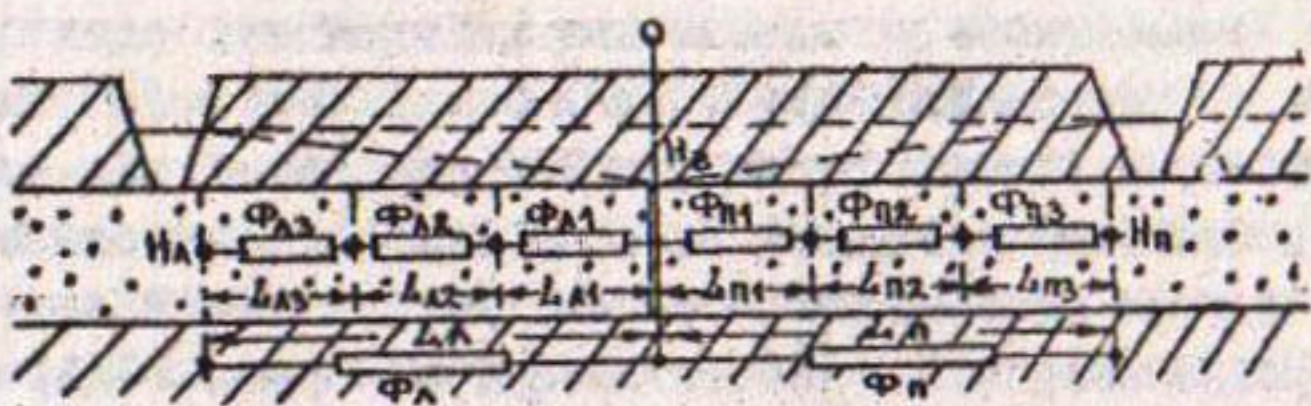
Изложенный принцип позволил получить обобщенный коэффициент фильтрации отложений "окна":

$$K_{ob} = \frac{m^o}{L_o \left(\sum_{i=1}^n \frac{L_{vi}}{Km_v} + \frac{m}{K' L_o} + \frac{m^o}{K'' L_o} \right)} \quad (93)$$

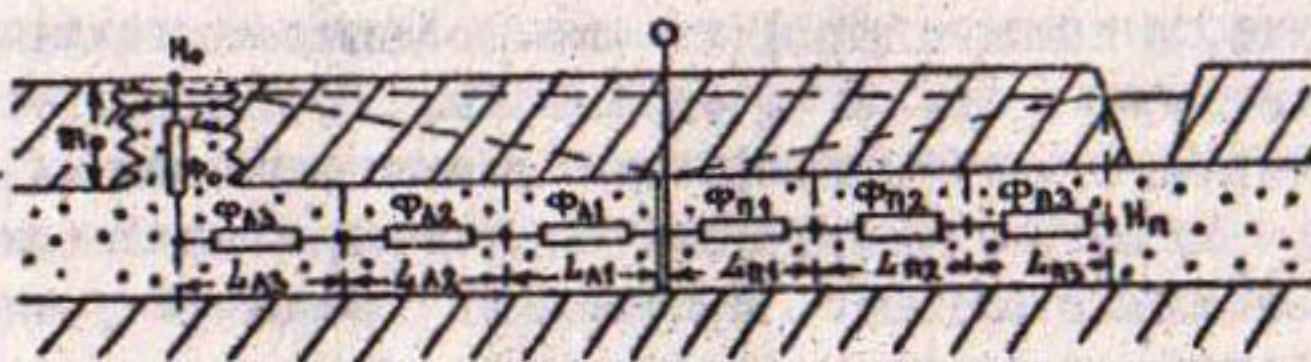
Условные обозначения к зависимостям (92, 93) даны на рис. 45.

Так как горизонтальные сопротивления при близких фильтрационных характеристиках пласта и "окна" на несколько порядков выше вертикальных, они, в основном, определяют величину сопротивления верхнего "окна". Поэтому обобщенный коэффициент фильтрации "окна" при переходе к однослойной схеме будет на несколько порядков ниже истинного. Предварительный расчет обобщенного коэффициента фильтрации "окна" позволяет существенно ускорить итерационный процесс при решении обратных задач на математических моделях. Он также может быть использован и при аналитических расчетах водозаборов в качестве обобщенного фильтрационного показателя разделяющего слоя.

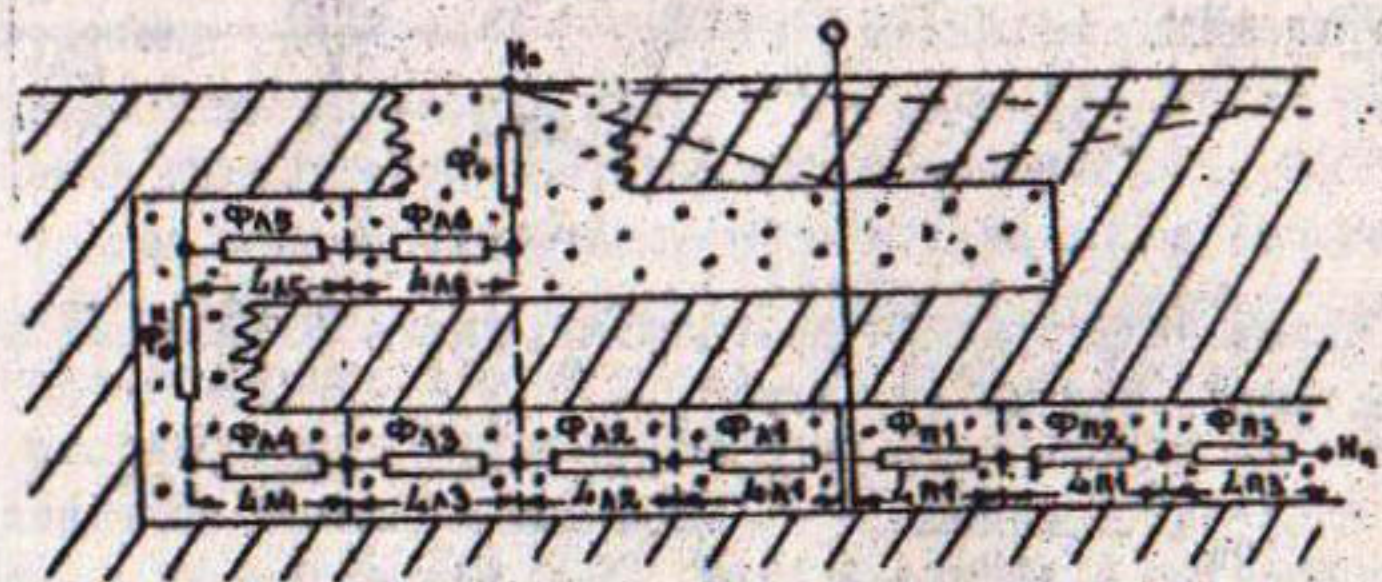
а



б



в



г

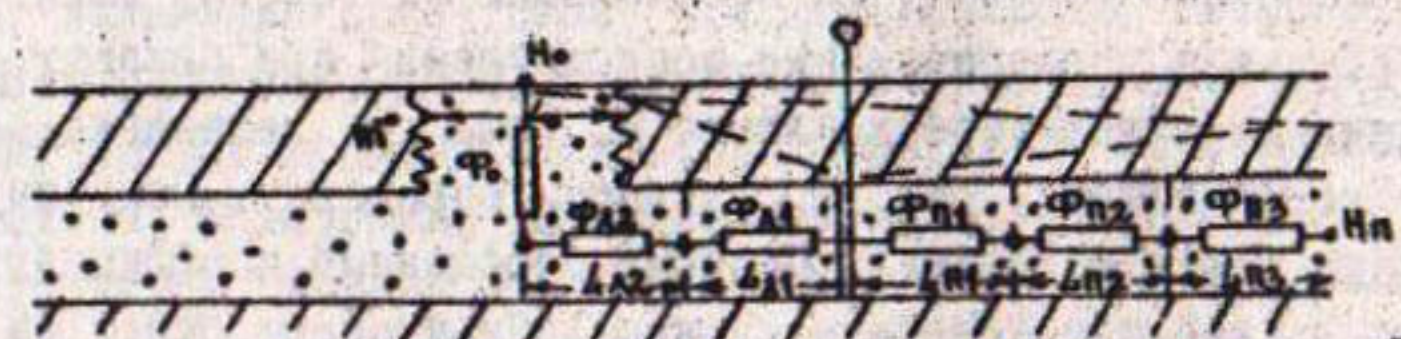


Рис.45. Схема к учету "окон": а - однослойная без "окон"; б - однослойная с "окном"; в - двухслойная с внутренним "окном"; г - однослойный вариант с "окном" схемы в.

ЗАКЛЮЧЕНИЕ

Многолетняя практика эксплуатации подземных вод показала, что оценка геофильтрационных параметров водоносных пластов по результатам опытно-фильтрационных работ (откачек) - имеет важное значение при решении проблемы питьевого водоснабжения. Эффективность отбора подземных вод обусловливается достоверностью оцененных на стадии изысканий (разведки) геофильтрационных параметров пласта.

Формальный подход к проведению и интерпретации результатов откачек, который преобладал в последние десятилетия на практике и с которым, в основном, связаны отдельные неудачи разведочной гидрогеологии, показал свою несостоятельность. Однако его критика не изменила отношения к интерпретации ОФР как к творческому процессу, о чём постоянно высказывались ведущие гидродинамики (Б.В.Боревский, В.А.Мироненко, В.М.Шестаков, Л.С.Язин и др.). Стремление они придавали уровню квалификации и интуиции гидрогеолога-исследователя, возможностям осмыслиения исполнителем собственного опыта и знаний.

Возможно, что эти тезисы частично удалось реализовать автору при подготовке данной монографии. Это позволило по-новому представить отдельные нюансы гидродинамических процессов, возникающие при откачке из совершенных скважин, опробующих водоносные пласти различного типа, учесть выявленные особенности путем внесения поправок в фундаментальные зависимости Тейса, Хантуша, Боултона, обосновать рациональный комплекс методов оценки реальных параметров опробуемых пластов, установить механизм процесса формирования фильтрационных свойств флювиальных отложений. Однако, несмотря на то, что имеющаяся на настоящий момент теоретическая база позволяет при обработке результатов ОФР быть уверенным в реальности параметров на 80-90%, остается еще много вопросов, требующих пристального внимания. К их числу, наиболее полно способствующих решению задач водоснабжения населения Республики Узбекистан в XXI веке, можно отнести:

составление программного обеспечения и автоматизации расчета гидрогеологических параметров на ПЭВМ, в основу которых

должны быть взяты изложенные в данной работе особенности гидродинамических процессов с максимальным использованием уже имеющихся достижений в этой области (программа "Гидпаг" и др.);

детализация процессов формирования фильтрационных свойств флювиальных отложений с учетом основных факторов и пространственной характеристики фильтрационных параметров основных продуктивных горизонтов эксплуатируемых МПВ;

получение универсальных теоретических решений, описывающих работу несовершенных скважин в неоднородных в разрезе беспорных водоносных горизонтах;

обоснование теоретических решений, учитывающих неравномерное распределение напоров по длине фильтра (от забоя к насосу), которое приводит к аналогичному их распределению и в самом водоносном горизонте, что зачастую связывают с фильтрационной неоднородностью пласта;

изучение и оценка фильтрационных сопротивлений и, соответственно, распределения напоров в цепочке "скважина-фильтр-прифильтровая зона - водоносный горизонт" с учетом конструктивных особенностей скважины и способа ее бурения;

разработка решений, направленных на получение реальных параметров разделяющих слабопроницаемых слоев при опробовании водоносной толщи, состоящей из водоносных пластов различной проницаемости и имеющих разные напоры.

Вслед за В.А.Мироненко и В.М.Шестаковым следует повторить высказанные ими два десятилетия назад положения "о необходимости увеличения точности и информативности ОФР посредством качественного улучшения их технологической основы", имея ввиду "повышение качества бурения и оборудования опытных скважин, ... внедрения новых контрольно-измерительных устройств...", что должно способствовать и "повышению общей культуры ведения ОФР".

ИСПОЛЬЗОВАННАЯ ЛИТЕРАТУРА

- Абуталиев Ф.Б., Баклушин М.В., Ербеков Я., Умаров У.У. Эффективные приближенно-аналитические методы для решения задач теории фильтрации. - Ташкент: Фан, 1978. 244 с.
- Азиз Х., Сеттари Э. Математическое моделирование пластовых систем. - М.: Недра, 1982. 408 с.
- Бэдов В.В., Киселев А.А. Модели геофильтрации (Обзор ВИЭМС: "Гидрогеология и инж. геология". И., 1984. 51 с.
- Бэша В.В., Капарин И.Е. Численное решение задач фильтрации в тонких слоистых средах с выклиниванием слабопроницаемых слоев. Рациональное использование водных ресурсов // Вопросы обоснования гидрогеол. и водохоз. прогнозов. - М.: Наука, 1987.
- Боревский Б.В., Самсонов Б.Г., Язвин Л.С. Методика определения параметров водноносных горизонтов по данным откачек. - М.: Недра, 1979. 313 с.
- Боревский Б.В. Закономерности формирования эксплуатационных запасов месторождений пресных подземных вод // Водные ресурсы, 1985, № 2.
- Боревский Б.В., Дробноход И.Н., Язвин Л.С. Оценка запасов подземных вод. - Киев: Выща школа, 1989.
- Бородин Р.В. Подземные воды межгорной долины р. Ангрен // Тр. СамГУ, 1960. Вып. 173.
- Бородин Р.В. Методика проведения опытных откачек в условиях неуставновившегося движения подземных вод / Тр. ТашГУ, 1961. Вып. 180. С. 165-175.
- Бородин Р.В. Определение условий эксплуатации ограниченного по ширине потока грунтовых вод при неуставновившемся режиме // Тр. ТашГУ. 1961. Вып. 180. С. 175-189.
- Бородин Р.В. Количественные категории подземных вод // Тр. ТашГУ, 1963, № 220. С. 209-237.
- Бочевер Ф.М., Лапшин Н.Н. К вопросу о гидрогеологических расчетах водозаборных скважин в слоистых толщах // Тр. ВНИИ ВОДГЕО. М., 1969. Вып. 22.
- Бочевер Ф.М. и др. Основы гидрогеологических расчетов. - М.: Недра, 1969. 368 с.

- Бочевер Ф.М., Лепшин Н.Н., Орадовская А.Е. Защита подземных вод от загрязнения. - М.: Недра, 1979.
- Бэр Я., Заславский Д., Ирмей С. Физико-механические основы фильтрации воды. - М.: Мир, 1979.
- Веригин Н.Н., Васильев С.В., Саркисян С.В. Гидродинамические и физико-химические свойства горных пород. - М.: Недра, 1977. 271 с.
- Веселова В.Л., Раткович Г.Д. Численно-аналитические решения для линейных и радиальных одномерных в плане многопластовых потоков // Применение методов матем. моделирования для решения гидрогеол. задач/ Тр. ТашГУ, 1987.
- Веселова В.Л., Язин А.Л. Опыт определения геофильтрационных параметров слоистых толщ (на примере Душанбинского МПВ) // Мат-лы ХУ научн. конф. молод. ученых МГУ. М., 1988.
- Водсватова З.А., Гохберг Л.К., Семенова-Брофеева С.М. и др. Методика обоснования региональных гидрогеологических моделей многослойных систем. - М.: Недра, 1982. 147 с.
- Гавич И.К. Оценка эксплуатационных запасов подземных вод методом моделирования. - М.: ВИЭМС, 1972. 96 с.
- Гавич И.К. Теория и практика применения моделирования в гидрогеологии. - М.: Недра, 1980.
- Ганиев К.Г. Испарение и инфильтрационное питание грунтовых вод. - Ташкент: Фан, 1979, 212 с.
- Грикевич Э.А. Гидравлика водозаборных скважин. - М.: Недра, 1986.
- Дамберг Э.И. Использование данных гидродинамики при поисках нефти и газа. - М.: Недра, 1985. 150 с.
- Де Уист Р. Гидрогеология с основами гидрологии суши. - М.: Мир, 1969.
- Джоган Л.Я. Испарение с орошаемых полей Средней Азии // Водные ресурсы, 1969, № 3. С.41-48.
- Дульките О.А. Программная система для автоматизированного определения геофильтрационных параметров по данным опытно-фильтрационных работ ГИДПАР / описание применения/. - Вильнюс: Ин-т математики и кибернетики АН Лит. ССР, 1982. 29 с.
- Дульките О.А. Применение решений в интегральных изображениях при обработке на ЭВМ данных опытных откачек // Водные ресурсы, 1985, № 10. С.10-15.

сы, 1986, № 2. С.20-31.

Елисеев В.И. Закономерности образования пролювия. - М.: Недра, 1978.

Карташов И.П. Основные закономерности геологической деятельности рек горных стран //Тр. ГИИ АН СССР. - М.: Наука, 1972. Вып. 245.

Кожевников А.В. Антропоген гор и предгорий. - М.: Недра, 1985.

Кондебовский С.Я., Минкин Е.Л. Гидрогеологические расчеты при использовании подземных вод для орошения. - М.: Недра, 1989, 253 с.

Костенко Н.П. Геоморфологический анализ речных долин горных стран (на примере Киргизстана) //Бюлл. комиссии по изучению четвертичного периода, 1958, № 22.

Костюкович П.Н. Гидрогеологические основы вертикального дренажа. - Минск: Наука и техника, 1979, 288 с.

Лукнер Л., Шестаков В.М. Моделирование геофильтрации. - М.: Недра, 1986.

Магара К. Уплотнение пород и миграция флюидов. - М.: Недра, 1982, 296 с.

Минкин Е.Л. Гидрогеологические расчеты для выделения зон санитарной охраны водозаборов подземных вод. - М.: Недра, 1967. 124 с.

Мирзаев С.Ш. Запасы подземных вод Узбекистана. - Ташкент: Фан, 1974. 224 с.

Мирзаев С.Ш. Научные основы рационального использования управления и охраны подземных вод //Гидрогеол. проблемы рационального использования подземных вод/ Тр. ГИДРОСИНГЕО. - Ташкент: САИГИМС, 1969. С.5-8.

Мирзаев С.Ш., Сайдмурадов З.С. Обоснование многоцелевого использования подземных вод аридной зоны. - Ташкент: Фан, 1991. 116 с.

Мироненко В.А., Сердюков Л.И. Сработка результатов опытных скважин, проведенных в условиях двухслойной толщи //Разведка и охрана недр, 1968, № 10.

Мироненко В.А., Шестаков В.М. Основы гидрогеомеханики. - М.: Недра, 1974.

Мироненко В.А., Шестаков В.М. Теория и методы интерпретации опытно-фильтрационных работ. - М.: Недра, 1978.

Мироненко В.А., Ломакин Е.А., Шестаков В.М. Теория и методы интерпретации опытно-фильтрационных работ. - М.: Недра, 1988.

Моркос Н.З., Мунукьян Д.Л. Методика определения гидрогеологических параметров двухслойной среды по данным опытных работ //Разведка и охрана недр, 1968, № 10.

Нагевич П.П. О некоторых особенностях величины сопротивления русла в долинах горных рек /Тр. ТашГУ, 1971. Вып. 407. С.216-223.

Нагевич П.П. К расчету коэффициентов фильтрации при откачках из несовершенных скважин в двухслойном пласте /Тр. ТашГУ, 1971. Вып. 415. С.99-II2.

Нагевич П.П. К вопросу определения величины сопротивления русловых отложений в межгорных речных долинах //Вопросы методики и результаты изучения запасов ПВ /Тр. ГИДРОСИНГЕО, Ташкент: САИТИМС, 1980. С.26-35.

Нагевич П.П. К вопросу гидрогеологической эффективности искусственного пополнения запасов подземных вод межгорных речных долин / Тр. ТашГУ, 1981. Вып. 651. С.21-30.

Нагевич П.П., Анкудович Д.М., Бушмакин Н.И. К расчету гидрогеологических параметров по результатам эксплуатации подземных вод артезианских бассейнов /Тр. ТашГУ, 1981. С.36-43.

Нагевич П.П., Юнусходжаев А.Т. Математическое моделирование гидрогеологических процессов /Мат-лы II Всес. семинара: Тез. докл. М., 1981. С.110.

Нагевич П.П., Вартельский В.И. Пути повышения достоверности гидрогеологических прогнозов при оценке эксплуатационных запасов подземных вод межгорных речных долин /Мат-лы I Всесоюз. гидрогеог. конф. - М.: Наука, 1982. Т. 2. С.81-84.

Нагевич П.П. К расчету достоверных значений гидрогеологических параметров пласта по результатам опытного опробования приречных скважин //Методы анализа и обработки гидрогеологических данных для прогноза ресурсов подз. вод. - Таллин: Изд-во АН ЭССР, 1984. С.153-161.

Нагевич П.П., Анкулович Д.М., Бушмакин Н.И., Сергеева Е.В. Прогноз изменения напоров термоминеральных вод Приташкентского

артезианского бассейна под влиянием эксплуатации /Тр. ТашГУ, 1984. Вып. 725. С.6-12.

Нагевич П.П. К вопросу расчета гидрогеологических параметров методами Джейкоба /Тр.ТашГУ, 1984. Вып.725. С.50-56.

Нагевич П.П. К расчету достоверных гидрогеологических параметров по данным кустовых откачек из слоистых водоносных толщ //Вопросы гидрогеологии аридной зоны / Тр.ГИДРОИНГЕО. Ташкент: САИГИМС, 1984. С.14-25.

Нагевич П.П. К вопросу оценки геофильтрационных параметров водоносных горизонтов /Мат-лы I Научно-практ. конф. "Рациональное использование и охрана водных ресурсов в Ниж. Поволжье": Тез.докл. Саратов, 1986. С.26-28.

Нагевич П.П. Учет фильтрационной неоднородности водоносных горизонтов при оценке эксплуатационных запасов подземных вод речных долин //Ресурсы подземных вод и их охрана от истощения и загрязнения/ Тр.ГИДРОИНГЕО. - Ташкент: САИГИМС, 1986.

Нагевич П.П. К вопросу расчета геофильтрационных параметров водоносных горизонтов межгорных речных долин //Поиски, разведка, охрана и использование подземных вод/ Тр.ГИДРОИНГЕО. - Ташкент: САИГИМС, 1987. С.33-39.

Нагевич П.П., Бушмаков Н.И., Сергеева Е.В. Опыт оценки эксплуатационных запасов подземных вод Голодной степи методом моделирования //Применение методов математического моделирования для решения гидрогеологических задач/. Тр. ТашГУ, 1987. С.32-38.

Нагевич П.П., Прошин Д.М. Учет литологических "окон" в разделяющих слоях при моделировании многослойных систем // Подземные воды /гидроминеральные ресурсы, разведка и охрана/ Тр.ГИДРОИНГЕО. Ташкент: САИГИМС, 1989. С.4-10.

Нагевич П.П., Прошин Д.М., Сулейманов М.М. К вопросу обоснования оптимального отбора подземных вод слоистых пластов в сложных гидрохимических условиях //Гидрогеологические проблемы рационального использования подземных вод/ Тр. ГИДРОИНГЕО. Ташкент: САИГИМС, 1989. С.98-100.

Нагевич П.П. О некоторых особенностях расчета гидрогеологических параметров по данным ОФР из приточных скважин // Гидрогеологические проблемы рационального использования подземных

вод/ Тр.ГИДРОИНГЕО. - Ташкент: САИГИМС, 1989. С.78-82.

Нагевич П.П., Вартельский В.И., Пономарев В.Н., Сидоренко В.Ф. Техногенез при эксплуатации пресных подземных вод системой крупных водозаборов //Техногенные изменения гидрогеологических условий/ - М.: Недра, 1989. С.227-247.

Нагевич П.П. К вопросу интерпретации данных ОФР в безнапорных водоносных горизонтах //Проблемы гидрогеологических исследований в аридной зоне/ Тр.ГИДРОИНГЕО. - Ташкент: САИГИМС, 1991. С.6-14.

Нагевич П.П., Сергеева Е.В. Некоторые особенности распределения геофильтрационных свойств водоносных горизонтов речных долин (на примере р.Чирчик) //Проблемы гидрогеологических исследований в аридной зоне/. Тр.ГИДРОИНГЕО. - Ташкент: САИГИМС, 1991. С.14-24.

Нагевич П.П., Сергеева Е.В. К вопросу типизации водоносных горизонтов при интерпретации ОФР //Поиски, разведка и ресурсы подземных вод// Тр.ГИДРОИНГЕО. - Ташкент: Узбекгидрогеология, 1993. С.20-29.

Нагевич П.П. Об универсальности отдельных уравнений геофильтрации, используемых при интерпретации опытных откачек // Поиски, разведка и ресурсы подземных вод/ Тр.ГИДРОИНГЕО. - Ташкент: Узбекгидрогеология, 1993. С.9-20.

Нагевич П.П. К вопросу формирования фильтрационных свойств водоносных горизонтов флювиальных неоген-четвертичных отложений //Геологик жараёнлар эволюцияси ва фойдали казилмалар/. Тр.ТемГУ, 1995. С.112-116.

Нагевич П.П. К вопросу предварительной оценки емкостных показателей водоносных пластов по косвенным признакам // Гидрогеологические исследования в Узбекистане / Тр. ГИДРОИНГЕО. - Ташкент: Узбекгидрогеология, 1995.

Невечеря И.К., Авилина И.В. Определение параметров трехпластового потока по данным опытно-фильтрационных работ/ Мат-лы XУ научн.конф. молодых ученых. - М.: МГУ, 1986.

Основы гидрогеологии. Гидрогеодинамика. - Новосибирск: Наука, 1983. 241 с.

Плотников Н.И. Эксплуатационная разведка подземных вод. - М.: Недра, 1979. 272 с.

Плотников Н.И. Поиски и разведка пресных подземных вод. - М.: Недра, 1985. 368 с.

Плотников Н.И. Техногенные изменения гидрогеологических условий. - М.: Недра, 1989.

Плугина Т.А. Определение геофильтрационных параметров слабопроницаемых отложений натурными методами / Обзор ВИЭМС: "Гидрогеология и инж. геология". - М., 1978. 55 с.

Пономарев В.Н. Формирование эксплуатационных запасов подземных вод межгорных орошаемых речных долин. - Ташкент: Фан, 1989.

Попов В.И. Фациальное развитие осадков горных и предгорных пустынных речин // Матер. по четвертичному периоду СССР. - М.: Изд-во АН СССР, 1950. Вып. 2. С. 192-205.

Попов В.И. и др. Руководство по определению осадочных фациальных комплексов и методике фациально-палеографического картирования. - Л.: Гостоптехиздат, 1963. 713 с.

Саваренский Е.Ф. Сейсмические волны. - М.: Недра, 1972.

Сергеев В.В., Пономарев В.Н. Гидрогеологическое обоснование охраны грунтовых вод речных долин. - Ташкент: Фан, 1991. 144 с.

Справочник по инженерной геологии под ред. М.В. Чурикова. - М.: Недра, 1968.

Хантуш М.С. Анализ данных опытных откачек из скважин в водоносных горизонтах с перетеканием // Вопросы гидрогеол. расчетов. - М., 1964.

Ходжибаев Н.Н., Самойленко В.Г. Гидрогеологомелиоративные прогнозы. - Ташкент: Фан, 1976. 360 с.

Чеботарева О.В. Определение гидрогеологических параметров и расчеты водозаборов в двухслойных горизонтах: Автореф. дисс. канд. техн. наук. Ташкент, 1993.

Чепмен Р.Е. Геология и вода. - Л.: Недра, 1983. 160 с.

Чертков Л.М., Ланцман Л.Е. Исследование фильтрации воды в двухслойной среде методом гидравлических аналогий // Вопросы гидрогеологии и инж. геологии Украины. - Киев: 1969. Вып. 2. С. 103-106.

Чистяков А.А. Горный аллювий. - М.: Недра, 1978.

Шестаков В.М., Башкатов Д.И. Опытно-фильтрационные работы. - М.: Недра, 1974.

Шестаков В.М. Оценка инерционности современной пьезометрической скважины в надорном пласте // Экспресс-информация ВИЭМС: "Гидрогеология и инж. геология", 1981. Вып. 2.

Шестаков В.М. Методика обработки опытных откачек вблизи водотоков ограниченной ширины // Разведка и охрана недр, 1983, № 6.

Шестаков В.М. Интерпретация опытных откачек при перетекании между пластами // Вестник МГУ. Сер. 4. Геология, 1983. № 6.

Шестаков В.М., Азарова Т.В. Дифференциальные способы обработки данных опытных откачек для основной схемы перетекания // Экспресс-информация ВИЭМС: "Гидрогеология и инж. геология", 1986, № 8.

Шестаков В.М. Оценка параметров сжимаемости и упругоемкости пород. - М.: Инженерная геология, 1991, № 4.

Шестаков В.М., Невечеря И.К., Скворцова Е.А. Интерпретация опытных откачек у реки в двухслойном пласте // Разведка и охрана недр, 1991, № 10.

Штенгелев Р.С. Балансовая структура эксплуатационных запасов подземных вод // Водяные ресурсы, 1978, № 2. С. 101-110.

Штенгелев Р.С. Формирование и оценка эксплуатационных запасов пресных подземных вод. - М.: Недра, 1988. 232 с.

Boulton N.S. Analysis of data from non-equilibrium pumping test allowing for delayed yield from storage. "Proc. Inst. Civil. Eng.", 1963, № 26, p. 169-182.

Bruce Hunt. Calculation of the leaky aquifer function. "J. of Hydrology", 1977, vol. 33, № 1/2, p. 179-183.

Case C.M., Addiego J.C. Note on a series representation of the leaky aquifer well function. "J. of Hydrology", 1977, vol. 32, № 3/4, p. 393-397.

Chander S., Kapoor P.N., Goyal S.K. Analysis of pumping test data using Marquardt algorithm. Ground Water, 1981, vol. 19, № 13, p. 275-278.

Dumly O. Determination of uniform and granular aquifer characteristics by linear methods. Hydrology science Bul., 1977, vol. 22, № 3.

Ehlig C., Halepaska J.C. A numerical study of confined-

unconfined aquifer including effects of delayed yield and leakage. Water Resour. Res., 1976, vol. 12, N 6.

Johnson M.L. The transition problem in pumped aquifers. Water Resour. Res., 1979, vol. 15, N 5, p. 1266-1272.

Hantush M.S. Hydraulic of wells. Advances in Hydroscience, New York, 1964, vol. I.

Herrera I., Minzoni A., Flores F.Z. Theory of flow in unconfined aquifers by integrodifferential equations. Water Resour. Res., 1978, vol. 14, N 2, p. 291-297.

Kadi A.J., Brutsaert W. Can unsaturated flow during drainage be represented by Boulton's formulation. Water Resour. Res., 1986, vol. 22, N 10.

Kruseman G.P., Ridder N.A. Analysis and evalution of pumping test data. International Institute for land Reclamation, Wageningen, 1970.

Moench A.F., Prickett T.A. Radial flow in an infinite aquifer undergoing conversion from artesian to water table conditions. Water R.Res., 1972, N 2.

Mucha J., Panlikova E. Pumping test using large diameter production and observation wells. Journal of Hydrology, 1986, vol. 89, N 1/2.

Neuman S. Theory of flow in Unconfined - Aquifers considering delayed gravity response. Water Resour. Res., vol. 8, N 4, 1972, p. 1031-1045.

Neuman S. Analysis of pumping test data from anisotropic unconfined aquifers. Water Resonr. Res., 1975, vol. II, N 2, p. 329-342.

Nwankwo G.J., Cherry J.A., Gillham R.W. A comparative study of specific yield determinations for a shallow sand aquifer. Ground Water, 1984, vol. 22, N 6, p. 764-772.

Prickett T.A. Type - curve solution of aquifer tests under water table conditions. Ground Water, 1965, vol. 3, p. 5-11.

Rushton K.R., Chan V.K. Numerical pumping test analysis in unconfined aquifer. J. of the Irrig. and drain. div., 1977, vol. 103, N 1RI, p. 1-12.

Sepulveda N., Zack A.L. The effects of overburden stress on the specific storage and hydraulic conductivity of artesian aquifers. *Journal of Hydrology*, 1991, vol. 128, N 1-4.

Walton W.C. Comprehensive analysis of Water - table aquifer test data. *Ground Water*, 1978, vol. 16, N 5, p. 311-317.

Yotov I.G. Flow to wells near streams in the presence of delayed yield from storage and analysis of pumping test data. *Ground Water*, 1973, vol. 11, N 4, p. 42-45.

Zen Z.. Determination of aquifer parameters by the slope-matching method. *Ground Water*, 1986, vol. 24, N 2, p. 217-223.

СОДЕРЖАНИЕ

	стр.
Введение	3
Глава I. Условия формирования фильтрационных свойств водоносных толщ месторождений подземных вод во флювиальных отложениях	7
Глава 2. Структура формирования расходов откачки из водоносных горизонтов различного типа	17
Глава 3. Обзор методик оценки параметров, основные рас- четные схемы и современные рекомендации по об- работке данных опытно-фильтрационных работ (ОФР)	25
Состояние изученности вопроса	25
Краткий обзор методик оценки параметров для различных схем и рекомендаций по их исполь- зование.....	27
Глава 4. Оценка степени отражения в расчетных зависимос- тях и методиках основных факторов, определяющих ход снижения уровня при откачках, и способы их учета	48
Составляющие понижения уровня воды при ОФР..	48
Влияние геостатического давления на состоя- ние водоносного пласта и степень его упру- гости.....	54
Типизация водоносных горизонтов по характеру упругости пласта	65
Роль динаминости подземных вод в пласте и ее отражение в расчетных зависимостях	70
Обоснование расчетных зависимостей, отражаю- щих состояние упругости пласта и динаминости подземных вод в пласте	79
Роль граничных и начальных условий пласта в плане и разрезе и их отражение в расчетных зависимостях	92
Глава 5. Особенности проявления снижения уровня при от- качках и требования к методике их обработки ...	110

Универсальная теоретическая зависимость для описания хода снижения уровня при ОФР	110
Требования к рациональному комплексу методов оценки параметров по данным ОФР.....	114
Примеры расчета параметров по данным ОФР....	124
Глава 6. Уточнение геофильтрационных параметров по данным эксплуатации водозаборов подземных вод	I34
Теоретические основы оценки гидрогеологических параметров по результатам эксплуатации..	I34
Требования к анализу результатов эксплуатации водозаборов подземных вод и обоснованию выбора способов расчета гидрогеологических параметров	I38
Результаты расчета гидрогеологических параметров по данным эксплуатации месторождений	I41
Глава 7. Основные требования к проведению опытно-фильтрационных работ (ОФР).....	I67
Глава 8. Геофильтрационная структура основных типов МПВ Узбекистана	I72
Широкие речные долины (р.Чирчик).....	I72
Узкие речные долины (р.Санзар).....	I80
Межгорные впадины (Нуретинское МПВ).....	I84
Глава 9. Учет фильтрационной неоднородности водоносных горизонтов при оценке эксплуатационных запасов подземных вод	I90
МПВ современных речных долин.....	I90
МПВ погребенных речных долин, конусов выноса (периферийной части), межгорных впадин....	I99
Заключение.....	203
Использованная литература.....	205

Павел Павлович Нагевич

Формирование и оценка фильтрационных
свойств воднососных толщ

Утверждено к печати
Ученым советом Института ГИДРОИНГЕО

Редактор Л.И. Ежова
Техн. редактор Т.Г. Кочергина
Корректор Е.П. Мясоедова
Редактор-машинистка Р.И. Булатова

Подписано в печать 14.08.1998 г. Формат 60 x 84₁/16.
Усл.-печ. л. 13,8. Уч.-изд. л. 12,0.
Тираж 100 экз. Заказ № 379

Типография ГУГИ,
Тюмень, ул. Альмазов, 171.